



საქართველოს ტექნიკური უნივერსიტეტი
ჰიდრომეტეოროლოგიის ინსტიტუტი



ბ. ბერითაშვილი, თ ციხევაძე, ნ. კაკანაძე

ნალექთა ხელოვნური გაზრდის სამუშაოები საქართველოში



თბილისი
2020

საქართველოს ტექნიკური უნივერსიტეტი
ჰიდრომეტეოროლოგიის ინსტიტუტი

ბაკურ ბერიტაშვილი
თენეზ ცინცაძე
ნაილი კაპანაძე

ნალექთა ხელოვნური გაზრდის სამუშაოები საქართველოში

Bakur Beritashvili
Tengiz Tsintsadze
Naili Kapanadze

Precipitation Enhancement Activities in Georgia

Бакур Шалвович Бериташвили
Тенгиз Нодаревич Цинцадзе
Наили Ивановна Капанадзе

Работы по искусственноому увеличению осадков в Грузии

თბილისი – Tbilisi – Тбилиси

2020

ISBN 978-9941-8-2658-0

რედაქტორი: ფიზ.-მათ. მეცნიერებათა დოქტორი
ავთანდილ ამირანაშვილი

რეცენზენტები:

გეოგრაფ. მეცნ. დოქტორი, გარემოს ეროვნულ სააგენტოს პიდრომეტეოროლოგიის
დეპარტამენტის უფროსი რამაზ ჭითანავა

სოფლის მეურნეობის მეცნიერებათა დოქტორი, პროფესორი გიორგი მელაძე
ფიზ.-მათ. მეცნიერებათა დოქტორი, პროფესორი

ზურაბ ხვედელიძე

Editor: Dr. Sci in Phys.-Math. **Avtandil Amiranashvili**

Reviewers:

Dr. Sci. in Geograph, Head of Hydrometeorological Department of the National Environmental Agency

Ramaz Chitanava

Dr. Sci in Agriculture, Professor **Giorgi Meladze**

Dr. Sci in Phys.-Math., Professor **Zurab Khvedelidze**

Редактор: Доктор физ.-мат. наук **Автандил Амирранашвили**

Рецензенты:

Доктор географ. наук, Начальник департамента гидрометеорологии Национального агентства
по окружающей среде **Читанава Рамаз**

Доктор с.-х. наук, Профессор **Георгий Меладзе**

Доктор физ.-мат. наук, Профессор **Зураб Хведелидзе**

უაკ 551. 583

მონოგრაფიაში წარმოდგენილია პიდრომეტეოროლოგიის ინსტიტუტის მიერ ნალექთა ხელოვნური გაზრდის მიზნით 1979-1990 წლებში წარმოებულ სამუშაოთა მთელი სპეციალისტური მდგრადი მოვლა სამუშაოთა ჩასატარებლად შერჩეული იორისა და ხრამი-ფარავნის პოლიგონებისთვის რელიეფი, ნიადაგები, კლიმატური ზონები, მცენარეული საფარი და სხვ., რაც მომავალში საჭირო იქნება წყლის რესურსების მართვის მოდელების ასაგებად. შემოთავაზებულია აღნიშნულ სამუშაოთა ისტორია, ორგანიზაცია, გამოყენებული ტექნოლოგია, ნალექთა ხელოვნური გაზრდის ფიზიკური საფუძვლები და ღრუბლებზე ზემოქმედების ჩატარებისა და ეფექტურობის კონტროლის მეთოდები. მოცემულია საკვლევ პოლიგონებზე 1979-1990 წლებში ჩატარებულ ნალექთა ხელოვნური გაზრდის ექსპერიმენტულ სამუშაოთა შემაჯამებელი შედეგები.

განხილულია აღმოსავლეთ საქართველოში ნალექთა ხელოვნური რეგულირების სამუშაოთა აღდგენის პერსპექტივები, რ/ლ დაკვირვებებისა და ღრუბლებში რეაგენტის შეტანის ახალი ტექნოლოგიების დანერგვის, ასევე დაკვირვების მონაცემთა მიღების, დამუშავებისა და არქივირების თანამედროვე მეთოდების გათვალისწინებით. დასაბუთებულია ნალექთა ხელოვნური გაზრდის სამუშაოთა ჩართვის მიზანშეწონილობა აღმოსავლეთ საქართველოში წყლის ინტეგრირებული მართვის სამომავლო სისტემაში. შემოთავაზებულია საბაზრო ეკონომიკის პირობებში წევ სამუშაოთა ახალი ფორმით განხორციელების სავარაუდო ბლოკ-სქემა და ის სამართლებრივი ასპექტები, რასაც შესაძლოა შეიცავდეს აღნიშნული სამუშაოები.

UDC 551.583

The cloud seeding complete activities conducted by the Institute of Hydrometeorology during 1979-90 years is presented in the monograph. In order to accomplish mentioned activities for selected Iori and Khrami-Paravani polygons the relief, soils, climatic zones, vegetation cover and etc. have been studied. The following is discussed in presented monograph: history of activities, organization and used technology, physical substantiation of cloud seeding research and methods to carry out and control weather modification experiment. Furthermore summary of weather modification experiment results carried out on selected polygons in 1979-90 years.

The restoration outlook of cloud seeding activities has been drawn considering radiolocation observation and introduction of seeding reagent new technologies, also modern techniques of database processing in Eastern Georgia. The involvement expediency of precipitation artificial increasing by cloud seeding in Eastern Georgia in water integrated management future system has been justified. The probabilistic scheme of precipitation artificial increasing by cloud seeding under market economy and legislative aspects of mentioned activities have been proposed.

УДК. 551. 583

В монографии представлен весь спектр работ по искусственно увеличению осадков, проведенных Институтом Гидрометеорологии в 1979-1990 гг. Изучены рельеф почва, климатические зоны и растительный покров Иорского и Храм-Парааванского полигонов, выбранных для проведения указанных работ, что необходимо для построения моделей управления водными ресурсами. Предложена история, организация, технология, физические основы искусственного увеличения осадков и методы проведения и контроля эффективности воздействия на облака указанных работ. Даны итоговые результаты экспериментальных работ по искусственно увеличению осадков, проведенных в 1979-1990 гг. на исследуемых полигонах.

Рассмотрены перспективы восстановления работ по искусственно регулированию осадков на территории Восточной Грузии. Внедрение новых автоматизированных систем радиолокационных наблюдений. Обоснована целесообразность включения работ по искусственно увеличению осадков в будущие системы интегрированного регулирования водных ресурсов в Восточной Грузии. В условиях рыночной экономики предложена возможная блок-схема осуществления работ по искусственно увеличению осадков по новой форме и правовые аспекты предлагаемых работах.

შინაარსი

გვ.

	შემოქლებები და აღნიშვნები.	10
	წინასიტყვაობა	12
	შესავალი	14
	საცდელი ტერიტორიის დახასიათება	17
თავი 1.	1.1. საცდელი ტერიტორიების შერჩევა	17
	იორის პოლიგონი	18
	1.2.1. რელიეფი	18
	1.2.2. ჰავა	19
	1.2.3. ნიადაგები, ლანდშაფტები და მცენარეული საფარი	24
	1.2.4. ჰიდროლოგიური ქსელი	25
	1.2.5. მოსახლეობა და ეკონომიკა	28
	ხრამი-ფარავნის პოლიგონი	29
	1.3.1. რელიეფი	29
	1.3.2. ჰავა	30
თავი 2.	1.3.3. ნიადაგები, ლანდშაფტები და მცენარეული საფარი	31
	1.3.4. ჰიდროლოგიური ქსელი	36
	1.3.5. მოსახლეობა და ეკონომიკა	37
	დასკვნები	38
	ნალექთა ხელოვნური გაზრდის მიზნით დრუბლებზე ზემოქმედების ეფექტის დადგენის შესაძლებლობის შეფასება	39
	2.1. ზოგადი შენიშვნები	39
	2.2. ზემოქმედების ეფექტურობის კონტროლის მეთოდები	39
	2.3. ამოცანის დასმა	40
	2.4. გამოთვლათა შედეგები	41
	2.5. ნებ საერთაშორისო პროექტში 1979-1981 წლებისთვის დასახული მიზნები და პროგრამის შესრულების ძირითადი ხარვეზები	43
თავი 3.	დასკვნები	45
	ნალექთა ხელოვნური გაზრდის ფიზიკური საფუძვლები	47
	3.1. ზოგადი შენიშვნები	47
	3.2. ზემოქმედება გადამეტციებულ დრუბლებზე	47
	3.3. ზემოქმედება თბილ დრუბლებზე	48
	3.4. ზემოქმედება შერეულ ფაზურ მდგომარეობაში მყოფ დრუბლებზე	49
	დასკვნები	50
	ნალექთა ხელოვნური გაზრდის მიზნით კონვექციურ დრუბლებზე	51
	ზემოქმედების მეთოდიკა	51
თავი 4.	4.1. გროვა-საწვიმარი დრუბლების განვითარების სპეციალიზებული პროგნოზი	51
	4.2. ზემოქმედების ობიექტის შერჩევა	51
	4.3. კონვექციური დრუბლების ზემოქმედებისათვის ვარგისიანობის კრიტერიუმები	54
	4.4. მდლავრ კონვექციურ დრუბლებზე ზემოქმედების ჩატარების სქემები	55
	4.5. მაკრისტალებელი რეაგენტის დოზირება	56
	4.6. ზემოქმედების ჩატარებული ოპერაციის დოკუმენტირება, წინასწარი ანალიზი და არქივირება	58
	დასკვნები	59
	ნალექთა ხელოვნური გაზრდის სამუშაოთა ეფექტურობის კონტროლი	60
თავი 5.	5.1. ზოგადი ცნობები	60
	5.2. საცდელ და საკონტროლო ტერიტორიებზე წლის თბილ პერიოდში ნალექთა რეჟიმის ცვლილება ზემოქმედების ჩატარების შედეგად	60
	5.3. რანდომიზებული ზემოქმედების პირობებში საცდელ ტერიტორია-	61

	ზე ნხგ სამუშაოთა ეფექტურობის შეფასება სტატისტიკური მოდელირებით	
5.4.	ზემოქმედების ეფექტურობის შეფასება რ/ლ მონაცემების საფუძვლზე	63
5.5.	სტატისტიკური მეთოდების გამოყენება ზემოქმედების ეფექტურობის პიდროლობიურ შეფასებაში	65
5.6.	ნხგ სამუშაოთა ეპონომიკური ეფექტურობა	67
5.7.	ნხგ სამუშაოთა ეფექტურობის კონტროლი მათემატიკური მოდელირების გამოყენებით	69
5.8.	ნხგ სამუშაოთა გარემოზე ზემოქმედების შეფასება	70
	დასკვნები	71
თავი 6.	პროექტის შემაჯამებელი მონაცემები	73
	6.1. ნალექთა ხელოვნური გაზრდის სამუშაოთა შედეგები	73
	6.2. საცდელ ღრუბელთა რეაგირება ზემოქმედებაზე საკონტროლო ღრუბლებთან შედარებით	76
	დასკვნები	79
თავი 7	აღმოსავლეთ საქართველოში ნხგ სამუშაოთა აღდგენის პერსპექტივები	81
	7.1. ზოგადი ცნობები	81
	7.2. ნხგ სამუშაოთა აღდგენის პერსპექტივები კლიმატური მონაცემების გათვალისწინებით	81
	7.3. ნხგ სამუშაოთა ორგანიზაციისა და წარმოების საკითხები საბაზო ექონომიკის პირობებში	84
	7.4. ნხგ სამუშაოთა ჩატარების სამართლებრივი ასპექტები	87
	7.5. ახალი ტექნოლოგიების დანერგვა ნხგ სამუშაოებში	89
	7.6. ნხგ სამუშაოების ჩატარების აღმოსავლეთ საქართველოში წყლის ინტეგრირებული მართვის სამომავლო სისტემაში	90
	დასკვნები	92
	დანართები	94
დანართი 1.	საქართველოს კპ ცენტრალური კომიტეტისა და საქართველოს სსრ მინისტრთა საბჭოს დადგენილება № 478 „ნალექთა ხელოვნური გაზრდის სამუშაოთა ჩატარების შესახებ“	95
დანართი 2.	მსოფლიო მეტეოროლოგიური ორგანიზაციის ნალექთა გაზრდის პროექტის მოკლე მიმოხილვა – 1985 წ. (ნხგ მოხსენება № 34)	98
დანართი 3.	საქართველოში ნხგ სამუშაოთა საწარმოებლად გამოყენებული ტექნიკური საშუალებები	106
დანართი 4.	პროექტის შემსრულებელთა მონაწილეობა კონფერენციებში, სამცნიერო სესიებსა და სხვა შეხვედრებში	110
დანართი 5.	პროექტის შემსრულებელთა სია (1979-1990)	113
დანართი 6.	ნხგ სამუშაოთა განახლების შემთხვევაში გამოსაყენებელი ტექნიკური საშუალებები	114
დანართი 7.	სპეციალური ტერმინების განმარტებითი ლექსიკონი (გლოსარიუმი)	116
	გამოყენებული ლიტერატურა	118

CONTENTS

	pp.	
Foreword	12	
Introduction	14	
Chapter 1.	Characterization of the trial territories	17
	1.1. Selection of trial territories	17
	Iory Polygon	18
	1.2.1. Relief	18
	1.2.2. Climate	19
	1.2.3. Soil, landscape and land cover	24
	1.2.4. Hydrological network	25
	1.2.5. Population and economics	28
	Khrami- Paravani Polygon	29
	1.3.1. Relief	29
	1.3.2. Climate	30
	1.3.3. Soil, landscape and land cover	31
	1.3.4. Hydrological network	36
	1.3.5. Population and economics	37
	Conclusions	38
Chapter 2.	Assessment of impact efficiency possibility on clouds aiming on precipitation artificial increase	39
	2.1. General remarks	39
	2.2. Controlling methods of impact efficiency	39
	2.3. Set of the problem	40
	2.4. Calculation results	41
	2.5. International weather modification project goals in 1979-1981 and main shortcomings in project implementation	43
	Conclusions	45
Chapter 3.	The physical basics of weather modification	47
	3.1. General remarks	47
	3.2. Impact on supercool clouds	47
	3.3. Impact on warm clouds	48
	3.4. Impact on mixed phase clouds	49
	Conclusions	50
Chapter 4.	Impact methods on convective clouds aiming on precipitation artificial increase	51
	4.1. Specialized forecast for the development of cumulonimbus clouds	51
	4.2. Selection of impact objects	51
	4.3. Assessment efficiency criteria for convective clouds	54
	4.4. Powerful convective cloud patterns	55
	4.5. Dosage of crystallizing reagents	56
	4.6. Documentation, preliminary analysis and archiving of impact operations	58
	Conclusions	59
Chapter 5.	Efficiency control of precipitation artificial increase activities	60
	5.1. General information	60
	5.2. Precipitation regime changing on trial and control area after impact in warm period of year	60
	5.3. Efficiency assessment of weather modification activities under random impact conditions in trial area using statistical modeling	61
	5.4. Evaluation of impact efficiency based on radar data	63
	5.5. Using of statistical methods in hydrological impact assessment	65
	5.6. Economical efficiency of weather modification	67
	5.7. Monitoring of the weather modification efficiency using mathematical modeling	69
5.8. Assessment of the environmental impact of precipitation artificial increase	70	

	activities	
	Conclusions	71
Chapter 6.	Final results of the project	73
	6.1. The results of precipitation artificial increase activities	73
	6.2. The response of trial clouds on impact compared to control clouds	76
	Conclusions	79
Chapter 7.	Prospects for the precipitation artificial increase restoration in eastern Georgia	81
	7.1. General information	81
	7.2. Prospects of the weather modification restoration based on climate data	81
	7.3. Organization and production issues of precipitation artificial increase in the market economy	84
	7.4. The legislative aspects of weather modification activities	87
	7.5. The introduction of new technologies in precipitation artificial increase activities	89
	7.6. Embed of precipitation artificial increase activities in the future integrated water resources management system of eastern Georgia	90
	Conclusions	92
	Appendices	94
	Appendix 1.	Decree of the Central Committee of Georgia and the Council of Ministers of the Georgian SSR No. 478 "On the pilot production of precipitation artificial increase"
Appendix 2.	Summary of the World Meteorological Organization (WMO) Precipitation artificial increase Project (1985). (Report No. 34)	98
Appendix 3.	Technical means used in Georgia during the precipitation artificial increase activities	106
Appendix 4.	Participation of project implementers in conferences, scientific sessions and other scientific and organizational meetings.	110
Appendix 5.	List of project implementers (1979-1990)	113
Appendix 6.	Technical means necessary for the recovery of the precipitation artificial increase activities	114
Appendix 7.	Glossary	116
Used literature		118

Содержание

ст.

Предисловие		12		
Введение		14		
Глава 1.	Характеристика опытных территорий		17	
	1.1.	Выбор опытных территорий	17	
	1.2.	Иорский полигон	18	
		1.2.1.	Рельеф	18
		1.2.2.	Климат	19
		1.2.3.	Почвы, Ландшафты и Растительный покров	24
		1.2.4.	Гидрологическая сеть	25
	1.2.5.	Население и экономика	28	
	1.3.	Храм-Параванский полигон	29	
		1.3.1.	Рельеф	29
		1.3.2.	Климат	30
		1.3.3.	Почвы, Ландшафты и Растительный покров	31
		1.3.4.	Гидрологическая сеть	36
		1.3.5. Население и экономика	37	
		Выводы	38	
Глава 2.	Оценка возможности установления эффекта искусственного воздействия на облака с целью увеличения осадков		39	
	2.1.	Общие замечания	39	
	2.2.	Методы контроля эффективности воздействия	39	
	2.3.	Постановка задачи	40	
	2.4.	Результаты вычислений	41	
	2.5.	Поставленные цели и выявленные погрешности при разработке международного проекта по искусственному увеличению осадков (1979-1981 гг)	43	
		Выводы	45	
	Глава 3.	Физические основы искусственного увеличения осадков		47
		3.1.	Общие замечания	47
		3.2.	Воздействия на переохлажденные облака	47
3.3.		Воздействие на теплые облака	48	
3.4.		Воздействие на облака, находящихся в смешанном фазовом положении	49	
		Выводы	50	
Глава 4.	Методика воздействия на конвективные облака с целью искусственного увеличения осадков		51	
	4.1.	Специализированный прогноз развития кучево-дождевых облаков	51	
	4.2.	Выбор объектов воздействия	51	
	4.3.	Критерии оценки воздействия на конвективные облака	54	
	4.4.	Схемы воздействия на мощные конвективные облака	55	
	4.5.	Дозировка кристаллизирующих реагентов	56	
	4.6.	Документация, предварительный анализ и архивация проведенных операций воздействия	58	
		Выводы	59	
	Глава 5.	Контроль эффективности работ по искусственному увеличению осадков		60
		5.1.	Общие сведения	60
5.2.		Изменение режима осадков после проведения воздействия на опытной и контрольной территориях в теплый период года	60	
5.3.		Оценка эффективности работы рандомизированного воздействия на опытной территории методом статистического моделирования	61	
5.4.		Оценка эффективности воздействия на основе радиолокационных данных	63	
5.5.		Применение статистических методов при гидрологических оценках эффективности воздействия	65	

	5.6.	Экономическая эффективность работы по искусственному увеличению осадков	67
	5.7.	Контроль эффективности работ по искусственному увеличению осадков методом математического моделирования	69
	5.8.	Оценка влияния работ по искусственному увеличению осадков на окружающую среду	70
		Выводы	72
Глава 6.		Заключительные результаты проекта	73
	6.1.	Результаты экспериментальных работ по искусственному увеличению осадков	73
	6.2.	Реакция на воздействия опытных облаков по сравнению с контрольными облаками	76
		Выводы	79
Глава 7.		Перспективы воздействия работ по искусственному увеличению осадков на территории Восточной Грузии	81
	7.1.	Общие сведения	81
	7.2.	Перспективы воздействия работ по искусственному увеличению осадков с учетом климатических данных	81
	7.3.	Организация и вопросы производства работ по искусственному увеличению осадков в условиях рыночной экономики	84
	7.4.	Правовые аспекты проведения работ по искусственному увеличению осадков	87
	7.5.	Внедрение новых технологий в работах по искусственному увеличению осадков	89
	7.6.	Включение работ по искусственному увеличению осадков в будущую интегрированную систему управления водными ресурсами Восточной Грузии	90
		Выводы	92
Приложения			94
Приложение 1.	Постановление Центрального комитета Грузии и Совета Министров Грузинской ССР № 478 „О проведении опытно-производственных работ по искусственному увеличению осадков“		95
Приложение 2.	Краткий обзор проекта осадков Всемирной Метеорологической Организации (ВМО) по искусственному увеличению осадков (1985 г). (Отчет № 34)		98
Приложение 3.	Технические средства, использованные в Грузии при проведении работ по искусственному увеличению осадков		106
Приложение 4.	Участие исполнителей проекта в конференциях, научных сессиях и других научно-организационных мероприятиях.		110
Приложение 5.	Список исполнителей проекта (1979-1990)		113
Приложение 6.	Технические средства, необходимые при возобновления работ по искусственному вызиванию осадков		114
Приложение 7.	Толковый словарь специальных терминологий (Глоссарий)		116
Использованная литература			118

შემოკლებები და აღნიშვნები

ნხგ - ნალექთა ხელოვნური გაზრდა

მმო— მსოფლიო მეტეოროლოგიური ორგანიზაცია

UNFCCC - გაეროს კლიმატის ცვლილების ჩარჩო კონვენცია

UNEP – გაეროს გარემოს დაცვის პროგრამა

FAO- სოფლის მეურნეობის ორგანიზაცია

PEP – ნალექთა ხელოვნური გაზრდის პროექტი

მას – მართვის ავტომატიზებული სისტემა

მპრს - მეტეოროლოგიური პროცესების რეგულირების სამსახური

მრლ – მეტეოროლოგიური რადიოლოგიური სადგური

დხთ – დედამიწის ხელოვნური თანამგზავრი

ჰპა – ჰექტოპასკალი, იგივეა რაც მილიბარი (მბ) – ატმოსფერული წნევის ერთეული

Cu cong – მძლავრი გროვა დრუბელი

Cb – გროვა საწვიმარი დრუბელი

Cu med – საშუალო განვითარების გროვა დრუბელი

Cu hum – ბრტყელი (სუსტი) გროვა დრუბელი

Sc – ფენა-გროვა დრუბელი

η_m – მაქსიმალური რადიოლოგიური ამრეკლადობა

λ – რადიოლოგიური ტალღის სიგრძე

გაზ – გაზრდილი (რ/ლ) ამრეკლადობის ზონა

რშზ – რეაგენტის შებანის ზონა

AgI – ვერცხლის იოდიდი

PII₂ – ტყვიის იოდიდი

CO₂ – მშრალი ყინული

ჟ. ე – ექსპერიმენტული ერთეული

კტ – კილოტონა

მ/ს – მეტეოროლოგიური სადგური

ეძღვნება
გიგი სვანიძის ხათელ ხსოვნას
Dedicated

To the blessed memory of Academician
Givi Svanidze
Посвящается

светлой памяти академика Гиви
Гедеоновича Сванидзе



აკადემიკოსი გიგი სვანიძე
Academician Givi Svanidze
Академик Гиви Гедеонович Сванидзе
(1921-1999)

წინასიტყვაობა

განვლილი საუკუნის მეორე ნახევრის დასაწყისიდან პიდრომეტეოროლოგიაში მკვეთრად გაიზარდა ინტერესი ნალექწარმომქმნელი პროცესების შესწავლისადმი, რაც განპირობებული იყო მეორე მსოფლიო ომის დასრულების შედეგად გამოთავისუფლებული ტექნიკის (რადიოლოგიატორები, თვითმფრინავები, საარტილერიო დანადგარები) ხელმისაწვდომობით დრუბელთა გამოსაკვლევად. ერთ-ერთი ქვეყანა, რომელშიც ინტენსიურად დაიწყო დრუბლებისა და ნალექების შესწავლა მათზე ხელოვნური ზემოქმედების მიზნით, აშშ შემდეგ იყო საბჭოთა კავშირი, სადაც წამყვანი ადგილი საქართველოს ეკავა. კერძოდ, 1953 წელს საქართველოს მეცნიერებათა აკადემიის გეოფიზიკის ინსტიტუტმა დაიწყო ალაზნის გელზე კონვექციური დრუბლების შესწავლა, რის შედეგადაც 1959 წელს აღნიშნულ ტერიტორიაზე შეიქმნა სსრკში პირველი სეტყვასთან ბრძოლის სამსახური. რამდენიმე წლის შემდეგ ანალოგიური სამუშაოები დაიწყო ქვემო ქართლის ტერიტორიაზე საკავშირო პიდრომეტსამსახურის ამიერკავკასიის სამეცნიერო-კვლევითი ინსტიტუტის (ამჟამად საქართველოს ტექნიკური უნივერსიტეტის პიდრომეტეოროლოგიის ინსტიტუტი) სამეცნიერო-მეთოდური ხელმძღვანელობით. ზემოთ ხსენებული ორივე ოპერატიული ქვედანაყოფი ემსახურებოდა სეტყვასთან ბრძოლის ამოცანას და მათი პოტენციალი ნალექთა ხელოვნური გამოწვევის საქმეში მხოლოდ რამდენჯერმე იქნა ეპიზოდურად გამოყენებული 1970-იანი წლების დასაწყისში კახეთში ძლიერი გვალვის დროს.

1971 წელს სსრკ მთავრობის მიერ მიღებული იქნა დადგენილება სევანის ტბის აუზში ნალექთა ხელოვნური გაზრდის (ნხგ) სამუშაოთა გაშლის შესახებ. ამ სამუშაოებში საკავშირო პიდრომეტსამსახურის წამყვან კვლევით დაწესებულებებთან ერთად ჩაერთო ამიერკავკასიის სამეცნიერო-კვევითი პიდრომეტეოროლოგიური ინსტიტუტიც. საველე ბაზა განთავსდა ტბის სამხრეთ სანაპიროს ცენტრალურ ნაწილში, რომელიც აღიჭურვა რადიოლოგიატორით. მის განკარგულებაში შედიოდა რამდენიმე საარტილერიო დანადგარი და ნალექმზომი ქსელი. სევანის ტბის აუზში კონვექციურ დრუბლებზე ზემოქმედების სისტემატური ექსპერიმენტების ჩატარება ვ. ლომინაძის ხელმძღვანელობით დაიწყო 1973 წელს, თუმცა სხვადასხვა შემსრულებელ ორგანიზაციასთან კოორდინაციის ხარვეზების გამო სამუშაოთა ეფექტურობა სასურველზე ნაკლები იყო.

ნალექთა ხელოვნური გაზრდის სამუშაოთა ახალი ეტაპი პიდრომეტეოროლოგიის ინსტიტუტში დაიწყო 1978 წლიდან, როდესაც აკად. გ.სვანიძის ხელმძღვანელობით ინსტიტუტმა, სევანის ტბაზე მიღებული გამოცდილების გათვალისწინებით, გაშალა საცდელ-საწარმო სამუშაოები მდ.იორის აუზში სიონისა და თბილისის წყალსაცავების წყლის რესურსების გაზრდის მიზნით. სამუშაოები ტარდებოდა სეტყვასთან ბრძოლის გასამხედროებული სამსახურის ხელშეწყობით რ/ლ და სარაკეტო ტექნიკის გამოყენებით. საცდელი ტერიტორიის ფართობი შეადგინდა 1000 კმ². პოლიგონი აღიჭურვა 2 რადიოლოგიატორით, 4 საცეცხლე წერტილით, ნალექმზომი ქსელითა და პიდრომეტრული დანადგარებით. კონვექციურ დრუბლებზე ზემოქმედების ექსპერიმენტები ტარდებოდა 1979-დან 1991 წლამდე. 1981-1985 წწ. პერიოდში ზემოქმედება საარტილერიო ტექნიკის გამოყენებით ტარდებოდა აგრეთვე ინსტიტუტის ხრამი-ფარავნის პოლიგონზედაც 2000 კმ ტერიტორიაზე. იორის პოლიგონზე მიღებული მასალების ანალიზის შედეგად დადგენილ იქნა საცდელ ტერიტორიაზე კონვექციური დრუბლებიდან ნალექთა 10-15 %-ით გაზრდის პოტენციური შესაძლებლობა.

პროექტი, რომლის შესრულება ინსტიტუტში ერთ-ერთ პრიორიტეტულ მიმართულებად ითვლებოდა და მოიცავდა როგორც საველე ექსპერიმენტებს, ისე თეორიულ სამუშაოებს ზემოქმედების ეფექტურობის დადგენის საკითხებზე, საბოლოო შეჯამებული იქნა 1995 წელს. ამის შემდეგ ინსტიტუტი გადაერთო კლიმატის გლობალურ დათბობასთან დაკავშირებული პრობლემების დამუშავებაზე, მათ შორის ცალკეული მდინარეების აუზებში წყლის რესურსების ინტეგრირებული მენეჯმენტის საკითხებზე და ნხგ სამუშაოები 20 წლის მანძილზე თითქმის მივიწყებული იქნა. თუმცა, როდესაც 2016 წელს საქართველოს ტექნიკურ უნივერსიტეტში დასმული იქნა ამოცანა ქვეყნის ტერიტორიაზე პიდრომეტეოროლოგიური პროცესების მო-

ნიტორინგის სისტემის შექმნის შესახებ, გაჩნდა იდეა მის საწყის ეტაპზე საცდელი სამუშაოები ჩატარებულიყო მდ, იორის აუზში, სადაც წყლის რესურსების ინტეგრირებული მართვის საკითხებთან ერთად შემოწმებული იქნებოდა ამ რესურსების შევსების შესაძლებლობა დრუბლებზე ხელოვნური ზემოქმედების გზით. მან განაპირობა ინტერესის განახლება საქართველოში 4 ათეული წლის წინ წამოწყებული ნხევ სამუშაოების მიმართ, რამაც მოითხოვა 12 წლის მანძილზე საკმაოდ ინტენსიურად წარმოებული სამუშაოთა შედეგების თავმოყრა, გაანალიზება და ცალკე ნაშრომის სახით წარმოდგენა. აგზორები იმედს გამოთქვამენ, რომ ეს ნაბიჯი დადებით წვლილს შეიტანს საქართველოში წყლის რესურსების ინტეგრირებული მუნიკატიურის პრობლემების დაძლევაში, რაც მიმდინარე საუკუნის ბოლოსთვის კლიმატის პროგნოზირებულ ცვლილებასთან ადაპტირების ერთ-ერთი ქმედითი გზა იქნება.

შესავალი

ნალექწარმომქმნელი პროცესების მეცნიერულად დასაბუთებული პირველი გამოკვლევები ჩატარებული იქნა 1930-იანი წლების შუა პერიოდში ტ.ბერუერონისა (1935) და ვ.ფინდაიზენის (1938) მიერ. იმავე წლებში ხელოვნური დაწვიმების პრობლემაზე სამუშაოს აწარმოებდა ლენინგრადის ექსპერიმენტული მეტეოროლოგიის ინსტიტუტი ვ.ობოლენსკის ხელმძღვანელობით [1]. მეორე მსოფლიო ომის დაწყებასთან დაკავშირებით აღნიშნულ დარღვეული გამოკვლევები შეწყდა და მათი განახლება დაიწყო 1946 წლიდან ვ.შეფერისა და ბ.ვონეგეტის მიერ საღრუბლო კამერაში მშრალი ყინულისა (CO₂) და იოდოვანი ვერცხლის (AgI) ყინულწარმომქმნელი თვისებების აღმოჩენის შემდეგ. ამ ნივთიერებათა ნალექწარმომქმნელ პროცესებზე ეფექტური ზემოქმედების დადგენის შედეგად 1948 წლიდან ღრუბლებზე ხელოვნური ზემოქმედების სამუშაოები დაიწყო ამერიკის შეერთებულ შტატებში, საფრანგეთში, იტალიაში, ავსტრალიაში, კანადაში და სხვ. ამავე ღროს საგულისხმოა, რომ აშშ-ში პირველ წლებში ეს სამუშაოები მიზნად ისახავდა სიერა-ნევადას მთებში ნალექთა ხელოვნურ გაზრდას მიწისზედა სააეროზოლო გენერატორების გამოყენებით კალიფორნიის სარწყავ სისტემებში წყლის რესურსების შესავაბად და პიდროვლებებით გამოყენების ასამაღლებლად, ხოლო საფრანგეთსა და იტალიაში – სეტყვის პროცესების შესუსტებას ან თავიდან აცილებას მცირე რაკეტებისა და სააეროზოლო გენერატორების გამოყენებით. 1960-იან წლებში ხენებულ სამუშაოთა მასშტაბები გაიზარდა და მოიცვა ათეულობით ქვეყანა ევროპის, აზიის, სამხრეთ ამერიკისა და აფრიკის კონტინენტებზე. ისიც აღსანიშნავია, რომ ნალექთა ხელოვნური გაზრდის სამუშაოებით დაკავებული ფართობები 2 რიგით აღემატებოდა სეტყვასთან ბრძოლის სამუშაოებით დაკავებულ ფართობებს [2].

უოფილ საბჭოთა კავშირში ნალექწარმომქმნელ პროცესებზე ზემოქმედების სამუშაოები დაიწყო 1957 წელს უკრაინაში (თოვლის საფარის ხელოვნური გაზრდა თვითმფრინავის გამოყენებით) და 1959 წელს საქართველოშიც (სეტყვასთან ბრძოლა სარაკეტო ტექნიკის გამოყენებით). მოგვიანებით სეტყვასთან ბრძოლის სამუშაოები გავრცელდა ამიერკავკასიისა და შუა აზიის სხვა რესპუბლიკებშიც, მოლდავეთისა და ჩრდილო კავკასიის რეგიონებში. 1980-იან წლებში საქართველოში სეტყვის საწინააღმდეგო სამუშაოები ტარდებოდა 1 მლნ ჰა, ანუ 10 000 კმ² ტერიტორიაზე.

ნებ სისტემატიურ საქმიანობაში პიდრომეტეოროლოგიის ინსტიტუტი ჩაერთო 1972 წლიდან, როდესაც სსრკ მთავრობის დადგენილებით საკავშირო პიდრომეტეამსახურს დაუკალა ღრუბლებიდან ნალექთა ხელოვნური გაზრდის სამუშაოთა ჩატარება სევანის ტბის აუზში. ამ საქმიანობაში, რომელსაც სათავეში ჩაუდგა აკად. ე.ფედოროვი, ჩართული იყო საკავშირო პიდრომეტეამსახურის 10-მდე წამყვანი სამუცნიერო ინსტიტუტი და ორგანიზაცია. რომელსაც რეგულარული ორგანიზაციის სტატუსი გააჩნდა. სევანის ტბის აუზში ექსპერიმენტების ჩატარება ვლომინადის ხელმძღვანელობით დაიწყო 1973 წლიდან და ზემოქმედების სხვადასხვა ტექნოლოგიების გამოყენებით გაგრძელდა 1990 წლამდე.

სევანის ტბის აუზში წარმოებული სამუშაოების პირველი წლების გამოცდილებამ საფუძველი შეუქმნა 1977 წელს პიდრომეტეოროლოგიის ინსტიტუტის დირექტორს აკად. გ.სვანიძეს დაესვა ამოცანა ნებ სამუშაოების გაშლისა მდ.იორის აუზში, სადაც სიონის წყალსაცავი წყალშემკრების როლს შეასრულებდა დამატებითი ნალექებისათვის და გაზრდიდა მდინარის რესურსების გამოყენების ეფექტურობას ირიგაციაში, პიდრომეტერგეტიკასა და ურბანულ მეურნეობაში. 1977 წლის დასაწყისში გ.სვანიძის ხელმძღვანელობით მფრინავი ლაბორატორიის ИЛ-14 გამოყენებით მდ.იორის, არაგვისა და ლიახვის აუზებში ჩატარდა ნალექთა გამოწვევისათვის რესურსული ღრუბლების წინასწარი შეფასება, რომლის შედეგებსაც გაეცნო იმ დროისათვის ნებ დარგში საბჭოთა კავშირის წამყვანი ორგანიზაცია – უკრაინის პიდრომეტინსტიტუტი. მისმა ხელმძღვანელობამ მხარი დაუჭირა ამიერკავკასიის პიდრომეტინსტიტუტის ინიციატივას აღმოსავლეთ საქართველოში ნალექთა ხელოვნური გაზრდის სამუშაოთა გაშლის თაობაზე. რაც მთავარია, იმავე ღროს იდეამ მოწონება დაიმსახურა როგორც საქარ-

თველოს ხელმძღვანელობის მხრიდან (ე.შევარდნაძე), ისე საკავშირო პიდრომეტსამსახურის მხრიდან (აკად. ი.იზრაელი).

1977 წელს საქართველოს კომპარტიის ცენტრალური კომიტეტისა და მინისტრთა საბჭოს მიერ მიღებული იქნა დადგენილება ნალექთა ხელოვნური გაზრდის საცდელ-საწარმოო სამუშაოთა ჩატარების შესახებ (დანართი 1), რომლითაც ამიერკავკასიის სამეცნიერო-კვლევით პიდრომეტეოროლოგიურ ინსტიტუტს დაევალა ნებ სამუშაოთა წარმოება მდ.იორის აუზის ზემოწელში მათი შემდგომი გაფართოების პერსპექტივით მდინარეების არაგვის, ქსნის, ლიახვისა და ილტოს აუზებში, აგრეთვე ხრამი-ფარავნის წყალშემკრებში.

1976 წელს ქ.ბოულდერში (აშშ) დრუბელთა ფიზიკის საერთაშორისო კონფერენციაში საქართველოს დელეგაციის (ა.ქარცივაძე, თ.გზირიშვილი, ა.ოკუჯავა, ბ.ბერიტაშვილი) მონაწილეობის შედეგად მიღებული ინფორმაციის, აგრეთვე სხვა დიტერაციული წყაროების გამოყენებით გ.სვანიძისა და ბ.ბერიტაშვილის მიერ 1977 წელს მომზადდა მსოფლიოში ნალექთა ხელოვნური გაზრდის პრობლემის მიმოხილვა [2], ხოლო 1978 წელს ინსტიტუტში შედგენილი იქნა მდ.იორის აუზში ნალექთა ხელოვნური სტიმულირების სამუშაოთა ჩატარების ტექნიკურ-ეკონომიკური დასაბუთება [3].

დანართ 1-ში მოყვანილი დადგენილების გათვალისწინებით საკავშირო პიდრომეტსამსახურმა საველ ექსპერიმენტული ბაზის შესაქმნელად ინსტიტუტს გამოუყო 28 საშტატო ერთეული, 2 რადიოლოკატორი, მოძრავი მეტეოროლოგიური სადგური და სხვა ტექნიკური აღჭურვილობა, თიანეთის რაიონის ტერიტორიაზე ინსტიტუტის მიერ შერჩეულ აღილზე (გორგევარდნის სერი სოფ.თოლენჯის მახლობლად) გაუფორმა 4 ჰა მიწის ნაკვეთი, სეტკვასთან ბრძოლის გასამხედროებულმა სამსახურმა უზრუნველყო საშტატო ერთეულების დაკომპლექტება შესაბამისი კვალიფიკაციის თანამშრომლებით, აგრეთვე 4 საცეცხლე წერტილის მოწყობა და აღჭურვა სარაკეტო ტექნიკით. ინსტიტუტის ხელმძღვანელობით თბილისი-თიანეთის გზატკეცილიდან პოლიგონამდე მოყვანილ იქნა საავტომობილო გზა და ელექტრომომარაგების ხაზი, აშენდა საკომანდო პუნქტისა და საცხოვრებელი სახლების შენობები, სხვა დამხმარე ნაგებობანი, მოეწყო 32 ერთეულისაგან შემდგარი ნალექმზომი ქსელი და 3 ჰადროლოგიური საგუშაგო. პოლიგონზე სისტემატურად მიიღებოდა აეროსინოპტიკური ინფორმაცია, მოქმედებდა რადიოკავშირი ინსტიტუტთან და საცეცხლე წერტილებთან, მუშაობდა სასადილო. პოლიგონის სხვადასხვა ადგილზე დამონტაჟებული რ/ლ სადგურები მრლ-5 და მრლ-2 უზრუნველყოფდნენ საკომანდო პუნქტს ინფორმაციით ატმოსფეროში კონვექციური პროცესების განვითარების შესახებ 100 კმ რადიუსში. ყოველივე ამან შესაძლებელი გახადა დრუბლებზე ზემოქმედების ექსპერიმენტები დაწყებულიყო 1979 წელს. იორის პოლიგონის საერთო ხედი მოცემულია სურათზე 1.



სურ. 1. იორის პოლიგონის საერთო ხედი

იორის პოლიგონთან ერთად კონვექციურ დრუბლებიდან ნებ სამუშაოები 1981-1985 წწ. პერიოდში ტარდებოდა პიდრომეტეოროლოგიის ინსტიტუტის ხრამი-ფარავნის პოლიგონზეც.

სოფ. რადიონოვების (ფარავნის ტბის) მახლობლად 1960 წლიდან არსებობდა ინსტიტუტის საკელე ბაზა. პოლიგონი დაკომპლექტდა რადიოლოგიატორით МРЛ-2-ით და საზენიტო ქვემეხებით KC-19 აღჭურვილი 6 საცეცხლე წერტილით, რომელთაგან 5 განლაგებული იყო ფარავნის ტბის აუზში, ხოლო ერთი წალკის წყალსაცავის აუზში. აეროსინოპტიკური ინფორმაცია მიღებოდა სეტყვასთან ბრძოლის თეთრიწყაროს საკომანდო პუნქტიდან. ნალექები საცდელ ტერიტორიაზე იზომებოდა მხოლოდ რადიონოვების მეტეოსადგურზე, რომელიც აწარმოებდა აგრეთვე დაკვირვებებს ფარავნის ტბის დონის ცვალებადობაზე. კონვექციურ ღრუბლებზე ზემოქმედების უფექტი ფასდებოდა რადიოლოგიატორის ეკრანზე ღრუბლელთა რადიოეჭოს ფოტომონაცემთა მეშვეობით. რადიოლოგიატორი უზრუნველყოფდა ინფორმაციის მიღებას ზემოქმედებაქმნილი და საკონტროლო ღრუბლების შესახებ 100 კმ რადიუსში. ხრამი-ფარავნის პოლიგონის საერთო ხედი მოცემულია სურ. 2-ზე.



სურ. 2. ფარავნის პოლიგონის საერთო ხედი

იორისა და ხრამი – ფარავნის პოლიგონებზე ჩატარებული გამოკვლევების დადებითმა შედეგებმა შესაძლებელი გახადა დამუშავებული მეთოდიკა 1987 წლიდან დანერგილიყო ნებ საწარმოო სამუშაოების პრაქტიკაში სეტყვასთან ბრძოლის სამსახურის გასამხედროებულ ქვედანაყოფებში. 1989 წელს ეს სამუშაოები ტარდებოდა აღმოსავლეთ საქართველოში 5 ათას კმ² ფართობზე, მაგრამ 1991 წლიდან ქვეყანაში მდგომარეობის შეცვლამ მათი შეჩერება გამოიწვია.

1990 წლიდან ინსტიტუტი დაგეგმილი იყო სამუშაოთა გაშლა იორის პოლიგონზე ზამთრის საღრუბლო სისტემებიდან ნალექთა ხელოვნური გაზრდის ექსპერიმენტების ჩასატარებლად. მოსკოვის ცენტრალური აეროლოგიური ობსერვატორიის (ЦАО) ხელშეწყობით, 1991 წლის დასაწყისში, იორის პოლიგონზე ატანილი იქნა დისტანციურად სამართავი მიწისპირა სააეროზოლო გენერატორების 30 კომპლექტი, მაგრამ სსრკ დაშლის პროცესმა შეუძლებელი გახადა ამ საქმიანობის, ისევე როგორც ნებ დარგში სხვა გეგმების განხორციელება 1992 წლიდან.

თავი 1. საცდელი ტერიტორიების დახასიათება

1.1. საცდელი ტერიტორიების შერჩევა

მსოფლიოს მეტეოროლოგიური ორგანიზაციის (მმო-WMO) ნალექთა გაზრდის შემაჯამუ-ბელი დოკუმენტის [4] თანახმად ნალექთა ხელოვნური გაზრდის სამუშაოთა ჩასატარებლად შერჩეული ტერიტორია უნდა აკმაყოფილებდეს შემდეგ მოთხოვნებს:

- პოლიგონის ფუნქციონირება უნდა ემსახურებოდეს ქვეყნის პრიორიტეტულ ინტერესებს, ანუ ნალექთა ხელოვნური გაზრდა უნდა სარგებლობდეს მთავრობის მხარდაჭერით და ამ მიმართულებით წარმოებული საქმიანობა უნდა მიმდინარეობდეს მთავრობის ხელშეწყობით;
- პოლიგონი უნდა მდებარეობდეს ნახევრად არიდულ კლიმატურ ზონაში და ხასიათდებოდეს ღრუბლიანობისა და ნალექების საკმაოდ რეგულარული მაჩვენებლებით. (მმო ამ თვალსაზრისით მეტად ხისტია – საშუალო წლიური ღრუბლიანობა 0.2-ზე მეტი და ნალექთა წლიური ჯამი –არანაკლებ 250 კმ);
- საცდელი და საკონტროლო ტერიტორიების საერთო ფართობი, საკმაოდ თანაბრად განთავსებული ნალექმზომი ქსელით, უნდა შეადგენდეს დაახლოებით $50\ 000\ \text{კმ}^2$;
- ნალექმზომი სადგურების უმეტესობას უნდა გააჩნდეს 10 წელზე მეტი ხანგრძლივობის უწყებტი დაგვირვების რიგი;
- აუცილებელია საცდელ და საკონტროლო ტერიტორიებზე მოსულ ნალექთა შორის მაღალი კორელაციის არსებობა;
- ნალექთა ბუნებრივი ცვალებადობა არ უნდა იყოს დიდი და მან უნდა უზრუნველყოს ნალექთა 10-15% - ით მომატების აღმოჩენა სტატისტიკურად მისაღები ნიშნადობის დონეზე არა უმეტეს 5 წლის ხანგრძლივობის ექსპერიმენტირების შემთხვევაში;
- მეტად სასურველია შერჩეულ ტერიტორიაზე ნალექთა წლიური რაოდენობის უმეტესი ნაწილი მოდიოდეს 3-6 თვის განმავლობაში;
- ღრუბლების უმეტესი ნაწილი ატმოსფეროში უნდა ვითარდებოდეს უარყოფითი ტემპერატურის არეში, რათა შესაძლებელი იყოს მაკრისტალებელი რეაგენტით ეფუქტური ზემოქმედება;
- პოლიგონის უნდა გააჩნდეს შესაფერისი ინფრასტრუქტურა, რაშიც იგულისხმება მეტეოროლოგიური რადიოლოგატორი, სინოპტიკური ლაბორატორია, თანამგზავრულ მონაცემთა მიმღები ცენტრი, რეგულარული სინოპტიკური ქსელი, აგმოსფეროს რადიოზონდირების პუნქტი, ნალექმზომი და ვიზუალური დაკვირვების ჩასატარებელი ქსელი, მომსახურე პერსონალის საცხოვრებელი სახლები. პოლიგონის უნდა ემსახურებოდეს აგრეთვე რამდენიმე მფრინავი ლაბორატორია ღრუბელთა მიკროსტრუქტურისა და მასზე ზემოქმედების ეფექტის შესასწავლად.

მმო-ს ეს მოთხოვნები გათვალისწინებული იყო ფართომასშტაბური საერთაშორისო ექსპერიმენტის ჩასატარებლად. პოლიგონის შესარჩევად დაშვებული ქვეყნების სია მოიცავდა ალჟირს, ავსტრალიას, ინდოეთს, ესპანეთს, ტუნისსა და თურქეთს, ხოლო რეზერვში იმყოფებოდა არგენტინა და მექსიკა. ამ შთამბეჭდავი სიიდან შერჩეული იქნა ესპანეთი, რომლის ტერიტორიის ჩრდილო ნაწილში ქვილანუბლას გარშემო $100\ \text{კმ}$ რადიუსში განთავსებული იქნა საცდელი და საკონტროლო ტერიტორიები.

მოყვანილი მონაცემებიდან ჩანს, რომ საქართველოს ტერიტორიის შედარებით მცირე მასშტაბების გათვალისწინებით და არსებული პოლიტიკურ-ეკონომიკური რეალობის მხედვებლობაში მიღებით, ზემოთ ჩამოთვლილი კრიტერიუმები ჩვენი რესპუბლიკისათვის გარკვეულ კორექტირებას მოითხოვდა. კერძოდ, ნხგ სამუშაოთ წარმოების პირველ ეტაპზე საცდელი ტერიტორიის (იორის პოლიგონი) ფართობი შემოიფარგლა მდ.იორის ხეობის გასწვრივ $1000\ \text{კმ}^2$ -ით, ხოლო საკონტროლო ტერიტორიის ფართობი მდინარეების არაგვის, ქსნისა და ლიახვის ხეობების ჩართვით 4 000 კმ²-ით. სამუშაოთა მეორე ეტაპზე 1981 წლიდან საცდელ ტერიტორიას დაემატა 2 000 კმ² მდინარეების ხრამისა და ფარავნის აუზებში და 2 000 კმ² საკონტროლო ტერიტორია ჯავახეთის ზეგანზე, თუმცა, როგორც ეს მაღლევე გაირკვა, ტექნიკური მიზეზების გამო საკონტროლო ტერიტორიების ათვისება შეუძლებელი აღმოჩნდა და

ამიტომ ორივე პოლიგონზე ზემოქმედების ექსაერიმენტები ტარდებოდა მხოლოდ საცდელ ტერიტორიებზე რანდომიზაციის მეთოდის გამოყენებით 2/3 ზემოქმედების სასარგებლოდ.

ამ კორექტივების შეტანის შემდეგ ნათელი გახდა, რომ საქართველოს რეალობის გათვალისწინებით ნებ პოლიგონის შესარჩევად ერთ-ერთ საუკეთესო ვარიანტს წარმოადგენს მდ.იორის აუზი. დასავლეთ საქართველოს ტერიტორიაზე, სადაც ნალექთა ჯამები 1000-12000 მმ აჭარბებს, პოლიგონის მოწყობა აზრს კარგავს, ხოლო აღმოსავლეთ საქართველოს ნახევრად არიდულ პირობებში მდ.იორი, თავის მთავარ კონკურენტთან, მდ. ალაზანთან შედარებით, ორი დიდი წყალსაცავის არსებობის გამო, მეტად მომგებიან პოზიციაში იმყოფება.

საცდელ ტერიტორიისადმი წყენებულ მოთხოვნებსა და კრიტერიუმებს, მთავრობის მხრიდან მხარდაჭერასთან ერთად, იორის პოლიგონი აკმაყოფილებდა. მაგალითად, 1980-იანი წლებისთვის მდ.იორის აუზში ფუნქციონირებდა 13 ნალექმზომი პუნქტი და 2 ჰიდროლოგიური საგუშაგო, რომელთაც 10 წელზე გაცილებით მეტი სანგრძლივობის უწყვეტი დაკვირვების რიგები გააჩნდათ. საცდელ და საკონტროლო ტერიტორიებზე მოსულ ნალექთა შორის კორელაცია მაღალი აღმოჩნდა და ნალექთა ბუნებრივი ცვალებადობა არ არის მაღალი. ნალექთა წლიური რაოდენობის ნახევარზე მეტი მდ.იორის აუზის მეტეოსადგურებზე მოდის 5 თვის განმავლობაში - მარტიდან აგვისტომდე და როგორც ახვენა შემდგომმა გამოკვლევებმა, მათი 10-15 %-ით მომატება 5-15 წლის ექსაერიმენტირების შედეგად სავსებით შესაძლებელია 0.90-0.95 სანდო ალბათობის დონეზე. თბილისის აეროლოგიური მონაცემების თანახმად, ზაფხულში კავკასიონის სამხრეთ ფერდობების ტერიტორიაზე 0°C იზოთერმის სიმაღლე საშუალოდ შეადგენს 3.5 კმ ზღვის დონიდან, ხოლო ზემოქმედებისათვის შესაფერისი კონვექციური ღრუბლების სიმაღლე - უმეტესწილად 6-8 კმ ზ.დ. და მეტს, რაც მათზე მაკრისტალებული რეაგენტით მოქმედების შესაძლებლობას იძლევა.

რაც შეეხება პოლიგონზე შესაფერისი ინფრასტრუქტურის არსებობას, 1977 წელს მისი ადგილმდებარეობის შერჩევის შემდეგ 1979 წლისთვის, როგორც ზემოთ იყო ნათქვამი, შეიქმნა სავალე სამუშაოების ჩასატარებლად ყველა საჭირო პირობები, გახშირებული ნალექმზომი ქსელისა და საცხოვრებელი შენობების ჩათვლით. იმის გათვალისწინებით, რომ პოლიგონი ჩრდილოეთი მხრიდან ესაზღვრება კავკასიონის საკმაოდ მაღალ მთებს სიმაღლით 3100-3900 მ ზ.დ., თვითმფრინავების გამოყენება აგმოსფეროში კონდენსაციისა და ყინულწარმოქნელი ბირთვების კონცენტრაციის, აგრეთვე ღრუბლების ცალკეული ნაწილაკების მიკროსტრუქტურისა და მასზე ზემოქმედების ეფექტის შესასწავლად, შეუძლებელი აღმოჩნდა. იგივე შეზღუდვა შეეხება ხრამი-ფარავნის პოლიგონსაც. ამის გათვალისწინებით ორივე პოლიგონზე ღრუბლებზე ზემოქმედებისთვის საავიაციო ტექნიკის ნაცვლად მიღებული იქნა სარაკეტო (იორის პოლიგონი) და საარტილერიო (ხრამი-ფარავნის პოლიგონი) ტექნიკა. ეს გარემოება გამოწვეული იყო იმით, რომ იორის პოლიგონის საცეცხლე წერტილებს ემსახურებოდა სეტვეასთან ბრძოლის გასამხედროებული სამსახურის თელავის ქვედანაყოფი, ხოლო ხრამი-ფარავნის საცეცხლე წერტილებს – თეთრიწყაროს გასამხედროებული ქვედანაყოფი.

ქვემოთ მოვიყვანთ იორისა და ხრამი-ფარავნის საცდელი ტერიტორიების ფიზიკურ-გეოგრაფიულ დახასიათებას.

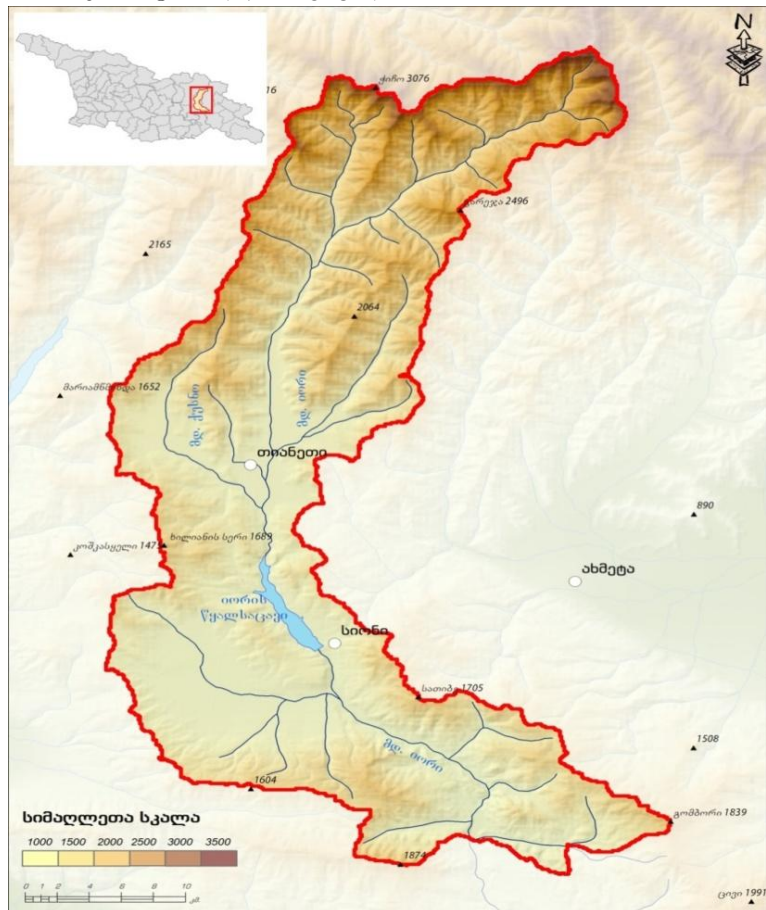
1.2.იორის პოლიგონი

1.2.1. რელიეფი

მდ.იორის ხეობაში საცდელ ტერიტორიად შერჩეული იქნა მდინარის აუზის ზემო წელი მდინარის სათავიდან დაწყებული სოფ. პალდომდე დამთავრებული. აუზის ეს ნაწილი დასავლეთიდან შემოსაზღვრულია ქართლის ქედით, ხოლო აღმოსავლეთიდან კახეთის ქედით. ორივე ქედი ერთიანდება დიდ ბორბალოს მთასთან (3294 მ), სადაც სათავეს იღებს იორთან ერთად ალაზანი, ფშავის არაგვი და ანდაკის წყალი. იორის პოლიგონის სამხრეთ საზღვარზე ქართლის ქედს ემიჯნება საგურამო-იალნოს ქედი, რომელიც სოფ. პალდოსთან აუზის ზედა ნაწილის ჩამკეტს წარმოადგენს. წყალგამყოფის აღმოსავლეთიდან ესაზღვრება იორის პოლიგონს. მისი საერთო ფართობი შეადგენს 1 000 კმ²-ს.

იორის პოლიგონის შემომსაზღვრელი ქედები საშუალო სიმაღლის კატეგორიას მიეკუთვნება. ქართლის ქედზე მწვერვალების სიმაღლე ჩრდილოეთიდან სამხრეთისაკენ კლებულობს 2 700-დან 1 700 მ-მდე, კახეთის ქედზე – 2 600-დან 1 300-მდე ზ.დ., საგურამო-იალნის ქედის აღმოსავლეთ ნაწილში მთების სიმაღლე არ აღემატება 1 600 მ. პოლიგონის კველაზე დაბალი ადგილებია ერწოს ველი და თიანეთის ქვაბული, რომელთა სიმაღლე 1 100 მ-ს არ აღემატება, თუმცა პოლიგონის უმდაბლესი ჰიფსომეტრული დონე აღინიშნება პალდოს სათავე-ნაგებობასთან (840 მ ზ.დ.), საიდანაც ხდება წყალაღება ძღირიდან ზემო სამგორის მაგისტრალურ არხში.

იორის პოლიგონის რელიეფის რუკა მოცემულია ნახ. 1.1-ზე. როგორც ამ რუკიდან ჩანს, პოლიგონის ვიწრო სამკუთხა ამფიოთეატრის ფორმა გააჩნია, რომლის უმაღლესი მწვერვალია მთა დიდი ბორბალო, ხოლო უმდაბლესი ფუძე განთავსებულია იალნისა და გომბორის ქედების შემაერთებელ ხასზე სოფ.პალდოს გავლით.



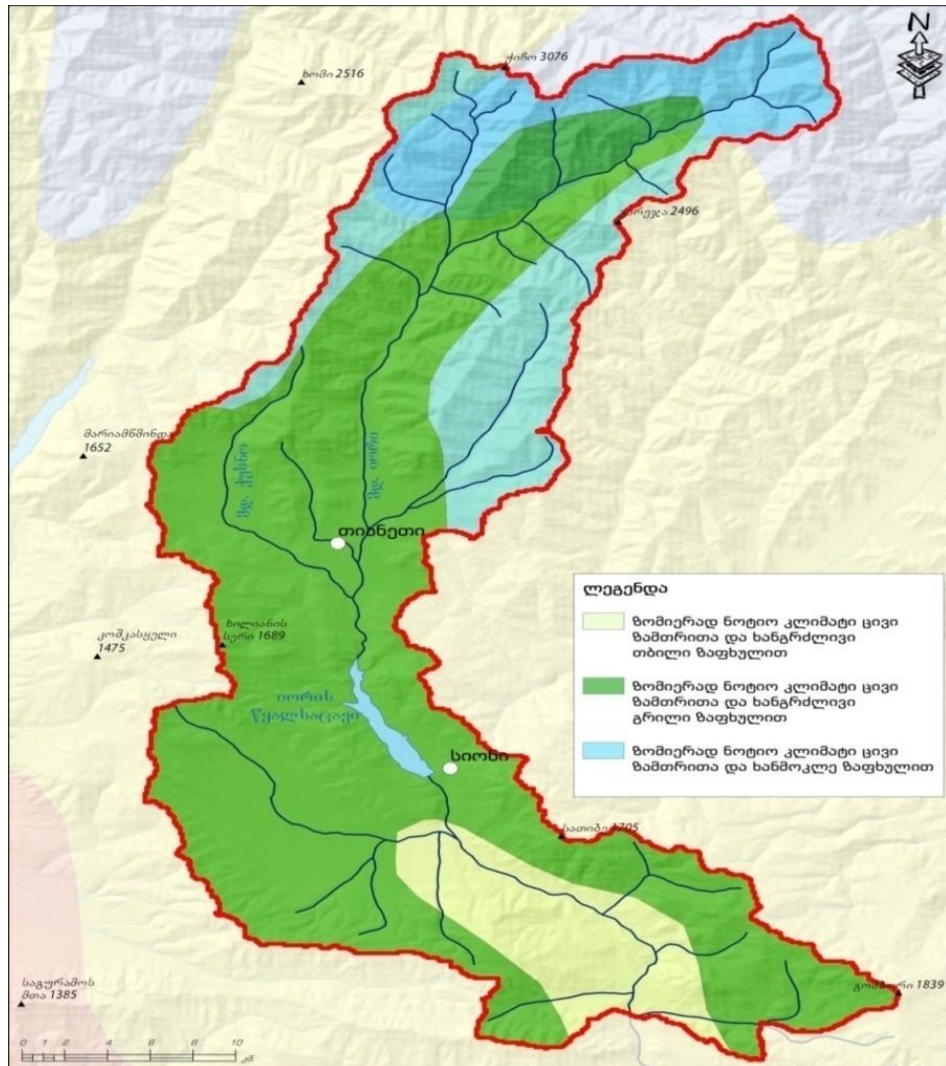
ნახ. 1.1. იორის პოლიგონის რელიეფის რუკა [15]

1.2.2. პაგა

იორის პოლიგონის პაგას განაპირობებს კავკასიის ტერიტორიაზე მოქმედი ატმოსფეროს ცირკულაციური პროცესების ურთიერთქმედება რელიეფის ფორმებთან. დიდი კავკასიონის და მცირე კავკასიონის მთიანი მასივები ძირითადად აიძულებენ პაერის მასებს ტროპოსფეროში 3-4 ჯგუფის სიმაღლემდე იმოძრაონ განედური მიმართულებით, რის გამოც პოლიგონზე ძირითადად გაბატონებულია დასავლეთის ან აღმოსავლეთის ქარები. დასავლეთიდან პაერის ნოტიო მასების შემოჭრა ხდება ატლანტის ოკეანიდან, ხმელთაშუა და შავი ზღვის გავლით, თუმცა ლიხის ქედის გადმოლახვის შემდეგ აღმოსავლეთ საქართველოში პაერის მასები ფირნურ ხასიათს ღებულობს და მათი ტენშემცველობა კლებულობს. იორის პოლიგონზე დასავლეთიდან შემოჭრილი პაერის მასები დამატებით განიცდიან აღმასვლას ქართლისა და კახეთის ქედებზე და დაღმასვლას ერწოს ველსა და თიანეთის ქვაბულში. აღნიშნული პროცესები უმეტესწილად წლის თბილ პერიოდში ვითარდება და მათი ზედდება ატმოსფეროს

ფართომასშტაბურ პროცესებზე ლოკალური ციკლოგენეზისის შემთხვევაში ზოგჯერ იწვევს საკვლევ ტერიტორიაზე მძლავრი კონვექციური დრუბლების ე.წ. სუპერუჯრედიანი დრუბლების განვითარებას, რომლებიც შემდგომში გადადიან ალაზნის ველზე და იწვევს კატასტროფულ შედეგებს.

აღმოსავლეთიდან მოქმედი ჰაერის ნაკადები საკვლევ ტერიტორიაზე შემოჭრამდე სათავეს იდებენ არქტიკის აღმოსავლეთ სექტორში და მოჰყვებიან ციმბირის ანტიციკლონის სამხრეთ-დასავლეთის ტოტს, რომელიც საქართველოს ტერიტორიას აღწევს ზერბაიჯანის მშრალი სტეპების გავლით. ამიტომ ჰაერის ასეთი მასების ტენშემცველობა ნაკლებია, ზაფხულში მათი პრევალირება იწვევს გვალვას, ხოლო ზამთარში – არცთუ ძლიერ, მაგრამ ხანგრძლივ თოვლიანობას. სიმაღლეთა საკმაოდ დიდი სხვაობის გამო, რომელიც ბორბალოს მთიდან სოფ.პალდომდე 2454 მეტრს აღწევს მდ.იორის აუზში საცდელი ტერიტორიის ფარგლებში მ.კორდახიას კლასიფიკაციის თანახმად გამოიყოფა 3 კლიმატური ზონა, რომელთა განლაგების სქემა მოცემულია ნახ.1.2.-ზე [5].



ნახ. 1.2. იორის პოლიგონის კლიმატური დარაიონება [5].

ამ ნახაზზე ყველა დაბლა მდებარე, მდ.იორის შუაწელიდან შემოჭრილი კლიმატური ზონა შეესაბამება ზომიერად ნოტიო ჰავას ცივი ზამთრითა და ხანგრძლივი თბილი ზაფხულით. აუზში ყველაზე ვრცელი ადგილი უჭირავს კლიმატურ ზონას, რომელსაც შეესაბამება ზომიერად ნოტიო ჰავა ცივი ზამთრითა და ხანგრძლივი გრილი ზაფხულით. მას ჩრდილოეთიდან ესაზღვრება ზონა, ზომიერად ნოტიო კლიმატით, ცივი ზამთრითა და ხანგრძლებულ ზაფხულით.

ადსანიშნავია, რომ საკვლევი ტერიტორიის ზემოთ მოყვანილი დარაიონება ჩატარებულია 1950-იანი წლებისთვის არსებული კლიმატური მონაცემების საფუძველზე. განვლილ ნახევარ

საუკუნეზე მეტი დროის მანძილზე 1980-იანი წლებიდან დაწყებული გლობალური დათბობის პროცესმა უკვე შეიტანა შესამჩნევი ცვლილებები საქართველოს ტერიტორიაზე მეტეოროლოგიური ელემენტების რეჟიმში. კერძოდ, გაეროს კლიმატის ცვლილების კონვენციისათვის (UNFCCC) შედგენილ საქართველოს მესამე ეროვნულ შეტყობინებაში [6] ჩატარებული ანალიზის თანახმად, მდინარეების იორისა და არაგვის აუზებში არსებულ მეტეოროგურებზე 1961-დან 2010 წლამდე საშუალო წლიურმა ტემპერატურამ მოიმატა 0.5°C -ით. აღნიშნულ ტერიტორიაზე მეტეოროლოგიური რეჟიმის მახასიათებლებით თიანეთთან ყველაზე ახლოს აღმოჩნდა ფასანაური ($1070 \text{ m } \text{ზ.დ.}$, საშუალო წლიური ტემპერატურა 7.8°C 1967 საცნობარო მონაცემებით), რომლისთვისაც 2050 წლამდე 0.9°C -ით, ხოლო 2100 წლამდე პროგნოზირებულია მისი შემდგომი გაზრდა კიდევ 2.3°C -ით.

ტემპერატურის ეს ცვლილებები, ბუნებრივია, გამოიწვევს კლიმატური ზონების საზღვრებში შესაბამის დეფორმაციას, კერძოდ, მოსალოდნელია, რომ პოლიგონის ტერიტორიაზე ყველაზე დაბალ სიმაღლეებზე მდებარე კლიმატური ზონა შეიჭრება მეორე ზონაში და მიაღწევს თიანეთამდე, ხოლო მესამე კლიმატური ზონა დაიკავებს მდიორის სათავეებს და მიაღწევს ბორბალოს მთის მწვერვალამდე.

ატმოსფეროს ცირკულაციურ ფაქტორებთან ერთად ერთ-ერთ ძირითად კლიმატურმომქმნელ ელემენტს წარმოადგენს მზის ნათების ხანგრძლივობა. მცხოვა-მთიანეთის რეგიონში ამ ელემენტზე დაკვირვებები წარმოებდა ყაზბეგის მაღალმთიან სადგურზე ($3653 \text{ m } \text{ზ.დ.}$), გუდაურში (2197 m), დუშეთში (922 m) და მუხრანში (550 m). ამ სადგურებიდან თიანეთის (1099 m) პირობებს ყველაზე უკეთ ესადაგება მისგან 24 km დაშორებული, მდარაგვის მეზობელ აუზში მდებარე დუშეთის მეტეოროგური, რომლის 30 წლიანი რიგის მქონე მონაცემები მოყვანილია ცხრილში 1.1.

ცხრილი 1.1. მზის ნათების ხანგრძლივობა თიანეთში (სთ). სადგური - ანალოგი დუშეთი [7]

I	II	III	IV	V	VI	VII	VIII	IX	X	XI	XII	წელი
127	128	154	172	208	252	264	257	205	176	131	116	2190

იორის პოლიგონის საზღვრებში დაკვირვებები პარის ტემპერატურაზე წარმოებდა 3 პუნქტზე – თიანეთი, სიონი, გომბორი, რომელთა მონაცემები კლიმატური ცნობარის [8] მიხედვით მოყვანილია ცხრილში 1.2.

პარის ფარდობითი სინოტიფის საშუალო თვიური მნიშვნელობები იმავე პერიოდისთვის იგივე სადგურებისთვის მოცემულია ცხრილში 1.3.

ატმოსფერულ ნალექებს საშუალო თვიური ჯამები იმავე პერიოდში იგივე სადგურებისთვის მოყვანილია ცხრილში 1.4.

ცხრილი 1.2. პარის ტემპერატურის საშუალო და ექსტრემალური მნიშვნელობები ($^{\circ}\text{C}$) იორის პოლიგონის ტერიტორიაზე 1930-1660-იანი წლების მონაცემებით [8].

ელემენტი	თვე	I	II	III	IV	V	VI	VII	VIII	IX	X	XI	XII	წელი
თიანეთი (1099 მ ზ.დ.)														
საშ. ტემპერატ.	-4.7	-3.1	1.3	7.0	12.4	15.7	18.6	18.5	14.4	9.2	3.3	-2.1	7.5	
ტემპერატ. აბს. მინ.	-34	-29	-22	-14	-4	0	3	2	-6	-11	-19	-28	-34	
ტემპერატ. აბს. მაქს.	15	17	24	28	30	32	34	36	33	30	25	19	36	
სიონი (1 000 მ ზ.დ.)														
საშ. ტემპერატ.	-4.1	-2.8	1.3	6.9	12.0	15.0	18.3	18.5	14.4	9.3	3.5	-1.8-	7.6	
ტემპერატ. აბს. მინ.	-3.3	-2.8	-21	-9	-4	1	3	2	-6	-10	-15	28	-33	
ტემპერატ. აბს. მაქს.	15	17	24	28	31	33	34	35	33	30	24	20	35	
გომბორი (1085 მ ზ.დ.)														
საშ. ტემპერატ.	-2.6	-1.7	1.7	7.1	12.1	15.7	18.3	18.6	14.3	9.6	4.0	-0.1	8.1	
ტემპერატ. აბს. მინ.	-27	-19	-18	-9	-4	2	4	4	-4	-9	-13	-24	-27	
ტემპერატ. აბს. მაქს.	17	18	23	27	30	34	34	35	33	30	25	18	35	

ცხრილი 13. ჰაერის ფარდობითი სინოტივის საშუალო თვიური მნიშვნელობები იორის პოლიგონის ტერიტორიაზე 1930-1960 -იანი წლების მონაცემებით [9]

მეტეოროლოგური	I	II	III	IV	V	VI	VII	VIII	IX	X	XI	XII	წელი
თიანეთი	81	80	78	75	76	75	74	33	79	80	82	82	78
სიონი	84	83	80	74	78	76	76	74	79	81	84	84	79
გომბორი	75	75	76	72	74	74	75	73	74	79	78	74	75

ცხრილი 14. ატმოსფერული ნალექების საშუალო თვიური ჯამები (მმ) იორის პოლიგონის ტერიტორიაზე 1930-1960 წლების მონაცემებით [9]

მეტეოროლოგური	I	II	III	IV	V	VI	VII	VIII	IX	X	XI	XII	წელი
თიანეთი	36	43	50	80	127	113	79	62	66	58	47	34	795
სიონი	32	38	44	71	112	99	69	55	58	51	41	30	700
გომბორი	26	36	55	75	117	101	72	41	60	66	53	28	730

ღრუბლიანობის მონაცემები იმავე სადგურებისათვის მოცემულია ცხრილში 15.

ცხრილი 15. იორის პოლიგონის მეტეოროლოგურებზე თვის საშუალო საერთო და ქვემო იარუსის ღრუბლიანობა (ბალებში) [10]

ღრუბლიანობა	I	II	III	IV	V	VI	VII	VIII	IX	X	XI	XII	წელი
თიანეთი													
საერთო	5.6	6.1	6.6	6.6	6.4	5.5	5.2	4.8	5.1	5.3	6.1	5.4	5.7
ქვემო	4.7	5.0	5.6	5.5	5.2	4.5	4.3	4.0	4.6	4.5	5.2	4.5	4.8
გომბორი													
საერთო	6.4	6.7	7.2	6.9	6.7	6.0	5.6	5.1	5.5	5.7	6.6	6.0	6.2
ქვემო	4.6	4.9	5.3	5.4	5.2	4.5	4.0	3.6	4.3	4.2	5.1	4.1	4.6

ქარის რეჟიმი იორის პოლიგონზე რთული რელიეფისა და ტყის საფარის ზეგავლენით მრავალფეროვნებით ხასიათდება. როგორც ზემოთ იყო ნათქვამი, ატმოსფეროს ზოგადცირკულაციური პროცესების ზეგავლენით ქარის გაბატონებულ მიმართულებებს საკვლევ ტერიტორიაზე წარმოადგენს დასავლეთი და აღმოსავლეთი, რაც ყველაზე მკაფიოდ ვლინდება ერწოს ველზე და, ნაწილობრივ თიანეთის ქვაბულში. პოლიგონის სხვა ნაწილებში ქარები, როგორც წესი, მიმართულებას იცვლის ხეობების მიმართულებების ზეგავლენით და მათი სიჩქარე არსებითად კლებულობს ტყის საფართან ურთიერთქმედების შედეგად. ზაფხულის თვეებში იორის ხეობაში საკმაოდ ძლიერია მთა-ხეობის ქარი, რომელიც დღის საათებში სამხრეთის მიმართულებისაა, ხოლო დამის საათებში პოლიგონის ჩრდილო ნაწილში იგი ჩრდილოეთის მიმართულებით იცვლება. სისტემატური დაკირვებები ქარის რეჟიმზე საკვლევი ტერიტორიის ფარგლებში გასული საუკუნის 40-60-იან წლებში ტარდებოდა თიანეთისა და სიონის მეტეოროლოგურებზე. ამ დაკირვებათა შედეგები მოყვანილია ცხრილში 1.6.

ცხრილი 1.6. ქარის საშუალო სიჩქარე (მ/წმ) იორის ხეობის ზემო ნაწილის მეტეოროლოგურებზე [11]

მეტეოროლოგური	I	II	III	IV	V	VI	VII	VIII	IX	X	XI	XII	წელი
თიანეთი	1.8	2.2	2.4	2.3	2.1	2.1	1.7	1.6	1.8	1.8	1.3	1.2	1.9
სიონი	2.6	3.2	3.3	3.2	2.7	2.6	2.2	2.1	2.3	2.7	2.1	2.2	2.6

როგორც ამ მონაცემებიდან ჩანს, იორის ხეობაში ქარის სიჩქარეები საკმაოდ დაბალია, თუმცა სიონის წყალსაცავის ზეგავლენით მაინც შეიმჩნევა ქარის სიჩქარის გარკვეული ზრდა მის სამხრეთ ნაწილში, რომელსაც დასავლეთიდან ესაზღვრება ტყის საფარს მოკლებული ერწოს ველი.

ძლიერ ქარიან ($V \geq 15$ მ/წმ) დღეთა რიცხვი წელიწადში იორის ხეობის სადგურებზე საშუალოდ აღწევს 30-ს, რაც გაცილებით მეტია დუშეთის (5) და ფასანაურის (1)

მაჩვენებლებზე, თუმცა არსებითად ჩამოუვარდება მუხრანის (67) და თბილისის აეროპორტის (127) მაჩვენებლებს.

სტიქიური მოვლენებიდან იორის ხეობის ზემო ნაწილში შეიძლება აღინიშნოს წყალმოვარდნის გამომწვევი ინტენსიური უხვი ნალექი, რა დროსაც ნალექთა დღედამურმა ჯამში 10-20% ალბათობით შესაძლებელია 60-80 მმ მიაღწიოს. დღედამური ჯამის მაქსიმუმი თიანეთში დაკვირვების 1925-1965 წწ. პერიოდში დაფიქსირდა 1962 წლის 31 ივლისს, როდესაც ამ სიდიდემ 105 მმ მიაღწია, რაც ახლოსაა თეორიული გათვლებით მიღებული 2%-იანი უზრუნველყოფის მნიშვნელობასთან (103 მმ).

ექსტრემალური მოვლენებიდან იორის პოლიგონის ტერიტორიაზე აღსანიშნავია აგრეთვე სეტყვა, რომლის მოსვლის სიხშირეზე 1928-1965 წწ. პერიოდში, ინფორმაციას იძლევა ცხრილი 1.7.

ცხრილი 1.7. სეტყვიან დღეთა საშუალო რაოდენობა იორის პოლიგონის ტერიტორიაზე 1928-1965 წწ. მონაცემებით [10]

მეტეოროლოგიური	I	II	III	IV	V	VI	VII	VIII	IX	X	XI	XII	წელი
თიანეთი			0.08	0.2	1.1	0.9	0.2	0.2	0.1	0.05	0.03		2.9
სიონი			0.06	0.3	0.1	0.5	0.06	0.1	0.06			0.06	1.2
გომბორი			0.09	0.1	2.3	0.9	0.09	0.09	0.08	0.04			3.7

ამ ცხრილიდან ჩანს, რომ პოლიგონის ტერიტორიაზე მინიმალური სეტყვიანობით ხასიათდებოდა სიონის წყალსაცავის ტერიტორია, სადაც წყლის გრილი ზედაპირი ხელს არ უწყობს ჰაერის აღმავალი ნაკადების განვითარებას. შებრუნებული სურათია გომბორის ქედის სამხრეთ-დასვლეთ ფერდობებზე, სადაც კონვექციური პროცესები ძლიერდება ჰაერის მასების დასავლეთიდან შემოჭრისას და აგრეთვე მთების სამხრეთ ფერდობების მზის რადიაციით გათბობის შედეგად.

მიუხედავად სეტყვიანობის საკმაოდ მოკრძალებული მაჩვენებლებისა, მდ. არაგვის, იორისა და ალაზნის აუზების ზემოწელი, რომელიც გუდამყრის, ქართლისა და კახეთის ქედებს მოიცავს, შესაფერისი სინოპტიკური სიტუაციის შემთხვევაში ზოგჯერ, როგორც ზემოთ იყო ნახსენები, ხელს უწყობს ზემდლავრი კონვექციური დრუბლების განვითარებას, რომლებიც 5-6 სმ დიამეტრის სეტყვას იძლევა. წიგნის ავტორებს 1982 წლის აგვისტოში შესაძლებლობა მიეცათ დაეთვალიერებინათ თიანეთის რაიონის ტერიტორიაზე ასეთი სეტყვის შედეგად ფოთლებისაგან მთლიანად გაშიშვლებული ტყის საფარი. აღნიშნულ ტერიტორიაზე წარმოქმნილი პროცესები ხშირად გადადის ალაზნის ველზე, მიუყვება კავკასიონის სამხრეთ ფერდობებს და სუსტდება აზერბაიჯანის ტერიტორიაზე გასვლის შემდეგ.

იორის პოლიგონის ტერიტორიაზე თოვლის საფარის ხანგრძლივობისა და სიმაღლის შესახებ ინფორმაციას შეიცავს კლიმატურ ცნობარში [9] მოყვანილი მონაცემები (ცხრ. 1.8).

ცხრილი 1.8. თოვლის საფარის საშუალო დეკადური სიმაღლე (სმ) იორის პოლიგონის მეტეოროლოგურებზე 1925-1965 წწ. მონაცემებით [9].

სადგური	თვე,													
	XI		XII		I		II		III		IV		V	
	დეკადა													
	3	1	2	3	1	2	3	1	2	3	1	2	3	1
თიანეთი		4	6	9	14	17	20	23	21	22	20	14	12	3
სიონი			4	6	7	8	13	15	13	10	11	7	4	
გომბორი	2	3	5	7	7	8	12	17	13	12	13	11	9	3

ამ ცხრილიდან ჩანს, რომ 1925-1965 წწ. პერიოდში იორის პოლიგონის ტერიტორიაზე ზღვის დონიდან 1000-1100 მ სიმაღლეზე თოვლის მდგრადი საფარი ჩნდებოდა საშუალო დეკადრის პირველ ნახევარში და გასტანდა მარტის ბოლომდე, ან აპრილის დასაწყისამდე თოვლის საფარის სიმაღლე თიანეთში აღწევდა 20 სმ, ხოლო სიონსა და გომბორში 15 სმ.

1980-იანი წლებიდან დაწყებულმა გლობალური დათბობის პროცესმა აშკარა კვალი და-ატყო თოვლიანობის რეჟიმს საქართველოში, მათ შორის კავკასიონის სამხრეთ ფერდობებზე აღმოსავლეთ საქართველოს ფარგლებში. თოვლის მოსვლის შემთხვევებმა საგრძნობლად იკ-ლო, რაც გამოვლინდა თოვლის ზეავების შემცირებაში და მყინვარწვერის გამყინვარების დეგრადაციაში. 1990-იანი წლებში მეტეოროლოგიური ქსელის კატასტროფული შემცირების შედეგად ცხრილში მოყვანილ მონაცემთა გადამოწმების საშუალება არ არსებობს, ამიტომ მათი გამოყენება დღევანდელ პირობებში აღარ მიღვაჩნია მიზანშეწონილად.

როგორც ზემოთ იყო აღნიშნული, გლობალური დათბობის შედეგად მდ.იორის აუზში მიმდინარე საუკუნის ბოლომდე მოსალოდნელია ჰაერის ტემპერატურის რამდენიმე გრადუ-სით მომატება, რაც საქართველოს მესამე ეროვნულ შეტყობინებაში [6] ჩატარებული ანალი-ზის თანახმად, გამოიწვევს ნალექთა ჯამების შესაბამის ცვლილებასაც. იმის გამო, რომ 2000-იანი წლების დასაწყისში თიანეთის მეტეოსადგურმა შეწყვიტა ფუნქციონირება, აღნიშ-ნულ დოკუმენტში მდ.იორისა და არაგვის ზემოწელში რეპრეზენტატული მეტეოსადგურად დარჩა ფასანაური, რომლის მონაცემები სათანადო კორექტივების შეტანით გამოყენებულ იქ-ნა თიანეთისთვის ტემპერატურისა და ნალექების 2050 და 2100 წლამდე პროგნოზის შესადგუ-ნად (ცხრ. 1.9).

ცხრილი 1.9. ტემპერატურის საშუალო (T) და ნალექთა წლიური ჯამების (P) ფაქტობრივი, 2050- და 2100 წლამდე პროგნოზირებული მნიშვნელობები თიანეთისთვის, მეტეოსადგურ ფასანაურის მონაცემთა გამოყენებით [6]

სადგური	კლიმატური ცნობარით		2010 წლის მონაცემებით		პროგნოზით 2050 წლისთვის		პროგნოზით 2100 წლისთვის	
	T, °C	P, მმ	T, °C	P, მმ	T, °C	P, მმ	T, °C	P, მმ
თიანეთი	7.5	795	8.2	847	9.1	862	11.4	728
ფასანაური (საბაზისო)	7.8	932	8.5	984	9.4	1002	11.7	846

ამ ცხრილიდან ჩანს, რომ დათბობის შედეგად ჰაერის საშუალო ტემპერატურამ თიან-ეთში საუკუნის ბოლოსთვის შესაძლებელია 3.2°C -ით მოიმატოს 2010 წელთან შედარებით, რაც მას საგარეჯოს ამჟამინდელ კლიმატს მიამსგავსებს. რაც შეეხება ნალექთა ჯამებს, 2050 წლისთვის უმნიშვნელო მომატების შემდეგ საუკუნის ბოლოსთვის მოსალოდნელი იქნ-და მათი შემცირება დაახლოებით 15%-ით.

12.3. ნიადაგები, ლანდშაფტები და მცენარეული საფარი ნიადაგები

მდ.იორის აუზის ზემო ნაწილში, რომელიც უჭირავს იორის პოლიგონს, მიღებული კლასიფიკაციის თანახმად [12], მირთადად ნიადაგების 3 ჯგუფი გამოიყოფა, რომელთაგან ყველაზე მაღალ სიმაღლეზე, 2500 მეტრის ზემოთ, ბორბალოს მთის ფერდობებზე, განთავსებულია მთა-მდელოს კორდიანი ნიადაგები. უფრო დაბლა, მდ.იორის სათავეებში, რომელიც თითქმის მთელ თიანეთის მუნიციპალიტეტს მოიცავს, დომინირებს ყომრალი ნიადაგები (ყომრალი სუსტად არამაძლარი), რომელშიც ალაგ-ალაგ გამოიყოფა ყომრალი მჟავე, შავმიწა და ყავისფერი გამოტებული ჯგუფები. პოლიგონის სამხრეთით მცირე ნაწილი მოიცავს ტყის ყავისფერ ნიადაგებს.

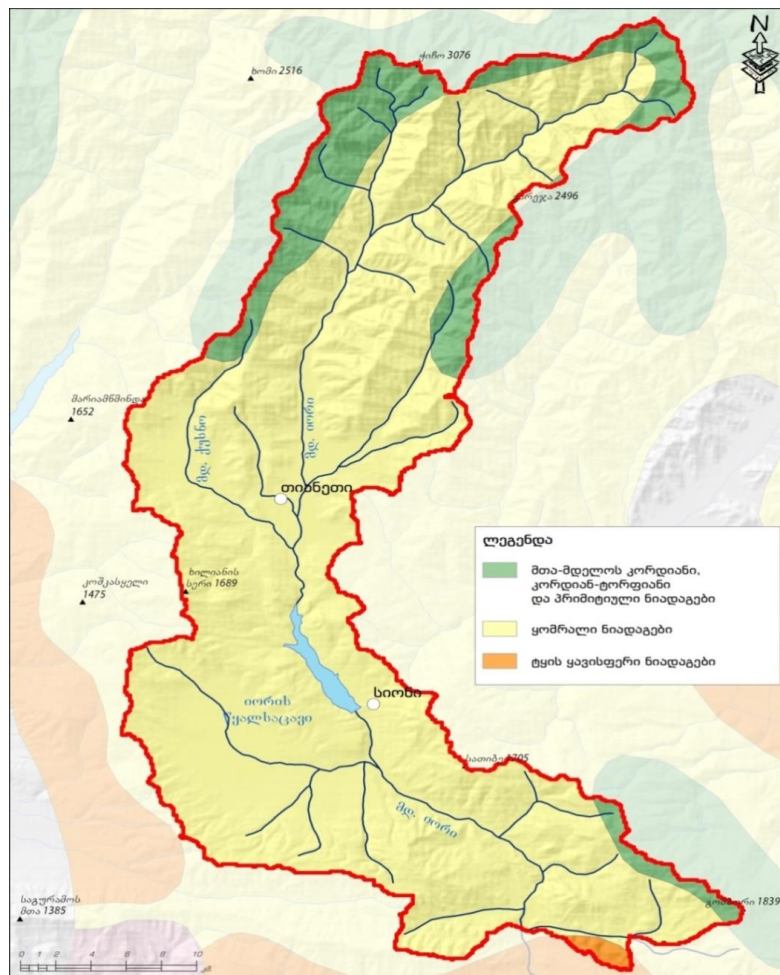
ნიადაგების გავრცელების სქემა მოცემულია ნახ. 1.3-ზე.

ლანდშაფტები და მცენარეული საფარი

მდ.იორის აუზში მცენარეული საფარით ყველაზე მდიდარია მისი ზემოწელი, რომელიც მოიცავს იორის პოლიგონს. კავკასიონის ლანდშაფტებისადმი მიძღვნილ კლასიფი ნაშრომში [13] ნ. ბერუბაშვილი აღნიშნულ რაიონში, ნიადაგებისა და კლიმატური პირობების დიდი სხვადასხვაობის გათვალისწინებით გამოიყოფს 5 ლანდშაფტურ ზონას, რომლებიც სიმაღლის კლებასთან ერთად შემდეგნაირად იცვლება:

- ბორბლოს მთის მწვერვალის მიდამოებში, 2500 მ ზემოთ – მაღალმთის დენუდაციური და პალეოგლაციალური ლანდშაფტები ალპური მდელოების, ბუჩქნარისა და მეჩერი ტყეების კომპლექსით;

- მაღალმთის ეროზიულ-დენუდაციური ლანდშაფტები სუბალპური მდელოებით, არყნარისა და აღმოსავლეთის მუხრანი ტყეებით (სიმაღლეთა შუალედი 1800-2500 მ ზ.დ.);
- საშუალო მთის ეროზიულ-დენუდაციური ლანდშაფტები, წიფლნარი და კავკასიური ფიჭვის ტყეებით (1200-1800 მ ზ.დ.);
- დაბალი მთის ეროზიულ-დენუდაციური ლანდშაფტები, ჯაგრცხილნარი და მუხრანი ტყეებითა და ამონაყრით (800-1200 მ ზ.დ.);
- ჭალის ტყეები მუხრანითა და მდელოებით, ალაგ-ალაგ მცირედ დაჭაობებული და დამლაშებული მიწებით (მდ.იორის ნაპირების გაყოლებით 800-დან 1 200 მეტრამდე ზ.დ.).



ნახ. 1.3. ნიადაგების ჯგუფების გაგრცელება იორის პოლიგონზე [12]

ამ კლასიფიკაციასთან შესატყვისობაში 2000 მ ზევით ქართლისა და კახეთის ქედების მწვერვალებსა და მათ ფერდობებზე გაშლილია ალპური მდელოები, რომლებიც უფრო დაბლა იცვლება სუბალპური საძოვრებითა და დეკიანებით. 1800 მ-ზე ქვემოთ იწყება ხშირი ტყეები, რომლებშიც უმეტესად ჭარბობს მუხა, წაბლი, წიფელი და რცხილა. თიანეთისა და სიონის ქვაბულებში ფერდობები დაკავებულია სახნავებითა და ბაღებით, რომლებიც ენაცვლება ფოთლოვან და შერეულ კორომებს. სიონის ქვაბულის დასავლეთით გაშლილი ერწოს ველი მთლიანად დაფარულია სასოფლო-სამეურნეო სავარგულებით და მათ დასავლეთიდან და სამხრეთიდან ეკვრის ხშირი ფოთლოვანი ტყეებით შემოსილი საგურამო-იალნოს ქედი. ასევე ტყეებითა დაფარული სიონის წყალსაცავის აღმოსავლეთი ნაპირები და მდ.იორის მარცხნივ მდებარე გომბორის ქედის ფერდობები, რომლებიც ჩრდილოეთიდან გადადის კახეთის ქედში.

რაც შეეხება ჭალის მცენარეულობას, იორის ხეობაში იგი იწყება სოფ. არტანის ქვემოთ და ვიწრო ზოლად მიუყვება მდინარის ნაპირებს, იორის გასვლამდე ივრის ზეგანზე სოფ უჯარმასთან, იორის პოლიგონის სამხრეთით.

1.2.4. პიდროლოგიური ქსელი

მდ.იორის აუზში წყლის რესურსების უმეტესი ნაწილი თავმოყრილია მის ზემოწელში, სოფ. პალდომდე, სადაც სათავეები იღებს თბილისის ზღვის შემავსებელი ზემო სამგორის მაგისტრალური არხი. მდ.იორის საერთო სიგრძე შეადგენს 320 კმ, საიდანაც მის ზემო წელზე, მაგისტრალური არხის სათავე მოდის 84 კმ. სიმაღლეთა სხვაობა მდ.იორის სათავიდან (2000 მ ზ.დ.) სოფ. პალდომდე (840 მ ზ.დ.) უდრის 1760 მ. მდინარის აღნიშნულ მონაკვეთზე იორს ერთვის 7 მუდმივი შენაკადი, რომელთა შესახებ მონაცემები მოყვანილია ცხრილში 1.10.

მდ.იორის განხილულ მონაკვეთზე 1990-იან წლებამდე ფუნქციონირებდა 3 პიდროლოგიური საგუშაგო, რომელთაგან საბაზისოს წარმოადგენდა საგუშაგო ლელოვანი, სადაც იზომებოდა სიონის წყალსაცავში შემოსული წყლის რაოდენობა. ამ საგუშაგოების გარდა 1980-იან წლებში მდ. იორზე სოფ. ბოჭორმასთან დაიგეგმა კიდევ ერთი პიდროლოგიური საგუშაგოს აგება მდინარის ხარჯის გასაზომად ნხევ სამუშაოთა ეფექტურობის დაზუსტების მიზნით, მაგრამ 1990 წლის შემდეგ პოლიგონზე სამუშაოთა შეწყვეტის შემდეგ ეს გეგმა ვეღარ განხორციელდა. იორის პოლიგონის პიდროლოგიური ქსელის განაწილება ნაჩვენებია ნახაზზე 1.4.

ცხრილი 1.10. იორის პოლიგონის პიდროლოგიური ქსელი

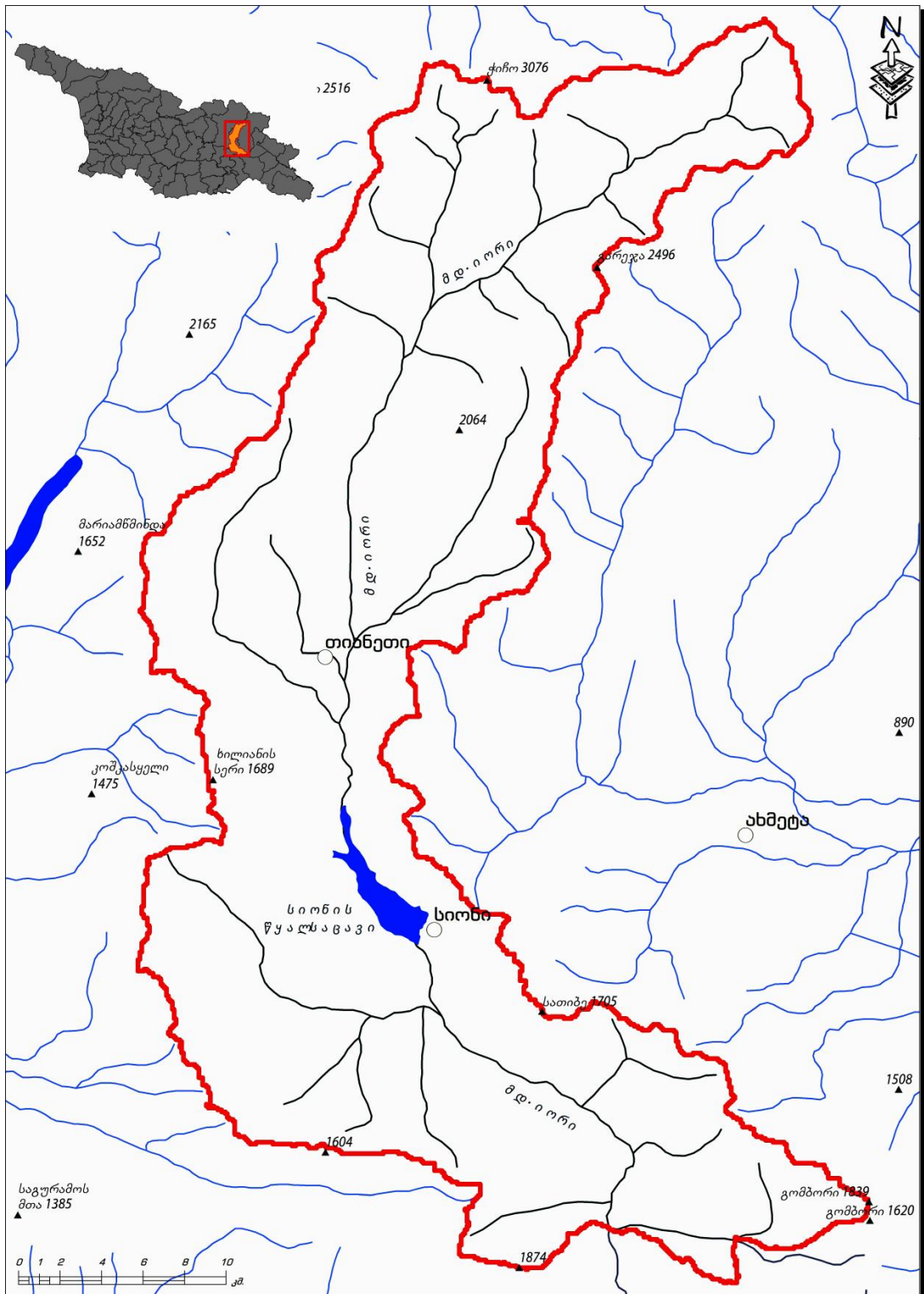
№	მდინარის დასახელება	სიგრძე, კმ	საგუშაგო	საშუალო ხარჯი, მ ³ /წ
იორი				
1	სათავე – ს. პალდო	84	ლელოვანი	10.7
			ორხევი	11.2
			პალდო	18.4
	შესართავთან	320	სადახლო (აზერბაიჯანი)	
2	ხაშრულა	12		
3	ქუსნო	17		
4	გერხევლი	10		
5	საგამი	18		
6	აძები	16		
7	სასადილოს ხევი	10		
8	გომბორი	13		
9	სიონის წყალსაცავი	სიგრძე – 11.5 კმ, სარკის ფართობი – 10.4 კმ ² , სარკის სიმაღლე – 1068 მ ზ.დ., მოცულობა – 325 მლნ მ ³		

წყლის რესურსების სიუხვისა და სასოფლო-სამეურნეო სავარგულების შედარებით მცირე ფართობის გამო საკვლევ ტერიტორიაზე სარწყავი არ ხები არ არის გაყვანილი, თუ არ ჩავთვლით ზემო სამგორის მაგისტრალურ არხს, რომლის სათავე ნაგებობა იორის პოლიგონის სამხრეთ საზღვარზე მდებარეობს.

სიონის წყალსაცავის დაბლა (საგ. ორხევი) ჩამონადენის მაქსიმუმი გადაწეულია ივლის-აგვისტოზე, რაც დაკავშირებულია ზემო მაგისტრალურ არხში და სხვა სარწყავ სისტემებში, წყალსაცავში აკუმულირებული წყლის მიწოდებაზე მაქსიმალური მოთხოვნით საგარეჯოსა და გარდაბნის მუნიციპალიტეტების სასოფლო-სამეურნეო სავარგულების სარწყავად.

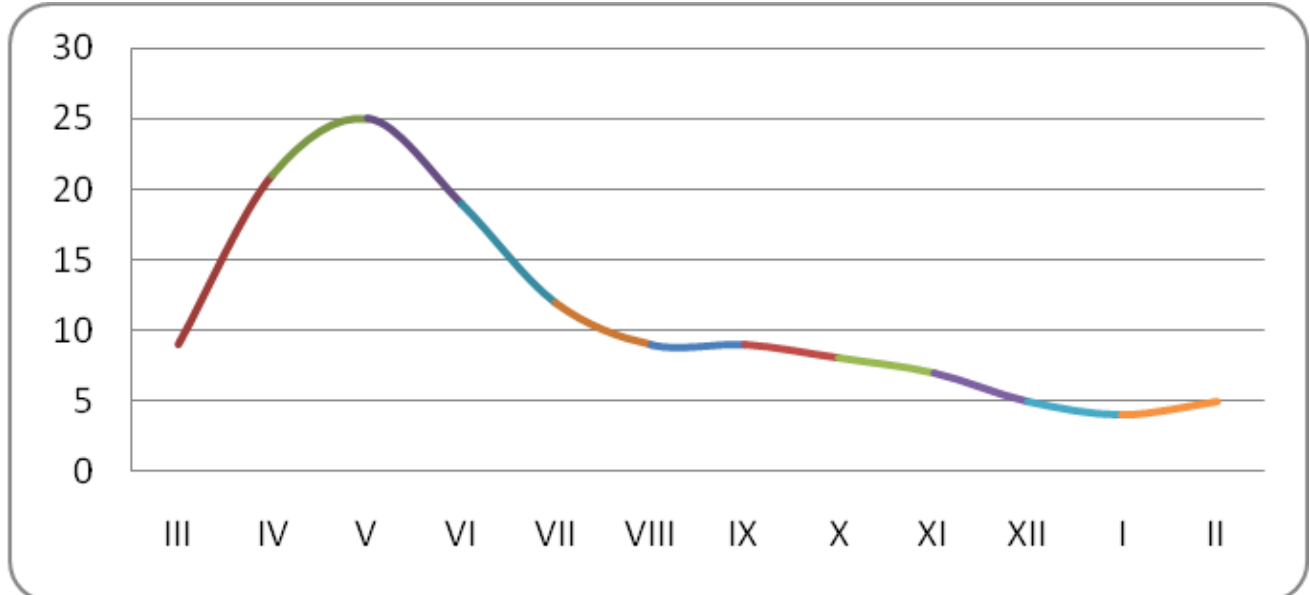
როგორც მდინარე იორი, ისე მისი ზემოწელის შენაკადები წყაროებიდან იღებენ სათავეს და თოვლის, წვიმისა და გრუნტის წყლებით საზრდოობენ. ს. უკლებას ფუნდამენტური გამოკვლევის თანახმად [14]. წლიურ ჩამონადენში გრუნტის წყლების წილი 39%-ს შეადგენს, ხოლო თოვლის ნადობი წყლებისა – 28%.

მდ. არაგვისა და მისი შენაკადების ზემოწელთან შედარებით, სადაც 50-მდე მინერალური სამკურნალო წყაროა აღრიცხული [5], მდ.იორის აუზის ზემო ნაწილი დარიბია მინერალური წყლებით. ამავე ატლასის [5] თანახმად სიონის წყალსაცავის მახლობლად აღრიცხულია 2 მინერალური წყარო (ხილიანის წყარო და თხილი), რომლებიც ნაკლებადაა ცნობილი და ჩამოსასხმელად არაა გამოყენებული.



ნახ. 14. იორის პოლიგონის ჰიდროლოგიური ქსელი

მდ.იორის ჩამონადენის შიდაწლიური განაწილება სიონის წყალსაცავამდე (საგლელოვანი) ხასიათდება მთებში თოვლის დნობით გამოწვეული გაზაფხულის მაქსიმუმით და ზამთრის მინიმუმით (ნახ.1.5).



Q გვ/წ	9	21	25	19	12	9	9	8	7	5	4	5
თვე	III	IV	V	VI	VII	VIII	IX	X	XI	XII	I	II
არალიმიტირებული პერიოდი						ლიმიტირებული პერიოდი (წყალმცირობა)						
						არალიმიტირებული სეზონი			ლიმიტირებული სეზონი			
გაზაფხული - ზაფხული						ზაფხული - შემოდგომა			ზამთარი			

ნახ. 1.5. მდ.იორის ჩამონადენის შიდაწლიური განაწილება საგ. ლელოვანი.

1.2.5. მოსახლეობა და ეკონომიკა

იორის პოლიგონი მთლიანად მოიცავს თიანეთის მუნიციპალიტეტის ტერიტორიას, რომლის ფართობი შეადგენს 906.3 km^2 . მასში შედის 2 დაბა (თიანეთი და სიონი) და 81 სოფელი. მოსახლეობის რაოდენობა 2014 წლის მონაცემებით აღწევს 9500, რაც 5.5 ათასით ნაკლებია 2011 წლის მაჩვენებელთან შედარებით. პოლიგონის ტერიტორიაში შედის აგრეთვე საგარეჯოს მუნიციპალიტეტის მცირე ნაწილი ფართობით 94 km^2 , რომელიც სამხრეთიდან ესაზღვრება სოფ. გომბორს.

თიანეთის მუნიციპალიტეტის ეკონომიკის წამყვანი დარგია სოფლის მეურნეობა, რომელიც წარმოდგენილია მეცხოველეობით (მსხვილფეხა რქოსანი პირუტყვის მოშენება, მეცხვარეობა, მეღორეობა, მეფრინგელეობა), აგრეთვე მარცვლეული და საკვები კულტურების მოყვანით. მუნიციპალიტეტის სასოფლო-სამეურნეო სავარგულების საერთო ფართობია 30 850 ჰა, საიდანაც 9 448 ჰა (30%) სახნაფ-სათესი მიწებია, 20 880 ჰა (68%) სათიბ-საძოვარი, 552 ჰა (2%) მრავალწლიან ნარგავები, კერძოდ ხეხილის ბალები, ხოლო ტყეებს მუნიციპალიტეტის ტერიტორიის 60%-ზე მეტი უკავია.

მრეწველობის სექტორი მუნიციპალიტეტში არ არის განვითარებული, ისევე როგორც ენერგეტიკის სექტორი, რომელიც წარმოდგენილია მხოლოდ 9 გვტ სიმძლავრის პერიოდულად მოქმედი სიონების ელექტროსადგურით. სამაგიეროდ, მუნიციპალიტეტს გააჩნია ტურიზმისა და რეკრეაციული ინდუსტრიის მაღალი, მაგრამ ჯერ-ჯერობით აუთვისებელი პოტენციალი [18]. ეს პოტენციალი შედგება აგროტურიზმისა და სარეკრეაციო ობიექტების მოწყობის დიდი შესაძლებლობებით – ერწოს ველზე (სოფლები ღულელები, ტოლათსოფელი, კვერნაუ-

ლი, სიონთგორი, გორანა, სიმონიანთხევი, თოლენჯი, მელიასხევი, ხევსურთსოფელი, თრანი, თოლოხია), თიანეთის ქვაბულის მიმდებარე ტერიტორიებზე, განსაკუთრებით კი თიანეთი-უინ-გალის ახალაშენებული საავტომობილო გზის გასწვრივ (სოფლები ტუშურები, ზარიძეები, ეთვალისი) და სიონის წყალსაცავის მიმდებარე ტერიტორიებზე (სოფლები სიონი, ჩეკურანთგორი), აგრეთვე გორშევარდენის სერზე, სადაც 1980-იან წლებში განთავსებული იყო პიდრომეტეოროლოგის ინსტიტუტის იორის პოლიგონის ცენტრალური ბაზა.

აღსანიშნავია ისიც, რომ თიანეთიდან აღმოსავლეთისკენ, კახეთის ქედის გადავლით, ხშირ ტყეებში მიემართება გზა, რომელიც აკაგშირებს თიანეთს ახმეტასთან, რაც ტურისტებს შესაძლებლობას აძლევს გააგრძელონ ტურნე კახეთის რეგიონში. გარდა ამისა, თიანეთიდან კიდევ ერთი გზა მიუკვება მდ. იორს ჩრდილოეთისკენ სოფ. ზემო არტანამდე, რის შემდეგაც ფეხით მოსიარულე ტურისტებს შეუძლიათ გააგრძელონ მოგზაურობა ველურ ბუნებაში იორის სათავეებამდე და ავიდნენ პანკისის ქედის უმაღლეს მწვერვალზე – დიდ ბორბალოზე. მუნიციპალიტეტის ტერიტორია მდიდარია ისტორიული ძეგლებითაც, რომელთა შორის აღსანიშნავია ხუროთმოძღვრების ძეგლი ცხრაკარა (XI ს.) და ბოჭორმის ციხე-სიმაგრე.

აღნიშნული პოტენციალის ათვისება, რაც სრულიად შესაძლებელია მდიდარი წყლის რესურსების, ზომიერი კლიმატისა და თბილისთან, მცხეთასთან და თელავთან სიახლოვის პირობებში, დიდ სტიმულს მისცემს მუნიციპალიტეტის ეკონომიკის განვითარებას, შეახერებს რაიონიდან მიგრაციის პროცესებს და უზრუნველყოფს ადგილობრივი მოსახლეობის დაბრუნებას თავიანთ სოფლებში.

1.3. ხრამი-ფარავნის პოლიგონი

1.3.1. რელიეფი

სამხრეთ-საქართველოს ტერიტორიაზე საცდელ პოლიგონად შერჩეულ იქნა ფარავნის ტბისა და წალკის წყალსაცავის აუზებში მდებარე ნინოწმინდისა და წალკის მუნიციპალიტეტების ტერიტორიების ნაწილი საერთო ფართით 2000კმ². საცდელი ტერიტორია დასავლეთიდან შემოსაზღვრულია სამსარის ქედით, რომლის უმაღლესი მწვერვალია მთა დიდი აბული (3100 მ). ეს ქედი 30 კმ მანძილზე გაწოლილია სამხრეთიდან ჩრდილოეთისკენ და შედგება კულკანური წარმოშობის კონუსური მწვერვალებისაგან სიმაღლით 2500-3100მ ზ.დ. ჩრდილო ნაწილში სამსარის ქედი ემიჯნება განედური მიმართულების თრიალეთის ქედს, რომელიც ესაზღვრება საცდელ ტერიტორიას ჩრდილოეთიდან წალკის ქვაბულის აღმოსავლეთ საზღვრამდე. ამ მონაკვეთში თრიალეთის ქედის უმაღლესი მწვერვალია მთა არჯევანი (2757 მ). წალკის ქვაბულს სამხრეთიდან ესაზღვრება მერიდიანული მიმართულების ჯავახეთის ქედი, რომლის უმაღლესი სამხრეთ მწვერვალიდან (მ. ემლიკლი, 3054 მ) პოლიგონის საზღვრარი მიემერთება დასავლეთით დაბა ნინოწმინდისკენ და უერთდება სამსარის ქედის სამხრეთ კალთებს სადამოს ტბის მიდამოებში. საზღვრის დომინანტი მწვერვალი ამ მონაკვეთში არის ყარათეფე (2350 მ).

საკვლევი ტერიტორია პირობითად შეიძლება 2 რაიონად დაიყოს. პირველი მათგანი (ზემო იარუსი) მოიცავს ფარავნის ტბის აუზს სიმაღლეთა ინტერვალში 1800-დან (მეტეოსადგური სათხე-1839 მ) 2100 მეტრამდე (მ/ს ფარავნი 2100 მ), ხოლო მეორე განთავსებულია წალკის წყალსაცავის აუზში სიმაღლეთა შუალედში 1500-1600მ ზ.დ. (მ/ს წალკა 1457 მ, ნალექ-მზომი საგუშავო კუშჩი 1500 მ). ამ ორ წყალგამყოფზე მდებარეობს თიქმათაშის უდელტეხილი (2168 მ ზ.დ.). ფარავნის ტბიდან მის უკიდურეს სამხრეთ ნაწილში გამოედინება მდ. ფარავნი, რომელიც განდანსა და ნინოწმინდას შორის ქმნის საღამოს ტბას. წალკის წყალსაცავის აუზის (ქვემო იარუსი) წყალსაცავში ჩაედინება მდ. ქცია, ხოლო აღმოსავლეთ ნაწილში გამოედინება მდ. ხრამი. ხრამი-ფარავნის პოლიგონის რელიეფის რუპა მოცემულია ნახ. 1.6-ზე.

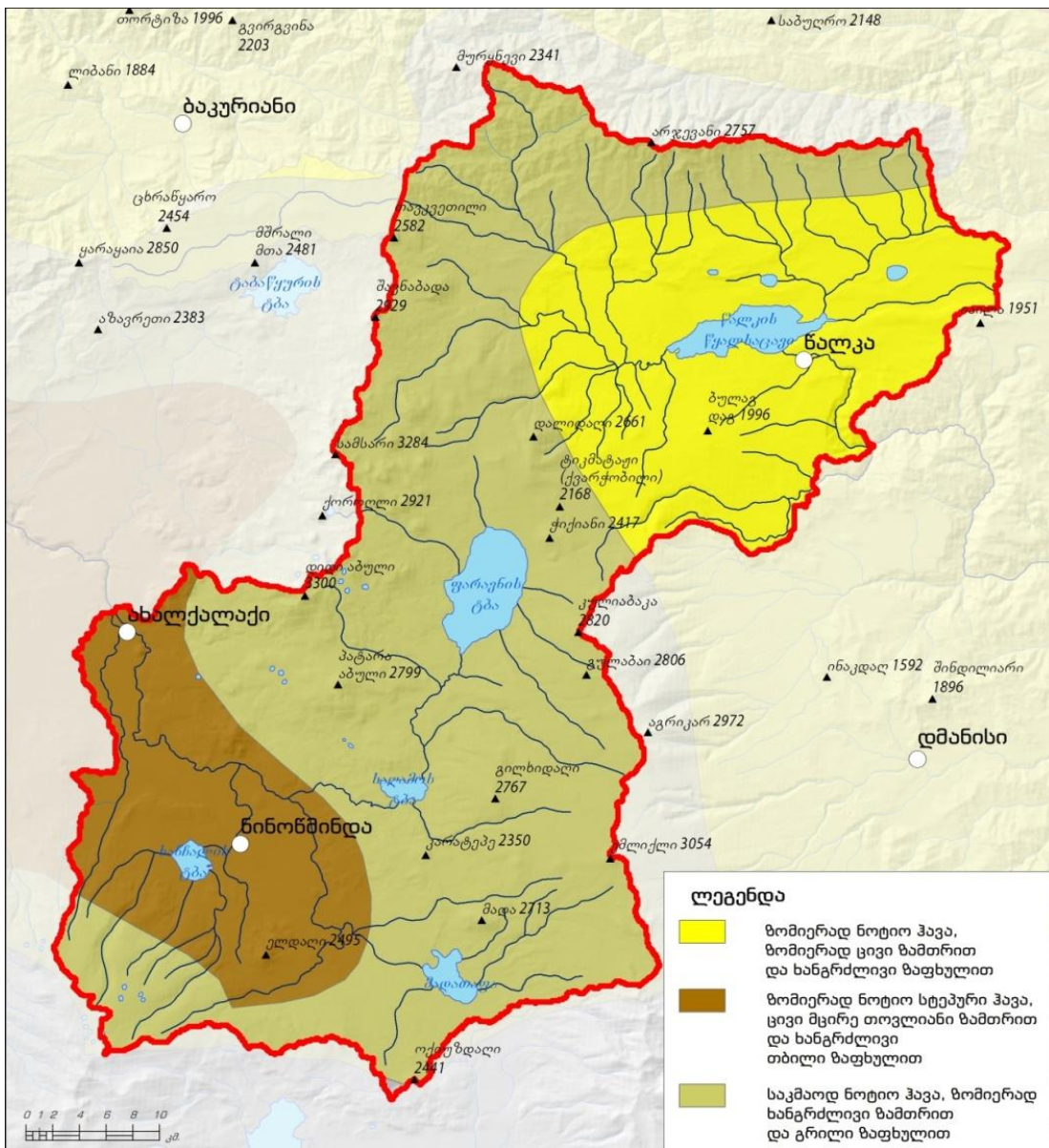


ნახ. 1.6. სრამი-ფარავნის პოლიგონის რელიეფის რუკა [15]

პოლიგონში შემავალი ფარაგნის ტბის აუზის ნაწილის ფართობი შეადგენდა 1100კმ^2 და წალკის წყალსაცავის ფართობი – 900კმ^2 .

1.3.2. କ୍ଷେତ୍ରଫଳ

მონაცემები მზის ნათების ხანგრძლივობის შესახებ ხრამი-ფარავნის პოლიგონის ტერიტორიაზე არსებობს რადიონოვკისა და წალკის მეტეოსადგურებისთვის [7] 1970 წლების მდგომარეობით (ცხრ. 1.11)



ნახ. 1.7. სრამი-ფარავნის კლიმატური დარაიონება [15].

Հերուսակ 1.11. Ձեռն ճատածի եանցրման օրեա երամո-ցարացնու ձոլոցնու Ծըրութորուանց

სადგური	I	II	III	IV	V	VI	VII	VIII	IX	X	XI	XII	წლი
ფარავანი	142	137	184	204	226	261	293	295	249	205	155	128	2479
წალკა	132	135	141	156	180	215	243	222	178	158	115	109	1987

ინფორმაციას ხრამი-ფარაგნის პოლიგონის ტემპერატურული რეჟიმის შესახებ იძლევა 1930-იანი წლებიდან წარმოებული დაკვირვების მონაცემები (ცხრილი 1.12).

ცხრილი 1.12. პაერის ტემპერატურის საშუალო და ექსტრემალური მნიშვნელობები ($^{\circ}\text{C}$)
ხრამი-ფარავნის პლიგონის ტერიტორიაზე 1930-1960-იანი წლების მონაცემებით [8].

ՀՀՀՅԹԵԲԾՈ	ՄՅՋ												ՎՀՅՈ
	I	II	III	IV	V	VI	VII	VIII	IX	X	XI	XII	
ՏԱՐԵԿ (1839 թ Պ.Ը)													
ՏԱՐԵԿԱԼՈՒՄ ՑԱՌԱՐԱՑԱՐԱ	-8.1	-6.7	-3.3	3.1	8.5	11.4	14.5	15.0	11.2	6.5	0.3	-5.3	3.9

ცხრილი 1.12-ის გაგრძელება													
ტემპერატურის აბს. მინიმუმი	-38	-32	-29	-22	-9	-3	-3	-4	-10	-15	-26	-34	-38
ტემპერატურის აბს. მაქსიმუმი	7	10	16	22	26	28	30	32	30	26	20	13	32
ფარავანი (2100 მ ზღ.)													
საშუალო ტემპერატურა	-8.8	-7.9	-4.7	1.2	6.4	9.8	12.9	13.1	9.4	4.9	-0.7	-5.7	2.5
ტემპერატურის აბს. მინიმუმი	-38	-32	-27	-22	-9	-4	-3	-3	-10	-15	-26	-36	-38
ტემპერატურის აბს. მაქსიმუმი	6	8	11	19	23	24	28	29	27	24	18	9	29
წალკა (1457 მ ზღ.)													
საშუალო ტემპერატურა	-4.8	-3.8	-0.3	4.9	10.1	13. 2	16.1	15.9	12.1	7.7	1.8	-2.4	5.9
ტემპერატურის აბს. მინიმუმი	-34	-30	-25	-15	-6	0	0	0	-7	-13	-26	-32	-34
ტემპერატურის აბს. მაქსიმუმი	14	15	19	25	28	29	31	33	32	28	23	15	33

ჰაერის ფარდობითი სინოტივის საშუალო თვიური მნიშვნელობები იმავე პერიოდისა და იგივე სადგურებისთვის მოცემულია ცხრილში 1.13.

ატმოსფერული ნალექების საშუალო თვიური ჯამები იმავე პერიოდში იგივე სადგურებისთვის მოყვანილია ცხრილში 1.14.

ღრუბლების მონაცემები იგივე სადგურებისთვის (სათხეს გარეშე) მოცემულია ცხრილში 1.15.

ცხრილი 1.13. ჰაერის ფარდობითი სინოტივის საშუალო თვიური მნიშვნელობები (%) ხრამი-ფარავნის ტერიტორიაზე 1930-1960-იანი წლების მონაცემებით [9]

მეტეოსადგური	თვე												წელი
	I	II	III	IV	V	VI	VII	VIII	IX	X	XI	XII	
ფარავანი	74	75	76	76	73	74	74	70	73	71	74	72	74
წალკა	71	72	76	74	75	75	74	73	76	76	78	73	74

ცხრილი 1.14. ატმოსფერული ნალექების საშუალო თვიური ჯამები (მმ) ხრამი-ფარავნის ტერიტორიაზე 1930-1960-იანი წლების მონაცემებით [9]

მეტეოსადგური	თვე												წელი
	I	II	III	IV	V	VI	VII	VIII	IX	X	XI	XII	
სათხე	21	30	33	45	77	97	65	51	39	37	30	18	543
ფარავანი	21	27	28	46	80	86	64	52	41	37	32	22	536
წალკა	22	25	39	64	119	102	65	55	65	44	35	18	653

ცხრილი 1.15. ხრამი-ფარავნის პოლიგონის მეტეოსადგურებზე თვის საშუალო საერთო და ქვედა იარუსის ღრუბლითიანობა (ბალებში) [10]

ღრუბლითიანობა	I	II	III	IV	V	VI	VII	VIII	IX	X	XI	XII	წელი
ფარავანი													
საერთო	5.9	6.3	6.7	6.8	6.8	5.9	5.0	43	4.7	4.8	5.8	5.8	5.7
ქვემო	4.2	4.6	4.6	5.1	5.0	4.6	4.2	3.6	3.9	3.7	4.2	3.8	4.3
წალკა													
საერთო	5.5	6.0	6.5	6.7	6.8	6.0	5.7	5.4	5.8	5.8	6.2	5.5	6.0
ქვემო	3.7	4.2	4.9	5.2	5.2	4.6	4.2	4.1	4.5	4.5	4.8	3.8	4.5

ქარის რეგიონი ხამი-ფარავნის პოლიგონზე ძირითადად ყალიბდება ზოგად ცირკულაციური პროცესებისა და მსხვილი ოროგრაფიული სისტემების (თრიალეთის, სამსარისა და ჯავახეთის ქედები) ურთიერთქმედების შედეგად. ამის გამო ფარავნის ტბის აუზში გაბატონებულია სამხრეთ-დასავლეთის მიმართულების ქარები, ხოლო წალკის წყალსაცავის აუზში – ჩრდილო-დასავლეთისა და დასავლეთის ქარები. დაკვირვების შედეგები, რომლებიც გასული საუკუნის 40-60-იან წლებში ტარდებოდა ფარავნისა (რადიონოვკა) და წალკის მეტეოსადგურებზე, მოვანილია ცხრილში 1.16.

ამ ცხრილიდან ჩანს, რომ ფარავნის ტბის აუზში ქარის სიჩქარეები თრჯერ მეტია ვიდრე წალკის ზეგანზე. პოლიგონის ორივე ნაწილი პრაქტიკულად მოკლებულია ტყის საფარს, ამიტომ ეს სხვაობა სამსარის ქედის გავლენითა გამოწვეული, რომელიც ჯავახეთის ქედთან ურთიერთობისას ქარის ნაკადების გაძლიერებას იწვევს.

ცხრილი 1.16. ქარის თვის საშუალო სიჩქარე (მ/წმ) ხამი-ფარავნის პოლიგონის მეტეოსადგურებზე [11]

მეტეოსადგური	თვე												წელი
	I	II	III	IV	V	VI	VII	VIII	IX	X	XI	XII	
ფარავნი	4.9	5.5	4.2	3.8	3.4	3.3	3.8	3.6	3.2	3.5	4.1	4.4	4.0
წალკა	2.7	2.7	2.4	2.0	2.0	1.8	1.7	1.4	1.5	1.7	1.6	2.2	2.0

ძლიერ ქარიან ($V \geq 15$ მ/წმ) დღეთა რიცხვი, იმავე ცნობარის მიხედვით, წელიწადში შეადგენს 43-ს, რაც რეგიონში საშუალო მაჩვენებლად უნდა ჩაითვალოს (ახალქალაქის მეტეოსადგურზე ეს სიდიდე 49-ს აღწევს).

სტიქიური მოვლენებიდან ხამი-ფარავნის პოლიგონზე შეიძლება აღინიშნოს უხვი ნალუკი, რომლის დღედამურმა ჯამში 5-10% აღბათობით წალკაში შეიძლება მიაღწიოს 50-60 მმ. დაკვირვების პერიოდში 1930-1965 წწ. აღნიშნულ სადგურზე ნალექთა დღედამური ჯამის მაქსიმალური მნიშვნელობა აღინიშნა 1946 წლის 25 მაისს და შეადგინა 77 მმ.

ექსტრემალური მოვლენებიდან ხამი-ფარავნის პოლიგონი გამოირჩევა სეტყვიანობის მაღალი მაჩვენებლით, რომელიც ერთ-ერთი მაქსიმალურია საქართველოს ტერიტორიაზე. მის მოსვლის სიხშირეზე 1932-1965 წწ. პერიოდში ინფორმაციას იძლევა ცხრილი 1.17.

ცხრილი 1.17. სეტყვიან დღეთა საშუალო რაოდენობა ხამი-ფარავნის პოლიგონის ტერიტორიაზე 1932-1965 წწ. მონაცემებით [10]

სადგური	თვე												წელი
	I	II	III	IV	V	VI	VII	VIII	IX	X	XI	XII	
ნინოწმინდა (სათხე)				0.1	1.1	1.3	0.4	0.6	0.4				3.9
ფარავნი				0.4	3.0	3.0	0.9	1.1	0.9	0.7			10.0
წალკა				0.7	2.0	1.3	0.3	0.2	0.4	0.1			5.0

როგორც ამ ცხრილიდან ჩანს, პოლიგონის ტერიტორიაზე მაქსიმალური სეტყვიანობით გამოიჩინა ფარავნის ტბის აუზის ჩრდილოეთი ნაწილი, რამაც განაპირობა ამ რაიონში ჰიდრომეტეოროლოგიის ინსტიტუტის მიერ 1960-იანი წლების დასაწყისში საცდელი პოლიგონის შექმნა სეტყვასთან ბრძოლის ორიგინალური მეთოდის დასამუშავებლად.

მონაცემები ხამი-ფარავნის პოლიგონზე თოვლის საფარის ხანგრძლივობისა და სიმაღლის შესახებ კლიმატური ცნობარის [9] მიხედვით ნაჩვენებია ცხრილში 1.18.

როგორც ამ ცხრილიდან ჩანს, ხამი-ფარავნის პოლიგონის ტერიტორია დაკვირვების წლებში დიდოვლობით არ გამოირჩეოდა და თოვლის საშუალო დეპადური სიმაღლე მეტოსადგურებზე არ აღემატებოდა 10-15 სმ.

ისევე, როგორც იორის პოლიგონის მონაცემების განხილვისას, აქაც მხედველობაშია მისაღები ბოლო ათწლეულების მანძილზე გლობალური დათბობის შედეგად საქართველოში თოვლიანობის რეჟიმზე მომხდარი ცვლილებები, რის გამოც ცხრილში 1.18 მოყვანილი მონაცემები შესწორებას მოითხოვს.

ცხრილი 1.18. თოვლის საფარის საშუალო დეკადური სიმაღლე (სმ) ხრამი-ფარავნის პოლიგონის მეტეოსადგურებზე 1930-1965 წწ. მონაცემებით [9]

სადგური	თვე															
	XI		XII		1		II		III		IV		დეკადა			
	2	3	1	2	3	1	2	3	1	2	3	1	2	3	1	2
სათხე		3	3	4	7	8	8	9	12	13	13	12	9	7	2	
ფარავნი	1	2	3	3	3	4	5	7	12	13	14	15	15	10	5	1
წალკა		1	2	3	3	4	4	5	6	7	6	6	5	3	1	

რაც შეეხება გლობალური დათბობის გავლენას ხრამი-ფარავნის პოლიგონის ტემპერატურისა და ნალექთა რეჟიმის რეალურ და პროგნოზირებულ მაჩვენებლებზე, ამის შესახებ საქართველოს მესამე ეროვნულ შეტყობინებაში [6] მონაცემები არსებობს მხოლოდ წალკის მეტეოსადგურისთვის (ცხრ. 1.19).

როგორც ამ ცხრილიდან ჩანს, 1961-2010 წწ. პერიოდში პაერის საშუალო წლიურმა ტემპერატურამ წალკაში 0.4°C -ით მოიმატა, ხოლო ნალექები გაიზარდა 2%-ით. 2050 წლამდე პროგნოზის თანახმად, მოსალოდნელია ტემპერატურის მომატება 2010 წელთან შედარებით 1.3°C -ით და 2100 წლამდე – კიდევ 2.2°C -ით. რაც შეეხება ნალექთა წლიურ ჯამებს, 2050 წლამდე მოსალოდნელი იქნება მათი გაზრდა 10%-ით, ხოლო 2100 წლამდე პირიქით შემცირება 9.8%-ით.

ცხრილი 1.19. ტემპერატურის საშუალო (T) და ნალექთა წლიური ჯამების (P) ფაქტობრივი, 2050- და 2100 წლამდე პროგნოზირებული მნიშვნელობები წალკის მეტეოსადგურისთვის

სადგური	კლიმატური ცნობარით		2010 წლის მონაცემებით		პროგნოზით 2050 წლისთვის		პროგნოზით 2100 წლისთვის	
	T, $^{\circ}\text{C}$	P, მმ	T, $^{\circ}\text{C}$	P, მმ	T, $^{\circ}\text{C}$	P, მმ	T, $^{\circ}\text{C}$	P, მმ
წალკა	5.9	653	6.3	667	7.6	735	9.8	663

1.3.3. ნიადაგები, ლანდშაფტები და მცენარეული საფარი ნიადაგები

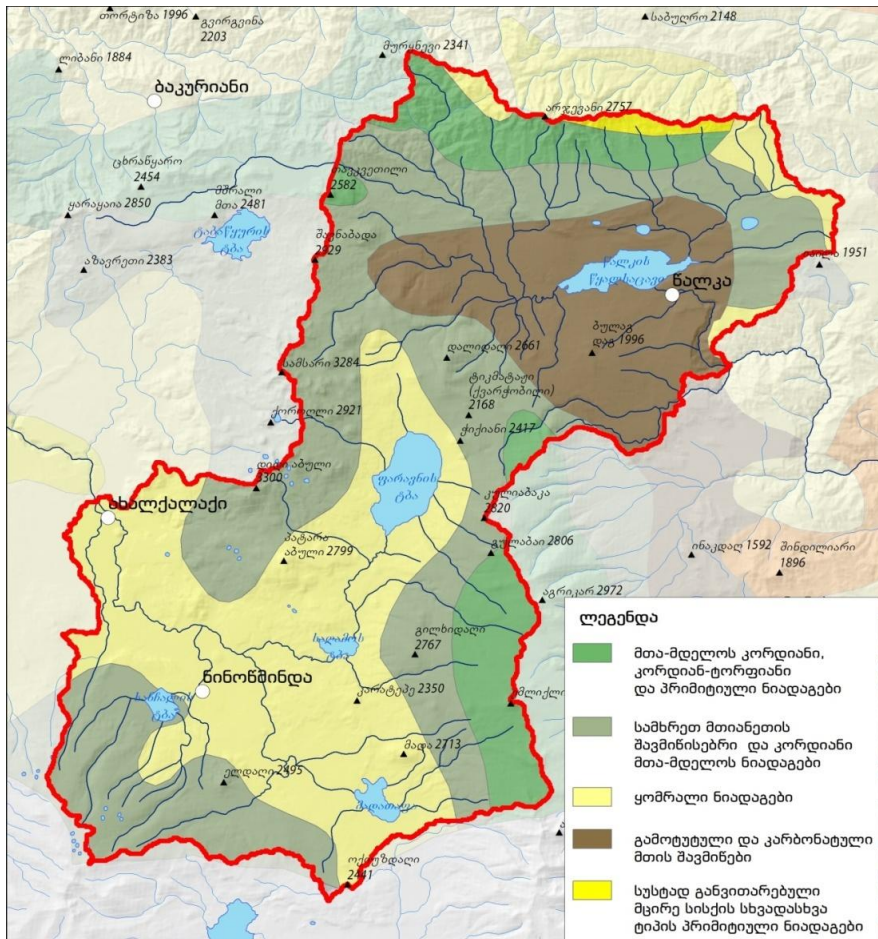
ჯავახეთის ვულკანური პლატოს იმ ნაწილში, რომელიც ხრამი-ფარავნის პოლიგონს უქავია, თანახმად უკვე ნახსენები კლასიფიკაციისა [12], ძირითადად გამოიყოფა ნიადაგების 3 ჯგუფი, რომელთაგან პოლიგონის ორივე სექტორში – ფარავნის ტბისა და წალკის წყალსაცავის აუზებში – დომინირებს შავმიწა ნიადაგები მათ სამსარისა და თრიალეთის ქედების ფერდობებზე ალაგ-ალაგ ენაცვლება შავმიწა დანიდული ნიადაგები, ხოლო ჯავახეთის ქედის ფერდობებზე – მთა-მდელოს შავმიწისებრი და კორდიანი მთა-მდელოს ნიადაგები. ნიადაგების გავრცელების სქემა ნაჩვენებია ნახ. 1.8-ზე.

ლანდშაფტები და მცენარეული საფარი

კავკასიონის ლანდშაფტების რუკაზე ჯავახეთის ვულკანური მთიანეთის ზონაში 6. ბერუბაშვილის თანახმად [13] გამოიყოფა შემდეგი ლანდშაფტური ზონები მათთვის დამახასიათებელი მცენარეული საფარით, რომლებსაც მოიცავს ხრამი-ფარავნის პოლიგონია:

მაღალმთის ვულკანური ლანდშაფტები ალპური მდელოებით, რომლებსაც მოიცავს პოლიგონის დასავლეთ ნაწილში მდებარე სამსარის ქედის მწვერვალები 2500-3300 მ ზღვაზედში;

- ამ ლანდშაფტებს ფარავნის ტბის აუზში ქვემოდან ესაზღვრება მაღალმთის გულკანური ლანდშაფტების ზონა სიმაღლეთა ინტერვალში 1800-2100 მ ზ. დ., რომელიც აერთიანებს სუბალპურ მდელოებსა და მდელო-სტეპების კომპლექსს.
- წალკის წყალსაცავის აუზში გამოიყოფა გულკანური მაღალმთიანი პლატო - სტეპისა და მდელო-სტეპის მცენარეულით, რომელსაც აღმოსავლეთიდან და ჩრდილოეთიდან ესაზღვრება საშუალო მთიანეთის ეროზიულ-დენუდაციური ლანდშაფტების ზონა წიფლნარი და მუხნარი ტყეებითა და ბუჩქნარით.



ნახ. 1.8. ნიადაგების ჯგუფების გავრცელების სქემა ხრამი-ფარავნის პოლიგონზე [12].

ამ კლასიფიკაციის შესაბამისად ხრამი-ფარავნის პოლიგონის ტერიტორია დაფარულია ტყის საფარს მოქლებული ალპური და სუბალპური მცენარეულით, რაც ტრადიციულად ხელს უწყობს ამ რაიონის გამოყენებას ზაფხულის საძოვრებად. ამის გათვალისწინებით, ნალექთა ხელოვნურ გაზრდას აქ შეუძლია დადგითი როლის შესრულება საძოვრებისა და სათიბების პროდუქტიულობის გაზრდაში, მეცხოველეობის ეფექტურობის ამაღლებაში, აგრეთვე, გარკვეულწილად, მეოუზეობის განვითარებაში. გარდა ამისა, ნალექთა ხელოვნური გაზრდა ფარავნის ტბის აუზში შეიძლება განიხილებოდეს აგრეთვე როგორც ახალაშენებული 87 მბგბ სიმძლავრის ფარავნის ჰესის ეფექტურობის გაზრდის ერთ-ერთი საშუალება. იგივე შენიშვნა შეეხება წალკის წყალსაცავის აუზსაც, რომელიც შეიცავს როგორც 2 მძლავრ ჰიდროელექტროსადგურს, ისე სათიბ-საძოვრებსაც, თუმცა ნალექთა სეზონური ჯამების მნიშვნელოვან გაზრდას ორივე აუზში შეიძლება საფრთხის შექმნა მექარტოფილეობისთვის ჭარბი დატენიანების პირობებში. აქვე უნდა ითქვას, რომ ნებ სამუშაოთა მსოფლიო გამოცდილებამ აჩვენა, რომ სხვადასხვა პირობებში ნალექთა სეზონური ჯამების მომატება 15%-ზე მეტი სიდიდით არარეალურად უნდა ჩაითვალოს.

1.3.4. ჰიდროლოგიური ქსელი

ისევე როგორც იორის პოლიგონი, ხრამი-ფარავნის პოლიგონიც საკმაოდ მდიდარია წყლის რესურსებით. პოლიგონის უფრო მაღალი ნაწილი, რომელიც შედის ფარავნის აუზში,

აერთიანებს მდ ფარავნის ზემოწელს თავისი შენაკადებით, 2 ტბას ფარავნისა და საღამოს, აგრეთვე სამსარის ქედის არეალში შემავალი 10-მდე მცირე ტბას. პოლიგონის შედარებით დაბალი, ჩრდილო-აღმოსავლეთი ნაწილი მოიცავს მდ. ქვია-ხრამის ზემო წელს და მის მიერ შექმნილ წალკის წყალსაცავს თავისი შენაკადებით, აგრეთვე 2 შედარებით პატარა ტბას – ბარეთისა და უზუნგელს. პოლიგონის პიდროლოგიური ქსელის სქემა მოცემულია ნახ. 1.9, ხოლო მონაცემები მდინარეებისა და ტბების შესახებ – ცხრილში 1.20

ფარავნის ტბის აუზში, გარდა ზემოთ განხილული 2 ტბისა, აღრიცხულია კიდევ 10-ზე მეტი მცირე ტბა. აუზის ტბებით დაფარულობის კოეფიციენტი აღწევს 0.15-ს, ანუ მისი ფართობის 15% დაფარულია ტბებით [16]. მდინარეებსა და ტბებს, როგორც ფარავნის ტბის, ასევე წალკის წყალსაცავის აუზში ძირითადად მიწისქვეშა წყლები ასაზრდოებს. ფუნდამენტურ ნაშრომში მიღებული შედეგების თანახმად [17], ჯავახეთის ვულკანურ პლატოზე მდინარეთა კვების 60% -ზე მეტი გრუნტის წყლებს მიეკუთვნება, წვიმის ჩამონადენის წილი იცვლება 13-25% ფარგლებში, ხოლო თოვლის ნადნობისა 15-27% ფარგლებში. საკვლევ რეგიონში სამკურნალო მინერალური წყლები არ არის აღმოჩენილი.

ცხრილი 1.20. ხრამი-ფარავნის პოლიგონის პიდროლოგიური ქსელი

№	მდინარის/ტბის დასახელება	სიგრძე, კმ	საგუშავო	საშუალო ხარჯი, მ³/წმ
ფარავნის ტბის აუზი				
1	მდ. ფარავნი	0	ფოკა	1.47
		24	საღამო, საღამოს ტბა	5.76
		29	ოროჯოლარი (პოლიგონის საზღვარი)	9.10
		74	შესართავი (ხერთვისი)	18.9
2	განძისხევი	19	მდ. ფარავნის მთავარი შენაკადები	
3	ბუდეაშენი	16		
4	ყირბულახი	32		
5	კორხი	30		
6	ჭობარეთი	23		
7	ფარავნის ტბა	სიგრძე-9.5 კმ, სარკის ფართობი-37.5 კმ ² , სარკის სიმაღლე-2076 მ ზ.დ., მოცულობა -90.8 მლნ მ ³	მდ. ფარავნის მთავარი შენაკადები	
8	საღამოს ტბა	სიგრძე-3.8 კმ, სარკის ფართობი-4.8 კმ ² , სარკის სიმაღლე-1996 მ ზ.დ., მოცულობა -7.7 მლნ მ ³		
წალკის წყალსაცავის აუზი				
1	მდ. ქვია სათავე	51	კსაგ.უშჩი, მდ. ხრამის სათავე	6.48
2	მდ. ხრამი (საგ. კუშჩიდან)	77	საგ.წალკა, წალკის წყალსაც გავლის შემდეგ	9.76
		98	კაკლიანი ხრამპუსის გავლის შემდეგ,	13.7
		201	პოლიგონის საზღვარი შესართავი, საგ. წითელი ხიდი	65.9
3	ბურნაშეთი	18	წალკის წყალსაცავის სულ ერთვის კიდევ 10-ზე მეტი მდინარე სიგრძით 5-დან 10 კმ-მდე	
4	ნარდენავი	10		
5	გუმბათი	22		
6	ყორსუჩაი	12		
7	წალკის წყალსაცავი	სიგრძე-14.0 კმ, სარკის ფართობი-33.7 კმ ² , სარკის სიმაღლე-1512 მ ზ.დ., მოცულობა -313 მლნ მ ³	წალკის წყალსაცავის სულ ერთვის კიდევ 10-ზე მეტი მდინარე სიგრძით 5-დან 10 კმ-მდე	
8	ბარეთის ტბა	სარკის ფართობი - 1.24 კმ ² , სარკის სიმაღლე - 1612 მ ზ.დ., მოცულობა - 1.02 მ ³		
9	ტბა უზუნგელი			
10	ტბა ჯამუშგელი			



ნახ. 1.9. ხრამი-ფარაგნის პოლიგონის ჰიდროლოგიური ქსელი

1.3.5. მოსახლეობა და ეკონომიკა

ხრამი -ფარაგნის პოლიგონი მოიცავს ნინოწმინდისა და წალკის მუნიციპალიტეტების ტერიტორიის ნაწილებს, რომელთაგან, როგორც ზემოთ უკვე იყო ნათქვამი, 1100 კმ² შედის ნინოწმინდის მუნიციპალიტეტის ტერიტორიაში და 900 კმ²-წალკის მუნიციპალიტეტის ტერიტორიაში.

ნინოწმინდის მუნიციპალიტეტის საერთო ფართობი შეადგენს 1353,9 კმ². მასში შედის 1 ქალაქი (ნინოწმინდა, ყოფილი ბოგდანოვკა) და 31 სოფელი. მოსახლეობის რაოდენობა 2014 წლის მდგომარეობით შეადგენდა 24 490, რაც თითქმის 25%-ით ნაკლებია 2002 წლის მაჩვენებელზე (32 560).

ნინოწმინდის მუნიციპალიტეტის ეკონომიკის წამყვანი დარგია სოფლის მეურნეობა, რომელშიც დომინირებს მეცხვეველეობა, მარცვლეულის მოყვანა და მეკარტოფილეობა,

განვითარებულია აგრეთვე მეფუტკრეობა. სასოფლო-სამეურნეო სავარგულებს უკავია 117 000 ჰა, საიდანაც 24 000 ჰა სახნაშ-სათესია, 7 000 ჰა—სათიბი და 96 000 ჰა —საძოვარი.

მრეწველობის დარგებიდან მუნიციპალიტეტში განვითარებულია კექის მრეწველობა (რძის და ხორცის გადამუშავება, ყველის წარმოება,), თევზჭერა და თევზის მოშენება. მოქმედებს ბაზალტის ქვის დამამუშავებელი და ბეტონის ბლოკის საამქროები. მუნიციპალიტეტის ტერიტორიაზე გადის ბაქო-თბილისი-ყარსის საერთაშორისო მნიშვნელობის სარკინიგზო ხაზი, აგრეთვე სომხეთთან შემაერთებელი საავტომობილო მაგისტრალი [20].

წალკის მუნიციპალიტეტის საერთო ფართობია 1050,6 კმ², რომელზეც განთავსებულია 1 ქალაქი — წალკა, 2 დაბა და 48 სოფელი. 2014 წლის მონაცემებით მუნიციპალიტეტის მოსახლეობა შეადგენდა 18 850 ადამიანს, საიდანაც 3 200 ცხოვრობდა ქ. წალკაში. 2002 წელთან შედარებით მუნიციპალიტეტის მოსახლეობა შემცირდა 9.8%-ით, თუმცა თვით წალკაში მოსახლეობის რაოდენობა გაიზარდა 33%-ით.

წალკის მუნიციპალიტეტის ეკონომიკის მთავარი მიმართულებაა სოფლის მეურნეობა, რომლის ძირითადი დარგებია მეკარტოფილეობა და მესაქონლეობა. სასოფლო-სამეურნეო სავარგულებს უკავია 86 000 ჰა, სხვა დარგებიდან განვითარებულია ელექტროენერგეტიკა, რომელიც წარმოდგენილია ხრამის კასკადის 2 მძლავრი ელექტროსადგურით, აგრეთვე სატრანსპორტო ქსელი, რომლის ძირითადი ელემენტია თბილისი-ყარსის რკინიგზის მარაბდა-ახალქალაქის მონაკვეთი [19].

დასკვნები

1. პიდრომეტეოროლოგიის ინსტიტუტის მიერ ნალექთა ხელოვნური გაზრდის სამუშაოთა ჩასატარებლად შერჩეული იორის, და შემდგომში ხრამი-ფარავნის პოლიგონების ტერიტორიები ძირითადად აკმაყოფილებს მსოფლიო მეტეოროლოგიური ორგანიზაციის მიერ ამ პროფილის სამუშაოების ჩასატარებლად გამოყოფილი ტერიტორიებისადმი წაყენებულ მოთხოვნებს როგორც გეოგრაფიული, ისე კლიმატური, პიდროლოგიური და სოციალურ-ეკონომიკური თვალსაზრისით. კლიმატური მონაცემები, რომლებიც მოცემულია 1970-იანი წლებისთვის საცნობარო ლიტერატურიდან, კორექტირებულია ჰაერის ტემპერატურისა და ნალექთა ჯამების 2100 წლამდე არსებული საპროგნოზო შესწორებით.
2. ორივე პოლიგონისათვის მოცემულია რელიეფის, ნიადაგების, კლიმატური ზონებისა და მცენარეული საფარის ზოგადი მიმოხილვა, რაც მომავალში საჭირო იქნება წყლის რესურსების მართვის მოდელების ასაგებად.
3. ორივე პოლიგონისათვის განხილულია პიდროლოგიური ქსელი მთავარი მდინარეების (იორი, ფარავანი და ქცია-ხრამი), მათი შენაკადების, ტბებისა და წყალსაცავების ჩათვლით. ადნიშნულია, რომ ნალექთა ხელოვნურ გაზრდას ორივე პოლიგონზე პოტენციურად შეუძლია არსებული ჰესების (ხრამი-ფარავნის პოლიგონი) და სარწყავი სისტემების (იორის პოლიგონი) ეფექტურობის გაზრდა.
4. მოყვანილია ცნობები თიანეთის, ნინოწმინდისა და წალკის მუნიციპალიტეტების (რომლებშიც შედის საცდელი პოლიგონების ტერიტორიები) ფართობების, მოსახლეობის რაოდენობისა და ეკონომიკის ძირითადი დარგების შესახებ. ეს ინფორმაცია აგრეთვე გასათვალისწინებელი იქნება მოცემულ აუზებში წყლის რესურსების მენეჯმენტის მოდელების აგების დროს.

თავი 2. ნალექთა ხელოვნური გაზრდის მიზნით ღრუბლებზე ზემოქმედების ეფექტის დადგენის შესაძლებლობის შევასება

2.1. ზოგადი შენიშვნები

1977 წელს აკად. გ. სვანიძის მიერ შემუშავებული კონცეფციის თანახმად, ჰიდრომეტეოროლოგიის ინსტიტუტს რესპუბლიკის ხელმძღვანელობის წინაშე საქართველოს ტერიტორიაზე ნებ სამუშაოთა გაშლის შესახებ წინადადების დასმის წინ უნდა შეესრულებინა 3 ტიპის სამუშაო:

- სხვადასხვა ქვეყნებში ნებ სამუშაოთა პრაქტიკული გამოცდილების მიმოხილვა და მათი ეფექტურობის შეფასება;
- ნებ სამუშაოთა ჩასატარებლად საცდელ და საკონტროლო ტერიტორიების შერჩევა;
- საქართველოს პირობებში ნებ სამუშაოთა სხვადასხვა სანდო ალბათობით ეფექტის დადგენის ხანგრძლივობის შეფასება.

ამ სამი ამოცანიდან პირველი შედარებით ადვილად იქნა დამლეული 1977 წლისთვის დრუბელთა ფიზიკისა და აქტიური ზემოქმედების (ეს ტერმინი მიღებული იყო საბჭოთა კავშირში ინგლისური ტერმინის „Weather modification“-ის სანაცვლოდ) დარგში გამოქვეყნებული ლიტერატურული წყაროების მიმოხილვის შედეგად. ამოცანის გადაჭრას ხელი შეეწყო აგრეთვე საქართველოს დელეგაციის (ა. ქარცივაძე, ა. ოკუჯავა, თ. გზირიშვილი, ბ. ბერიტაშვილი) მონაწილეობამ 1976 წელს ბოულდერში (კოლორადო, აშშ) ჩატარებულ ამინდის მოდიფიკაციის საერთაშორისო კონფერენციაში, სადაც მიღებული უახლესი ინფორმაციის გამოყენებით შედგენილი იქნა მიმოხილვა [1]. ამ ნაშრომში განხილული იქნა ნალექთა ხელოვნური გაზრდის დარგში როგორც საბჭოთა კავშირში, ისე მსოფლიოს მთელ რიგ ქვეყნებში (აშშ, ისრაელი, ირანი, ავსტრალია, მექსიკა და აშშ) ჩატარებული პროექტების ორგანიზაცია და მიღებული შედეგები, აგრეთვე მსოფლიო მეტეოროლოგიური ორგანიზაციის მიერ დაგეგმილი ნებ საერთაშორისო პროექტის (PEP) და მის ჩასატარებლად შერჩეული ქვეყნების სია. შემდგომში, 1979-1981 წლებში ამ პროექტის ესპანეთში განხორციელების შედეგები და მთავარი ხარვეზები განხილულია წინამდებარე თავის ბოლო პუნქტში 2.5. და უფრო დეტალურად დანართი 2-ში.

მეორე ამოცანის გადასაჭრელად ჰიდრომეტეოროლოგიის ინსტიტუტში ჰიდროლოგიის, დრუბელთა ფიზიკის, სინოპტიკური მეტეოროლოგიისა და გარემოს დაჭურების წამყვან სპეციალისტთა მიერ დეტალური განხილვის შედეგად მიღებული იქნა გადაწყვეტილება ნებ სამუშაოთა ჩასატარებლად შერჩეული ყოფილიყო მდ.იორის აუზის ზემოწელი, სიონის წყალსაცავი შემკრების როლს შეასრულებდა დრუბლებზე ზემოქმედების შედეგად მიღებული წყლის დამატებითი რესურსების დაგროვებისა და განაწილებისათვის. საკონტროლო ტერიტორიებად რეკომენდებული იქნა მდ. არაგვის, ქსნისა და ლიახვის აუზები.

რაც შეეხება ზემოთ ჩამოთვლილი ამოცანებიდან მესამის გადსაწყვეტად ნაშრომი [2] -ის მსგავსად, საჭირო გახდა მათემატიკური სტატისტიკის აპარატის გამოყენება საცდელ და საკონტროლო ტერიტორიებზე ნალექთა დაკვირვებულ რიგებს შორის ნალექთა სხვაობის საიმუდობის დონის დასადაგენად. საკითხი დეტალურად იქნა განხილული 1978 წლისთვის მომზადებულ პროექტ „იორის“ დასაბუთების [3] მე-5 თავში, რომელიც შემდგომში 1981 წელში გამოქვეყნდა ჰიდრომეტეოროლოგიის შრომათა კრებულში [4]. ქვემოთ მოყვანილია ამ ნაშრომის შინაარსი.

2.2. ზემოქმედების ეფექტურობის კონტროლის მეთოდები

დღეისათვის ნებ სამუშაოებში მირითადად გამოიყენება ეფექტურობის კონტროლის შემდგომი მეთოდები:

- ფიქსირებული საცდელი და საკონტროლო ტერიტორიების მეთოდი. ამ მეთოდის გამოყენება მოითხოვს ორივე ტერიტორიაზე ნალექებზე დაკვირვების საკმაოდ

ხანგრძლივი რიგების არსებობას და მათ შორის შეძლებისდაგვარად მჭიდრო კორელაციის არსებობას;

- **რანდომიზაციის საფუძველზე განსაზღვრული საცდელი და საკონტროლო ტერიტორიების მეთოდი.** ზემოთ ჩამოთვლილი პირობების დაკმაყოფილება ამ შემთხვევაშიცაა საჭირო, თუმცა აღნიშნული მეთოდის გამოყენებისას გამოირიცხება ექსპერიმენტის საბოლოო შედეგზე ოროგრაფიის გავლენა. ამ მეთოდის გამოყენება მიზანშეწონილია დიდ საკვლევ ტერიტორიაზე ღრუბლებზე თვითმფრინავით ზემოქმედების შემთხვევაში, საცდელ და საკონტროლო ტერიტორიებს შორის გამყოფი, ანუ ბუფერული ზონის არსებობის პირობებში.
- **ისტორიული რეგრესიის მეთოდი.** ეს მეთოდი გამოიყენება საკონტროლო ტერიტორიის შეუძლებლობის შემთხვევაში და მისი გამოყენება განსაკუთრებით მაღალ მოთხოვნებს უკენებს მეტეოროლოგიური დაკვირვების ხანგრძლივობასა და ხარისხს; **შენიშვნა:** სტატიის [4] მომზადების შემდეგ 1970-იანი წლების დასასრულს საკონტროლო ტერიტორიის შერჩევის შეუძლებლობის შემთხვევის გამო შემუშავდა ალტერნატიული რანდომიზაციის მეთოდი, რომელშიც შერჩეულ ტერიტორიაზე ღრუბლებზე ზემოქმედების გადაწყვეტილება მიიღება რანდომიზებულ საფუძველზე საცდელ და საკონტროლო ექსპერიმენტულ ერთეულთა ჯგუფებისათვის.
- **ფიზიკური მეთოდები.** ზემოთ ჩამოთვლილ სტატიისტიკურ მეთოდებთან ერთად ზემოქმედების ეფექტურობის კონტროლისთვის გამოიყენება აგრეთვე ფიზიკური მეთოდებიც, რომლებიც ითვალისწინებს ღრუბლების ფიზიკურ მახასიათებლებზე დაკვირვების ხანგრძლივი რიგების შედარებას ზემოქმედების დაწყებამდე და მისი ჩატარების შემდეგ, ანდა ერთნაირ ფიზიკურ-გეოგრაფიულ პირობებში ღრუბლელთა საცდელ და საკონტროლო ერთობლიობათა ფიზიკური მახასიათებლების გაზომვების შედეგების შედარებას.
- **რიცხვითი მოდელირების მეთოდი.** გამოთვლითი ტექნიკის სწრაფმა განვითარებამ შესაძლებელი გახადა ღრუბლებში მიმდინარე ნალექწარმოქმნის პროცესების მოდელირება და გამოთვლილი და ექსპერიმენტული მონაცემების შედარების საფუძველზე მსჯელობა ზემოქმედების უფექტურობის შესახებ. ამ მეთოდის გამოყენება მაღალ მოთხოვნებს უკენებს ექსპერიმენტულ მონაცემებს, რაც განაპირობებს როგორც გამოთვლის სიზუსტეს, ისე შედარების საბოლოო შედეგს.
- **ირიბი მეთოდები, მაგ. ზემოქმედების ეფექტურობის შეფასების მეთოდი პიდროლოგიურ მონაცემთა გამოყენებით.** პიდროლოგიური მეთოდი განსაკუთრებით ეფექტურია იმ სქემებში, სადაც ხელოვნური ზემოქმედების შედეგად მიღებული ნალექები, აორთქლებით გამოწვეული დანაკარგების გამოკლებით, მდინარეთა კალაპოტით ჩაედინება საცდელ ტერიტორიაზე და გამოიყენება დამატებითი წყლის რესურსების სახით. მათი შეფასება წარმოებს მდინარეთა კალაპოტში წყლის ხარჯის პიდრომეტრული გაზომვებით და წყლის დონის გაზომვებით მარეგულირებელ წყალსაცავებში როგორც საცდელ, ისე საკონტროლო ტერიტორიებზე.

ნებ ექსპერიმენტების უმეტეს შემთხვევაში ზემოქმედების ეფექტურობის კონტროლისათვის ერთდროულად გამოიყენება რამდენიმე ზემოთ ჩამოთვლილი მეთოდი. მაგალითისთვის შეიძლება მოყვანილი იქნას რ. ლისტის ნაშრომი [5], რომელშიც დეტალურადად განხილული მსოფლიო მეტეოროლოგიური ორგანიზაციის ნებ საერთაშორისო პროექტის (PEP) ორგანიზაციის გეგმა. ეს საკითხი გაშექმებულია პირველი თავის პ. 1.1. –ში.

2.3. ამოცანის დასმა

დასმული ამოცანის გადასაჭრელად პირველ რიგში გაანალიზებული იქნა ნალექთა ჯამების საგმაოდ ხანგრძლივერიოდიანი დაკვირვების მონაცემები საცდელ (თიანეთი) და საკონტროლო (დუშეთი, ახალგორი - ყოფილი ლენინგრადი, ცხინვალი) ტერიტორიებზე დადგენილ იქნა, რომ საკვლევ ტერიტორიაზე ნალექთა წლიური ჯამების 3/4 წლის თბილ

პერიოდში (აპრილი-ოქტომბერი) მოდის, რამაც გაააღვილა ზემოქმედებისათვის შერჩეული, წლის ამ პერიოდისათვის დამახასიათებელი კონვექციური დრუბლებიდან მოსულ ნალექთა ანალიზი. 40-წლიანი დაკვირვების მონაცემების განხილვამ აჩვენა, რომ თიანეთისა და დანარჩენი 3 მეტეოსადგურის მონაცემებს შორის საკმაოდ მჭიდრო კორელაცია არსებობს (ცხრ. 2.1].

ცხრილი 2.1. თბილი პერიოდის (IV-X) ნალექთა ჯამების საშუალო მნიშვნელობები იორის პოლიგონის საკვლევ ტერიტორიაზე (1936-1976 წწ.) [3].

სადგური	ნალექთა ჯამების საშუალო მნიშვნელობა X_n , მმ	საშუალო პგადრატული გადახრა σ , მმ	ვარიაციის კოეფიციენტი C_v	კორელაციის კოეფიციენტი r
თიანეთი	605	133	0.22	
დუშეთი	520	119	0.23	0.82 ± 0.03
ახალგორი	168	109	0.23	0.80 ± 0.04
ცხინვალი	384	97	0.25	0.76 ± 0.04

მრავლობითი კორელაციის კოეფიციენტის მნიშვნელობა თიანეთსა და სადგურებს – დუშეთს, ლენინგრადსა და ცხინვალს შორის ტოლი აღმოჩნდა:

$$R = 0.83 \pm 0.03, \text{ ხოლო } R_{\text{ეგრესი}} = 0.82 \pm 0.03.$$

$$y = 0.50X_1 + 0.33X_2 + 0.31X_3 + 76, \quad (2.1)$$

სადაც უ არის თბილი პერიოდის ნალექთა ჯამი მეტეოსადგურ (მ/ს) თიანეთზე, X_1 , X_2 და X_3 – ნალექთა ჯამები შესაბამისად დუშეთში, ლენინგრადსა და ცხინვალში. მიღებული განტოლების ფარდობითმა ცდომილებამ შეადგინა 12%.

R კოეფიციენტის საკმაოდ მაღალი მნიშვნელობა საშუალებას იძლევა გაკონტროლ-დეს ზემოქმედების ეფექტურობა სადგურ თიანეთზე დანარჩენი სამი მეტეოსადგურის მონაცემებით დროის შედარებით ხანგრძლივი პერიოდის განმავლობაში. R კოეფიციენტის სიახლოვე ოთხივე განხილული სადგურისთვის აგრეთვე ამყარებს ამ დასკვნის სამართლიანობას. გამოსახულება (2.1)-ით მიღებული უ სიდიდის გამოთვლილი სიდიდეების შედარება მ/ს თიანეთზე გაზომილ ფაქტობრივ მნიშვნელობებთან დროის გარკვეულ მონაკვეთში შესაძლებელს გახდის დადგინდეს საცდელ ტერიტორიაზე ნალექთა ჯამების ცვლილების ტრენდი, დაკავშირებული დრუბლებზე სისტემატურ ზემოქმედებასთან.

2.4. გამოთვლების შედეგები

ექსპერიმენტირების პერიოდის ხანგრძლივობის შესაფასებლად, რომლის დროსაც შესაძლებელი იქნება სიზუსტის მოცემულ დონეზე ზემოქმედების ეფექტის აღმოჩენა ნალექთა ბუნებრივი ცვალებადობის გათვალისწინებით, მიზანშეწონილად იქნა ჩათვლილი ნალექთა შესაბამისი ჯამების პირობითი გაზრდა 5, 10, 15 და 20%-ით 5, 10, 15 და 20 -წლიან პერიოდებში მ/ს თიანეთის დაკვირვების 40-წლიანი რიგის გამოყენებით. პერიოდები აიღებოდა დაკვირვების მთლიანი რიგის საწყის, შუა და ბოლო მონაკვეთებში.

ბუნებრივ და მოდელირებულ შესადარებელ რიგებს შორის შემთხვევითი თუ არაშემთხვევითი სხვაობის დასადგენად გამოყენებულ იქნა სტიუდენტის t-კრიტერიუმი, რომლის გამოყენება დასაშვებია ნორმალური განაწილების მქონე მონაცემებისთვის.

ოთხივე განხილულ სადგურისთვის მონაცემთა მნიშვნელობების განაწილებამ აჩვენა მათი სიახლოვე ნორმალურ განაწილებასთან, რამაც შესაძლებელი გახადა t-კრიტერიუმის გამოყენებით შეფასებულიყო განხილვება ბუნებრივ და მოდელირებულ რიგებს შორის სანდო ალბათობის სხვადასხვა დონეზე: $P = 0.90, 0.95$ და 0.99 .

გამოთვლებმა აჩვენა, რომ სადგურ თიანეთში თბილი პერიოდის განმავლობაში ნალექთა საშუალო ჯამის 5%-ით მომატების დადგენა საიმედოობის დონეზე $P=0.90$ შეუძლებელია ზემოქმედების სამუშაოთა 20 წლის განმავლობაში წარმოების შემთხვევაშიც კი. ნალექთა

საშუალო ჯამების გაზრდა 10%-ით შესაძლებელია აღმოჩენილი იქნას სანდო ალბათობის დონეზე $P = 0.90-0.95$ ექსპერიმენტირების 15 წლიანი პერიოდის განმავლობაში, ხოლო 15%-იანი ნაზრდის დადგენა შესაძლებელი იქნება 5 წელიწადში საიმედოობის დონეზე $P=0.90$, 10 წელიწადში საიმედოობით $P = 0.95$ და 15 წელიწადში სანდო ალბათობის დონეზე $P=0.99$.

საკლევი ტერიტორიის დანარჩენი სამი სადგურისათვის ჩატარებულმა ანალოგიურმა გამოვლებმა აჩვენა, რომ ზემოქმედების ეფექტის დადგენის პერიოდი სანდო ალბათობის მოცემულ მნიშვნელობისათვის დამოკიდებულია წლის თბილ პერიოდში ნალექთა ჯამების ციკლურ ცვალებადობაზე – იმ წლებში, როდესაც ნალექთა ჯამები აღმატება საშუალო მრავალწლიურ მნიშვნელობას, ზემოქმედების ეფექტის დადგენა შესაძლებელი იქნება 2-ჯერ უფრო მოკლე ვადაში, ვიდრე ნაკლებ ნალექიან ციკლურ პერიოდში.

სტატია [4] ტექნიკური მიზეზების გამო გამოქვეყნდა ნხვ პროექტის კონცეფციის შემუშავებიდან (1977) 4 წლის შემდეგ, როცა კონცეფციამ, როგორც ზემოთ უკვე ითქვა, გარკვეული ცვლილებები განიცადა. კერძოდ, წინამდებარე თავში მიღებული შედეგების გათვალისწინებით, სანდო ალბათობის მისადებ დონეზე პროექტის შედეგების უზრუნველსაყოფად საჭირო იქნებოდა სამუშაოთა ჩატარება 10-15 წლის განმავლობაში, რაც რესპუბლიკის ხელმძღვანელობისათვის მიუღებელი იყო. ამიტომ აკად. გ. სვანიძის ინიციატივით 1979 წელს მიღებული იქნა გადაწყვეტილება ეფექტურობის კონტროლის სქემა შეცვლილიყო საცდელ ტერიტორიაზე ექსპერიმენტული ერთეულების რანდომიზებული შერჩევის მეთოდით, რაც უზრუნველყოფდა ზემოქმედების ეფექტის 0.90 სანდო ალბათობის დონეზე დადგენას 5-10 წლის განმავლობაში.

ამ გადაწყვეტილების შედეგად გაიზარდა იორის პოლიგონის საცდელ ტერიტორიაზე ზემოქმედების ეფექტის კონტროლისადმი წაყენებული მოთხოვნები – აღნიშნულ ტერიტორიაზე მოეწყო გახშირებული ნალექმზომი ქსელი, გაძლიერდა აუზის ზემო წელში ჰიდროლოგიურ დაკვირვებათა ჩატარების შესაძლებლობები, დაინერგა ზემოქმედების ეფექტურობის ავტომატიზებული რ/დ მეთოდი, გაძლიერდა სამუშაოები კონვექციური დრუბლის ოპერატორი მოდელის შესაქმნელად.

რაც შეეხება ხრამი-ფარავნის პოლიგონს, რომელზეც ზემოქმედება ღრუბლებზე მოგვიანებით, 1981 წლიდან დაიწყო, მისი ორიგვ ნაწილის შედარებით დიდი სიმაღლის გათვალისწინებით, წლის თბილ პერიოდად მიჩნეული იქნა მაის-სექტემბრის მონაკვეთი. ტერიტორიაზე ნალექთა სეზონური ჯამების მონაცემები მოყვანილია ცხრილში 2.2.

ცხრილი 2.2. ხრამი-ფარავნის პოლიგონზე წლის თბილი პერიოდის (V-IX) ნალექთა საშუალო ჯამები საცდელ და საკვლევ ტერიტორიებზე (1945-1965 წწ.).

სადგური	სიმაღლე ზ.დ. H, მ	ნალექთა სეზონური ჯამი P, მმ	საშუალო პგადრატული გადახრა მმ	გარიაციის კოეფიციენტი C _v
საცდელი ტერიტორია				
ნინოწმინდა	2077	365	102	0.28
ვოკა	2080	314	82	0.26
ფარავნი	2100	323	71	0.22
კუშჩი	1500	328	78	0.24
წალკა	1457	406	89	0.22
საკონტროლო ტერიტორია				
ახალქალაქი	1716	320	86	0.27
ტაბაწყური	1995	288	84	0.29
მანგლისი	1195	393	90	0.23

ცხრილში შესულია მონაცემები იმ მეტეოროლოგიური სადგურებისთვის, რომლებზეც დაკვირვების რიგების ხანგრძლივობა 20 წელს აღმატებოდა (1945-1965 წწ. და მეტი).

განსხვავებულ კლიმატურ პირობებში მყოფი ხრამი-ფარავნის პოლიგონის ორი ნაწილისთვის საბაზისო სადგურებად ჩათვლილი იქნა ფარავნი (ფარავნის აუზი) და წალკა (წალკის წყალსაცავის აუზი). მათ შესაბამის ზონაში შემავალ მეტეოსადგურებზე წლის თბილ პერიოდში (V-IX) ნალექთა საშუალო ჯამებს შორის კორელაციური კავშირები საკმაოდ მაღალი აღმოჩნდა (ცხრ. 2.3). თუმცა მიღებული კავშირების გამოყენებით ჩატარებულმა გამოკვლევებმა აჩვენა, რომ წლის თბილ პერიოდში ნალექთა საშუალო ჯამის 10%-ით მომატების დადგენა სანდო ალბათობის დონეზე $P=0.90$ სადგურ ფარავნის შეუძლებელია ზემოქმედების სამუშაოთა 25 წლის განმავლობაში წარმოებისას, ხოლო სადგურ წალკაზე – 20 წლის განმავლობაში. ამიტომ ხრამი-ფარავნის პოლიგონზე 1981 წელს დაწყებული სამუშაოები თავიდანვე თრიენტირებული იყო კონტროლის რანდომიზაციის მეთოდის გამოყენებაზე.

ცხრილი 2.3. კორელაციური კავშირები ხრამი-ფარავნის პოლიგონის საბაზისო და საცდელ-საკონტროლო მეტეოსადგურებს შორის

პოლიგონის ნაწილი	სადგურები	კორელაციის კერძო კოეფიციენტი	კორელაციის მრავლობითი კოეფიციენტი
ფარავნის ტბის აუზი	ფარავნი (საბაზისო) ფოკა ნინოშმინდა ახალქალაქი ტაბაწყური	0.96 \pm 0.02 0.82 \pm 0.05 0.80 \pm 0.06 0.76 \pm 0.08	0.86 \pm 0.10
წალკის წყალსაცავის აუზი	წალკა (საბაზისო) კუში მანგლისი	0.90 \pm 0.02 0.75 \pm 0.08	0.78 \pm 0.12

აქვე საჭიროა აღინიშნოს, რომ იმავე წლებში (1979-1981) ესპანეთში ჩატარებული არარანდომიზებული ნეგ საერთაშორისო ექსპერიმენტის (PEP) შედეგების ანალიზის დროს მოგვიანებით მიღებული იქნა რეკომენდაცია მომავალში პროექტის 5 წლით გაგრძელების შემთხვევაში სანდო ალბათობის 0.95 დონის მისაღწევად ზემოქმედება დრუბლებზე რანდომიზებული მეთოდით ჩატარებულიყო [6].

ამის გათვალისწინებით საცდელი ტერიტორიის თრივე ნაწილში მოეწყო ნალექმზომთა 10 ერთეულისაგან შემდგარი დამატებითი ქსელი, დაინერგა ზემოქმედების ეფექტურობის რ/ლ კონტროლის ფორმულაციული მეთოდი.

ხრამი-ფარავნის პოლიგონზე დრუბლებზე ზემოქმედების სამუშაოები გაგრძელდა 1985 წლის ჩათვლით. შემდგომში მათი შეწყვეტა განაპირობა ზემოქმედების საარტილერიო მეთოდის გამოყენებასთან დაკავშირებულმა ტექნიკურმა სიძნელეებმა, რაც ძირითადად, საზენიტო ქვემეხების KC-19 მომსახურებასთან იყო დაკავშირებული.

2.5. ნეგ საერთაშორისო პროექტში 1979-1981 წლებისთვის დასახული მიზნები და პროგრამის შესრულების ძირითადი ხარვეზები

ნეგ საერთაშორისო პროექტი (PEP) ჩაფიქრებული იყო 1974 წელს მმო-ს მიერ, როგორც საპეტიონის ზონაში (აფრიკა) ხანგრძლივი გვალვის შედეგების შემსუბუქებისაკენ მიმართული მსოფლიო თანამეგობრობის სადემონსტრაციო დონისძიება. ამ დროისათვის ცალკეულ ქვეყნებში (აშშ, სსრკ, ავსტრალია, კანადა და სხვ.) უკვე არსებობდა ნეგ პროექტების ეროვნული მასშტაბით განხორციელების ათწლიანი გამოცდილება. ამიტომ აპრილ-იანვარის ჩათვლილი იქნა, რომ მეცნიერება უკვე ფლობს ძირითად ცოდნას დრუბლებში ნალექთა წარმოქმნის მექანიზმისა და მათზე ხელოვნური ზემოქმედების პრინციპების შესახებ.

თავდაპირებული პრობლემა, რომელიც წარმოქმნა პროექტის განხორციელების საწყის ეტაპზე, იყო საცდელი ტერიტორიის შერჩევა. საერთაშორისო დონის კლიმატოლოგთა და

მეტეოროლოგთა ძალისხმევით 1979 წლისთვის 16 კანდიდატი ქვეყნიდან შერჩეული იქნა ესპანეთი. მისთვის დამტკიცდა საველე სამუშაოების 3-წლიანი საქსპერიმენტო პერიოდი (1979-1981), რომლის განმავლობაში უნდა ჩატარებულიყო შერჩეულ ტერიტორიაზე მიმდინარე სინოპტიკური პროცესების, ღრუბელთა მიკროფიზიკური და დინამიკური მახასიათებლების შესწავლა და საღრუბლო სისტემებზე მაკრისტალებელი რეაგენტით ზემოქმედების ეფექტურობის შეფასება [6].

პირველ საველე პერიოდში (1979 წლის მარტი-მაისი) თვითმფრინავებით ღრუბელთა მიკროფიზიკურმა გამოკვლევებმა დაადგინა საცდელ ტერიტორიაზე კრისტალიზაციის გულების ბუნებრივი კონცენტრაციის მოულოდნელად მაღალი დონე და ღრუბელთა როული მიკროფიზიკური აგებულება, რამაც შეაფერხა მათზე ზემოქმედების ექსპერიმენტების ჩატარება. ამან გამოიწვია ის, რომ ნებ პროექტის აღმასრულებელ საბჭოს პირველივე საველე სეზონისთვის არ გააჩნდა ზემოქმედებისა და მისი ეფექტურობის კონტროლის სხვა მეთოდოლოგია, გარდა საცდელ და საკონტროლო ტერიტორიებზე მოსულ ნალექთა შედარების ხერხისა, რაც ვერ უზრუნველყოფდა შეფასების სათანადო სიზუსტეს. ზემოქმედების შეფასება გამოიწვია აგრეთვე პირველ სეზონში მეტეოროლოგიური რადიოლოგიკატორის უქონლობამაც, რომლის ტრანსპორტირება საცდელ ტერიტორიაზე დააგვიანა საბჭოთა მხარემ. პირველ წელს საველე გაზომვები ჩატარდა აშშ და საფრანგეთის მიერ მიწოდებული თვითმფრინავების გამოყენებით.

კრისტალიზაციის ბირთვების ბუნებრივ კონცენტრაციასთან და ღრუბელთა მიკროფიზიკურ აგებულებასთან დაკავშირებული გაურკვევლობა გაგრძელდა მეორე (1980 წლის თებერვალი-მაისი) და მესამე (1981 წლის თებერვალი-მაისი) საველე სეზონებშიც, თუმცა ამ დროისთვის საცდელ ტერიტორიაზე უკვე ამოქმედდა რამდენიმე მეტეოროლოგიური რადიოლოგიკატორი, რომლებიც თვითმფრინავებიდან და მიწისპირა დანადგარებიდან მიღებულ ინფორმაციასთან ერთად უზრუნველყოფდნენ სხვადასხვა სახის მონაცემების მიღებას პოლიგონზე არსებული საღრუბლო სისტემების შესახებ.

მესამე საველე სეზონში ნებ პროექტში მონაწილე ქვეყნების რიცხვმა ათს მიაღწია, რის გამოც გარკვეული სიძნელეები შეიქმნა თვითმფრინავების, რადიოლოგიკატორების, ნალექმზომი ქსელის, სინოპტიკური ქსელის, რადიოზონდირების სადგურების, წვიმის წვეთებისა და კონდენსაციის გულების გამზომი ხელსაწყოების გამოყენებით მიღებული მონაცემების დამუშავებასა და ანალიზში. აღსანიშნავია ისიც, რომ მიუხედავად პროექტის მდიდარი აღჭურვილობისა ხელსაწყო-დანადგარებით, სამივე საველე სეზონში ვერ მოხერხდა ღრუბლებზე ზემოქმედების სრულფასოვანი სერიების ჩატარება და მხოლოდ მესამე სეზონის დასრულების შემდეგ პროექტის აღმასრულებელი საბჭოს მიერ დასმული იქნა საკითხი ზემოქმედების რანდომიზებული წესით განხორციელების თაობაზე.

პროექტის ფარგლებში 1979-1981 წწ. განმავლობაში ვერ მოხერხდა საღრუბლო სისტემებზე რიცხვითი მოდელირების ექსპერიმენტების ჩატარება, რაც გზას გაუხსნიდა ზემოქმედების სამუშაოთა ეფექტურობის ალტერნატიული შეფასების შესრულებას. რაც შეეხება პოლიგონის შერჩევის დროს დაშვებულ ხარვეზებს, მდ. დუეროს აუზში ფიონური ხასიათის ჰაერის დაღმავალ ნაკადებში ღრუბელთა ნალექწარმომქმნელი ეფექტურობის შემცირება პრინციპში აღვილად გასათვალისწინებელი იყო და მისი მხედველობაში მიღება შესაძლებელი იქნებოდა პოლიგონის შერჩევისას სამუშაოთა პირველ ეტაპზე.

შენიშვნა: მსგავსი შეცდომა დაშვებული იყო 1970-იანი წლების მეორე ნახევარში სევანის ტბის აუზში კონკურენტური ღრუბლების ხელოვნური გზით შესაქმნელად დანადგარის, ეწ. „სეუერმეტატორის“ აღგილის შერჩევისას. 6 რეაქტიული სააგიაციო ძრავისაგან შემდგარი ეს დანადგარი აგებული იქნა ტბის მოსაზღვრე გერამის ქვეის ჩრდილო ფერდობზე ჰაერის დაღმავალი ნაკადების ზონაში, რაც აბრკოლებდა ხელოვნური კონკურენტის განვითარებას და არაეფექტურს ხდიდა დანადგარის გამოყენებას.

ამასთან ერთად, ნებ. პროექტში მრავალეროვანი კონტიგენტის მუშაობას თან ახლდა რიგი სპეციფიკური ნაკლოვანი მხარეებისა. კერძოდ, პროექტი აღმინისტრაციულად როული სამართავი აღმოჩნდა მასში მონაწილე ექსპერტების ძირითად, სხვა სამუშაოებზე

დატვირთვასთან დაკავშირებით. როგორი აღმოჩნდა აგრეთვე სხვდასხვა ქვეყნებში მიღებული გაზრდებისა და მეთოდიკების შეუთაცხებლობასთან დაკავშირებული საკითხების მოვარება, აგრეთვე ერთობლივი ბარიერების პრობლემა. ხელსაწყოებისა და მეთოდების სიმრავლემ გამოიწვია სიძნელეები თპტიმალური გზების მოძიებაში, დაგროვილი მონაცემების დამუშავებასა და ანალიზში. ამ სირთულეების გათვალისწინებით 1980-იანი წლების პირველ ნახევარში სსრკ და ესპანეთმა დაიწყეს ნებ ეროვნული პროგრამების დამოუკიდებლად განხორციელება. ამრიგად, პროექტის დასკვნითი ანგარიშის რეზიუმეში ჩამოთვლილ და ტექსტში დეტალურად განხილულ სამეცნიერო-ტექნიკურ მიღწევებთან ერთად (იხ. დანართი 2) ნებ პროექტის შესრულებაში შესაძლებელია მთელი რიგი ხარვეზების გამოყოფა. მათგან განსაკუთრებით აღსანიშნავია:

1. პროექტის შესრულების სამივე საველე სეზონში ვერ მოხერხდა დრუბლებიდან ნალექთა ხელოვნური გაზრდის სადემონსტრაციო სამუშაოების ჩატარება, რაც თავდაპირველად პროექტის განხორციელების მიზანს შეადგენდა. ამ ხარვეზის ძირითად მიზეზად შეიძლება დასახელდეს პირველივე საველე სეზონში თვითმფრინავების გამოყენებით მიღებული მოულოდნელი შედეგები, რომელიც შეეხება საცდელ ტერიტორიაზე კონდენსაციისა და კრისტალიზაციის გულების განაწილების, აგრეთვე დრუბელთა მიკროსტრუქტურის თავისებურებებს, რამაც შეაფერსა დრუბლებზე ზემოქმედების სამუშაოთა მეთოდოლოგიის ჩამოყალიბება. ზემოქმედების საცდელი ექსპერიმენტების ჩატარება დაიგეგმა პროექტის სავარაუდო მომავალ თოხტლიან პერიოდში (1986-1989 წწ.), რაც უნდა დაყრდნობოდა პირველ სამწლიან პერიოდში 1979-1981 წწ.) მიღებულ საველე დაკვირვებების მონაცემთა ანალიზს.
2. ზემოქმედების ექსპერიმენტების ჩატარებლობის გამო ვერ იქნა გამოცდილი ზემოქმედების ეფექტურობის კონტროლის შესაძლო მეთოდები, რასაც დაემატა საცდელ და საკონტროლო ტერიტორიების შერჩევაში აღმოჩენილი გაურკვევლობები. ეფექტურობის კონტროლის ერთ-ერთ პერსპექტიულ გზად დასახელდა საცდელ და საკონტროლო დრუბლების რანდომიზებული წესით შერჩევა, თუმცა მისი გამოყენება როგორი სადრუბლო სისტემისთვის დიდ სიძნელებთანაა დაკავშირებული. ზემოქმედების ეფექტურობის კონტროლის სისტემა მჭიდროდაა დაკავშირებული საცდელ და საკონტროლო ტერიტორიების თავისებურებასთან. ნებ ექსპერიმენტების, ანუ ფაქტობრივად მისი მოსამზადებელი ფაზის სამწლიანმა გამოცდილებამ აჩვენა, რომ მდ. დუერის აუზი ვერ აკმაყოფილებს მის წინაშე დასმულ მთელ რიგ მოთხოვნებს, მაგრამ მასზე უკეთესი კანდიდატურა იმ პერიოდში ვერ დასახელდა.
3. მიუხედავად იმისა, რომ მეორე და მესამე საველე სეზონების განმავლობაში თვითმფრინავებისა და რადიოლოკატორების დახმარებით შესაძლებელი გახდა მდიდარი ექსპერიმენტული მასალის შეგროვება საცდელ ტერიტორიაზე სადრუბლო სისტემების მიკროფიზიკური და დინამიკური მახასიათებლების შესახებ, 1982 წლისთვის ვერ მოხერხდა ამ ტერიტორიაზე ზემოქმედების შედეგად ნალექთა პოტენციური გაზრდის ფარგლების რაოდენობრივი შეფასება. ცხადია, ეს მნიშვნელოვანწილად დაკავშირებული იყო ზემოთ ნახევები ორი ფაქტორით გამოწვეულ გაურკვევლობასთან.

დასკვნები

1. ნალექთა ხელოვნური გაზრდის სამუშაოთა დაწყების შესახებ გადწყვეტილების მიღების წინ შესრულდა სხვადსხვა ქვეყანაში ამ პროფილის სამუშაოთა პრაქტიკული გამოცდილების მიმოხილვა და მათი ეფექტურობის შეფასება;
2. საცდელი და საკონტროლო ტერიტორიების შერჩევის შემდეგ ჩატარდა საქართველოს პირობებში ნებ სამუშაოთა სხვადასხვა სანდო ალბათობით ზემოქმედების ეფექტის დადგენის ხანგრძლივობის შეფასება;
3. დრუბლებზე ზემოქმედების ეფექტურობის კონტროლის მეთოდების მიმოხილვის შემდეგ დასმული იქნა ამოცანა იორის პოლიგონის საცდელ და საკონტროლო ტერიტორიებზე

- წლის თბილ პერიოდში ნალექთა ბუნებრივი ცვალებადობის ფონზე სხვადასხვა მოდელირებული ნაზრდის განსხვავებული სანდო ალბათობით აღმოჩენის შესაძლებლობის შესახებ. ბუნებრივ და მოდელირებულ რიგებს შორის შემთხვევითი თუ არაშემთხვევითი სხვაობის დასადგენად გამოყენებული იქნა სტიუდენტის t-კრიტერიუმი;
4. ნალექთა ბუნებრივი ვარიაციის 40-წლიანი რიგების სტატისტიკური ანალიზის შედეგად დადგენილი იქნა, რომ ნალექთა საშუალო ჯამების გაზრდა 10%-ით თიანეთის საგურზე შესაძლებელია აღმოჩენილი იქნას სანდო ალბათობის დონეზე 0.90-0.95 ექსპერიმენტირების 15-წლიანი პერიოდის განმავლობაში, ხოლო 15%-იანი ნაზრდის დადგენა შესაძლებელი იქნება 5 წელიწადში სანდობის დონეზე 0.90, 10 წელიწადში სანდობით 0.95 და 15 წელიწადში სანდო ალბათობის დონეზე 0.99. ანალოგიური შედეგები იქნა მიღებული საკონტროლო ტერიტორიის სამი მეტეოსადგურისთვისაც;
 5. მიღებულმა შედეგებმა ექსპერიმენტირებისთვის საჭირო პერიოდის შედარებით დიდი ხანგრძლივობის გათვალისწინებით განაპირობა გადაწყვეტილების მიღება იორის პოლიგონზე ზემოქმედების კონტროლის სქემა შეცვლილიყო ექსპერიმენტული ერთგულების რანდომიზებული შერჩევის მეთოდით, რაც უზრუნველყოფდა ზემოქმედების ეფექტის 0.90 სანდო ალბათობის დონეზე დადგენას 5-10 წლის განმავლობაში;
 6. ხრამი-ფარავნის პოლიგონზე ნალექთა ბუნებრივი ვარიაციის 20-წლიანი რიგების ანალიზმა აჩვენა, რომ წლის თბილ პერიოდში ნალექთა საშუალო ჯამის 10%-ით მოდელირებული ნამატის დადგენა სანდო ალბათობის დონეზე 0.90 სადგურ ფარავანზე შეუძლებელია ზემოქმედების სამუშაოთა 25 წლის განმავლობაში წარმოებისას, ხოლო სადგურ წალკაზე - 20 წლის განმავლობაში. ამ შედეგის გათვალისწინებით ხრამი-ფარავნის პოლიგონზე 1981-1985 წლებში წარმოებული სამუშაოები თავიდანვე ორიენტირებული იყო ზემოქმედების კონტროლის რანდომიზაციის მეთოდზე;
 7. 1979-1981 წლებში ესანეთში ჩატარებულ ნალექთა გაზრდის საერთაშორისო ექსპერიმენტი (PEP), მიუხედავად საცდელ ტერიტორიაზე დრუბელთა გამოკვლევაში მიღწეული არსებითი სამეცნიერო შედეგებისა, ვერ მოხერხდა საღრუბლო სისტემებზე ზემოქმედების სამუშაოთა ჩატარება და შერჩეულ ტერიტორიაზე ნალექთა პოტენციური გაზრდის საზღვრების რაოდენობრივი შეფასება. პროექტის ბიუჯეტის ამოწურვის შედეგად აღნიშნული სამუშაოების განხორციელება მომდევნო წლებისთვის გადაიდო.

თავი 3. ნალექთა ხელოვნური გაზრდის ფიზიკური საზუმბლები

3.1. ზოგადი შენიშვნები

როგორც ზემოთ იყო აღნიშნული, მეორე მსოფლიო ომის დასრულების შემდეგ გამოთავისუფლებული ტექნიკის – თვითმფრინავებისა და რადიოლოგატორების ხელმისაწვდომობაში შესაძლებელი გახდა გასული საუკუნის 50-იან წლებში აშშ, ინგლისში, იტალიაში, საფრანგეთში, იაპონიაში და საბჭოთა კავშირში დრუბლებისა და მათში მიმდინარე ნალექწარმომქმნელი პროცესების ინტენსიური შესწავლა. ამას განსაკუთრებით შეუწყო ხელი 1940-იანი წლების მეორე ნახევარში ვ. შეფერისა და პ. ვონეგატის მიერ მშრალი ყინულისა და იოდოვნი ვერცხლის ყინულწარმომქმნელი თვისებების აღმოჩენამ [1, 2, 3]. 1960-იანი წლებისთვის ჩატარებული მრავალრიცხოვანი გამოკვლევების შედეგად დადგენილი იქნა, რომ დრუბლებში მიმდინარე პროცესების სივრცული და ენერგეტიკული მასშტაბები ბევრად აღემატება ადამიანის მხრიდან ხელმისაწვდომ მასშტაბებს, რის გამოც ატმოსფეროსა და დრუბლებზე ზემოქმედებისთვის უნდა მოიძებნოს ისეთი კრიტიკული მდგომარეობები, როდესაც მინიმალური ენერგიის დახარჯვისას შესაძლებელია გარკვეული მექანიზმის გამოყენებით მაქსიმალური ეფექტის მიღება. ამ შემთხვევაში ზემოქმედება ასრულებს მხოლოდ „გამშვები მექანიზმის“ როლს გიგანტური სისტემის ასამოქმედებლად მსგავსად იმისა, თუ როგორ შეუძლია სუსტ მექანიკურ იმპულსს იმოქმედოს უზარმაზარი თოვლის ზვავის ჩამოშლასა და ზრდაზე.

3.2. ზემოქმედება გადამეტცივებულ დრუბლებზე

დრუბლების შემთხვევაში ერთ-ერთ ასეთ კრიტიკულ მდგომარეობას წარმოადგენს გადამეტცივებული დრუბლის მდგრადი მდგომარეობა, როდესაც მისი უმნიშვნელო ნაწილის ხელოვნურ კრისტალიზაციას შეუძლია გამოიწვიოს კრისტალების ინტენსიური ზრდა გადამეტცივებული წვეთების ზედაპირიდან ორთქლის გადაქაჩვის ხარჯზე (ბერებონ-ფინდაიზენის მექანიზმი) და მის შემდგომ დრუბლის კოლოიდური მდგრადობის დაკარგვა კრისტალების კოაგულაციური ზრდის შედეგად, აგრეთვე მათი გამსხვილებისა და ხორხოშელად გარდაქმნის გამო. მსგავსად ამისა, მდგრადი თბილი წვრილწვეთოვანი დრუბლის შემთხვევაში, მასში გიგანტური ჰიგროსკოპული გულების შექვანამ შეიძლება გამოიწვიოს მსხვილი წვეთების სწრაფი წარმოქმნა, რომელთა ვარდნას თან სდევს მათი მსხვრევისა და მრავალი სხვა წვეთის კოაგულაციური ზრდის ჯაჭვური რეაქციის განვითარება (ლენგმიურის მექანიზმი). ატმოსფეროში ასეთი კრიტიკული მდგომარეობა დამახასიათებელი აღმოჩნდა არამდგრადად სტრატიფიცირებული ფენებისთვის, როდესაც შედარებით სუსტ სითბურ იმპულსს შეუძლია გამოიწვიოს ჰაერის ვერტიკალური ნაკადების ინტენსიური განვითარება და დრუბლის წარმოქმნა.

უარყოფით ტემპერატურებზე – 30°C - მდე მყოფ გადამეტცივებულ დრუბლებზე ზემოქმედების პირველი პრინციპის განსახორციელებლად ამჟამადაც ყველაზე ხშირად გამოიყენება AgI ტიპის მაკრისტალებელი რეაგენტების აეროზოლები და რიგ შემთხვევაში მშრალი ყინული CO_2 . 0°C -ზე ზემოთ დადგებით ტემპერატურებზე მყოფ თბილ დრუბლებზე ზემოქმედების მეორე პრინციპის ასამოქმედებლად ყველაზე ხშირად იხმარება სუფრის მარილის NaCl ფხვნილები ან სნარები. როგორც მაკრისტალებელი, ისე ჰიგროსკოპული რეაგენტების გამოყენება დამყარებულია კრისტალიზაციისა და კონდენსაციის გულების კონცენტრაციის ხელოვნურ გაზრდაზე. ბოლო ნახევარი საუკუნის განმავლობაში სხვადასხვა ქვეყნებში გამოკვლევების თანახმად ამჟამად მიღებულია, რომ -20°C ტემპერატურაზე და უფრო დაბლა კრისტალიზაციის ბირთვები, რომლებიც წარმოადგენებ სხვადასხვა ნივთიერებათა უმცირეს ნაწილაკებს, იმდენად აქტიურდებიან, რომ იწვევენ არამარტო გადამეტცივებული წვეთების გაყინვას, არამედ თავიანთ ზედაპირზე ყინულის კრისტალების სუბლიმაციურ ზრდას. 0 -დან -20°C -მდე ტემპერატურაზე მდგრადი წვეთოვანი დრუბლების არსებობა აიხსნება ბუნებრივი გულების არასაკმარისი რაოდენობითა და აქტივობით. ამიტომ $-4, -5^{\circ}\text{C}$ და უფრო დაბალ ტემპერატურაზე აქტიური გულების დიდი რაოდენობით (დაახლოებით $10^{13} - 10^{15}$ ნივთიერების თი-

თოვეული გრამიდან) ხელოვნურ შეყვანას შეუძლია გამოიწვიოს საღრუბლო გარემოს ინტენსიური კრისტალიზაცია როგორც რეაგენტის ნაწილაკებზე ყინულის სუბლიმაციური ზრდის შედეგად, ისე გადამეტცივებული წვეთების გაყინვისა (კონტაქტური ნუკლეაცია) და შემდგომში მათი მცირე კრისტალებად გახლების გამო. ეს პროცესები ახასიათებს AgI ტიპის მაკრისტალებელი რეაგენტის მოქმედების მექანიზმს. რაც შეეხება CO₂-ის ტიპის გამაცივებული რეაგენტის მოქმედებას, საღრუბლო გარემოში ვარდნისა და აორთქლებისას მისი ნაწილაკები თავის გარშემო წარმოქმნიან მეტად დაბალი ტემპერატურულ ველს -70°C-ით ნაწილაკის ზედაპირთან. ამ ტემპერატურებზე წარმოებს საღრუბლო წვეთების ბუნებრივი კრისტალიზაციის მძაფრი პროცესი და ბუნებრივ გულებზე კრისტალების სუბლიმაციური ზრდა.

3.3. ზემოქმედება თბილ დრუბლებზე

შედარებით დეტალურად იქნა შესწავლილი დადებით ტემპერატურაზე არსებულ დრუბლებში კონდენსაციის გულების მოქმედების საკითხი, რომელიც წარმოადგენს როგორც საღრუბლო წვეთების წარმოქმნის უშუალო მიზეზს, ისე წვეთების გაყინვის შედეგად დრუბლებში ყინულის კრისტალების გაჩენის დამატებით წყაროს.

სხვადასხვა ფიზიკურ-გეოგრაფიულ პირობებში ჩატარებულმა დრუბლელთა მიკროსტრუქტურისა და ამ მიკროსტრუქტურის შემქმნელ პარენის მასებში კონდენსაციის გულების განაწილების შესწავლამ აშკარად აჩვენა, რომ კონვექციური დრუბლები, რომლებიც ვითარდება ზღვის კლიმატისათვის დამასხასიათებელი კონდენსაციის მსხვილ ჰიგროსკოპულ გულებით (მასით 10^{-8} – 10^{-10} გ) მდიდარ პარენის მასებში, ხასიათდება მცირე კოლოიდური მდგრადობით და 2-3 კმ ვერტიკალური სიმძლავრის მიღწევისას კრისტალიზაციის პროცესის ჩაურევლად წარმოქმნიან ნალექებს [4], ხოლო კონტინენტური კლიმატის პირობებში კონდენსაციის წვრილი გულებით (მასით 10^{-12} – 10^{-15} გ) მდიდარ პარენის მასებში წარმოქმნილი კონვექციური დრუბლები პირიქით, კოლოიდურად მეტად მდგრადებია, და მხოლოდ წვეთოვანი ფრაქციის არსებობის პირობებში ვერტიკალური სიმძლავრის 5-6 კმ-მდე მიღწევის შემდეგაც კი არ იძლევიან ნალექს. სწორედ ამ ფაქტორებმა განაპირობა დადებით ტემპერატურაზე არსებულ კონვექციურ დრუბლებზე ნებ ექსპერიმენტების ჩატარება მსხვილ ჰიგროსკოპული გულებისა და სხნარების გაფრქვევის გამოყენებით დრუბლელთა ბუნებრივი კოლოიდური მდგრადობის დასარღვევად და მათში ნალექების წარმოსაქმნელად.

რადგან ტემპერატურული მოქმედების დიაპაზონით მაკრისტალებელი და ჰიგროსკოპული რეაგენტები განსხვავდება ერთმანეთისაგან, მათი გამოყენების მასშტაბებიც დამოკიდებულია იმ ფიზიკურ პარამეტრებზე, რომლებიც ახასიათებს ზემოქმედებისათვის შერჩეულ დრუბლებს: ზღვის თბილი კლიმატის პირობებში უპირატესობა შეიძლება მიეცეს ჰიგროსკოპულ რეაგენტს, ხოლო მშრალი კონტინენტური კლიმატის პირობებში, სადაც დრუბლის გადამეტცივებული ნაწილის სიმძლავრე დიდია, უფრო ხშირად მაკრისტალებელი რეაგენტი გამოყენება. რადგანაც ნალექთა ხელოვნური გაზრდის ამოცანები უფრო ხშირად მშრალი კლიმატის პირობებში წარმოიქმნება, პრაქტიკაში უფრო ხშირად გლობალური მასშტაბით ნებ სამუშაოებში მაკრისტალებელი რეაგენტები გამოიყენება. ამას ხელს უწყობს ისიც, რომ მთელი რიგი ტექნიკური და კონომიკური მიზეზების გამო ამჟამად, სადაც ეს შესაძლებელია, უპირატესობა ემლევა AgI ტიპის მაკრისტალებელი რეაგენტის გამოყენებას. უპირველეს ყოვლისა, ეს განპირობებულია იმით, რომ გადამეტცივებულ დრუბლებში ზემოთ განხილული მიკროფიზიკური პროცესები უზრუნველყოფენ 10^{-15} გ საწყისის მასის მქონე რეაგენტის ნაწილაკების საკმაოდ სწრაფ (რამდენიმე ათეული წუთის განმავლობაში) ზრდას ნალექთა ელემენტებამდე მასით 10^{-3} გ. ამრიგად „ზრდის კოეფიციენტი“ ამ ტიპის რეაგენტის ნაწილაკის შეადგენს 10^{-12} რიგის სიდიდეს, მაშინ როცა NaCl ჰიგროსკოპული რეაგენტის გამოყენების შემთხვევაში იგი არ აღემატება 10^{-6} სიდიდეს, რაც შეესაბამება 10^{-9} გ მასის მარილის ნაწილაკის ზრდას 10^{-3} გ მასის წვეთამდე. ერთეულ ნაწილაკზე გადათვლილ ჰიგროსკოპული რეაგენტის ესოდენ დაბალ ეფექტურობას უნდა დაემატოს წმინდა ტექნიკური ხასიათის სიძ-

ნელეები, რომლებიც დაკავშირებულია რეაგენტის შენახვასთან, ტრანსპორტირებასა და გაფრქვევასთან.

3.4. ზემოქმედება შერეული ფაზურ მდგომარეობაში მყოფ ღრუბლებზე.

აღსანიშნავია, რომ ბუნებაში, და კერძოდ აღმოსავლეთ საქართველოში, ზაფხულის პერიოდში, მძლავრ კონკეციურ (Cu cong) და გროვა-საწვიმარ (Cb) ღრუბლებში ხშირად ადგილი აქვს ზემოთ განხილული ორივე ნალექწარმომქმნელი პროცესის ერთდროულ განვითარებას. ეს შესაძლებელს ხდის ნებ თაქვაციების ჩატარებას კომბინირებული გზით—ღრუბლის ქვედა ნაწილში -10°C ტემპერატურამდე პიგროსკოპული რეაგენტის შეტანით, ხოლო -10°C -ზე უფრო ცივ გარემოში — მაკრისტალებელი რეაგენტის შეტანით. ღრუბლის ქვედა ნაწილზე ზემოქმედება მიზნად ისახავს ლენგმიურის ჯაჭვური რეაქციის სტიმულირებას და ნალექთა ჩამოშლის დაჩქარებას, ხოლო ზემო ნაწილზე ზემოქმედება — ბერებრონ-ფინდაიზენის მექანიზმის ამოქმედების შედეგად კრისტალების წარმოქმნას და მათ ზრდას ნალექთა ელემენტების ზომების მიღწევამდე.

უნდა ითქვას, რომ ნალექწარმომქმნელ პროცესებზე კომბინირებული ზემოქმედების მეთოდი ეფექტურია სეტყვასთან ბრძოლის შემთხვევაშიც, რადგან წვიმის სახით ჩამოშლილი ნალექი იწვევს ღრუბლის ქვემოთ ჰაერის დაღმავალი ნაკადების განხინას, რაც ღრუბლის ზედა ნაწილის განვითარებისა და სეტყვის ზრდის ხელშემშლელ პირობას წარმოადგენს. აღნიშნული მეთოდი გამოიყენებოდა პიდრომეტეოროლოგიის ინსტიტუტის მეთოდური ხელმძღვანელობით ქვემო ქართლის ტერიტორიაზე მოქმედ სეტყვასთან ბრძოლის გასამხედროებულ ნაწილში. აღნიშნული მეთოდის გამოყენება მიზანშეწონილია სიმწიფის საწყის სტადიაში მყოფ მძლავრი კონკეციის ღრუბელზე ზემოქმედების შემთხვევაში და იგი მოითხოვს პიგროსკოპული რეაგენტის საქმაოდ დიდი დოზით შეტანას ღრუბლის თბილ ნაწილში, რაც ტექნიკურად ძნელი განსახორციელებელია მთიანი რელიეფის პირობებში თვითმფრინავის გამოყენების შეუძლებლობის გამო.

რაც შეეხება პიდრომეტეოროლოგიის ინსტიტუტის მიერ იორისა და ხრამი-ფარავნის პოლიგონებზე ჩატარებულ ნებ სამუშაოებს, ამჟამად მიღებული კლასიფიკაციის თანახმად [5], ორივე პოლიგონი მდგბარეობს მშრალ სუბტროპიკების ზონაში და კლიმატიც აქ აღმოსავლეთ საქართველოსთვის მახასიათებელი კონტინენტურია. ამიტომ ზემოთ მოყვანილი ფაქტორების გათვალისწინებით ზემოქმედება კონკეციურ ღრუბლებზე ტარდებოდა მაკრისტალებელი რეაგენტით. ამას ამყარებს ის გარემოებაც, რომ აეროლოგიური ზონდირების მრავალწლიანი დაკვირვების თანახმად, აღმოსავლეთ საქართველოში 0°C იზოთერმის სიმაღლე ზაფხულის პერიოდში იცვლება ზღვის დონიდან 3-3.5 კმ ფარგლებში [6]. ამ პირობებში 2-3 კმ-ზე მეტი ვერტიკალური სიმძლავრის კონკეციური ღრუბლები, რომელთა ქვედა საზღვარი დაახლოებით იმავე სიმაღლეზე მდებარეობს, -10 -დან -20°C -მდე ტემპერატურულ ინტერვალში გადაცივებულ მდგომარეობაში იმყოფება. ამის გათვალისწინებით ღრუბელთა კოლოიდური მდგრადობის დასარდვევად და ნალექწარმომქმნელი პროცესების ინიცირებისათვის სწორედ მაკრისტალებელი რეაგენტის გამოყენებაა მიზანშეწონილი.

კოლოიდური სტაბილობის ხელოვნურად დარღვევის ზემოთ განხილული ორივე მექანიზმი წარმატებით შეიძლება განსახორციელდეს ნალექთა ხელოვნური გაზრდის მიზნით არა მარტო კონკეციურ (Cu cong-Cb), არამედ ფენა-გროვა (Sc) და ოროგრაფიული ფენა (St) ღრუბლებზე ზემოქმედების დროს. პირველ შემთხვევაში განსაკუთრებით ეფექტურია მთიანი რელიეფის პერიოდში ზემოქმედების ჩატარება მთიანი მასივის თავზე წარმოქმნილ საღრუბლო ტალღაზე, რომელიც სტაბილურად დგას ოროგრაფიული ბარიერის თავზე და იძლევა ნალექის მრავალჯერ განმეორებით გამოწვევის/გაძლიერების საშუალებას, ხოლო მეორე შემთხვევაში საქმე გაქვს ვაკე რელიეფის პირობებში ზამთრის ფენა ღრუბლებიდან თვითმფრინავის გამოყენებით ნალექთა გამოწვევის აპრობირებულ ზემოქმედების პრაქტიკასთან [7].

დასკვნები

1. ნალექწარმომქმნელი პროცესების ხელოვნური ინიცირება -10°C -ზე დაბალ ტემპერატურაზე მყოფ კოლოიდურად სტაბილურ ღრუბელში შესაძლებელია ღრუბლის უმნიშვნელო ნაწილის ხელოვნური კრისტალიზაციის გზით გადამეტცივებული წვეთების ზედაპირიდან ხელოვნური კრისტალების ზედაპირზე ორთქლის გადაქაჩვის ბუნებრივი პროცესის (ბერუერონ-ფინდაიზენის მექანიზმის) სტიმულირების გამოყენებით.
2. ნალექწარმომქმნელი პროცესების ხელოვნური ინიცირება დადგებით ტემპერატურაზე მყოფ კოლოიდურად სტაბილურ წვრილწვეთოვან ღრუბელში შესაძლებელია მასში გიგანტური ჰიგროსკოპული გულების შეტანით, რომელთა სწრაფ კონდენსაციურ ზრდას და მსხვილი წვეთების გაჩენას, მათ გრავიტაციულ ვარდნასა და მსხვრევას შეუძლია არსებულ წვეთებთან კოაგულაციური ზრდის ჯაჭვური პროცესის (ლენგმიურის მექანიზმის) განვითარება.
3. ზოგიერთ შემთხვევაში სიმწიფის საწყის სტადიაში მყოფ მდლავრ კონვექციურ ღრუბელში ორივე სენებული მექანიზმის კომბინირებული გამოყენებით შესაძლებელია როგორც ნალექთა ხელოვნური გაზრდის მიღწევა, ასევე სეტყვის ზრდის პროცესის შეფერხების გამოწვევა.
4. კოლოიდური სტაბილობის ხელოვნურად დარღვევის როგორც ბერუერონ-ფინდაიზენის, ასევე ლენგმიურის მექანიზმები შეიძლება განხორციელდეს ნალექთა ხელოვნური გაზრდის მიზნით არა მარტო კონვექციურ, არამედ ფენა-გროვა, ოროგრაფიულ და ფრონტალურ ფენა ღრუბლებზე ზემოქმედებისას.

თავი 4. ნალექთა ხელოვნური გაზრდის მიზნით პოცენტურ ღრუბლები ზემოქმედების ჩატარების მთლიანობა

როგორც შესავალში იყო ნათქვამი, პიდრომეტეოროლოგიის ინსტიტუტის ნებ თრივე პოლიგონზე 1979 წლიდან დაწყებულმა გამოკვლევის შედეგებმა შესაძლებელი გახდა კონგეგციური ღრუბლებიდან დამატებითი ნალექების მიღების მეთოდიკა 1987 წლიდან დანერგილიყო ნებ საწარმოო სამუშაოების პრაქტიკაში სეტყვასთან ბრძოლის გასამხედროებული სამსახურის ქვედანაყოფებში. ამ სამუშაოთა ჩასატარებლად 1986 წელს პიდრომეტეოროლოგიის ინსტიტუტის მიერ მომზადდა მეთოდური სახელმძღვანელო [1] სეტყვის საწინააღმდეგო ტექნიკის საშუალებით კონვექციურ ღრუბლებიდან ნალექთა ხელოვნური გაზრდის სამუშაოთა ორგანიზებისა და ჩატარებისათვის. ეს მეთოდური სახელმძღვანელო შედგენილი იქნა ინსტიტუტის წამყვანი სპეციალისტების მიერ დოკუმენტში [2] ჩამოყალიბებული პრინციპებისა და იორის პოლიგონზე პრაქტიკაში განხორციელებული შედეგების საფუძველზე, რომელშიც გათვალისწინებული იყო მთელი რიგი სამუშაოების თანმიმდევრულად ჩატარება.

4.1. გროვა-საწვიმარი ღრუბლების განვითარების სპეციალიზებული პროგნოზი

მეთოდური სახელმძღვანელო დოკუმენტის თანახმად [1], გროვა-საწვიმარი ღრუბლების ფორმირების ალბათობისა და დღის საათებში მოსულ ნალექთა მაქსიმალური რაოდენობის პროგნოზი მოიცავდა შემდეგი საფეხურების გავლას:

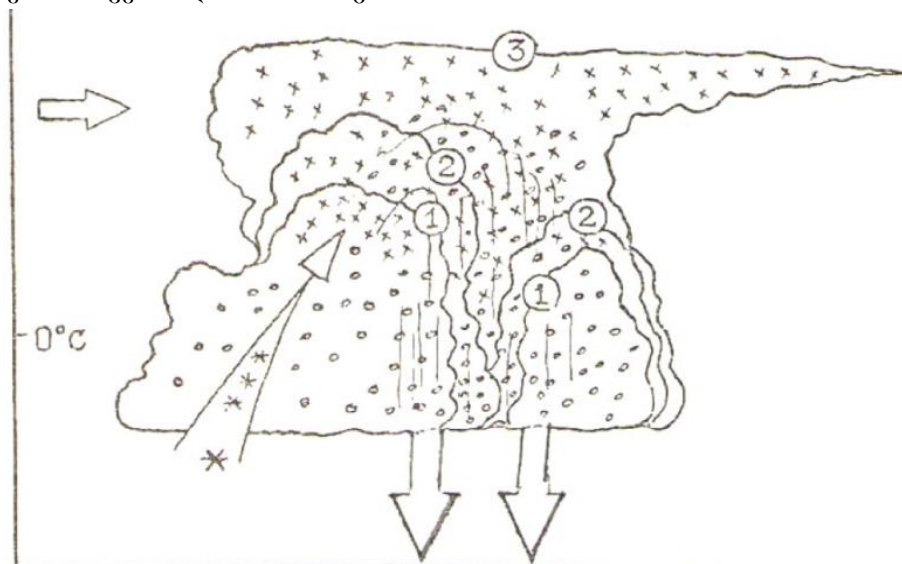
- აეროსინოპტიკური რუკების ანალიზს და მეტეოროლოგიური რადიოლოკატორების (მრღლ), დედამიწის ხელოვნური თანამგზავრების (დხო) და ატმოსფეროს რადიოზონდირების მონაცემთა გაცნობას;
- ატმოსფეროს არამდგრადობის გაანგარიშებას, რომელიც ხასიათდება 850-500 ჰპა ფენაში ტემპერატურის ვერტიკალური გრადიენტით;
- ტროპოსფეროს ქვედა და შუა ფენის ტენიშემცველობის გაანგარიშებას იგივე ფენაში ნამის წერტილის დეფიციტის მნიშვნელობების მიხედვით;
- ჰაერის ნაკადების მიმართულებისა და სიჩქარის ანალიზს 700, 500 და 400 ჰპა დონებზე, აგრეთვე ქარის ვერტიკალური ძვრის გაანგარიშებას 850-700 ჰპა ფენაში;
- გროვა-საწვიმარი ღრუბლების ფორმირების ალბათობის გაანგარიშებას და ნალექთა შესაძლო რაოდენობის შეფასებას წინასწარ შედგენილი ალბათური გრაფიკებისა და ალგორითმის ბლოკ-სქემის მიხედვით.

მეთოდური სახელმძღვანელოს მიხედვით, დროში უახლოესი აეროლოგიური ზონდირების მონაცემებისა და დამხმარე მასალების არსებობის შემთხვევაში მოყვანილი სქემით პროგნოზის შედგენას ესაჭიროება 5-7 წუთი, თუმცა პრაქტიკაში დილის თათბირზე, რომელზედაც ფასდებოდა იორის პოლიგონზე წინა დღეს ღრუბლებზე ჩატარებული ზემოქმედების შედეგები, უმეტესწილად განიხილებოდა საქართველოს პიდრომეტცენტრის ამინდის ბიუროში შედგენილი მდლავრი კონვექციის განვითარების პროგნოზი, კორექტირებული რუისპირის რადიოზონდირების მონაცემებით, აგრეთვე პოლიგონზე მიღებული სინოპტიკური რუკებისა და ადგილზე ჩატარებული რ/ლ დაკვირვების მონაცემების მიხედვით. ანალოგიურად, ხრამი-ფარავნის პოლიგონის საკომანდო პუნქტზეც დღის განმავლობაში კონვექციის განვითარების შესახებ პროგნოზი მიიღებოდა თეთრიწყაროს გასამხედროებული ნაწილის საკომანდო პუნქტიდან და კორექტირდებოდა ადგილობრივი რ/ლ სადგურის მონაცემების შესაბამისად.

4.2. ზემოქმედების ობიექტების შერჩევა

ზემოთხსნებული დოკუმენტის [2] შესაბამისად იორის პოლიგონზე ნალექთა ხელოვნური გაზრდის სამუშაოთა მთავარ მიზანს წარმოადგენდა სიონის წყალსაცავის აუზში მდ.იორის წყალშემკრების ზედა ნაწილში მდლავრ კონვექციურ და გროვა-საწვიმარ ღრუბლებზე სარაკეტო მეთოდით ზემოქმედების ჩატარება ღრუბლებში ნალექწარმომქნელი პროცესების სტიმულირების ან ინტენსიფიკაციის გზით სიონის წყალსაცავის აუზში მოსულ

ნალექთა რაოდენობის გასაზრდელად. შემდგომში იგივე მიზანი იქნა დასახული იმავე ტიპის ღრუბლებზე საარტილერიო მეთოდით ზემოქმედების ჩატარების გზით ფარავნის ტბისა და წალკის წყალსაცავის აუზებში ნალექთა რაოდენობის ხელოვნურად მომატების უზრუნველსაყოფად. ამ მიზნების მისაღწევად, პირველ რიგში იორის პოლიგონისთვის 1977 წლისთვის ნებ სამუშაოთა საერთაშორისო პრაქტიკაში მიღებული შედეგების გათვალისწინებით, სამუშაოთა ორგანიზების დასაბუთების დოკუმენტში [2] შემუშავდა Cu congr და Cb ტიპის კონვექციურ ღრუბლებზე ზემოქმედების რამდენიმე სქემა. ერთ-ერთი მათგანი, რომელიც ითვალისწინებს მაკრისტალებელი რეაგენტით ზემოქმედებას მძლავრ გროვა ღრუბელზე მისი განვითარებისა და გროვა-საწვიმარ ღრუბელში გადაზრდის სტიმულირებისათვის, მოყვანილია ნახაზე 4.1.



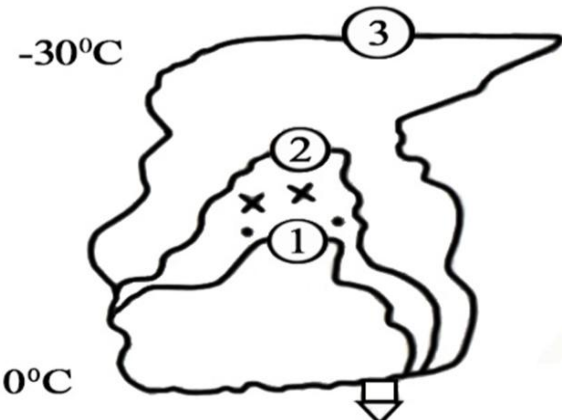
ნახ. 4.1. მძლავრ გროვა ღრუბელზე მაკრისტალებელი რეაგენტით დინამიკური ზემოქმედების სქემა მისი შემდგომი გადაზრდით გროვა-საწვიმარ ღრუბელში.

აღნიშნული სქემით ზემოქმედებას ეწოდა „დინამიკური ზემოქმედება“, რადგანაც იგი ეყრდნობა ღრუბლის გადამეტცივებული ნაწილის ხელოვნური კრისტალიზაციის დროს ფაზური გადასვლის ფარული სითბოს სწრაფი გამოყოფის პრინციპს, რასაც თან ხდევს ღრუბლის გერტიკალური (ზოგ შემთხვევაში ჰორიზონტალური) განვითარება. ამრიგად, განხილულ შემთხვევაში ზემოქმედება ღრუბლის მიკროფიზიკაზე ვლინდება მისი განვითარების დინამიკურ ეფექტში. განხილული სქემის გამოყენება მიზანშეწონილია იმ შემთხვევაში, როდესაც ღრუბელი ხასიათდება გადამეტცივებული ნაწილის მნიშვნელოვანი სიმძლავრით, თუმცა მისი შემდგომი განვითარება შესაძლებელია შეფერხდეს მდგრადად სტრატიფიცირებული შემაკავებელი ფენის ან ქარის ძლიერი გერტიკალური წანაცვლების არსებობის შემთხვევაში.

ნახაზზე 4.1. ინდექსით 1 აღნიშნულია თერმიკებისაგან თანმიმდევრულად წარმოქმნილი ერთმანეთთან ახლოს მდებარე ორი მძლავრი Cu congr ტიპის გროვა ღრუბლის კონტურები ზემოქმედების დაწყებამდე. ინდექსით 2 ნაჩვენებია დინამიკური ზემოქმედების შედეგად შემაკავებელი ფენის გარღვევის შემდეგ წარმოქმნილი ღრუბელთა კონტურები, რომელთაგან მარცხენა, უფრო ძლიერმა ღრუბელმა პირველმა გაარღვია ჩამკეტი ფენი და ჩაითრია მარჯვენა, უფრო სუსტი ღრუბელი. ინდექსით 3 აღნიშნულია გროვა-საწვიმარი ღრუბლის (Cb) კონტურები, რომელიც წარმოიშვა ორი მძლავრი გროვა ღრუბლის გაერთიანების შედეგად, მიაღწია ბუნებრივი კრისტალიზაციის დონეს (რაც ვლინდება მის ზედა საზღვარზე ე.წ. გრდემლის წარმოქმნაში) და იძლევა ნალექს.

აქვე აღსანიშნავია, რომ ნახ. 4.1. ასახავს ზემოქმედების იდეალურ შემთხვევას, როდესაც ერთმანეთთან ახლოს მდებარე ორი მძლავრი გროვა ღრუბელი ვითარდება საკმაოდ სუსტი შემაკავებელი ფენის ქვემოთ, სადაც არსებობს კონვექციური არამდგრადობის

საკმარისად დიდი მარაგი. რეალურად ასეთი შემთხვევები საკმაოდ იშვიათია, თუმცა ცალკეულ მძლავრ ღრუბელზე ზემოქმედების დროს მისი განვითარების სტადიისა და რეაგენტის დოზირების სწორი შერჩევის შემთხვევაში განხილული სქემის მიხედვით ზოგჯერ შესაძლებელია საცდელ ღრუბლიდან ზომიერი ინტენსივობის თქეში ნალექის მიღება. გარდა ამისა, ატმოსფეროს არამდგრადი სტრატიფიკაციისა და ჩამკეტი ფენის არარსებობის დროს დინამიკურ ზემოქმედებას ადვილად შეუძლია ბუნებრივი პროცესების შედეგად უკვე წარმოქმნილი საშუალო Cu med და ძლიერი Cu cong გროვა ღრუბლების შემდგომი ინტენსიფიცირება და მათი გარდაქმნის ხელშეწყობა იზოლირებულ გროვა-საწვიმარ ღრუბლად (ნახ. 4.2), საიდანაც საცდელ ტერიტორიაზე მოსული ნალექი სამართლიანად შეიძლება ჩაითვალოს ღრუბელზე ზემოქმედების შედეგად.



ნახ. 4.2. იზოლირებულ გადამეტცივებულ კონვექციურ ღრუბელზე დინამიკური ზემოქმედების შედეგად ცალკე გროვა-საწვიმარი ღრუბლის წარმოქმნის სქემა.

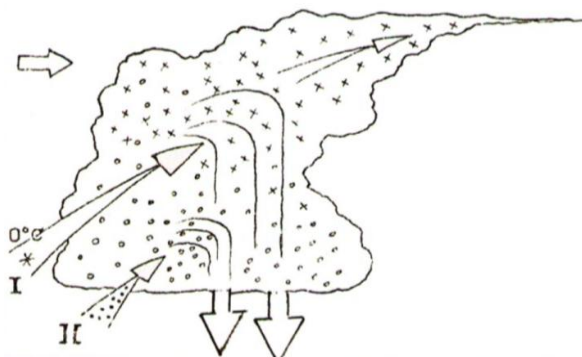
ნახაზზე 4.2. კონტური 1 აღნიშნავს Cu med - Cu cong საწყის სტადიაში მყოფ გროვა ღრუბელს, კონტური 2 შეესაბამება ზემოქმედების შედეგად განვითარების სტადიაში მყოფ მძლავრ გროვა ღრუბელს Cucong, ხოლო კონტური 3 – გროვა-საწვიმარ Cb სტადიაში გადაზრდილ ზემოქმედებაქმნილ ღრუბელს. აღმოსავლეთ საქართველოს პირობებში აღნიშნული სქემით ჩატარებული ათეულობით ექსპერიმენტის შედეგებმა აჩვენა, რომ ატმოსფეროში ხელშეწყობი პირობების არსებობის შემთხვევაში Cu med - Cu cong სტადიიდან Cb სტადიაში ღრუბლის გადაზრდის პროცესს რეაგენტის ოპტიმალური დოზით შერჩევისას შეიძლება დასჭირდეს 20-60 წთ დრო, ხოლო მოსული თქეში ნალექის ხანგრძლივობამ გასტანოს 10-30 წთ.

გადამეტცივებულ საღრუბლო გარემოში დინამიკური ზემოქმედების გარდა მაკრისტალებელი რეაგენტის გამოყენება შესაძლებელია გროვა-საწვიმარ ღრუბელში ნალექწარმომქმნელი პროცესის ინტენსიფიკაციისთვისაც.

ამ სქემით ზემოქმედების მეოთხს საფუძვლიდად უდევს გროვა-საწვიმარ ღრუბელში ბუნებრივი კრისტალიზაციის გულების არსაკმარისი რაოდენობის პიპოვება, რაც ღრუბლის გადამეტცივებულ ნაწილში გარკვეული მოცულობების ხელოვნური კრისტალიზაციის საჭიროებას ქმნის ბერჟერონ-ფინდაზენის პროცესის დასაჩქარებლად და ღრუბელში ნალექთა წარმოსაქმნელად.

ჩვენს ქვეყანაში სეტყვის საწინააღმდეგო სამუშაოების ჩატარების პროცესში წარმოებული მრავალრიცხოვან დაკვირვებათა შედეგებმა აჩვენა, რომ შერეული გროვა-საწვიმარი ღრუბლების გადამეტცივებული ნაწილების დამატებითი ხელოვნური კრისტალიზაციის დროს ხდება ღრუბლებიდან ნალექთა გამოყოფის პროცესის დაჩქარება და ზოგჯერ ღრუბელთა დაშლა რამდენიმე ათეული წუთის განმავლობაში. ეს გარემოება საშუალებას იძლევა ნახ. 4.3 -ზე მოცემული სქემის მიხედვით ჩატარებული ზემოქმედება გამოყენებული იქნას მოცემულ ტერიტორიაზე ნალექთა მოსვლის პროცესების დასაჩქარებლად და წყალგამყოფის საზღვრებს გარეთ მათი გასვლის შესაფერხებლად. გარდა ამისა, ზოგჯერ ღრუბლის მნიშვნელოვანი ნაწილის ხელოვნურ კრისტალიზაციას შეუძლია გამოიწვიოს მისი შემდგომი

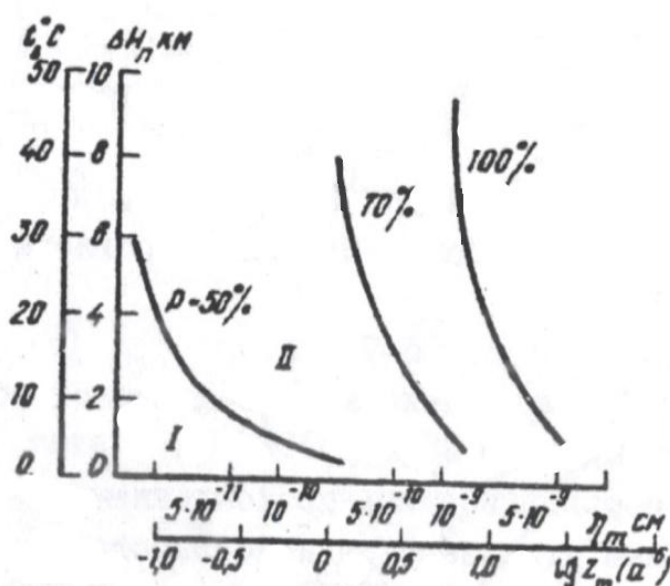
ზრდა (მძლავრი გროვა ღრუბლის დინამიკური ზრდის ანალოგიურად) და აღმავალი ნაკადების გაძლიერების ხარჯზე ღრუბლის ნალექწარმომქმნელი ეფექტურობის ამაღლება.



ნახ. 4.3. ნალექწარმომქმნელი პროცესების ინტენსიფიკაციის მიზნით გროვა-საწვიმარ ღრუბელზე ზემოქმედების სქემა.

4.3. კონვექციური ღრუბლის ზემოქმედებისთვის შესაფერისობის კრიტერიუმები
მეთოდურ სახელმძღვანელოში [1] მოყვანილია გრაფიკები რ/ლ პარამეტრების მიხედვით მძლავრი გროვა (Cu_{cong}) და გროვა-საწვიმარი (Cb) კატეგორიის ღრუბლების ერთმანეთისაგან გასარჩევად (ნახ. 4.4).

ეს გრაფიკები აგებულია იორის პოლიგონზე 1979-1985 წლებში MRL-2 და MRL-5 რადიოლოკატორების $\lambda=3.2$ სმ ტალღის სიგრძეზე ჩატარებული დიდი სტატისტიკური უზრუნველყოფის მქონე დაკვირვების მასალაზე დაყრდნობით. ამ ნახაზიდან ჩანს, რომ $\eta_m=10^{-11}$ სმ $^{-1}$ რიგის რ/ლ ამრეკლადობის 6 კმ-ზე ნაკლები გადამეტცივებული ნაწილის სიმძლავრის მქონე ღრუბლები უმეტეს წილად რჩება Cu_{cong} სტადიაში, მაგრამ რ/ლ ამრეკლადობის 10^{-10} სმ $^{-1}$ სიღრუბეში უმდეგ 2 კმ და მეტი სისქის გადაცივებული ნაწილის მქონე ღრუბლები 70%-ის ალბათობით უკმა მიეკუთვნება გროვა-საწვიმარი ღრუბლების კატეგორიას. 10^{-9} და უფრო მაღალი ამრეკლადობის მქონე ყველა ღრუბელი 2 კმ-ზე მეტი გერტიკალური სიმძლავრის შემთხვევაში განეკუთვნება Cb ღრუბელთა კატეგორიას. 1981-1985 წლებში მოყვანილი სტატისტიკა გადამოწმდა ხრამი-ფარავნის პოლიგონზეც, სადაც მსგავსი შედეგები იქნა დაფიქსირებული.



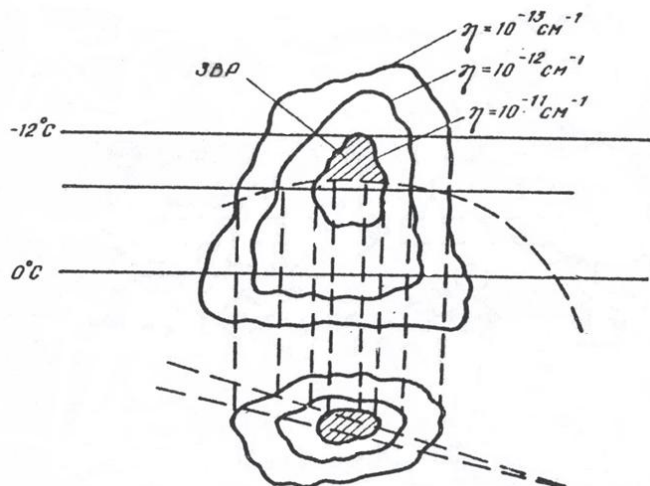
ნახ. 4.4. მძლავრი გროვა ღრუბლების (კატეგორია I) და გროვა-საწვიმარი ღრუბლების (კატეგორია II) დამოკიდებულება მაქსიმალური რ/ლ ამრეკლადობის (η_m), ღრუბლის გადამეტცივებული ნაწილის გერტიკალური სიმძლავრისა (ΔH_g) და რადიოექოს ზედა საზღვრის ტემპერატურის (T_k) მნიშვნელობებზე [1].

მიღებული კრიტერიუმების გათვალისწინებით მეთოდურ სახელმძღვანელოში შვიდწლიანი ექსპერიმენტირების გამოცდილებაზე დაყრდნობით შემოთავაზებულ იქნა მძლავრ გროვა დრუბლებსა და გროვა-საწვიმარ დრუბლებზე ნებ მიზნით ზემოქმედების ჩატარების ორი განსხვავებული სქემა.

4.4. მძლავრი კონგექციის დრუბლებზე ზემოქმედების ჩატარების სქემები

აეროსინოპტიკური სიტუაციის გაცნობისა და მძლავრი კონვექციის განვითარების პროგნოზის შედგენის/მიღების შემდეგ ზემოქმედებისათვის შესაფერისი სიტუაციის დასაზუსტებლად ინფორმაცია მიიღება რ/ლ დაკვირვების მონაცემების გამოყენებით. იმ შემთხვევაში, თუ საცდელ ტერიტორიაზე ხდება სუსტი (Cu hum) და საშუალო (Cu med) დრუბლების გადაზრდა მძლავრ გროვა დრუბლებში (Cu gong), მაშინ ამ უკანასკნელი ტიპის დრუბლების გადაცივებული ზედა ნაწილის დამუშავება უნდა მოხდეს ხელოვნური კრისტალიზაციის გზით ზემოთ ნახსენები „დინამიკური ეფექტის“ მისაღწევად (ნახ. 4.5).

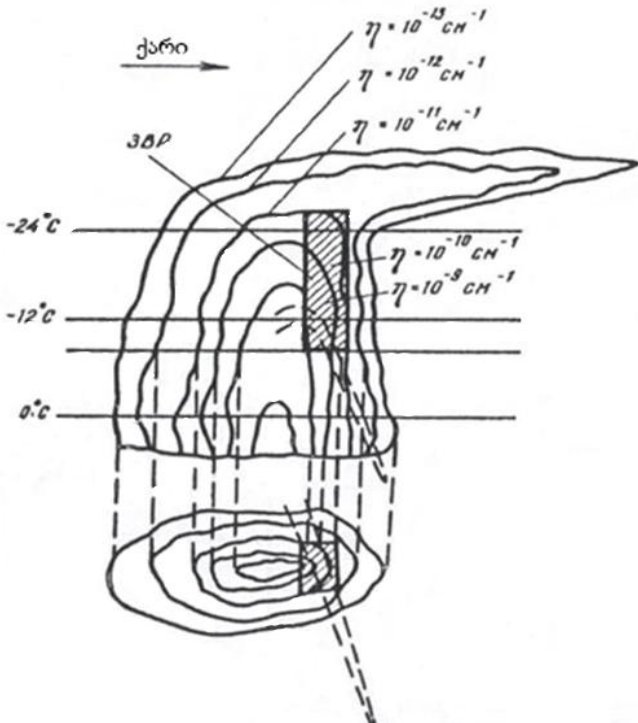
მძლავრ გროვა დრუბელში მაკრისტალებელი რეაგენტის შეტანა წარმოებს -5÷-15 იზოთერმებს შორის გაზრდილი ამრეკლადობის ზონის (გაზ) მთელ ფართობზე, რომელიც შემოსაზღვრულია იზოხაზის $\eta_m=10^{-11}$ სმ⁻¹ ($\lambda=3.2$ სმ) კონტურით. ამ შემთხვევაში რეაგენტის შეტანის ზონა (რშზ) განისაზღვრება როგორც გაზ-ის განივავეთის ფართობის მქონე ცილინდრის მოცულობა, რომლის სიმაღლე იცვლება რეაგენტის შეტანის დონიდან მის ზედა საზღვრამდე. იმ შემთხვევაში, თუ საცდელ ტერიტორიაზე ადგილი აქვს ერთმანეთის მახლობლად რამდენიმე მძლავრი გროვა დრუბლის ერთდროულ განვითარებას, დამუშავებისას უპირატესობა უნდა მიენიჭოს ყველაზე ინტენსიურად მზარდ უჯრედს, რათა ხელი შეეწყოს დანარჩენი უჯრედების „ჩათრევას“ შემაფერხებელი ფენის გარღვევაში და მძლავრი კონვექციის შემდგომ განვითარებაში. ნახაზზე 4.5. ქვედა ნაწილში მოცემულია განხილული იზოლირებული დრუბლის განივავეთის პორიზონტალური პროექცია, რომელზეც დატანილია აგრეთვე რეაგენტის შემტანი რაკეტების ტრაექტორიები.



ნახ. 4.5. მძლავრი გროვა დრუბლის (Cu cong) მაკრისტალებელი რეაგენტით დამუშავების სქემა (წყვეტილი ხაზი შეესაბამება რაკეტა „ალაზნის“ტრასას) [1].

ერთუჯრედიანი გროვა-საწვიმარი დრუბლის (Cb) დამუშავების შემთხვევაში რეაგენტი შეტანილი უნდა იქნას მოძრავი კონვექციური უჯრედის ფრონტალურ ნაწილში (ნახ. 4.6) -5÷-15 იზოთერმებს შორის.

განხილულ შემთხვევაში რშზ განივავეთი განისაზღვრება როგორც ამრეკლადობის ორი იზოკონტურით $\eta_m=10^{-11}$ სმ⁻¹ და $\eta_m=10^{-9}$ სმ⁻¹ ($\lambda=3.2$ სმ) შემოსაზღვრული ფართობი, რომლის სიმაღლე მოქცეულია რეაგენტის შეტანის დონესა და გაზ-ის ზედა საზღვარს შორის, ხოლო მოცულობა მათი ნამრავლით.



ნახ. 4.6. ერთუჯრედიანი გროვა-საწვიმარი ღრუბლის მაკრისტალებელი რეაგენტით დამუშავების სქემა [1].

ნახ. 4.6-ზე განხილული მარტივი შემთხვევისაგან განსხვავებით გროვა-საწვიმარი ღრუბლები ხშირად რამდენიმე უჯრედისაგან შედგება. ამ შემთხვევაში ზემოქმედება ნახ. 4.6-ზე მოყვანილი სქემით უნდა ჩატარდეს უპირველეს ყოვლისა ყველაზე ინტენსიურად განვითარებად უჯრედზე, რომელიც ყველაზე მაღალი ო/ლ პარამეტრებით ხასიათდება, ხოლო შემდეგ-უფრო სუსტად განვითარებად უჯრედებზე. ისევე როგორც წინა ნახაზზე, ზემოქმედებაქმნილი ღრუბლის ქვეშ მოყვანილია მისი გაზ-ის განივეკვეთის პორიზონტალური პროექცია მასზე დატანილი რაკეტების ტრაექტორიებით. ამ ნახაზიდან ჩანს, რომ მოცემული სქემით, რომელიც შეესაბამება იორისა და ხრამი-ფარავნის პოლიგონების რეალურ პირობებს, მაკრისტალებელი რეაგენტი უნდა იქნას შეტანილი გაზ-ის მოცულობაში ტემპერატურათა დიაპაზონში $-10\text{--}30^\circ\text{C}$ -მდე. უფრო დაბალ ტემპერატურებზე, გრდემლის არეში, გადამეტცივებული წვეთების კრისტალიზაცია ბუნებრივად მიმდინარეობს.

4.5. მაკრისტალებელი რეაგენტის დოზირება

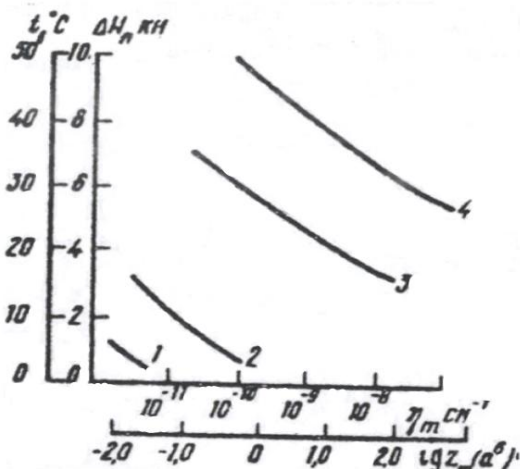
1970-იანი წლებისთვის ჩატარებული ლაბორატორიული, საველე და თეორიული გამოკვლევების შედეგებმა აჩვენეს, რომ სტაბილურ მდგომარეობაში მყოფ გადამეტცივებულ კონკეციურ ღრუბლებში ნალექწარმომქმნელი პროცესების სტიმულირებისათვის ტემპერატურების დიაპაზონში $-5\text{--}15^\circ\text{C}$ საღრუბლო გარემოში საჭიროა ყინულწარმომქმნელი აქტიური გულების კუბურ მეტრში $10^3\text{--}10^4$ კონცენტრაციის შექმნა [3,4,5]. პრაქტიკაში აჩვენა, რომ ამ ამოცანის დაძლევა შესაძლებელია განვითარების სტადიაში მყოფ კონკეციურ უჯრედში სათანადო რაოდენობით AgI ტიპის რეაგენტით აღჭურვილი სეტყვასაწინააღმდეგო რაკეტების ან ჭურვების შეტანით. ამავე დროს დადგენილ იქნა, რომ ნალექწარმომქმნელი პროცესების სტიმულირებისათვის მაკრისტალებელი რეაგენტის ზემოთ ნახსენები კონცენტრაცია კონკეციურ ღრუბელში არ უნდა აღემატებოდეს მითოთებულ სიდიდეს, რადგანაც ეს გამოიწვევს საღრუბლო გარემოს გადაჭარბებულ დამუშავებას, რაც ზრდის ღრუბელში მაკონკურირებელი გულების ზედმეტი რაოდენობით გაჩენას და მათ კონკურენციას წყლის ორთქლის არსებული მარაგის მითვისებაში. შედეგად კლებულობს ცალკეულ საღრუბლო ნაწილაკების ზრდის სიჩქარე და ყოვნდება მათ მიერ ნალექთა ელემენტების ზომადე მიღწევა. ნაკლები კონცენტრაციის შექმნის შემთხვევაში საღრუბლო გარემოში არსებული წყლის ორთქლი

აუთვისებელი რჩება, რაც აფერხებს ბერუერონ-ფინდაიზენის პროცესის ეფექტურ განვითარებას.

ღრუბლებში რეაგენტის შესატანად ჰიდრომეტინსტიტუტის განკარგულებაში იმყოფებოდა ერთ- და ორ საფეხურიანი სეტყვასაწინააღმდეგო რაკეტები „ალაზანი-2შ“ (იორის პოლიგონი) და სეტყვასაწინააღმდეგო ჭურვები „Элбрюс-4“ (ხრამი-ფარავნის პოლიგონი). ორსაფეხურიანი რაკეტის მაქსიმალური სიმაღლე და მოქმედების რადიუსი აღწევდა შესაბამისად 9.1 და 8.0 კმ, ხოლო ერთსაფეხურიანისა – 4.3 და 1.5 კმ. საარტილერიო ჭურვის მაქსიმალური სიმაღლე შეადგენდა 11.3 კმ და დაშორება – 13.0 კმ. რაკეტა „ალაზანის“ აქტიური კვამლის კოჭა შეიცავდა 1 კგ პიროტექნიკურ ნაეროს AgI-ის 2%-იანი შედგენილობით. მასში შედიოდა 16.8 გ რეაგენტი, რომელიც რაკეტის ტრასაზე გაიფრქვეოდა 35 წმ-ის განმავლობაში. ჭურვში „Элбрюс-4“ მოთავსებული ანალოგიური რეაგენტის მასა შეადგენდა 16.5 გ, რომელიც მყისიერად ქროლდებოდა ჭურვის თვით აფეთქებისას მოცემულ სიმაღლეზე [6].

სახელმძღვანელო [1] -ში მოყვანილი მონაცემების თანახმად, რომლებიც ეყრდნობა საველე გაზომვის შედეგებს, „ალაზანის“ ტიპის რაკეტის ტრასის, ანუ დიფუზიური ღრუბლის სიგრძე შეადგენდა დაახლოებით 5 კმ, რომლის თითოეულ კილომეტრზე გაიფრქვეოდა 200 გ პიროტექნიკური ნაეროს წვის შედეგად მიღებული კვამლი. ნაეროს ყინულწარმომქმნელი აქტივობა შეადგენდა 10^{13} ყინულწარმომქმნელ ნაწილაკს 1გ ნაეროდან AgI შემთხვევაში და 10^{12} ნაწილაკს PbI₂ გამოყენებისას. ამ მონაცემებზე დაყრდნობით მოცემული რადიუსისა და ვერტიკალური სიმძლავრის კონვექციური უჯრედის დასამუშავებლად ნალექწარმომქმნელი პროცესების ინიცირების/გაძლიერების მიზნით საჭიროა აღაზნის ტიპის რაკეტების რაოდენობა, რომელიც შეიძლება შეფასდეს ემპირიული თანაფარდობით $N \approx 0.1 R \Delta H_g$, სადაც R არის გაზრდილი ამრეკლადობის ($\eta_m \geq 10^{-11}$ სმ⁻¹ · λ=3.2 სმ) ზონის რადიუსი და ΔH_g – მისი გადამეტცივებული ნაწილის ვერტიკალური სიმძლავრე (ორივე სიდიდის განზომილება არის კმ). მოყვანილი გამოსახულების თანახმად, მცირე ზომის იზოლირებული Cu cong ღრუბლისთვის (R=2 კმ, $\Delta H_g = 3$ კგ) $N = 0.1 \times 2 \times 3 = 0.6 \approx 1$, ხოლო დიდი ზომის იზოლირებული Cu cong უჯრედისთვის (R=5 კმ, $\Delta H_g = 6$ კგ) ნალექთა სტიმულირებისათვის საჭირო იქნება $N = 0.1 \times 5 \times 6 = 3$ რაკეტის შეტანა. აქვე აღსანიშნავია, რომ ანალოგიური, შედარებით დიდი ზომის კონვექციური უჯრედიდან სეტყვის მოსვლის თავიდან ასაცილებლად, არსებული მეთოდიკის თანახმად [6] საჭირო იქნებოდა ერთი რიგით მეტი რაოდენობის რაკეტების შეტანა. მიღებულ გამოსახულებაში კონვექციური უჯრედის რ/ლ ამრეკლადობის გათვალისწინებით სახელმძღვანელოში [1] მოყვანილი იქნა ნებ სამუშაოებში რაკეტების ოპტიმალური რაოდენობის შესაფასებელი ემპირიული ნომოგრამები, რომლებიც მიღებულია იორის პოლიგონზე 1979-1985 წლებში ჩატარებული დაკვირვებების ვრცელი მასალის გაანალიზების შედეგად (ნახ. 4.7).

ამ ნომოგრამებიდან ჩანს, რომ Cu cong ტიპის მცირე ზომის კონვექციური უჯრედიდან პარამეტრებით $\eta_g = 10^{-11}$ სმ⁻¹, $\Delta H_g = 2$ კგ და $t_g = -10$ °C, ნალექთა სტიმულირებისათვის საკმარისია 1 რაკეტის შეტანა უჯრედის მაქსიმალური ამრეკლადობის ზონაში, მაშინ, როდესაც მძლავრ კონვექციურ უჯრედში მაქსიმალური ამრეკლადობით $\eta_g = 10^{-9}$ სმ⁻¹, გაზ-ის ვერტიკალური სიმძლავრით 5-6 კმ და ტემპერატურით ზედა საზღვარზე -25 °C ნალექწარმომქმნელი პროცესის ინიცირებისათვის საჭირო იქნება 3 რაკეტის შეტანა. იშვიათ შემთხვევაში, თუ საქმე გვაქვს მძლავრი ფრონტალური პროცესის გავლის შემდეგ დარჩენილ არასეტყვასაში უჯრედთან (უკვე ჩამოცლილი სეტყვით) შემდეგი პარამეტრებით: $\eta_g = 10^{-8}$ სმ⁻¹, $\Delta H_g = 6-7$ კგ, $t_g = -30$ °C, მასზე ზემოქმედება მიზანშეწონილია 4 რაკეტით.



ნახ. 4.7. ნებ სამუშაოებში „ალაზნის“ტიპის სეტყვასაწინააღმდეგო რაკეტების ხარჯების ნორმები რადიოლოგიკურ ამრეაღლადობასთან, გადამეტცივებული ნაწილის ვერტიკალურ სიმძლავრესა და რადიოექოს ზედა საზღვრის ტემპერატურასთან კავშირში (აღნიშვნები იგივეა, რაც ნახ. 4.4-ზე) [1].

საარტილერიო მეთოდით ზემოქმედების შემთხვევაში, სახელმძღვანელო [1] –ის თანახმად, სეტყვასაწინააღმდეგო ჭურვების „Элбрюс-4“ მოხმარების ნორმა 1 კონვექციურ უჯრედზე განისაზღვრება შემდეგი სახით: $N=0.2 \times R^2 \times H_{\text{გაზ}}$, სადაც R არის გაზრდილი ამრეკლადობის ზონის რადიუსი, ხოლო $H_{\text{გაზ}}$ – მისი სიმაღლე (ორივე პარამეტრის განზომილებაა კმ). მცირე უჯრედზე ($R=2$ კმ, $H_{\text{გაზ}}=5$ კმ) ზემოქმედებისათვის მოცემული გამოსახულებით საჭიროა $N= 0.2 \times 4 \times 5 = 4$ ჭურვის გამოყენება, ხოლო შედარებით დიდი უჯრედისათვის ($R=3$ კმ, $H_{\text{გაზ}}=6$ კმ) საჭირო გახდება $N= 0.2 \times 9 \times 6 \approx 10$ ჭურვის გასროლა. პრაქტიკულად, ხრამი-ფარავნის პოლიგონზე, დასმული ამოცანის შესრულების უზრუნველ-საყოფად, თითო კონვექციური უჯრედის დასამუშავებლად საშუალოდ 8-10 ჭურვი ისარჯებოდა. უნდა ითქვას, რომ მაკრისტალებელი რეაგენტით დოზირება ამ შემთხვევაშიც 1 რიგით ნაკლები იყო ქვემო ქართლის რეგიონში წარმოებულ სეტყვასთან ბრძოლის სამუშაოებთან შედარებით.

ზემოქმედება უნდა გაგრძელებულიყო მანამ, სანამ დრუბელი არ გადაიზრდებოდა ნალექის მომცემ გროვა-საწვიმარ დრუბლად, ან დაიწყებდა დაშლას რ/ლ პარამეტრების მკვეთრი შესუსტებით.

4.6. ზემოქმედების ჩატარებული ოპერაციის დოკუმენტირება, წინასწარი ანალიზი და არქივირება

ზემოქმედების ოპერაციის ჩატარების შემდეგ სავალდებულო იყო ოპერაციის დროს გამოყენებული ყველა მასალის შეგროვება ცალკე ფაილის სახით და მათი წინასწარი ანალიზი შემდეგი სამუშაო დღის დაწყებამდე. გამოყენებულ მასალებში შედიოდა: ზემოქმედების ოპერაციაში მონაწილე სპეციალისტებისა და დამხმარე პერსონალის სია, წამყვანი ორგანიზაციის ამინდის ბიუროდან მიღებული და ადგილობრივი სპეციალისტის მიერ დაზუსტებული ამინდის პროგნოზის ბიულეტენი, ატმოსფეროს რადიოზონდირების მონაცემები, მეტეოროლოგიური რადიოლოგიკატორების დახმარებით ჩატარებულ დაკვირვებათა მიმოხილვის მონაცემები, დათ მონაცემები საღრუბლო სისტემების მდებარეობისა და გადაადგილების შესახებ საკვლევ რეგიონში, შერჩეულ დრუბლებზე (კონვექციურ უჯრედებზე) უწყვეტი რ/ლ დაკვირვების მონაცემები, ამ ობიექტზე ჩატარებული ზემოქმედების პარამეტრები, ზემოქმედების შედეგების რ/ლ, ფოტო- და ვიზუალური რეგისტრაციის მასალები, ნალექმზომი ქსელის მონაცემები ზემოქმედების დღის განმავლობაში პოლიგონზე მოსული ნალექების შესახებ პიდროლოგიური საგუშაგოს მონაცემები ზემოქმედების შემდეგ

გასული დღე-დამის განმავლობაში მდინარის (იორი) დონის ჩამკეტ კვეთში ცვალებადობის შესახებ. სამუშაო დღის შესახებ ზოგად მონაცემებთან ერთად თითოეული დამუშავებული უჯრედისთვის ზემოქმედების მონაცემები ფორმდებოდა ცალკე ცხრილის სახით, რათა დაცულიყო ყოველი დრუბლის ინდივიდუალური დამუშავების წესი. კონვექციური უჯრედების გაერთიანების შემთხვევაში გაერთიანებული დრუბლი ახალ ნუმერაციას დებულობდა. დრუბლის დისიპაციის სტადიაში გადასვლისას რ/ლ დაკვირვებები გრძელდებოდა მის სრულ დაშლამდე.

ამგვარად, შეგროვილი მონაცემები ზემოქმედებისაგან თავისუფალ მომდევნო დღეებში ანალიზდებოდა დამუშავებული და საკონტროლო უჯრედებისთვის აგებული რ/ლ ამრეკლადობის იზოკონტრუებითა და მოსული ნალექების Z-I თანაფარდობის გამოყენებით გაანგარიშების გზით, რაც შემდგა მოწმდებოდა ნალექმზომი ქსელიდან მიღებულ მონაცემებთან შედარებით.

ზემოქმედების ყოველი დღისთვის ამგვარად შედგენილი ფაილები გროვდებოდა სეზონის არქივში და სეზონის დასრულების შემდეგ საფუძვლად ედებოდა წლის განმავლობაში ჩატარებული მუშაობის ჯამურ ანგარიშს ზემოქმედების ფიზიკური და ეკონომიკური ეფექტურობის წინასწარი შეფასებით.

დასკვნები

1986 წელს პიდრომეტეოროლოგიის ინსტიტუტის მიერ მომზადდა მეთოდური სახელმძღვანელო ნებ სამუშაოთა ჩასატარებლად, რომლის მიხედვითაც პიდრომეტეოროლოგიის ინსტიტუტის ნებ ორივე პოლიგონზე გათვალისწინებული იყო თანმიმდევრულად შემდეგი ოპერაციების ჩატარება.

1. გროვა-საწვიმარი დრუბლების განვითარების სპეციალიზებული პროგნოზის მომზადება. ეს ოპერაცია ითვალისწინებდა სინოპტიკური რუკების ანალიზსა და მეტეოროლოგიური რადიოლოკატორების, დხო და ატმოსფეროს ზონდირების მონაცემთა გაცნობას და შესაბამისი გაანგარიშებების ჩატარებას, აგრეთვე პროგნოზის დაზუსტებასა და განახლებას სხვა დამხმარე წყაროებიდან მიღებული ინფორმაციით;
2. ზემოქმედების ობიექტების შერჩევა რ/ლ და ვიზუალური დაკვირვებების საფუძველზე კონვექციური დრუბლების ზემოქმედებისთვის შესაფერისობის/ვარგისიანობის კრიტერიუმების გათვალისწინებით. ეს ოპერაცია ძირითადად ეყრდნობოდა 3 სმ სიგრძის ტალღაზე მომუშავე რადიოლოკატორების მონაცემებს ინსტრუქციით გათვალისწინებული სქემების მიხედვით;
3. მძლავრი კონვექციის დრუბლებზე ზემოქმედების ჩასატარებლად შერჩეული დრუბლის (კონვექციური უჯრედის) ტიპისა და განვითარების ტრენდის გათვალისწინებით ობიექტის დამუშავების სქემის შერჩევა ინსტრუქციაში მოცემული ვარიანტების შესაბამისად;
4. მაკრისტალებელი რეაგენტის დოზირების შერჩევა ზემოქმედებისათვის გამოყენებული ტექნიკური საშუალების (სეტყვასაწინააღმდეგო რაკეტის თუ ჭურვის) მონაცემთა შესაბამისად რადიოლოკატორ ამრეკლადობასთან, გადამეტცივებული ნაწილის ვერტიკალური სიმძლავრესა და რადიოექოს ზედა საზღვრის ტემპერატურასთან კავშირში, ინსტრუქციაში მოცემული სქემების მიხედვით;
5. ზემოქმედების ოპერაციების დოკუმენტირება, წინასწარი ანალიზი და არქივირება;
6. სეზონის განმავლობაში ჩატარებული სამუშაოების ფიზიკური და ეკონომიკური ეფექტურობის წინასწარი შეფასება.

თავი 5. ნალექთა ხელოვნური გაზრდის სამშპართა ეფექტურობის კონტროლი

5.1. ზოგადი ცნობები

როგორც აღნიშნული იყო წინამდებარე ნაშრომის მე-2 თავში, იორის პოლიგონზე ნხვ სამუშაოების დაწყებას წინ უძღვდა 1978 წელს საცდელ (მდ.იორის აუზის ზემოწელი) და საკონტროლო (მდ.არაგვის, ქსნისა და ლიახვის აუზები) ტერიტორიებზე წლის თბილ პერიოდში აგმოსფერულ ნალექთა სტატისტიკური მოდელირების ჩატარება, რის შედეგადაც განსაზღვრული იქნა სადგურ თიანეთზე ნალექთა 5-დან 15 %-მდე სავარაუდო მომატების აღმოჩენის შესაძლებლობა 0.90-0.99 საიმედოობის დონეზე 5-დან 20 წლამდე ექსპერიმენტირების შემთხვევაში [1].

1979 წლიდან დრუბლებზე ზემოქმედების დაწყების შემდეგ საცდელ ტერიტორიად დადგენილ იქნა იორის პოლიგონი ფართობით 1 000 კმ² თიანეთის რაიონის ფარგლებში, სადაც დრუბლებზე ზემოქმედების სამუშაოებთან ერთად წარმოებდა რ/ლ და ნალექმზომი ქსელის დაკვირვებები კონვექციურ დრუბლებზე და მათგან მოსულ ნალექებზე, აგრეთვე ჰიდროლოგიური დაკვირვებები მდ.იორის ჩამონადენზე ჰიდროლოგიური საგუშაგო ორხევის ჩამკეტ კვეთში. რ/ლ დაკვირვებები ტარდებოდა იორის პოლიგონის ცენტრალურ ბაზაზე (გორშევარდნის სერი) განთავსებული რ/ლ სადგურების მრლ-2 და მრლ-5 გამოყენებით, ხოლო ნალექმზომი ქსელი მოიცავდა პოლიგონის ფართობზე შესაძლებლობის ფარგლებში თანაბრად განლაგებულ 40-მდე ნალექმზომ საგუშაგოს. აღრე შერჩეულ საკონტროლო ტერიტორიებზე ანალოგიური დაკვირვებების მოწყობა შეუძლებელი აღმოჩნდა პროექტის დაფინანსების შეზღუდულობის გამო, ამიტომ ზემოქმედება საცდელ ტერიტორიაზე წარმოებდა რანდომიზაციის მეთოდით 2/3 ალბათობით ზემოქმედების სასარგებლოდ. ექსპერიმენტულ ერთეულად (კ.ე.) მიიჩნეოდა რანდომიზაციის მეთოდით შერჩეულ ნახევარდედამეში (12 სთ) მოსულ ნალექთა საცდელ ტერიტორიაზე გასაშუალოებული რაოდენობა, თუმცა დამატებით ე.ე. სახით განიხილებოდა აგრეთვე სეზონური ნალექები და მდინარის სეზონური ჩამონადენი, აგრეთვე შესაბამის ნახევარ დღე-დამეში ცალკეული კონვექციური უჯრედიდან მოსული წვიმის რაოდენობა, გაზომილი რ/ლ მეთოდით.

5.2. საცდელ და საკონტროლო ტერიტორიებზე წლის თბილ პერიოდში ნალექთა რეჟიმის ცვლილება ზემოქმედების ჩატარების შედეგად

რანდომიზაციის მეთოდზე გადასვლის მიუხედავად, აღრე გამოყოფილ საცდელ და საკონტროლო ტერიტორიებზე, ზემოქმედების ჩატარების შედეგად, ნალექთა რეჟიმის ცვლილების მიახლოებითი შეფასებისათვის ჩატარებულ იქნა ზემოქმედებამდე (1936-1978 წწ) და ზემოქმედების პერიოდში (1979-1990 წწ) შესაბამის მეტეოსადგურებზე მოსულ ნალექთა სტატისტიკური ანალიზი.

იორის პოლიგონზე დრუბლებზე ზემოქმედების პერიოდში (1979-1990 წწ) საცდელ (თიანეთი) და საკონტროლო (დუშეთი, ახალგორი, ცხინვალი) ტერიტორიებზე წლის თბილ პერიოდში მოსულ ნალექთა საშუალო მნიშვნელობები მოცემულია ცხრილში 5.1.

ფრჩხილებში მოყვანილი მნიშვნელობები შეესაბამება ნალექთა საშუალო ჯამების გადახრას ზემოქმედებამდე (ცხრ.2.1, 1936-1976 წწ. პერიოდი) და ზემოქმედების პერიოდში. როგორც ამ ცხრილიდან ჩანს, ზემოქმედების ჩატარების პერიოდში ნალექთა სეზონურმა ჯამებმა იორის პოლიგონის როგორც საცდელ, ისე მიმდებარე ტერიტორიებზე იყლო დაახლოებით 10-30 მმ-ით და ფარდობით ერთეულებში საშუალოდ შეადგინა -5%, გარდა ცხინვალისა, სადაც ნალექთა ჯამები პირიქით გაიზარდა 3%-ით. გაზომვის ცდომილების გათვალისწინებით ეს ცვლილებები უმნიშვნელოა, მაგრამ თვალში საცემია კორელაციის კოეფიციენტების მკვეთრი შემცირება ცხინვალისა და თიანეთის მონაცემებს შორის, რომლის გამომწვევი მიზეზებიც ცალკე განხილვას მოითხოვს.

ცხრილში 5.1. თბილი პერიოდის (IV-V) ნალექთა ჯამების საშუალო მნიშვნელობები იორის პოლიგონისა და მის მიმდებარე ტერიტორიებზე ღრუბლებზე სისტემატური ზემოქმედების წლებში (1979-1990 წწ.).

სადგური	ნალექთა ჯამების საშუალო მნიშვნელობა X_n , მმ	საშუალო კვადრატული გადახრა σ , მმ	ვარიაციის კოეფიციენტი C_v	კორელაციის კერძო კოეფიციენტი r
თიანეთი	599 (-6)	105	0.18	
დუშეთი	486 (-34)	99	0.20	0.81
ახალგორი	436 (-38)	74	0.17	0.60
ცხინვალი	396 (+12)	81	0.21	0.30

ანალოგიური შეფასებები ჩატარდა ხრამი-ფარავნის პოლიგონისა და მის მიმდებარე ტერიტორიებისთვისაც (ცხრ. 5.2).

ცხრილი 5.2. თბილი პერიოდის (IV-V) ნალექთა ჯამების საშუალო მნიშვნელობები ხრამი-ფარავნისა პოლიგონისა და მის მიმდებარე ტერიტორიებზე ღრუბლებზე სისტემატური ზემოქმედების წლებში (1981-1985 წწ.)

სადგური	ნალექთა ჯამების საშუალო მნიშვნელობა X_n , მმ	საშუალო კვადრატული გადახრა σ , მმ	ვარიაციის კოეფიციენტი C_v	კორელაციის კერძო კოეფიციენტი r
ფარავანი	364 (+41)	68	0.19	–
ტაბაწყური	316 (+28)	67	0.21	0.31
წალკა	481 (+75)	89	0.18	–
კუმჩი	407 (+79)	110	0.27	0.93
მანგლისი	426 (+33)	108	0.25	0.83

დაკვირვების რიგების სიმცირის გამო ცხრილში მოყვანილ მონაცემებს ძირითადად საილუსტრაციო ხასიათი გააჩნია და მიუხედავად ხუთივე სადგურზე ნალექთა ჯამების 12%-იანი მომატებისა, ხრამი-ფარავნის პოლიგონის ტერიტორიაზე ზემოქმედების შედეგად ნალექთა რეჟიმის რაიმე ცვლილებაზე მსჯელობა არ იქნება მიზანშეწონილი.

5.3. რანდომიზებული ზემოქმედების პირობებში საცდელ ტერიტორიაზე ნებ სამუშაოთა ეფექტურობის შეფასება სტატისტიკური მოდელირებით

იორის პოლიგონზე 1979 წლიდან დაწყებული ზემოქმედების სამუშაოებთან ერთად, მიღებული შედეგების საიმედოობის გასაკონტროლებლად და სამუშაოთა გეგმის ოპტიმიზაციის მიზნით დაიწყო მასალის შეგროვება რ/ლ და ნალექმზომის ქსელის დაკვირვებების მონაცემთა საფუძველზე სტატისტიკური მოდელირების ჩასატარებლად. მოდელირების მიზანს შეადგენდა ზემოქმედების ეფექტურობის შესაფასებლად საჭირო ნალექმზომთა ოპტიმალური რაოდენობის დადგენა, ექსპერიმენტირების პერიოდის ხანგრძლივობის შეფასება, რანდომიზაციის გეგმის ოპტიმიზაცია, სტატისტიკური მეთოდებისა და ტესტების შერჩევა და ექსპერიმენტული ერთეულის დადგენა, რომელიც უზრუნველყოფდა პოლიგონის კონკრეტულ პირობებში ალბათობის მისაღებ დონეზე შეძლებისდაგვარად მოკლე ხანში საიმედო შედეგების მიღებას.

დასმულ კითხვებზე პასუხის გაცემის პირველი მცდელობა მოხერხდა დაპვირვების მონაცემთა საკმარისი მოცულობით მოპოვების შედეგ 1980-იანი წლების შუა პერიოდისთვის ნაშრომში [2], რომელშიც წარმოდგენილია მონტე-კარლოს მეთოდის გამოყენებაზე დამყარებული კონვექციური ღრუბლების სტატისტიკური მოდელირების ზოგადი სქემა. ამავე დროს პიდრომეტეოროლოგიის ინსტიტუტში დამუშავდა ცალკეულ კონვექციურ უჯრედზე ნებ მიზნით ზემოქმედების ეფექტურობის რ/ლ შეფასების ორიგინალური მეთოდიკა [3]. ამ

სტატიგიკური ნებ სამუშაოთა ეფექტურობის შეფასების საკითხეზე მიღებული შედეგები 1991 წელს შევსებული იქნა დამატებითი, უფრო სრული მონაცემებით, რაც აისახა მომდევნო წლებში გამოქვეყნებულ შრომებში [4,5,6,7].

კერძოდ, სტატიაში [5] მოყვანილი სტატისტიკური მოდელირების შედეგების თანახმად, ცალკეულ კონვექციურ უჯრედიდან ნალექთა 10-30%-ით გაზრდის შემთხვევაში ტერიტორიაზე გასაშუალოებული ჯგუფური ეფექტი არ ვლინდება. ცალკეული უჯრედიდან ნალექთა 40-60%-ით ფარდობითი გაზრდისას აღინიშნება ნალექთა საშუალო ტერიტორიული რაოდენობის მომატება 25-35%-ით, ხოლო ცალკეული უჯრედიდან ნალექთა 100%-ით გაზრდის შემთხვევაში ტერიტორიაზე გასაშუალოებული ნალექთა ჯამი იზრდება 40-60%-ით.

მოდელირების განხილული სქემა გამოყენებული იქნა აგრეთვე ზემოთ ჩამოთვლილი სხვა ამოცანების გადასაჭრელადაც. კერძოდ, დადგენილი იქნა იორის პოლიგონზე ექსპერიმენტირების ოპტიმალური ხანგრძლივობა რანდომიზაციის მეთოდთან, ნიშნადობის დონესა და ზემოქმედების ეფექტურობის შეფასების კრიტერიუმებთან კავშირში, მიღებული იქნა შესაბამისი ექსპერიმენტული ერთეულები და ნალექმზომი ქსელის სიხშირე. მაგალითად, რანდომიზაციის გეგმის 2/3 ალბათობით ზემოქმედების სასარგებლოდ გამოყენებისას ცალკეული კონვექციური ღრუბლიდან 40-50%-ით ნალექთა გაზრდის საშუალო ჯამური ეფექტი სტიუდენტის კრიტერიუმის გამოყენებისას შესაძლებელია აღმოჩენილი იქნას 2-3 წლიანი ექსპერიმენტირების დროს ნიშნადობის დონეზე 0.1-0.05, თუ საკონტროლო ჯგუფი მოიცავს 45 უჯრედს, ხოლო საცდელი ჯგუფი – დაახლოებით 80 კონვექციურ უჯრედს. გამოთვლება აჩვენა აგრეთვე, რომ ნალექთა გაზრდის მინიმალური ჯგუფური ეფექტის (10%) შემთხვევაში უმაღლესი სიზუსტის ($\alpha = 0.02$) მიღწევა შესაძლებელია ექსპერიმენტირების ხანგრძლივობისას 14-დან 20 წლამდე.

ჩატარებული გამოკვლევების შედეგად დადგენილ იქნა, რომ ზემოთ ჩამოთვლილი პირობებიდან ზემოქმედების ეფექტის აღმოსაჩენად ყველაზე ხელსაყრელია შემთხვევები, როდესაც ექსპერიმენტულ ერთეულად შერჩეულია კონვექციური უჯრედი, ხოლო რანდომიზაცია ტარდება ამ უჯრედების ერთობლიობის გამოყენებით 2/3 ალბათობით ზემოქმედების სასარგებლოდ. ამ პირობებში საცდელ ჯგუფში ნალექთა საშუალო ფარდობითი მომატება საკონტროლო ჯგუფთან შედარებით სულ მცირე 10%-ით შეიძლება აღმოჩენილი იქნას $\alpha = 0.1$ ნიშნადობის დონეზე ექსპერიმენტირების 9-10 წლის შემდეგ, თუ საკონტროლო და საცდელი უჯრედების რაოდენობა მიაღწევს დაახლოებით 150-250-ს შესაბამისად.

რაც შეეხება ექსპერიმენტული ერთეულის დადგენის საკითხს, ზემოთ ნახსენებ ცალკეულ კონვექციურ უჯრედებთან ერთად განხილული იქნა საცდელ ტერიტორიაზე გასაშუალოებულ ნალექთა ნახევარდდედამური ჯამები. ამ სახით წარმოდგენილი ერთეულებისთვის ჩატარებულმა სტატისტიკურმა მოდელირებამ აჩვენა, რომ ნალექმზომი ქსელის ოპტიმალური სიხშირე იორის პოლიგონის პირობებისათვის შეადგენს 30-40 ხელსაწყოს 1000 კმ² ფართობზე. ამ სიხშირის გამოყენების შემთხვევაში როგორც სტიუდენტის, ასევე სანდოობის შეფარდების კრიტერიუმებისა და შერჩევითი ჯამების მეთოდის დახმარებით ზემოქმედების შედეგი ნიშნადობის დონეზე $\alpha = 0.05 - 0.10$ შეიძლება აღმოჩენილი იქნას 5-10 წლის ხანგრძლივობის ექსპერიმენტირებისას, თუ ნალექთა ნახევარდდედამური ჯამების მომატება აღწევს 20-30%-ს.

იორის პოლიგონის ნალექმზომ ქსელზე 1981-1989 წლებში ჩატარებული დაპირვებების მონაცემთა ანალიზმა აჩვენა, რომ ტერიტორიაზე გასაშუალოებული ნალექების მომატება საცდელ დღეებში 25-30%-ით სტატისტიკურად უზრუნველყოფილია ნიშნადობის დონეზე $\alpha = 0.2 - 0.1$. ეს ამტკიცებს მოდელირების შედეგების სიახლოეს რეალური მასალის გამოყენებით მიღებულ შეფასებებთან.

მიღებული შედეგების გათვალისწინებით 1991 წლის დასასრულისთვის შესაძლებელი გახდა ზემოთ მოყვანილი სტატისტიკური მოდელირების შედეგების შედარება რ/ლ გაზომვებით დადგენილ ცალკეულ უჯრედებიდან ნალექთა გაზრდის ემპირიული შეფარდებისა

საცდელ ტერიტორიაზე ნალექმზომი ქსელით მიღებულ გასაშუალოებულ ნალექთა მომატებასთან. ამ პერიოდში მომზადებული შემაჯამებელი ნაშრომის [4] თანახმად, იორის პოლიგონის მონაცემთა 5-წლიანი ამონაკრებიდან, რომელიც შეიცავდა 90 საცდელ და 33 საკონტროლო უჯრედს, ცალკეული კონვექციური უჯრედიდან ნალექთა ფარდობითი ნაზრდის საშუალო მნიშვნელობამ შეადგინა 75%, ხოლო ტერიტორიაზე ნალექთა შეფარდებითი მომატება ტოლი აღმოჩნდა 25-30%-ის. შეფასებები მიღებული იქნა სარწმუნო ალბათობის დონეზე 0.9, რაც შემდგომში დადასტურებული იქნა შრომებში [6] და [7].

ანალოგიური ანალიზი ჩატარდა ხრამი-ფარავნის პოლიგონის უფრო შეზღუდული რაოდენობის ექსპერიმენტული მონაცემების საფუძველზე (1981-1985 წწ.). ზემოქმედების ობიექტების შესარჩევი კრიტერიუმები და რანდომიზაციის წესი ამ პოლიგონზეც იგივე იყო, რაც იორის პოლიგონის შემთხვევაში, თუმცა განსხვავებული კლიმატური პირობების გამო სტატისტიკური მოდელირების შედეგები ხრამი-ფარავნის პოლიგონისთვის განსხვავებული აღმოჩნდა. კერძოდ, ცალკეული კონვექციური უჯრედიდან მოსულ ნალექთა ფარდობითი ნაზრდის საშუალო მნიშვნელობამ ხრამი-ფარავნის პოლიგონზე შეადგინა 40%, ნაცვლად 75%-ისა იორის პოლიგონზე, ხოლო ნახევარდღედამეში საცდელ ტერიტორიაზე გასაშუალოებულ მოსულ დამატებით ნალექთა ფარდობითმა ნაზრდმა შეადგინა 20% ნაცვლად 25-30%-ისა იორის პოლიგონზე. ამან შესაბამისად გამოიწვია ის, რომ სეზონური ნალექების საშუალო მომატება ხრამი-ფარავნის პოლიგონზე აღმოჩნდა 40 მმ (სეზონური ჯამის 5-10%), რაც დაახლოებით 2-ჯერ ნაკლებია იორის პოლიგონისათვის მიღებულ სიდიდეზე (60-90 მმ აბსოლუტურ ერთეულებში და 10-15% ფარდობით ერთეულებში). მონაცემთა ნაკლები სტატისტიკური უზრუნველყოფის გამო ზემოქმედების ეფექტის შეფასებათა სარწმუნო ალბათობის დონემ ხრამი-ფარავნის პოლიგონზე შეადგინა 0.85. უფრო დეტალური ინფორმაცია ორივე პოლიგონზე ჩატარებული სამუშაოების შესახებ მოცემულია შემაჯამებელ ცხრილში 6.1.

5.4. ზემოქმედების ეფექტის შეფასება რადიოლოკაციური მონაცემების საფუძველზე

ნხვ სამუშაოთა ჩატარების მეთოდიკაში ერთ-ერთი ძირითადი კომპონენტია რ/ლ დაკვირვების წარმოება, რის საფუძველზეც ხდება კონვექციური უჯრედების ან საღრუბლო სისტემების ადგილმდებარეობისა და გადაადგილების პარამეტრების დადგენა, მათი გეომეტრიული ზომებისა და რ/ლ მახასიათებლების განსაზღვრა, რომელთა საფუძველზეც მიიღება გადაწყვეტილება ზემოქმედებისათვის ღრუბელთა ვარგისიანობის შესახებ, მათზე ზემოქმედების ჩატარებისა თუ საკონტროლოდ დატოვების მიზანშეწონილობაზე. შესაფერისი კონვექციური ღრუბლების არსებობის შემთხვევაში რ/ლ დაკვირვებები გრძელდება ღრუბლის მიერ საკვლევი ტერიტორიის ფარგლებს გარეთ გასვლამდე ან მის დაშლამდე. წინამდებარე ნაშრომის მე-4 თავში განხილულია რ/ლ პარამეტრები, რომელთა გაზომვა აუცილებელია ზემოქმედების ჩატარების ან მის საკონტროლოდ დატოვების შემთხვევაში ($\lambda=3.2$ სმ ტალღის სიგრძეზე მომუშავე ლოკატორებისათვის რ/ლ ამრეკლადობის $\eta \geq 10^{-11}$ სმ⁻¹ იზოკონტრუების განლაგება და დინამიკა, მაქსიმალური რ/ლ ამრეკლადობის η_m მნიშვნელობა, სიმაღლე და დინამიკა, გაზრდილი რ/ლ ამრეკლადობის ზონის მნიშვნელობა, რომელშიც ამრეკლადობა 1 რიგით ნაკლებია η_m -ზე, იზოკონტრუები და დინამიკა და სხვ.).

ნხვ სამუშაოთა ეფექტურობის დასადგენად არა ნაკლებ მნიშვნელოვანია საღრუბლო ობიექტებიდან მოსულ ნალექთა ინტენსივობისა და ხანგრძლივობის, მათ მიერ მოცული ფართობის შეფასება, რაც მოითხოვს რადიოლოკატორის დაგრადუირებას Z-I თანაფარდობის დადგენის მიზნით და დაკვირვების წარმოებას საკვლევ ტერიტორიაზე განთავსებული ნალექმზომი ქსელის მონაცემებთან შესადარებლად. ყველივე ეს მოწმობს რ/ლ დაკვირვების გადამწყვეტ მნიშვნელობაზე ნხვ სამუშაოთა ეფექტურობის დადგენის საქმეში და მათი ჩატარების სიზუსტისადმი წაყენებულ მაღალ მოთხოვნებს [8].

იორის პოლიგონზე ნხგ რანდომიზებულ ოპერაციების დაწევების პირველ ეტაპზე 1978 წლიდან რ/დ წარმოებდა $\lambda=3.2$ სმ სიგრძის ტალღაზე MRL -2-ის, ხოლო 1980 წლიდან MRL-5 სადგურის გამოყენებით. რადიოლოკატორები იმართებოდა ხელით, ჟურნალში ფიქსირდებოდა დაკვირვების დრო, კონვექციური უჯრედის მაქსიმალური რ/დ ამრეკლადობა, მისი აზიმუტი, დაშორება და სიმაღლე, ასევე გაზრდილი ამრეკლადობის ზონის გეომეტრიული ზომები, ყოველ სიმაღლეზე შესაბამისი ტემპერატურები. ეს იძლეოდა კონვექციური უჯრედის გადაადგილების მიმართულებისა და სიჩქარის, მისი განვითარების განსაზღვრის საშუალებას. დაკვირვება წარმოებდა 10-წუთიანი ინტერვალით და რადიოლოკატორის ეკრანზე ხდებოდა მიღებული ცალკეული უჯრედის რადიოექოს იზოკონტურების კალკირება და ფოტოგრაფირება თითოეულ უჯრედზე დაკვირვების მთელი ციკლის განმავლობაში. Z-I თანაფარდობაზე დამყარებული წინასწარ შემუშავებული მეოთვის გამოითვლებოდა რ/დ მეოთვის განსაზღვრული უჯრედიდან მოსული ნალექის მასა (კილოტონებში). ამის შემდეგ მიღებოდა ნახევარდღელამის განმავლობაში საცდელ ტერიტორიაზე დაკვირვებულ უჯრედებიდან მოსულ ნალექთა ჯამური მნიშვნელობა (მილიმეტრებში) და ხდებოდა საცდელი ტერიტორიის მთელი ფართობზე გასაშუალოებული ამ მნიშვნელობების შედარება ნალექმზომი ქსელის შესაბამის მონაცემებთან.

ექსპერიმენტული მასალის დაგროვების კვალობაზე რ/დ დაკვირვების შედეგების გამოქვეყნება დაიწყო 1988 წლიდან [9,10], რასაც შემდგომში მოჰყვა სტატიები [11,12] და 1992 წელს გამოქვეყნებული შემაჯამებელი ნაშრომი [4].

ნხგ სამუშაოთა ეფექტურობის დასადგენად რ/დ გაზომვებისა და ნალექმზომი ქსელის მონაცემების კომპლექსური გამოყენებით შრომაში [2] დამუშავდა სტატისტიკური მოდელირების სქემა, რომელიც დახვეწის შემდეგ მოიცავდა ექსპერიმენტების ჩატარების დროს შემდეგი ოპერაციების იმიტაციას [6]:

- დღეების შერჩევა, როდესაც საცდელ ტერიტორიაზე ადგილი აქვს კონვექციის განვითარებას და ნალექების მოსვლას. გათამაშება წარმოებს ყოველი თვისთვის ცალკეული იმ ემპირიული განაწილების შესაბამისად, რომელიც დღის განმავლობაში მიღებულია პოლიგონზე კონვექციური დრუბლებისა და ნალექებზე ჩატარებული რ/დ დაკვირვებების შედეგად. სტატისტიკური უკმარისობის გამო შემთხვევების ემპირიული განაწილება აპროქსიმირდებოდა ნორმალური განაწილებით.
- დღის განმავლობაში დაკვირვებული კონვექციური უჯრედების შერჩევა, რომლებიც აკმაყოფილებდა ზემოქმედებისთვის ვარგისიანობის/შესაფერისობის კრიტერიუმებს. ამისთვის ყოველი თვისთვის დადგენილ იქნა დღე-დამის განმავლობაში დაკვირვებული უჯრედების განაწილების ფუნქცია, რომელიც, წინა შემთხვევის ანალოგიურად, აპროქსიმიტული იყო ნორმალური განაწილებით.
- ცალკეულ კონვექციურ უჯრედიდან მოსულ ნალექთა რაოდენობის (კილოტონებში) გათამაშება. რადიოლოკაციურ მონაცემებზე დაყრდნობით Z-I თანაფარდობის გამოყენებით გამოითვლებოდა ყოველ 10-წუთიან ინტერვალში მოსულ ნალექთა რაოდენობა, აგრეთვე დრუბლის მთელი არსებობის მანძილზე მოსულ ჯამურ ნალექთა განაწილების ალბათობის სიმკვრივის ფუნქცია აპროქსიმიტული გამა განაწილებით.
- პოლიგონზე მოსულ ნალექთა ნახევარდღელამური ჯამების გამოთვლა. ამისათვის ყოველი i-ური კონვექციური უჯრედისათვის სრულდებოდა მოსულ ნალექთა S_i ფართობის გათამაშება ამ სიდიდის ალბათობის სიმკვრივის განაწილების ქსელის მონაცემთა მიხედვით. მოძრავი უჯრედებისთვის წარმოებდა აგრეთვე იორის პოლიგონზე 1979-1990 წლებში ჩატარებული დაკვირვების მასალიდან მიღებული კონვექციური უჯრედების მოძრაობის მიმართულებისა და საშუალო სიჩქარის გათამაშება. კონვექციური უჯრედის რადიოექოს 10^{-10} სმ⁻¹ ამრეკლადობის შესაბამისი კონტურის ფართობების (β^2) განაწილების ალბათობის სიმკვრივის ფუნქცია აპროქსიმიტებოდა გამა განაწილებით კოლმოგოროვის კრიტერიუმთან

შესაბამისობის შემოწმებით. უჯრედების არსებობის ხანგრძლივობისათვის მიიღებოდა ნორმალური განაწილება.

- საცდელ და საკონტროლო დღეების (ნახევარდღედამეების) შემთხვევითი შერჩევა რანდომიზაციის პრამეტრების გათვალისწინებით. საცდელი დღეებისათვის ცალკეული უჯრედიდან მოსულ ნალექთა რაოდენობა პირობითად იზრდებოდა 10-დან 200%-მდე ექსპერიმენტის ჩატარების ამ გეგმისთვის განიხილებოდა 2 ძირითადი ექსპერიმენტული ერთეული: ა) ცალკეული უჯრედიდან მოსულ ნალექთა რაოდენობა (კილოტონებში) და ბ) ნახევარდღელამურ ნალექთა ჯამები (მმ), რომელიც მიიღებოდა ცალკეულ უჯრედებიდან მოსულ ნალექთა შეჯამებით და პოლიგონის მთელ ფართობზე გასაშუალოებით.
- ექსპერიმენტის გეგმის განხორციელება ზემოქმედების ობიექტის რანდომიზაციით p (საცდელი უჯრედი) და q (საკონტროლო უჯრედი), სადაც $q=1-p$.

იორის პოლიგონის პირობებისთვის იმ შემთხვევაში, როცა ექსპერიმენტულ ერთეულად მიიჩნეოდა ცალკეულ უჯრედიდან მოსულ ნალექთა რაოდენობა და რანდომიზაცია ტარდებოდა 2/3 ალბათობით ზემოქმედების სასარგებლოდ, გამოთვლების შედეგად მიღებულ იქნა, რომ ცალკეული უჯრედიდან ნალექთა 20%-ით გაზრდის შემთხვევაში უჯრედების ერთობლიობაში ჯამური დადებითი შედეგი ფიქსირდება 5-6 წლის ექსპერიმენტირების პერიოდში სარწმუნო ალბათობის დონეზე 0.80. აღსანიშნავია, რომ საცდელი ჯგუფის ცალკეული უჯრედისათვის გასაშუალოებული ნალექთა ფარდობითმა ნაზრდა ამ შემთხვევისათვის შეადგინა 10%. შეფარდებულ პარამეტრებს შორის სხვაობები დადგენილ იქნა სტიუდენტის კრიტერიუმის გამოყენებით. ცალკეული უჯრედიდან ნალექთა 50%-ით გაზრდის შემთხვევაში გამოთვლებმა აჩვენა ზემოქმედების დადებითი ეფექტის აღმოჩენის შესაძლებლობა ნებ სამუშაოთა 1 წლის განმავლობაში წარმოებისას სარწმუნო ალბათობის დონეზე 0.90-0.99.

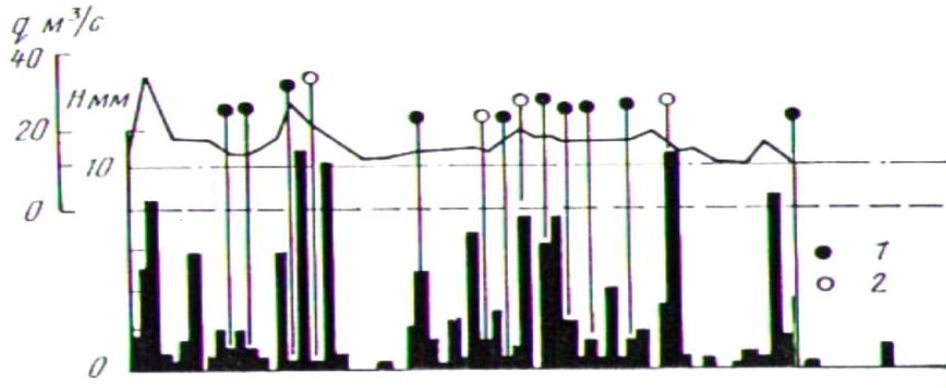
რაც შეეხება ექსპერიმენტულ ერთეულად საცდელ ტერიტორიაზე ნალექთა ნახევარდღედამური გასაშუალოებული ჯამების შერჩევის შემთხვევას, გამოთვლებმა აჩვენა, რომ 1000 კმ² ტერიტორიაზე 30-40 ნალექმზომის არსებობის შემთხვევაში სტიუდენტისა და დამაჯერებლობათა შეფარდების კრიტერიუმების გამოყენებით ზემოქმედების შედეგი შეიძლება აღმოჩენილი იქნას $\alpha = 0.05 - 0.10$ ნიშანდობის დონეზე 5-10 წლის ექსპერიმენტირების ხანგრძლივობისას, თუ ნახევარდღედამური ჯამების ნაზრდი შეადგენს 20-30%. იორის პოლიგონის 1981-1990 წწ. ნალექმზომ ქსელის მონაცემთა ანალიზმა აჩვენა, რომ საცდელ დღეებში გასაშუალოებული ტერიტორიული ნალექების საშუალო ფარდობითი მომატება 25-30 %-ით სტატისტიკურად უზრუნველყოფილია ნიშანდობის დონეზე $\alpha = 0.2 - 0.10$ [4]. ეს ადასტურებს მოდელირების შედეგების სიახლოვეს რეალური დაკვირვების მონაცემებთან. ექსპერიმენტული მონაცემების სიმცირის გამო ანალოგიური შეფასებები ხრამი-ფარავნის პოლიგონზე არ ჩატარებულა.

5.5. სტატისტიკური მეთოდების გამოყენება ზემოქმედების ეფექტურობის ჰიდროლოგიურ შეფასებაში

აღმოსავლეთ საქართველოში ნებ სამუშაოთა გასაშლელად იორის პოლიგონის შერჩევის ძირითად არგუმენტს წარმოადგენდა მდ.იორის ზემო წელში ნალექებსა და მდინარის ჩამონადენს შორის მჭიდრო კორელაციური კავშირების დამყარების შესაძლებლობა, რაც ხეობის თავისებურებითაა განკირობებული. 1979 წელს ნებ სამუშაოთა დაწყების შემდეგ იორის პოლიგონზე რ/ლ დაკვირვებებთან ერთად დაიწყო გახშირებული ნალექმზომი ქსელის მოწყობა. ეს შესაძლებლობას ქმნიდა დრუბლებზე ზემოქმედების ოპერაციებთან ერთად ჩატარებულიყო მოსულ ნალექებზე რ/ლ და ნალექმზომი დაკვირვებები და მდინარის ჩამონადენის ცვლილების გაზომვები. ზემოქმედების ჩასატარებლად 4 სარაკეტო წერტილის ამოქმედებასთან ერთად რ/ლ დაკვირვებები ტარდებოდა MRL-2 და MRL-5 ტიპის რადიოლოგიურებით, მოეწყო 40 ნალექმზომით აღჭურვილი სადამკვირვებლო ქსელი, ამავე დროს ჰიდროლოგიური გაზომვები ტარდებოდა მდინარის ზემოწელში მდებარე ლელოვანისა

და ორხევის საგუშაგოებზე. ამ სამუშაოთა მასალებზე დაყრდნობით 1985 წლისთვის ინსტიტუტში შესაძლებელი გახდა მდინარის ჩამონადენის ფორმირების მოდელის შექმნა მდინარის აუზში ღრუბლებიდან ნალექთა ხელოვნური გაზრდის ეფექტის შესაფასებლად [13, 14]. ექსპერიმენტული მასალის დაგროვების შედეგად მოდელმა 1988 წლისთვის მიიღო პრაქტიკულ სამუშაოებში ადვილად გამოსაყენებელი სახე [15].

1981-1983 წლებში იორის პოლიგონზე ღრუბლებზე რანდომიზებულ ექსპერიმენტებში ზემოქმედების ეფექტის პიდროლოგიური მეთოდით შეფასების საილუსტრაციოდ ნაშრომში [13] მოყვანილია საგ. ლელოვანის მასალაზე აგებული მდ.იორის 1982 წლის მაისის თვის კომპლექსური პიდროგრაფი (ნახ. 5.1.), რომელზედაც Q_i აღნიშნავს i -ურ ექსპერიმენტულ ერთეულში (ნახევარდედელამებში) მდინარის ხარჯს პიდროლოგიურ პერიოდში ($\text{მ}^3/\text{წ}$), ხოლო H_i -საცდელ ტერიტორიაზე ნალექთა ჯამურ ფენას (მმ) i -ურ ექსპერიმენტულ ერთეულში.



ნახ. 5.1. მდ.იორის კომპლექსური პიდროგრაფი საგ. ლელოვანზე (1982 წლის მაისი). 1-დღეები ზემოქმედებით (საცდელი), 2-დღეები ზემოქმედების გარეშე (საკონტროლო).
ექსპერიმენტული ერთეული – ნახევარდედელამე (12 სთ).

ნალექთა ნახევარდედელამური ჯამები განისაზღვრებოდა ჩამკეტი კვეთის ზემოთ მიმდებარე 12 ნალექმზომის მონაცემთა გასაშუალოებით, წყალშემკრების ფართობი შეადგენდა 494 კმ^2 , მდინარის სიგრძე – 43 კმ, კადაპოტური გარბენის სიჩქარე – დაახლოებით 1 $\text{მ}/\text{წ}$ და გარბენის სრული დრო – 12 სთ.

ნახაზიდან კარგად ჩანს, რომ მაისის პირველ ნახევარში 3 ნახევარდედელამის განმავლობაში თითქმის ერთმანეთის მიყოლებით ჩატარებული ზემოქმედების ოპერაციების შემდეგ მდინარის ჩამონადენმა პიკს მიაღწია, რასაც შემდგომში მოჰყვა მისი საგრძნობი შემცირება თვის მეორე ნახევარში ზემოქმედების განახლებამდე.

1990 წლისთვის იორის პოლიგონზე კონვექციურ ღრუბლებზე რანდომიზებული ზემოქმედების ჯამური მონაცემების გამოყენებით ჩატარებულ სამუშაოთა პიდროლოგიური მეთოდით ეფექტურობის შეფასებისათვის გამოყენებულ იქნა სტატისტიკური მოდელირების მიდგომა [16]. ნაშრომში აღნიშნულია, რომ ზემოქმედების ინტეგრალური ეფექტი ამ მიდგომით ფასდება საცდელ ტერიტორიაზე მოსულ ნალექთა ნახევარდედელამური ჯამებისა და საცდელ აუზში მდინარის შესაბამისი ჩამონადენის ცვლილების შეჯერების გზით. მსოფლიოს სხვა რეგიონებში შესრულებული პროექტებისაგან განსხვავებით ზემოქმედების ეფექტურობის შეფასების პიდროლოგიური მეთოდი იორის პოლიგონის შემთხვევაში გამოიყენებოდა არა საცდელ და საკონტროლო მდინარეთა აუზებში წყლის ხარჯების დამაკავშირებელი ისტორიული რეგრესიის განტოლებათა გამოყენების გზით, არამედ პირველად იქნა შემოთავაზებული და წარმატებით განხორციელდა კიდევ საცდელ აუზში მდინარის ნახევარდედელამური ჩამონადენის ცვლილების შეფასების მეთოდიკა, რომელიც ემყარება ნახევარდედელამების რანდომიზაციით მიღებულ საცდელ და საკონტროლო ჯგუფებს შორის შედარებას და ფორმულირებულია შრომაში [15]. აქვე აღსანიშნავია, რომ აღნიშნულ მეთოდიკაში ნალექმზომი ქსელის მეშვეობით გაზომილი ნალექთა

ნახევარდლელამური ჯამები კონტროლდება რ/ლ გაზომვებით მიღებული ნალექების მონაცემებით.

დამუშავებული მეთოდიკის თანახმად, კომპლექსური ჰიდროგრაფის დახმარებით წარმოებდა საცდელ და საკონტროლო ნახევარდლელამები ფორმირებული თითოეული წყალმოვარდნის პიკის მოცულობის გაანგარიშება. მაგრამ ამ შემთხვევაში ამოცანა რთულდებოდა იმით, რომ ჰიდროგრაფზე წყალმოვარდნის პიკის ხანგრძლივობა დამოკიდებული იყო ჩამონადენის ფორმირების პირობებზე. ამიტომ უმეტეს შემთხვევაში წყალმოვარდნის ტალღა იქმნებოდა არა მხოლოდ ერთი ნახევარდლელამის ნალექებით და წარმოადგენდა ცალკეული პიკების ერთობლიობას.

ამრიგად, ამოცანას შეადგენდა წყალმოვარდნის ტალღის მოცულობიდან მისი ერთეულოვანი მოცულობების გამოყოფა, რომლებიც შეესაბამებოდა ამა თუ იმ საცდელ ან საკონტროლო ერთეულს. ამოცანის გადასაჭრელად გამოყენებული იქნა ჩამონადენის ფორმირების მათვამატიკური მოდელი, რომელიც აკავშირებს წყალშემკრებზე მოსულ ნალექთა რაოდენობას საცდელი აუზის კეთიში მდინარის გაზომილ ხარჯთან. იორის პოლიგონის შემთხვევაში, სადაც ტალღის გარბენის დრო (12 სთ) დაემთხვა ე.ე. ხანგრძლივობას, ამოცანის ამოხსნა ადვილდება, რაც საშუალებას იძლევა გამოყენებული იქნას ჩამონადენის ფორმირების მარტივი ფიზიკური მოდელი შემდეგი სახით:

$$W_i = K_i Q_i F$$

რომელიც აკავშირებს i -ური წყალმოვარდნის ტალღის W_i მოცულობას ნახევარდლებად მოსულ ნალექთა ჯამურ რაოდენობასთან Q_i . ამ გამოსახულებაში K_{ij} არის i -ური წყალმოვარდნის ტალღის დამახასიათებელი ჩამონადენის კოეფიციენტი და F – წყალშემკრების ფართობი. W_i გამოითვლებოდა კომპლექსური ჰიდროგრაფის დროში ინტეგრებით, ხოლო Q_i განისაზღვრებოდა ნალექმზომი ქსელისა და რ/ლ გაზომვების მონაცემებით. ამ გზით ხდებოდა შედგენა მდინარის ჩამონადენის საცდელი და საკონტროლო ამონაკრებებისა, რომელთა განაწილების ფუნქციების ერთმანეთთან შედარება ხდებოდა ზემოქმედების ეფექტის გამოსავლენად და ნიშნადობის დონის დასადგენად სხვადასხვა სტატისტიკური კრიტერიუმების გამოყენებისას [16].

დრუბლებზე რანდომიზებული ზემოქმედების ეფექტურობის დადგენის ამ ჰიდროლოგიური მეთოდის გამოყენებით ექსპერიმენტირების პერიოდის ხანგრძლივობის შესაფასებლად დაშვებული იქნა, რომ ჩამონადენის ნახევარდლელამური სიდიდეები ექსპერიმენტულ მასალაში ნორმალურადად განაწილებული. ამის გათვალისწინებით სტიუდენტის კრიტერიუმის გამოყენებით მიღებული იქნა, რომ იორის პოლიგონისთვის ნიშნადობის დონეზე $\alpha = 0.10$ ზემოქმედების ეფექტის აღმოსაჩენად ექსპერიმენტირების პერიოდი იცვლება შუალედში 5-10 წელი, თუ ე.ე. რაოდენობა ერთ სეზონში შეადგენს 30-50 ერთეულს ამონაკრებთა დისპერსიის საშუალო კვადრატული გადახრით 10-20% ფარგლებში. ნაშრომში [6] მოყვანილი შედეგების თანახმად, ზემოქმედების ეფექტურობის შეფასების შემოთავაზებული ჰიდროლოგიური მეთოდიკის გამოყენებით ჩატარებულმა დამატებითმა სტატისტიკურმა მოდელირებამ დაადასტურა ამ შეფასების მართებულობა. კერძოდ, წყალშემკრებზე ნახევარდლელამური ნალექების 80-100 %-ით გაზრდას თან სდევს ნახევარდლელამური ჩამონადენის მოცულობის მომატება 20-50%-ით. ექსპერიმენტირების 5-10- წლიანი პერიოდის ხანგრძლივობისას ამ ეფექტის დადგენა შესაძლებელია ნიშნადობის დონეზე 0.10 სტიუდენტისა და დამაჯერებლობათა შეფარდების კრიტერიუმების გამოყენებით.

რთული რელიეფის გამო ხრამი-ფარავნის პოლიგონზე, რომელიც 2 მდინარის აუზს მოიცავს, ზემოქმედების ეფექტურობა რ/ლ მეთოდით არ შეფასებულა.

5.6. ნხვ სამუშაოთა ეკონომიკური ეფექტურობა

ნხვ სამუშაოთა ეფექტურობის მთავარი მაჩვენებელია მათი რენტაბელობა, გამოხატული სამუშაოთა ჩატარებაზე გახარჯული თანხების შეფარდებაში ზემოქმედების ჩატარების შედეგად მიღებული დამატებითი ნალექების გამოყენებით განპირობებული ეკონომიკური საქმიან-

ობის დირექტულობასთან. იორის პოლიგონზე ნხვ თპერაციების ჩატარების მთავარ მიზანს შეადგენდა მდ.იორის წყლის რესურსების გაზრდა სასოფლო-სამეურნეო კულტურების მორწყვის პირობების ხელშესაწყობად, ჰესების კასკადის ენერგოეფექტურობის ამაღლება და ქალაქების-თბილისისა და რუსთავის წყალმომარაგების გაუმჯობესება. იორის პოლიგონის ფუნქციონირების ეფექტურად წარმოჩნის ხელსაყრელი პირობები შეიქმნა 1989 წელს, როდესაც ხანგრძლივი გვალვის გამო გარდაბნისა და საგარეჯოს რაიონების სოფლის მეურნეობის ხექტორი, რომელშიც 20 ათასი ჰა სავარგულები იყო გაერთიანებული, განადგურების საშიშროების წინაშე აღმოჩნდა. ამ საფრთხისაგან ხენებული რაიონები იხსნა სიონის წყალსაცავში დაგროვილმა წყლის რესურსებმა, რომლებიც მოხმარდა ამ რაიონებში სავარგულების რწყვას. შექმნილი სიტუაცია აღწერილი იქნა ნაშრომში [17], რომელშიც ფაქტობრივ მასალაზე ნაჩვენებია ნხვ სამუშაოთა ეკონომიკური ეფექტურობა და მათი განვითარების შესაძლებლობა აღმოსავლეთ საქართველოს სხვა რაიონებში.

კერძოდ, სტატიაში აღნიშნულია, რომ მეტეოროლოგიური ქსელის მონაცემების თანახმად 1989 წლის იანვარ-ოქტომბერში განხილულ რეგიონში მოსულმა ნალექებმა კლიმატური ნორმის ნახევარი შეადგინა. სავარგულების ინტენსიურმა რწყვამ გამოიწვია სიონის წყალსაცავში წყლის მოცულობის შემცირება 164-დან 13 მლნ მ³-მდე, საიდანაც ორივე რაიონში სავარგულების სარწყავად მიწოდებულ იქნა 16 მლნ მ³³ საქსტატის მონაცემებით გარდაბნის რაიონის 10247 ჰა სარწყავი სავარგულებისთვის რწყვის საერთო ეკონომიკურმა ეფექტურობამ შეადგინა 14.4 მლნ მანეთი, ხოლო საგარეჯოს რაიონის 7 594 ჰა სარწყავი სავარგულებისთვის 13.7 მლნ მანეთი, ანუ სულ რეგიონისთვის 28.1 მლნ მანეთი. ამვე დროს საქენერგოს მონაცემებით, ზემო სამგორის ენერგეტიკულ კასკადში შემავალმა 4 ჰიდროელექტროსადგურმა 1989 წელს ფაქტობრივად გამოიმუშავა 51.6 მლნ კვტ.სთ ელექტროენერგია, რომლის საერთო დირექტულებამ მაშინდელ ფასებში 1.03 მლნ მანეთი შეადგინა. ამრიგად, 1989 წელს სიონის წყალსაცავიდან გამომუშავებული წყლის რესურსების საერთო ეკონომიკურმა ეფექტურობამ მხოლოდ სოფლის მეურნეობისა და ჰიდროენერგეტიკის გათვალისწინებით 29 მლნ მანეთს გადაჭარბა.

დამატებითმა გაანგარიშებებმა, რომელიც „თბილწყალკანალის“ მონაცემებით, ჩატარდა ქ. თბილისის მოსახლეობაში, სახლმწიფო ორგანიზაციებში, საყოფაცხოვრებო კომბინატებში, მშენებლობაში, ვაჭრობაში და სხვა მომხმარებლებში წყლის რესურსების გამოყენების შესაფასებლად აჩვენა, რომ ამ რესურსების ეკონომიკურმა უკუგებამ 1989 წელს შეადგინა 3 მლნ მანეთზე მეტი. ამის გათვალისწინებით სიონის წყალსაცავის წყლის რესურსების მოხმარების ეკონომიკური ეფექტურობის მაჩვენებელი რუსთავისა და საგარეჯოს საქალაქო მეურნეობების გათვალისწინების გარეშე საერთო ჯამში გაუტოლდა 32 მლნ მანეთს [4].

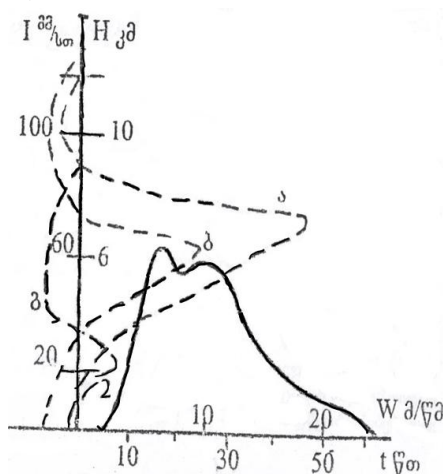
რაც შეეხება იმავე წელს იორის პოლიგონზე ზემოქმედების შედეგად მიღებული დამატებითი ნალექების დირექტულებას, მის შესაფასებლად გათვალისწინებულია, რომ 1985-1989 წლების მონაცემებზე დაკავშირდნობით ზემოქმედება იწვევს თითოეული კონვექციური უჯრედიდან ნალექთა საერთო რაოდენობის გაზრდას საშუალოდ 85%-ით, რასაც შეესაბამება წყლის ნამატების აბსოლუტური სიდიდე დაახლოებით 300 ათასი კუბური მეტრი. 1989 წლის 26 სამუშაო დღიდან რანდომიზაციის შედეგად ზემოქმედება იორის პოლიგონზე ჩატარდა 14 დღის განმავლობაში, ხოლო 12 დღე დატოვილი იქნა საკონტროლოდ. დამუშავებული იქნა 34 კონვექციური ღრუბელი, რომელთაგან მიღებული საერთო დამატებითი ნალექი, ზემოთ მოყვანილი შეფასებების თანახმად, შეიძლება შეფასებული იქნას 10 მლნ კუბურ მეტრ მეტრი. თუ ჩამონადენის კოეფიციენტს მივიჩნევთ 0.5-ის ტოლად, ეს მოგვცემს სიონის წყალსაცავში ზემოქმედების შედეგად ჩასული დამატებითი წყლის რაოდენობას 5 მლნ. კუბური მეტრის ოდენობით, რაც წყალსაცავიდან გამოშვებული წყლის საერთო რაოდენობის 3%-ს შეადგენს. თუ გავიხენებთ, რომ 1989 წელს წყალსაცავიდან გამოშვებული წყლის ჯამურ რაოდენობას 150 მლნ. კუბურმეტრს შეესაბამებოდა 29 მლნ ეკონომიკური უკუგები, 5 მლნ კუბური მეტრის ექვივალენტური ეკონომიკური ეფექტურობა 1 მლნ მანეთის ტოლი იქნება. ამ ეფექტის მისაღებად 1989 წელს იორის პოლიგონის ფუნქციონირებაზე დაახლოებით 200 ათასი მანეთი იქნა და-

ხარჯული, რასაც შეესაბამება სამუშაოთა რენტაბელობა 1:5. საწარმოო მასშტაბით ზემოქმედების ჩატარებისას, როცა რანდომიზაციის გარეშე სეზონის განმავლობაში პოლიგონზე შეიძლება დამუშავდეს 100-150 ლრუბლი, ამ ღონისძიებათა ეკონომიკურმა ეფექტურობაში შესაძლოა მიაღწიოს 3 მდნ მანეთს, რენტაბელობაში კი შეადგინოს 1:10.

ანალოგიური შეფასებების ჩასატარებლად ხრამი-ფარაგნის პოლიგონზე საჭირო იქნებოდა 2 რაიონის – წალკისა და ნინოწმინდის ტერიტორიაზე მოსული დამატებითი ნალექების გავლენის შეფასება ამ რაიონების ძირითადი ეკონომიკური დარგის – მეკარტოფილეობის მოსავლიანობაზე, აგრათვე ამ ნალექებით განპირობებული საძოვრების პროდუქტიულობის გაზრდაზე და წალკის წყალსაცავზე დამოკიდებული ხრამკესის ენერგოგამომუშავების მომატებაზე. შესაბამისი სტატისტიკური მონაცემების უქონლობის გამო ამ შეფასებათა ჩატარება ვერ მოხერხდა, რაც განაპირობა აგრეთვე ექსპერიმენტირების პერიოდის მოკლე დრომ.

5.7. ნხგ სამუშაოთა ეფექტურობის კონტროლი მათემატიკური მოდელირების გამოყენებით

ნალექწარმომქმნელი პროცესების მათემატიკური მოდელირების საკითხების დამუშავება ჰიდრომეტრინსტიტუტში დაიწყო 1970-იანი წლების დასაწყისში, როდესაც აქტუალური გახდა ინსტიტუტში დამუშავებული სეტყვასთან ბრძოლის ორიგინალური მეთოდიკის თეორიული დასაბუთება. ამასთან დაკავშირებით 70-იანი წლების შუა პერიოდისთვის შეიქმნა თეორიული ბაზა კონვექციური ლრუბლების ნალექწარმომქმნელი პროცესების კინეტიკაზე ხელოვნური ზემოქმედების რიცხვითი მოდელირების ჩასატარებლად [18], რასაც 1980-იანი წლების დასაწყისში მოჰყვა როგორც სეტყვასთან ბრძოლის, ისე ნალექთა ხელოვნური გაზრდის სამუშაოთა რიგი საკითხების მათემატიკური მოდელირების მეთოდებით გადაჭრის ცდები [19]. იორის პოლიგონზე ამ პერიოდში ნხგ სამუშაოთა დაწყებამ დღის წესრიგში დააყენა კონვექციური ლრუბლის შედარებით მარტივი, ოპერატიულ სამუშაოებში პრაქტიკულად გამოსაყენებელი რიცხვითი მოდელის შემუშავება, რომელიც იორის პოლიგონის პირობებში ხელს შეუწყობდა როგორც ზემოქმედების ოპერაციების მართვას აეროლოგიური ზონდირების ადგილობრივ მონაცემებზე დაყრდნობით, ისე ზემოქმედების პროცედურების ანალიზს და მათი შედეგების ეფექტურობის შეფასებას. ინსტიტუტში ლრუბელთა ფიზიკის განყოფილების თეორიული მოდელირების ჯგუფის ძალისხმევით ასეთი ოპერატიული მოდელი შეიქმნა 1990-იანი წლების დასაწყისისთვის [20]. მისი ერთი ვარიანტის თვლის დრო პერსონალურ კოპიუტერზე არ აღმატება 5-10 წუთს. მოდელი გამოიყენდილ იქნა თეორიუმაროს რადიოზონდირების მონაცემების გამოყენებით და აჩვენა კონვექციური ლრუბლის განვითარების სხვადასხვა სტადიის, მათ შორის ნალექთა გამოყოფის პერიოდის ასახვის შესაძლებლობა (ნახ. 5.2).



ნახ. 5.2. ჰიდრომეტეოროლოგიის ინსტიტუტში დამუშავებული კონვექციური ლრუბლის ოპერატიული რიცხვითი მოდელის გამოცდის მაგალითი [20].

ამ ნახაზზე ნაჩვენებია 1974 წლის 18 ივნისის ოქტომბერის რადიოზონდირების მონაცემებით აგებული ვერტიკალური სიჩქარის (W) განაწილების მრუდები და დრუბლებიდან გამოყოფილ ნალექთა ინტენსივობის (I) ცვლილება დროში. საწყის მომენტში ატმოსფეროს 2 ქმ-იან ფენაში $\Delta W=1$ მ/წმ დინამიკური იმპულსის მიცემიდან 5 წთ-ის შემდეგ ხდება დრუბლის ჩასახვა, რომელიც მე-12 წუთისთვის აღწევს 13 ქმ-ს წყლიანობით 5.6 გ/კგ. 30-ე წუთზე იწყება დრუბლის დისიპაცია და დაახლოებით 1 სთ შემდეგ იგი მთლიანად იშლება. თქემი წვიმის მაქსიმალური ინტენსივობა აღინიშნება მე-15 წუთზე და აღწევს 60 მმ/სთ. მთლიანად დრუბლიდან მოსული ნალექის საერთო რაოდენობა შეადგენს 3.2×10^5 ტონას.

სამწუხაროდ, ქვეყანაში შექმნილი არასტაბილური მდგომარეობის გამო 1991 წლიდან იორის პოლიგონზე ნებ სამუშაოები შეწყდა და აღნიშნული ოპერატორული მოდელის პრაქტიკული რეალიზაცია ველარ მოხერხდა. 1995 წლის შემდეგ რადიოლოკატორების მწყობრიდან გამოსვლისა და სეტყვასაწინააღმდეგო რაკეტების სხვა მიზნებისთვის გამოყენების გამო ნებ სამუშაოებმა დროებით დაკარგა აქტუალობა და ინსტიტუტის თემატიკაში პრიორიტეტული ადგილი კლიმატის ცვლილების პრობლემამ დაიკავა.

5.8. ნებ სამუშაოთა გარემოზე ზემოქმედების შეფასება

1979 წლიდან, ნებ სამუშაოთა დაწყების შემდეგ, პიდრომეტინსტიტუტის მიერ იორის პოლიგონზე და მის მიმდებარე საკონტროლო ტერიტორიებზე სისტემატურად ტარდებოდა გარემოს დაჭუქყიანების დონის საექსპედიციო გაზომვები. 1981 წლიდან დაემატა ხრამი-ფარავნის პოლიგონზე პერიოდულად ჩატარებული გაზომვებიც. ეს სამუშაოები გულისხმობდა სინჯების აღებას ჰაერში, აგმოსფერულ ნალექებში. ზედაპირულ წყლებსა და ნიადაგში მძიმე ლითონების კონცენტრაციის დასადგენად, რაც წარმოებდა ინსტიტუტის სპეციალიზებულ ლაბორატორიაში. მიღებული მონაცემებით გამოვლენილ იქნა, რომ გარემოს აღნიშნულ კომპონენტებში მძიმე ლითონების შემცველობა იცვლება ნორმის ფარგლებში და ნალექთა ხელოვნური გაზრდის სამუშაოები არ ახდენენ გავლენას მათ კონცენტრაციებზე [21].

ამ მონაცემების დასახუსტებლად მოგვიანებით, 2000 წლისთვის ნაშრომში [22] დამატებით ჩატარდა ნებ სამუშაოებში გამოყენებულ რეაგენტში შემავალი ელემენტებით – ვერცხლითა და იოდით ბუნებრივი გარემოს დაბინძურების ახალი შეფასებები. უპირველეს ყოვლისა აღნიშნულ იქნა, რომ ატმოსფეროში გაფრქვეული ვერცხლის იოდიდი მზის ულტრაინფერი გამოსხივების ზეგავლენით განიცდის სწრაფ დეგრადაციას და 2-6 საათის შემდეგ იშლება შემადგენელ ელემენტებად. მათი საშუალო კონცენტრაცია ჰაერში, მსოფლიოს სხვადასხვა რეგიონებში ჩატარებული გაზომვების თანახმად, ზემოქმედების დღეებში იცვლება შუალედში $(1.1\text{--}2.4)\cdot10^{-7}$ მგ/მ³, ხოლო მაქსიმალური კონცენტრაცია ერთჯერადი ზემოქმედების არეში შეადგენს $(1.6\text{--}1.8)\cdot10^{-5}$ მგ/მ³, რაც 5 რიგით ნაკლებია ნორმატულ დოკუმენტებით ორივე ელემენტისთვის (Ag და I) დაშვებულ კონცენტრაციაზე. ვერცხლის იოდიდის $1\text{--}2$ ფართობზე სეზონური დაგროვებისთვის 30-40 სამუშაო დღის პირობებში მიღებული იქნა სიდიდე 1.4–2.7 გ იოდოვანი ვერცხლი. ამ მონაცემების გათვალისწინებით ნიადაგის 10 სმ-იან ფენაში რეაგენტისა და მისი კომპონენტების წლის განმავლობაში დაგროვილი კონცენტრაციები ტოლი აღმოჩნდა:

ვერცხლის იოდიდისთვის $(0.7\text{--}1.4)\cdot10^{-5}$ მგ/გ,

ვერცხლისთვის $(3.2\text{--}6.4)\cdot10^{-4}$ მგ/გ,

იოდისთვის $(3.6\text{--}7.2)\cdot10^{-4}$ მგ/გ.

1982-1986 წლების მონაცემებით აღმოსავლეთ საქართველოში რეაგენტისა და მისი კომპონენტების ფონური კონცენტრაციები იცვლებოდა ფარგლებში 0.20-0.36 მგ/გ, რაც 4 რიგით აღემატება ზემოთ მოყვანილ სიდიდეებს.

ამრიგად, იორის პოლიგონის ფუნქციონირების შემთხვევაში 16.8 გ AgI-ის შემცველი სეტყვასაწინააღმდეგო რაკეტა „ალაზანში“ გამოყენებული რეაგენტის სარგებლობის დროს

გარემოს მნიშვნელოვანი დაჭუჭყიანება მოსალოდნელი იქნება დაახლოებით 10 ათასი წლის შემდეგ.

დასკვნები

1. წლის თბილი სეზონის ნალექთა ჯამების შედარებამ 1940-1970-იან წლებსა და 1980-იან წლებში ღრუბლებზე ზემოქმედების პერიოდში იორისა და ხრამი-ფარავნის პოლიგონებზე ვერ გამოავლინა სტატისტიკურად ნიშნავი ტრენდების არსებობა ნალექთა ჯამების ცვლილებაში. ნალექთა ბუნებრივი რეევალობის ფონზე დაკვირვების რიგების მცირე ხანგრძლივობის გათვალისწინებით ეს შედეგი მოსალოდნელი იყო, სარწმუნო ალბათობის დონეზე 0.90. სხვაობების გამოსავლენად დაკვირვებები სულ მცირე 10-15 წლის მანძილზე უნდა გაგრძელებულიყო.
2. რანდომიზებული ზემოქმედების პირობებში იორის პოლიგონზე ნებ სამუშაოთა ეფუქტურობის სტატისტიკური მოდელირებით შეფასებამ 1979-1990 წწ. მონაცემებზე დაყრდნობით აჩვენა, რომ ცალკეული კონვექციური უჯრედებიდან ზემოქმედების შედეგად ნალექთა 10-30%-ით გაზრდის შემთხვევაში ტერიტორიაზე გასაშუალოებული ჯგუფური ეფექტი არ ვლინდება, ხოლო ცალკეული უჯრედებიდან ნალექთა 40-60%-ით გაზრდისას ალინიშნება ნალექთა საშუალო ტერიტორიული რაოდენობის მომატება 25-35%-ით.
3. იორის პოლიგონის პირობებში ზემოქმედების ეფექტის აღმოსაჩენად ყველაზე ხელსა-ურელი აღმოჩნდა ექსპერიმენტულ ერთეულად კონვექციური უჯრედის შერჩევა, ხოლო რა-ნდომიზაციის ჩატარება – ამ ერთობლიობის გამოყენებით 2/3 ალბათობით ზემოქმედების სასარგებლობ. ამასთან ერთად, ზემოქმედების ეფექტის ტერიტორიული განაწილების და-სადგენად ხელსაყრელია ექსპერიმენტულ ერთეულად ტერიტორიაზე გასაშუალოებული ნალექთა ნახევარდედებური ჯამების განხილვა. ამ შემთხვევაში ნალექმზომი ქსელის ოპტიმალური სიხშირე იორის პოლიგონისთვის შეადგენს 30-40 ხელსაწყოს 1 000 მ² ფართობზე.
4. იორის პოლიგონზე 1981-1989 წლებში ჩატარებული კომპლექსური ნალექმზომი და რ/ლ დაკვირვებების ანალიზმა აჩვენა, მონაცემთა 5-წლიან ამონაკრებში, რომელიც შეიცავდა 90 საცდელ და 33 საკონტროლო კონვექციურ უჯრედს, ცალკეული უჯრედიდან ნალექთა ფარდობითი ნაზრდის საშუალო მნიშვნელობამ შეადგინა 75%, ხოლო ტერიტორიაზე გასაშუალოებული ნალექთა ფარდობითი მომატება ტოლი აღმოჩნდა 25-30%-ისა სარწმუნო ალბათობის დონეზე 0.90.
5. ხრამი ფარავნის პოლიგონის უფრო შეზღუდული ექსპერიმენტული მონაცემების საფუ-ძველზე (1981-1985 წწ.) ცალკეული კონვექციური უჯრედიდან მოსულ ნალექთა ფარდო-ბითი ნაზრდის საშუალო მნიშვნელობამ შეადგინა 40%, ხოლო ნახევარდედებური საცდელ ტერიტორიაზე გასაშუალოებული დამატებითი ნალექების ფარდობითი ნაზრდი გაუტოლდა 20%-ს სარწმუნო ალბათობის დონეზე 0.85.
6. რ/ლ გაზომებებისა და ნალექმზომი ქსელის მონაცემების კომპლექსური გამოყენებით იო-რის პოლიგონზე ნებ სამუშაოების ეფექტურობის დასადგენად დამუშავდა სტატისტიკური მოდელირების 6-საფეხურიანი სქემა, რომელშიც ექსპერიმენტულ ერთეულებად განიხილუ-ბოდა ცალკეული უჯრედიდან მოსულ ნალექთა რაოდენობა (კოლორნებში) და პოლიგო-ნის მთელ ფართობზე გასაშუალოებულ ნახევარდედებურ ნალექთა ჯამები (მილიმე-ტრებში).
7. იორის პოლიგონზე ღრუბლებზე რანდომიზებული ექსპერიმენტებში ზემოქმედების ეფექ-ტის პიდროლოგიური მეთოდით შეფასების სქემას საფუძვლად დაედო 1985 წლისთვის პი-დრომეტეროროლოგიის ინსტიტუტში შემუშავებული მდინარის ჩამონადენის ფორმირების ორიგინალური მოდელი, რომელიც ემყარება ნახევარდედებურების რანდომიზაციით მიღე-ბულ საცდელ და საკონტროლო ჯგუფებს შორის შედარებას და ნალექმზომი ქსელის მე-შვეობით გაზომილ ნალექთა ნახევარდედებური ჯამების გაკონტროლებას რ/ლ გაზო-მვებით მიღებული ნალექების მონაცემებით. ამ მეთოდის გამოყენებით დადგენილ იქნა,

- რომ იორის პოლიგონისთვის ნიშნადობის დონეზე $\alpha = 0.10$ ზემოქმედების ეფექტის აღმოსახენად საჭირო ექსპერიმენტირების პერიოდი იცვლება შუალედში 5-10 წელი, თუ ექსპერიმენტული ერთეულების რაოდენობა ერთ სეზონში შეადგენს 30-50 ერთეულს ამონაკრებთა დისპერსიის საშუალო კვადრატული გადახრით 10-20% ფარგლებში. დამატებითმა სტატისტიკურმა მოდელირებამ აჩვენა, რომ წყალშემკრებზე ნახევარდღედამური ნალექების 80-100%-ით გაზრდას თან სდევს ნახევარდღედამური ჩამონადენის მოცულობის მომატება 20-50%-ით. ხრამი-ფარავნის პოლიგონზე ზემოქმედების ეფექტურობა პიდროლოგიური მეთოდით არ შეფასებულა.
8. ნებ სამუშაოთა ეკონომიკური ეფექტურობა შეფასდა იორის პოლიგონის მაგალითზე 1989 წელს, როდესაც სიონის წყალსაცავში დაგროვილმა წყლის რესურსებმა განადგურებისაგან იხსნა გარდაბნისა და საგარეჯოს რაიონების 20-ათასი ჰა სასოფლო-სამურნეო სავარგულები. რწყვის ეკონომიკურმა ეფექტურობამ ამ ორ ტერიტორიაზე შეადგინა 28.1 მლნ მანეთი. ამავე დროს ზემო სამგორის სისტემის ენერგეტიკულ კასკადში შემავალმა 4 პიდროგლექტროსადგურმა 1989 წელს ფაქტობრივად გამოიმუშავა 1.03 მლნ მანეთად დირებული 51.6 მლნ კვტ.სთ ელექტროენერგია, რის შედეგადაც ამ წელს სიონის წყალსაცავიდან გამომუშავებული წყლის რესურსების საერთო ეკონომიკურმა ეფექტურობამ 29 მლნ მანეთს გადააჭარბა. ამავე დროს, პოლიგონზე ჩატარებული გამოკვლევების თანახმად, ზემოქმედება იწვევს თითოეული კონვექციური უჯრედიდან ნალექთა საერთო რაოდენობის გაზრდას საშუალოდ 85%-ით, რასაც შეესაბამება წყლის ნამატი დაახლოებით 300 ათასი კუბური მეტრი. 1989 წელს ჩატარებული ზემოქმედების შედეგად მიღებული დამატებითი წყლის ეკონომიკურ ეფექტურობას შეესაბამება 1 მლნ მანეთი, რაც პოლიგონის ფუნქციონირებაზე დახარჯული 200 ათასი მანეთის მხედველობაში მიღებით იძლევა ნებ სამუშაოთა რენტაბელობას 1:5. რანდომიზაციის გარეშე საწარმოო მასშტაბით ზემოქმედების ჩატარებისას პოლიგონზე სეზონის განმავლობაში 100-ზე მეტი დრუბლის დამუშავების შემთხვევაში სამუშაოთა რენტაბელობას შეეძლო მიეღწია 1:10 მაჩვენებლისთვის. ხრამი-ფარავნის პოლიგონში შემავალი ბოგდანოვებისა და წალკის რაიონებისთვის ეკონომიკის სტრუქტურის იორის პოლიგონთან გარკვეული მსგავსების გამო, რენტაბელობის მაჩვენებელი ამ პოლიგონისთვისაც იგივე რიგის სიდიდედ იქნა ჩათვლილი.
9. იორისა და ხრამი-ფარავნის პოლიგონებზე და მათ მიმდებარე ტერიტორიებზე ჩატარებულმა გაზომვებმა აჩვენა, რომ პაერში ვერცხლის იოდიდისა და მისი კომპონენტების მაქსიმალური კონცენტრაცია ერთჯერადი ზემოქმედების არეში 5 რიგით ნაკლებია ნორმატიული დოკუმენტებით დაშვებულ სიდიდეზე. ნიადაგის 10 სმ-იან ფენაში ზემოქმედების წლებში ჩატარებული გაზომვების თანახმად AgI და მისი კომპონენტების ფონური კონცენტრაციები აღმოსავლეთ საქართველოში იცვლებოდა 0.20-0.36 მკგ/გ ფარგლებში, რაც 4 რიგით აღემატება ამ ფენაში წლის განმავლობაში დაგროვილ კონცენტრაციებს და ამრიგად, გამოყენებული ტექნოლოგიის პირობებში გარემოს მნიშვნელოვანი დაჭუჭყიანება ზემოქმედების შედეგად მოსალოდნელი იქნება 10 ათასი წლის შემდეგ.

თავი 6. პროექტის შემაჯამებელი მონაცემები

6.1. ნხგ ექსპერიმენტულ სამუშაოთა შედეგები

1978 წლიდან აღმოსავლეთ საქართველოში ნხგ სამუშაოთა პროგრამის დამტკიცების შემდეგ (პროექტი „იორი“), პროექტის მონაწილეებმა დაიწყეს სხვადასხვა რესპუბლიკურ თუ საკავშირო შეხვედრებზე პრეზენტაციების ჩატარება პროექტის მიზნებისა და სამუშაოთა დაგეგმარების საკითხების შესახებ. სეტყვასთან ბრძოლის სამუშაოებთან ერთად, რომლებიც 1960-იანი წლების დასაწყისიდან მიმდინარეობდა საქართველოში, ნალექთა ხელოვნური გამოწვევა, თანაც რანდომიზებული პროგრამით, ქვეყნისთვის ახალი მიმართულება იყო და ამიტომაც მას თავიდანგვე დიდი ინტერესით შეხვდა სამეცნიერო საზოგადოება. 1980-იანი წლების დასაწყისიდან, საველე სამუშაოებში ექსპერიმენტული მასალის დაგროვების კვალობაზე, სამეცნიერო ლიტერატურაში დაიწყო პუბლიკაციების გამოქვეყნება პროექტ „იორში“ მიღებული შედეგების შესახებ, რამაც 80-იანი წლების დასასრულისთვის, საკავშირო პიდრომეტსამსახურში „აქტიური ზემოქმედების“ პრობლემების დიდი ინტერესის ფონზე ხელი შეუწყო ინსტიტუტის აგზორიტების შემდგომ ამაღლებას. აღნიშნულ პერიოდში პროექტის შემსრულებლებმა მონაწილეობა მიიღეს სხვადასხვა ქვეყნებში ჩატარებულ სამეცნიერო კონფერენციებსა და სემინარებში (თბილისი, მოსკოვი, ნალჩიკი, პონოლეულუ, კიევი, პეტერბურგი) და გამოაქვეყნეს 20-ზე მეტი სამეცნიერო სტატია, რომელთა დასახელება მოყვანილია წინამდებარე მონოგრაფიის თავების მიხედვით ციტირებულ ლიტერატურაში. რაც შეეხება კონფერენციებსა და სამეცნიერო სესიებზე წაკითხულ მოხსენებებს, მათი ჩამონათვალი მოცემულია დანართში 4.

1991 წლიდან პროექტის საქმიანობის გაუთვალისწინებელი შეწყვეტის შემდეგ, მისი შედეგების ანალიზის ამსახველი მასალების გამოქვეყნება კიდევ გრძელდებოდა რამდენიმე წლის განმავლობაში. იგი შეჯამებული იქნა პროექტის შემსრულებლების მიერ 1995 წელს საქართველოს მეცნიერებათა აკადემიაში ჩატარებულ თბილისის გეოფიზიკურ ობსერვატორიის საიუბილეო სესიაზე წაკითხული მოხსენებებით, რომლის ტექსტი გამოქვეყნდა 1996 წელს გამოცემულ სამეცნიერო შრომების თემატურ კრებულში [1]. თუმცა, შეიძლება ითქვას, რომ 2000 -იანი წლების დასაწყისში, აღნიშნული პრობლემისადმი ინტერესის განახლების შემდეგ, დაიწყო ნხგ სამუშაოთა აღდგენის საკითხის განხილვა [2,3]. ამას, უდავოდ, ხელი შეუწყო 2013 წლიდან საქართველოს ახალი ხელისუფლების ინიციატივით კახეთის რეგიონში სეტყვასთან ბრძოლის სამუშაოთა განახლების გადაწყვეტილებამ.

იმის გათვალისწინებით, რომ წინამდებარე მონოგრაფია ძირითად მიზნად ისახავს 1979-1990 წლებში პიდრომეტეოროლოგიის ინსტიტუტის მიერ წარმოებული ნხგ სამუშაოების რეტროსპექტულ ანალიზს, ქვემოთ მოყვანილი იქნება პროექტ „იორის“ 1995 წლისთვის ინსტიტუტში მიღებული შემაჯამებელი მონაცემები, რომლებიც ნხგ სამუშაოთა განახლების პირობებში, ეჭვგარეშეა, გამოდგება როგორც ამ საქმიანობის საწყისი ეტაპის ამსახველი მასალა.

ცხრილში მოყვანილი მონაცემების განხილვისას უკრადღებას იმსახურებს ის ფაქტი, რომ კლიმატური პირობების სხვადასხვაობის გამო რესურსული ღრუბლების რაოდენობა პოლიგონებზე საკმაოდ განსხვავებულია: ძირითად ექსპერიმენტულ ერთეულთა რიცხვი ზემოქმედებით იორის პოლიგონზე თითქმის 3-ჯერ აღემატება ექსპერიმენტულ ერთეულთა რიცხვს ხრამი-ფარავნის პოლიგონზე (3.17). იგივე ითქმის რ/ლ გაზომვებით მიღებულ ცალკეული კონვექციურ უჯრედიდან მიღებული დამატებითი ნალექების რაოდენობაზეც, რომელიც იორის პოლიგონზე საშუალოდ 1.7-ჯერ მეტი აღმოჩნდა ხრამი-ფარავნის პოლიგონთან შედარებით (3.22). შესაბამისად, სეზონური ნალექების საშუალო მომატებამ პირველ პოლიგონზე 1.9-ჯერ გადააჭარბა მეორე პოლიგონზე მიღებულ შესაბამის მნიშვნელობებს (3.25). ეს მონაცემები მოწმობს მდიორის აუზის ზემოწელში ნხგ სამუშაოთა წარმოების უფრო მაღალ ეფექტურობაზე, რაც აშკარად გამოვლინდა 1 ტ დამატებითი წყლის ფასში ამ ორ პოლიგონს შორის (3.29).

**ცხრილი 6.1. აღმოსავლეთ საქართველოში ნალექთა ხელოვნური გაზრდის
ექსპერიმენტულ სამუშაოთა შედეგები [1]**

№	მახასიათებელი	პოლიგონი	
		იორი	ფარავანი
1	ექსპერიმენტთა ჩატარების პერიოდი	1979-1990	1981-1985
2	საცდელი ტერიტორიის ფართობი კმ^2	1000	2000
3	საკონტროლო ტერიტორიის ფართობი კმ^2	4000	2000
4	სამუშაო სეზონი (თვეები)	IV-X	V-IX
5	საცდელ ტერიტორიაზე ნალექთა საშუალო წლიური ჯამები, მმ	800-1200	500-600
6	წლის განმავლობაში ნალექიან დღეთა საშუალო რიცხვი	150	100
7	სამუშაო სეზონის განმავლობაში საცდელ ტერიტორიაზე ნალექთა საშუალო ჯამები, მმ	500-800	250-400
8	სამუშაო სეზონში დღეთა საშუალო რიცხვი რესურსული ღრუბლებით	50-80	40-60
9	ზემოქმედების ობიექტი	კონკენტრი უჯრედები, მახასიათებელი $R=2-5$ კმ, გადაცივებული ნაწილის კერტიკალური სიმძლავრით $H>2$ კმ და რ/ლ ამრეკლადობით $>10^{-11}$ სტ ⁻¹ $\lambda=3.2$ სმ ტალღაზე	
10	სამუშაო დღეებში საცდელ ტერიტორიაზე 24 სთ განმავლობაში კონკენტრიური უჯრედების საშუალო რაოდენობა	10-15	5-10
11	ზემოქმედების პუნქტების რაოდენობა	4	6
12	ღრუბლებში რეაგენტის შეტანის საშუალება	სეტევასაწინააღმ- მდეგო რაკეტები „ალაზანი“	სეტევასაწინააღმდეგო ჭურვები „ელბრუსი“
13	მაკრისტალებელი რეაგენტის ოპტიმალური დოზები გ ³		10^2-10^4
14	ძირითადი ექსპერიმენტული ერთეულები	12 საათში მოსული ნალექი	
15	დამატებითი ექსპერიმენტული ერთეული	სეზონური ნალექები და მდინარეთა ჩამონადენი, ცალკეული კონკენტრი უჯრედიდან მოსული წვიმის რაოდენობა	სეზონური ნალექები, ცალკეული კონკენტრი უჯრედიდან მოსული წვიმის რაოდენობა
16	რანდომიზაციის ალბათობა	2/3 ზემოქმედების სასარგებლოდ	
17	ძირითად ექსპერიმენტულ ერთეულთა რიცხვი ზემოქმედებით	165	61
18	ძირითად ექსპერიმენტულ ერთეულთა რიცხვი ზემოქმედების გარეშე	80	28
19	სეზონში დამუშავებული უჯრედების საშუალო რიცხვი	50-60	30-40
20	სეზონში საკონტროლო უჯრედების საშუალო რიცხვი	20-30	10-20
21	1 უჯრედზე დახარჯული ნაწარმის საშუალო რიცხვი	2-3 რაკეტა „ალაზანი“	8-10 ჭურვი „ელბრუსი“
22	1 უჯრედიდან მოსული დამატებითი ნალექების საშუალო რაოდენობა კტ (%)	200-300 (50-100)	100-200 (30-50)
23	ნახევარ დღედამეში საცდელ ტერიტორიაზე მოსული დამატებითი ნალექების საშუალო რაოდენობა მმ (%)	0.7(30)	0.5(20)
24	საცდელ აუზში ნახევარ დღეში მოსული ნალექე- ბის შესაბამისი ჩამონადენის მომატება კტ (%)	200(30)	—
25	სეზონური (წლიური) ნალექების საშუალო მომატება მმ (%)	60-90 (10-15)	40 (5-10)

ცხრილი 6.1-ის გაგრძელება

26	ზემოქმედების ეფექტის შეფასებათა სანდო ალბათობა	0.90	0.85
27	წყლის პოტენციური დამატებითი რესურსების სიღიძე, მლნ.ტ	30-70	30-50
28	ნხვ სამუშაოთა ჩასატარებლად წლიური დანახარჯები, ათასი მან.	300	200
29	1 ტ ხელოვნურად მიღებული დამატებითი წყლის ფასი კაპ.	2-3	3-4
30	ნხვ სამუშაოთა პოტენციური რენტაბელობა	1:5	1:10

რაც შეეხება მდ.იორის ხრამისა და ფარავნის ტბის აუზებში დამატებით მიღებული წყლის რესურსების მოცულობას წლის თბილ პერიოდში, იგი ჯამში შეიძლება შეფასდეს 60-120 მლნ მ³ ტოლად (პ. 27). რანდომიზაციიდან ოპერატიულ ზემოქმედებაზე გადასვლის შემთხვევაში, როდესაც ოპერაციები ჩატარდება ყველა რესურსულ ღრუბლებზე, შესაძლებელი იქნება იორის პოლიგონზე წყლის რესურსების ყოველწლიური გაზრდა 15-30%-ით, ფარავნის ტბისა და წალკის წყალსაცავის აუზებში კი 10-20%-ით (პ.25-ის გათვალისწინებით).

წარმოდგენილი მონაცემებიდან ერთ-ერთი ყველაზე საყურადღებო მომენტი დაკავშირებულია პ.22-ში მიღებულ შედეგთან, რომლის თანახმად იორის პოლიგონზე სულ რამდენიმე რაკეტით ჩატარებული ზემოქმედების შედეგად საშუალო ზომის კონვექციური უჯრუბიდან შესაძლებელია ღრუბელში ნალექწარმომქნელი პროცესების არსებითი სტიმულირება, რასაც თან სდევს ღრუბელში გენერირებული ნალექების ხელოვნურად გაზრდა საშუალოდ 75%-ით. უფრო მშრალ კლიმატურ პირობებში და ზემოქმედების საარტილერიო მეთოდის გამოყენებისას, სამხრეთ საქართველოს ეს სიდიდე საშუალოდ 40% აღმოჩნდა.

ნაშრომში [1] აღნიშნულია, რომ ცხრილში 6.1 მოყვანილი ნხვ სამუშაოთა ეკონომიკური შეფასებები და რენტაბელობის მაჩვენებლები (პ.28-30) მიღებულია 1980-იან წლებში მოქმედი სიციალისტური ეკონომიკის პირობებისათვის და საბაზრო ურთიერთობების შემთხვევაში ამ შეფასებათა შედეგები შეიძლება გარკვეულად შეიცვალოს. თუმცა, ამავე დროს მხედველობაშია მისადები, რომ ნხვ სამუშაოთა განსახორციელებლად და დამატებითი წყლის რესურსების გამოყენებით მიღებული პროდუქციის ღირებულებებს შორის არსებობს სათანადო პროპორციული დამოკიდებულება. ამიტომ ჩატარებული შეფასებები, თუნდაც მიახლოებით, მაინც ახასიათებს მითითებული სამუშაოების პოტენციურ რენტაბელობას.

აქვე აღსანიშნავია აგრეთვე, რომ 80-იანი წლების დასასრულს აღმოსავლეთ საქართველოს რიგ რაიონებში ნხვ დარგში მიღებული შედეგები დაინერგა სეტყვასთან ბრძოლის გასამხედროებული სამსახურის ოპერაციული ქადანაყოფების საწარმოო პრაქტიკაში საერთო ფართობზე 5000 კმ². ზემოქმედების ეფექტურობა ფასდებოდა ზემოქმედებაქმნილი და სხვადასხვა მიზეზით ზემოქმედების გარეშე დარჩენილი მსგავსი პარამეტრების მქონე ღრუბლებიდან მოსულ ნალექთა რაოდენობის რ/ლ გაზომვების მონაცემების საფუძველზე.

ამ შედარების შედეგების 50-ზე მეტი შემთხვევის მასალების განხილვამ აჩვენა, რომ ცალკეული კონვექციური უჯრედიდან ზემოქმედების შედეგად მიღებულ ნალექთა რაოდენობა შესაძლებელია გაიზარდოს 80-100%-ით, რაც შეესაბამება მსოფლიოს სხვადასხვა რეგიონში მიღებულ შედეგებს [4].

გარდა ამისა, 1987-1990 წლებში აღმოსავლეთ საქართველოს სხვადასხვა რაიონში პიდრომეტეოროლოგიის ინსტიტუტზე მიმაგრებული მფრინავი ლაბორატორიის ЯК-40 გამოყენებით ჩატარდა გარდამავალი სეზონების საღრუბლო სისტემებზე ზემოქმედების 19 ექსპერიმენტი [5]. ღრუბლებში თვითმფრინავის ბორტიდან რეაგნტის (AgI) შეტანა წარმოებდა პირობების გაზნების ПВ-26 დამარტინით. ზემოქმედება ტარდებოდა Sc, Ga conga ტიპის გადამეტცივებული ღრუბლებზე, რომელთა ვერტიკალური სიმძლავრე აჭარბებდა 1.5 კგ-ს და საშუალო წყლიანობა – 1გ/მ³-ს.

ნალექმზომი ქსელის მონაცემებისა და ნალექწარმოქმნის გამარტივებული მოდელით შესრულებული გამოთვლების თანახმად 15 ექსპერიმენტში დაფიქსირებულ იქნა დადებითი შედეგი, ერთში უარყოფითი და საშში – გაურკვევები. ზემოქმედების ეფექტურობის ჩატარებულმა შეფასებებმა აჩვენა თითოეული ზემოქმედებაქმნილი ზონიდან ან საღრუბლო სისტემიდან ნალექთა 75%-ით მომატების შესაძლებლობა საკონტროლო ზონებთან შედარებით, რასაც აბსოლუტურ ერთეულებში შეესაბამებოდა დაახლოებით 450 კტ. დამუშავებული ზონების საშუალო ფართობი შეადგენდა 116 კმ^2 , ხოლო თითოეულ მათგანზე ვაზნების ხარჯი უდრიდა საშუალოდ 45-ს. ცხრილში 6.1. მოყვანილი მონაცემები ადასტურებს ჰიდრომეტრისტიტუტის პოლიგონებზე გამოყენებული მეთოდიკის პერსპექტიულობას და ნალექთა სტიმულირების მაღალ ეკონომიკურ რენტაბელობას, რაც აგრეთვე ხაზგასმული იყო უფრო ადრე გამოქვეყნებულ ნაშრომში [5].

6.2. საცდელ დრუბელთა რეაგირება ზემოქმედებაზე საკონტროლო დრუბლებთან შედარებით

ზემოთ აღნიშნულ შემაჯამებელ სტატიაში [5], რომელშიც განხილულ იქნა ამიერკავკასიაში 1980-იან წლებში წარმოებულ ნებ სამუშაოთა ფიზიკური და ეკონომიკური ეფექტურობა, უმეტესი ადგილი დაეთმო იორის პოლიგონზე კონვექციურ უკრედებზე ჩატარებული რანდომიზებული ზემოქმედების შედეგებს. გაანალიზებული იქნა 1985-1990 წლებით 90 საცდელი და 41 საკონტროლო უჯრედის ფიზიკურ პარამეტრებზე განხორციელებული კომპლექსური რ/ლ და ნალექმზომი დაკვირვებების მონაცემები, რომელთა გასაშუალოებული მნიშვნელობები წარმოდგენილია ცხრილში 6.2.

ცხრილი 6.2. იორის პოლიგონზე კონვექციურ უჯრედებზე რანდომიზებული ზემოქმედების შედეგად ნალექთა რაოდენობის ცვლილების გასაშუალოებული მონაცემები

წლები	უჯრედების რაოდენობა	საცდელ უჯრედებიდან მოსულ ნალექთა საშ. რაოდენობა, კტ					საკონტრ. უჯრედებიდან მოსულ ნალექთა საშ. რაოდენობა, კტ					შეფარდება M+/M-	$\frac{\sum M^-}{\sum M^+}$	
		O	K	$\bar{M}-$	$\bar{M}+$	$\sum M_-$	$\sum M_+$	$\bar{M}-$	$\bar{M}+$	$\sum M_-$	$\sum M_+$	O	K	
1985	18	4	94	105	372	391	179	191	468	691	1.12	1.07	0.57	
1986	19	7	68	145	275	613	73	78	363	295	2.13	1.07	2.08	
1987	17	4	296	305	888	1148	261	113	361	377	1.03	0.43	3.05	
1988	20	5	98	186	267	716	427	82	336	317	1.90	0.65	2.26	
1989	16	13	268	284	659	754	307	151	620	376	1.06	0.49	2.00	
1990	-	8	-	-	-	-	99	44	394	177	-	0.44	-	
სულ	90	41											2.00	
საშ.	-	-	165	492	492	724	174	110	447	372	1.45	0.69	2.00	

*შენიშვნა: ამ წელს „ფსევდოზემოქმედება“ ტარდებოდა მხოლოდ საკონტროლო უჯრედებზე, რადგანაც სხვადასხვა საზოგადოებრივი ორგანიზაციის მოთხოვნით საქართველოს მთავრობამ 1990-1992 წლებში მორატორიუმი დააწესა დრუბლებზე ზემოქმედების ყველა სამუშაოს.

ამ ცხრილში ინდექსები O და K შესაბამისად აღნიშნავს საცდელი და საკონტროლო უჯრედების ჯგუფებს, ხოლო ინდექსები (-) და (+) ზემოქმედებამდე და ზემოქმედების შემდეგ მოსულ ნალექთა ჯგუფებისადმი მიკუთვნებას. \bar{M} აღნიშნავს ცალკეულ უჯრედიდან 10- წლითან ინტერვალში მოსულ ნალექთა გასაშუალოებულ რაოდენობას კილოტონებში (კტ) ზემოქმედებამდე და მის შემდეგ, ΣM -მათ ჯამურ რაოდენობას. მოსულ ნალექთა რაოდენობა განისაზღვრებოდა Z-I თანაფარდობის გამოყენებით ნაშრომში [6] მოყვანილ მეთოდიკის თანახმად, 1979-1990 წლებით საცდელი და საკონტროლო დრუბლების რაოდენობა მნიშვნელოვნად აღემატება ცხრილში განხილული უჯრედების რიცხვს, მაგრამ გექნიერი მიზეზების გამო დრუბლებიდან მოსულ ნალექებზე რადიოლოკაციურ მონაცემთა

დამუშავება მოხერხდა მხოლოდ მათი ნაწილისთვის. ცხრილში 6.2. შევიდა მხოლოდ ხარვეზებისაგან თავისუფალი მასალა, რომელიც სრულად ასახავს კავშირს განხილულ სიდიდეებს შორის.

ცხრილში მოყვანილი მონაცემებიდან ჩანს, რომ საცდელი უჯრედებიდან ზემოქმედების შემდეგ მოსულ ნალექთა ჯამების საშუალო მნიშვნელობა ($\Sigma M_+ = 724$ კტ) თითქმის 350 კილოტონით, ანუ 94%-ით აღემატება საკონტროლო დრუბლებისათვის მიღებულ შესაბამის მნიშვნელობას (372 კტ). აქვე უნდა აღინიშნოს, საკონტროლოდ გამოყენებული 1990 წელი აღმოსავლეთ საქართველოში გამოიწეოდა კონვექციური პროცესების ანომალურად სუსტი განვითარებით, რამაც გამოიწვია მონაცემების O და K ჯგუფებს შორის აღნიშნული მკეთრი სხვაობა. 1985-1988 წლებისთვის ჩატარებულმა დამატებითმა ანალიზმა აჩვენა, რომ ამ პერიოდს შევსაბამება O და K ჯგუფების საშუალოებს შორის სხვაობა 311 კტ, რაც ფარდობით ერთეულებში 94%-ის ნაცვლად იძლევა 84%-ს.

10-წელიანი ინტერვალში მოსულ ნალექთა საშუალო რაოდენობა ზემოქმედების ჩატარების შემდეგ და ზემოქმედებამდე, რომელიც ხასიათდება სიდიდით $\bar{M} + \bar{M}$ -, საცდელი დრუბლების ჯგუფისათვის საშუალოდ ტოლი აღმოჩნდა 1.45, მაშინ, როცა საკონტროლო დრუბლებისათვის ამ შეფარდებამ შეადგინა 0.69. მიღებული მონაცემები მეტყველებს იმაზე, რომ საცდელ „O“ ჯგუფში ნალექთა არსებითი ნაწილი (60%-ზე მეტი) მოდის ზემოქმედების ჩატარების შემდეგ, ხოლო საკონტროლო „K“ ჯგუფში „ფსევდოზემოქმედების“ შემდეგ მოდის მათი საერთო რაოდენობის მხოლოდ 40%. ეს შედეგი შეიძლება აიხსნას ზემოქმედების გავლენით დრუბელში მიმდინარე ნალექწარმომქმნელ პროცესებზე, თუმცა შესაძლებელია მასზე იმოქმედოს ფსევდოზემოქმედების მომენტის დაგვიანებულმა დადგენამაც.

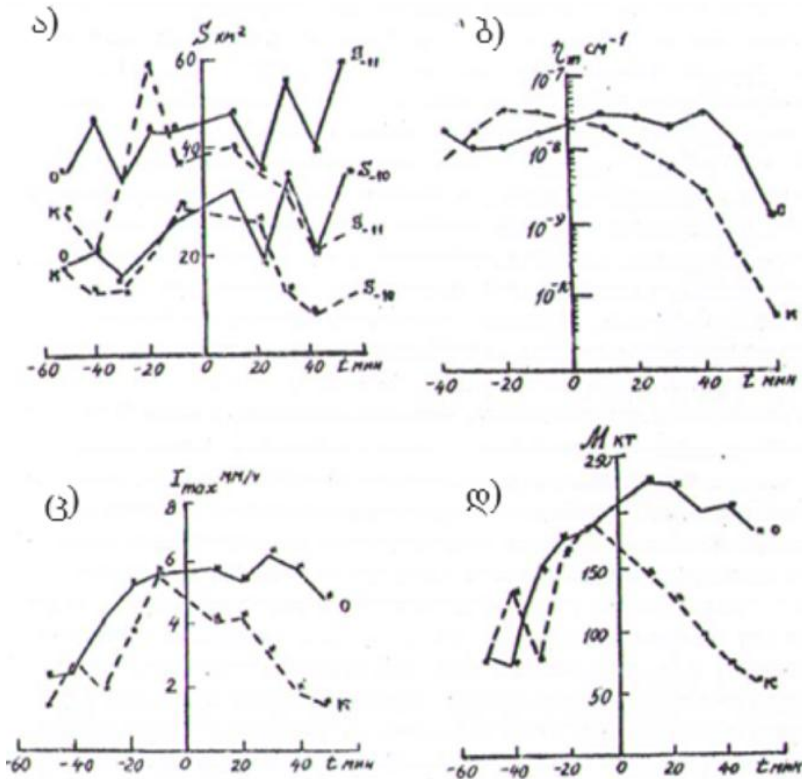
რაც შეეხება ზემოქმედების პროცედურის შემდეგ მოსულ ნალექთა რაოდენობას საცდელ და საკონტროლო ჯგუფებში, მათი შეფარდება (მოცემული ცხრილი 6.2-ის ბოლო გრაფაში) საშუალოდ ხუთივე განხილული წლისთვის 2.0-ის ტოლი აღმოჩნდა, რაც მიუთითებს ზემოქმედების შედეგად კონვექციური დრუბლიდან ნალექთა გაორმაგების შესაძლებლობაზე. ეს შედეგი ფაქტობრივად იმეორებს ΣM_+ სიდიდეებისთვის O და K ჯგუფებში ზემოთ უკვე დადგენილ თანაფარდობას.

იორის პოლიგონზე ჩატარებული ზემოქმედების ყველა წლებში გახსარჯული ნაწარმის ანალიზმა აჩვენა, რომ რაკეტების საშუალო ხარჯი 1 კონვექციური უჯრედის დამუშავებაზე შეადგენდა 2.2-ს, რაც უზრუნველყოფდა დრუბელში ყინულწარმომქმნელი გულების 10^2-10^3 ჭ-⁻¹ რიგის საშუალო კონცენტრაციას, რომელიც საჭიროა „მიკროფიზიკური“ ზემოქმედების სქემის განსახორციელებლად.

დრუბელთა ფიზიკური მახასიათებლების ზემოქმედებაზე რეაგირების დასადგენად გაანალიზებული იქნა შერჩეულ საცდელ და საკონტროლო ჯგუფებში ზემოქმედების ჩატარებამდე და მის შემდეგ რ/ლ დაკვირვების მასალები რადიოჰოსა და გაზრდილი ამრეკლადობის ზონის (გაზე) ზედა საზღვარზე, მაქსიმალური რ/ლ ამრეკლადობის η_m მდგბარეობისა და სხვადასხვა იზოკონტურების სიმაღლეებზე, რომლებისთვისაც წარმოებდა მოსულ ნალექთა ინტენსივობისა და მასის გამოთვლები. ანალიზმა ცხადყო, რომ რადიოჰოს ზედა საზღვრისა და გაზ-ის სიმაღლეები, აგრეთვე ამრეკლადობის $\eta=10^{-11}$ და 10^{-10} სმ⁻¹ (ტალღის სიგრძეზე $\lambda=3.2$ სმ) იზოკონტურების ფართობები ზემოქმედების დონეზე და მის ქვემოთ პრაქტიკულად არ რეაგირებს ზემოქმედებაზე, მაშინ როცა იზოკონტურების ფართობები ზემოქმედების დონიდან 1.5-2 კმ-ით მაღლა, მაქსიმალური ამრეკლადობა, მოსულ ნალექთა ინტენსივობა და მასის გამოთვლილი მნიშვნელობები არსებითად განსხვავდებიან ერთმანეთისაგან „O“ და „K“ ჯგუფებში ზემოქმედების შემდეგ (ნახ. 6.1).

ნახ. 6.1-ზე წარმოდგენილ გრაფიკებზე ნათლად ჩანს, რომ საცდელ უჯრედებში $\eta_m=10^{-10}$ და $\eta_m=10^{-11}$ სმ⁻¹ იზოკონტურების ფართობები ზემოქმედების ჩატარების შემდეგ განიცდიან ფლუქტუაციას და გარკვეულწილად იზრდებიან კიდევაც 30-50 კმ² მნიშვნელობამდე, მაშინ

როდესაც საკონტროლო უჯრედებში იზოკონტურების ფართობები თანაბრად მცირდება 20-10 კმ მნიშვნელობამდე.



ნახ. 6.1. საცდელ და საკონტროლო კონვექციური უჯრედების რ/ლ პარამეტრებისა და მათი წარმოებული სიდიდეების დროში ცვლილება: а) $\eta = 10^{-10}$ და 10^{-11} m^{-1} იზოკონტურების ფართობები რეაგენტის შეტანის დონიდან 1.5-2-კმ-ით ზემოთ; б) მაქსიმალური რ/ლ ამრეკლადობის სიდიდე; გ) მოსული ნალექების მაქსიმალური ინტენსივობა; დ) მოსულ ნალექთა მასა. —საცდელი ——საკონტროლო უჯრედები [5].

დაახლოებით იგივე მსვლელობა აქვს მაქსიმალურ ამრეკლადობასაც η_m , რომელიც საცდელ დრუბელში მაღალ მნიშვნელობას ინარჩუნებს ზემოქმედებიდან 40 წთ-ის შემდეგ, თუმცა საკონტროლო დრუბლებში აღინიშნება მისი მკვეთრი და სტაბილური შემცირება ფსევდოზემოქმედებიდან პირველივე 10 წთ-ის შემდეგ. ნახაზებიდან ჩანს აგრეთვე, რომ ნალექთა მაქსიმალურ ინტენსივობაში I_{\max} ზემოქმედების ჩატარებამდე შეინიშნება მცირე განსხვავდება „O“ და „K“ ჯგუფებს შორის, მაგრამ თუ ზემოქმედების შემდეგ საცდელ ჯგუფში იგი მდგრადად ინარჩუნებს მნიშვნელობას 6 მმ/სთ დონეზე 30-40 წთ-ის განმავლობაში, საკონტროლო ჯგუფში იგი სწრაფად ეცემა დროის იმავე მონაკვეთში 5-დან 2 მმ/სთ-მდე. მსგავსად ამისა, თუ დროის 10^{-3} უთიან მონაკვეთებში ზემოქმედების ჩატარებამდე მეტნაკლებად სტაბილურად ინარჩუნებს მნიშვნელობას 180 კტ დონეზე, ზემოქმედების შემდეგ საცდელ დრუბლებში დაიკვირვება ნალექწარმომქმნელი პროცესების გაძლიერება და 10^{-3} უთიან ინტერვალში მათი გამოთვლილი მასა 40 წთ განმავლობაში რჩება 200-220 კტ დონეზე, მაშინ როცა საკონტროლო ჯგუფში იგი სტაბილურად მცირდება 170-დან 50 კტ მნიშვნელობამდე. ადსანიშნავია, რომ ორივე ჯგუფში მონაცემები რეაგენტის შეტანამდე პრაქტიკულად მცირდება განსხვავდება ერთმანეთისაგან, რაც მიუთითებს მიკროფიზიკურ ზემოქმედების ეფექტურობაზე ნალექწარმომქმნელი პროცესების გაძლიერებაში. ამასთან ერთად ეს მსგავსება ადასტურებს საცდელ და საკონტროლო ჯგუფებში კონვექციური უჯრედების კორექტულ შერჩევას.

მსგავსი მონაცემები მიღებული იქნა ხრამი-ფარავნის პოლიგონზედაც, მაგრამ ჩატარებული ექსპერიმენტების არასაკმარისი რაოდენობის გამო ეს მონაცემები სტატისტიკულად ნაკლებად უზრუნველყოფილია აღმოჩნდა.

დასკვნები

1. ცხრილში 6.1 მოყვანილია პიდრომეტეოროლოგიის ინსტიტუტის იორისა და ხრამი—ფარავნის პოლიგონებზე 1979-1990 წლებში ჩატარებულ ნალექთა ხელოვნური გაზრდის ექსპერიმენტულ სამუშაოთა შედეგები. კლიმატურ მონაცემთა განხილვის შემდეგ დახასიათებულია კონვექციური უჯრედების ფიზიკური მახასიათებლები, რომლებზედაც ტარდებოდა ზემოქმედება და რომლებიც რანდომიზებული წესით შეირჩეოდა საკონტროლო ობიექტებად. დახასიათებულია აგრეთვე დამატებითი ექსპერიმენტული ერთეულები, რომელთა გამოყენებითაც ტარდებოდა ზემოქმედების ეფექტურობის დამატებითი კონტროლი.
2. დადგენილია, რომ იორის პოლიგონზე 1 კონვექციური უჯრედიდან მოსული დამატებითი ნალექის საშუალო რაოდენობა იცვლება 200-300 კილოტონის (კტ) ფარგლებში, ხოლო ხრამი-ფარავნის პოლიგონზე 100-200 კტ საზღვრებში, რაც ექვივალენტურია ბუნებრივი ნალექების ხელოვნური ნაზრდისა ფარდობით ერთეულებში შესაბამისად 50-100 და 50-30% საზღვრებში.
3. სეზონური ნალექების საშუალო მომატება შეფასებულია იორის პოლიგონზე 60-90 მმ (10-15%), ხოლო ხრამი-ფარავნის პოლიგონზე 40 მმ (5-10%) ფარგლებში.
4. თითოეული კონვექციური უჯრედიდან სასურველი შედეგის მისაღწევად იორის პოლიგონზე საჭიროა 2-3 სეტყვასაწინააღმდეგო რაკეტის გამოყენება, ხოლო ხრამი ფარავნის პოლიგონზე 8-10 საზენიტო ჭურვისა, რაც 1 რიგით ნაკლებია რეაგენტის ხარჯზე საშუალო ინტენსივობის პროცესების დროს სეტყვასთან ბრძოლის შემთხვევაში.
5. ორივე პოლიგონზე წყლის პოტენციური დამატებითი რესურსების სიდიდე ჯამში შეფასდა 60-120 მლნ ტონად, ამავე დროს ნებ სამუშაოთა პოტენციური რენტაბელობა აღმოჩნდა 1:5-დან 1:10-დან ფარგლებში ცვლადი სიდიდე.
6. საცდელი ღრუბლების ზემოქმედებაზე რეაგირების დასადგენად გაანალიზდა იორის პოლიგონზე 1985-1990 წლის პერიოდში 90 საცდელი და 41 საკონტროლო კონვექციური უჯრედის ფიზიკურ პარამეტრებზე განხორციელებული კომპლექსური რ/ლ და ნალექმზომი ქსელის დაკვირვების მონაცემები, რომელთა საფუძველზე მიღებული იქნა, რომ საცდელ უჯრედებიდან ზემოქმედების შემდეგ მოსულ ნალექთა ჯამების საშუალო მნიშვნელობა 2-ჯერ აღემატება საკონტროლო ღრუბლებისათვის მიღებულ შესაბამის მნიშვნელობას.
7. ღრუბლელთა საცდელ ჯგუფში ნალექთა 60%-ზე მეტი მოდის ზემოქმედების ჩატარების შემდეგ, ხოლო საკონტროლო ჯგუფში „ფსევდოზემოქმედების“ შემდეგ მოდის მათი საერთო რაოდენობის 40%-ზე ნაკლები.
8. საცდელ უჯრედებში $\eta=10^{-10}$ და 10^{-11} სმ⁻¹ იზოკონტურების ფართობები ზემოქმედების ჩატარების შემდეგ განიცდიან ფლუქტუაციას 30-50 კტ² მნიშვნელობის დონეზე ზემოქმედებიდან 40-50 წთ-ის განმავლობაში, მაშინ როცა საკონტროლო უჯრედებში იზოკონტურების ფართობები თანაბრად მცირდება 20-10 კტ² მნიშვნელობამდე. მსგავსი მსეულელობა ახასიათებს მაქსიმალურ ამრეკლადობასაც η_მ, რომელიც საცდელ ღრუბლებში მაღალ მნიშვნელობას ინარჩუნებს ზემოქმედებიდან 40 წთ შემდეგ, თუმცა საკონტროლო ღრუბლებში აღინიშნება მისი მდგრადი შემცირება ფსევდოზემოქმედებიდან პირველივე 10 წთ შემდეგ.
9. ნალექთა მაქსიმალური ინტენსივობა I_{max} ზემოქმედების ჩატარებამდე მცირე განსხვავდება საცდელ და საკონტროლო ჯგუფებს შორის, მაგრამ ზემოქმედების შემდეგ საცდელ ჯგუფში იგი მდგრადად ინარჩუნებს მნიშვნელობას 30-40 წთ განმავლობაში, ხოლო საკონტროლო ჯგუფში იგი სწრაფად ეცემა დროის იმავე მონაკვეთში უმნიშვნელო სიდიდემდე. მსგავსად ამისა დროის 10-წუთიან მონაკვეთებში ნალექთა გამოვლილი მასა ზემოქმედების ჩატარებამდე მეტნაკლებად სტაბილურად ინარჩუნებს თავის მნიშვნელობას, ხოლო ზემოქმედების შემდეგ საცდელ ღრუბლებში

დაიკვირვება ნალექწარმომქმნელი პროცესების გაძლიერება და 10-წუთიან ინტერვალებში მათი გამოთვლილი მასა 40 წთ-ის განმავლობაში რჩება მაქსიმალური ნიშვნელობის დონეზე, მაშინ როცა საკონტროლო ჯგუფში ის სტაბილურად მცირდება დაბალ სიდიდემდე.

თავი 7. აღმოსავლეთ საქართველოში ნალექთა ხელოვნური რეგულირების სამუშაოთა აღდგენის პრიკეტის გენერაცია

7.1. ზოგადი ცნობები

აღმოსავლეთ საქართველოს კლიმატურ თავისებურებათა გათვალისწინებით სასოფლო სამეურნეო წარმოება აღნიშნულ ტერიტორიაზე რწყვის გარეშე დიდ რისკებთანაა დაკავშირებული. გვალვიანი პერიოდი ქართლისა და კახეთის რეგიონებში შეიძლება გაგრძელდეს 60-80 დღეს [1], რაც მოსავლის განადგურების სრულ გარანტიას იძლევა. ამიტომაც საუკუნეების მანძილზე სარწყავი სისტემების მოწყობას აღმოსავლეთ საქართველოში დიდი ყურადღება ექცეოდა [2]. ამჟამინდელი საირიგაციო სისტემების ძირითად კომპონენტად მოიაზრება არხების სისტემასთან დაკავშირებული მარეგულირებელი წყალსაცავების არსებობა, რომლებშიც წყლის რესურსების შევსების ერთ-ერთ დამატებით წყაროდ ნალექთა ხელოვნური გაზრდა (ნხე) სახელდება. სწორედ ამით იყო განპირობებული ჯერ კიდევ 1950-იან წლებში ნხე სამუშაოთა განვითარება კალიფორნიის მოსაზღვრე სიერა-ნევადას მთებში. ამ იდეაზეა აგრეთვე დამყარებული მსოფლიოს სხვადასხვა რეგიონში მსგავს სამუშაოთა დიდი ნაწილის შესრულება წყლის ინტეგრირებული მართვის სისტემის განსახორციელებლად [3].

ნხე სამუშაოთა ექსპერიმენტული ფაზა აღმოსავლეთ საქართველოში ჩატარდა 1979-1990 წლებში. კლიმატური მასალების, რ/ლ და ნალექმზომი ქსელის დაკვირვების მონაცემთა გამოყენებით დეტალურად იქნა შეფასებული აღმოსავლეთ საქართველოში ნხე სამუშაოთა პოტენციალი და მათი განვითარების პერსპექტივები, თუმცა ახალი რეალობის გათვალისწინებით, ამჟამად შესაძლებელია ნხე სამუშაოთა განვითარების თანამედროვე პერსპექტივების დასახვა და საზოგადოების, ტექნოლოგიებისა და მეცნიერების არსებულ დონეებთან მათი აღაპტირების გზების შეფასება.

7.2. ნხე სამუშაოთა აღდგენის პერსპექტივები კლიმატურ მონაცემთა გათვალისწინებით

კლიმატოლოგიური მონაცემების თანახმად, ქვედა იარუსის ღრუბლები, რომლებიც აღმოსავლეთ საქართველოში ნალექთა ხელოვნური გაზრდის სამუშაოთა ძირითად ობიექტს წარმოადგენს, წლის განმავლობაში ხასიათდება საშუალო ბალიანობით 4-6, ხოლო ქვედა იარუსზე მოღრუბლები და მათი განვითარების პერსპექტივები, თუმცა ახალი რეალობის დასახლებიდან 3/4-ს შეადგენს. ამ ტიპის ღრუბლების განვითარების თავისებურებანი დეტალურად იქნა შესწავლილი პიდრომეტეოროლოგიის ინსტიტუტისა და სეტკასთან ბრძოლის სამსახურის პოლიგონებზე მდ.იორის ხეობაში, ჯავახეთში, ქვემო ქართლსა და კახეთში რ/ლ სადგურისა და სხვა ტექნიკურ საშუალებათა გამოყენებით. კერძოდ, დადგენილი იქნა, რომ თითოეული პოლიგონის ფარგლებში კონვექციური პროცესების განვითარების დროს დღის განმავლობაში დაფიქსირებული კონვექციური უჯრედების რაოდენობა საშუალოდ 5-15-ს შეადგენს, ხოლო მათი ზედა საზღვრის სიმაღლის ცვლილება 6-დან 10-12 კმ-დე ზღვის დონიდან. უჯრედების მახასიათებელი რადიუსი 2-5 კმ-ის, ხოლო მოცულობები 30-დან 400 კმ³-ის ფარგლებში აღმოჩნდა. ცალკეული კონვექციური უჯრედიდან მოცული ნალექის რაოდენობა აღმოსავლეთ საქართველოს პირობებში იცვლება 30-დან 400 კილოტონამდე და საშუალოდ 10^2 კილოტონას შეადგენს. მდლავრი კონვექციის განვითარების პირობებში ეს სიდიდე შეიძლება 2-3 რიგით აჭარბებდეს საშუალო მაჩვენებელს.

წლის განმავლობაში ციგ პერიოდში, პიდრომეტეოროლოგიის ინსტიტუტის მფრინავი დაბორატორიის გამოყენებით მიღებული შედეგების თანახმად, ფენა და ფენა-გროვა ღრუბლებთა სისტემის ვერტიკალური სიმძლავრე საშუალოდ 2-3 კმ შეადგენდა და ხშირად 4-5 კმ-საც აღწევდა, ხოლო აღნიშნული ტიპის ღრუბლებთა არსებობის ხანგრძლივობა

დამოკიდებულია ფრონტალური პროცესების ინტენსივობაზე და საშუალოდ 3-5 დღეს შეადგენს.

აღმოსავლეთ საქართველოს ტერიტორიაზე ნალექთა საშუალო წლიური და სეზონური ჯამების განაწილების კლიმატოლოგიური მონაცემების, პიდრომეტეოროლოგიის ინსტიტუტისა და სეზონასთან ბრძოლის პოლიგონებზე მიღებული მასალების გამოყენებით ნაშრომში [4] გამოყოფილია დამატებით ნალექთა ხელოვნური სტიმულირების თვალსაზრისით პერსპექტიული რეგიონები:

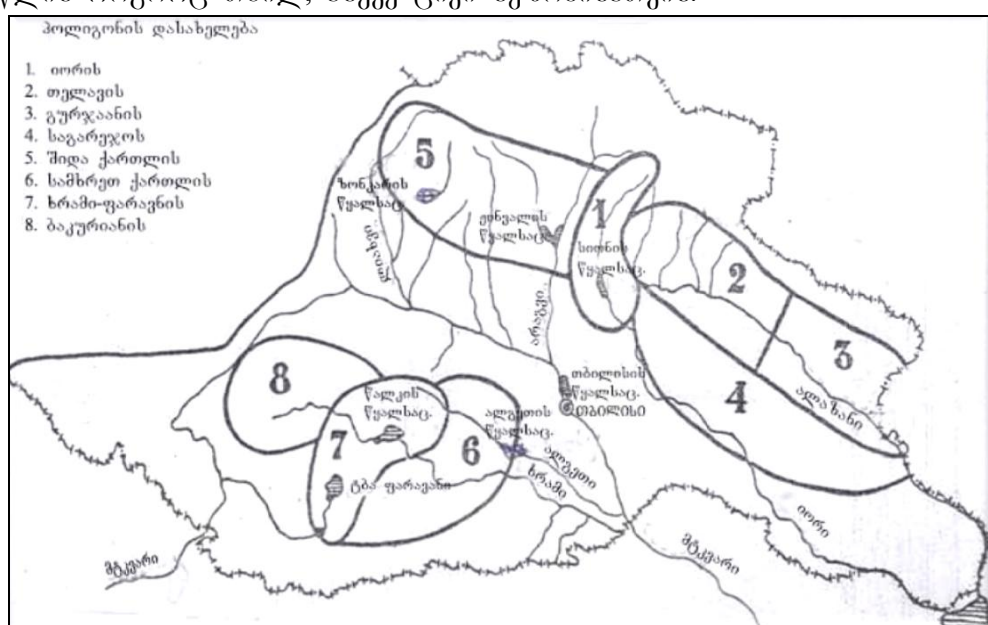
- კავკასიონის სამხრეთი ფერდობები მდ. ლიახვის, არაგვის, იორისა და ალაზნის ზემო წელის ზონაში (ნალექთა წლიური ჯამები 800-1200 მმ);
 - სამხრეთ საქართველოს მთიანეთის ზონა, შემავალი თრიალეთის, სამსარისა და ჯავახეთის ქედების არეში (ნალექთა წლიური ჯამები 600-800 მმ);

ნალექთ ხელოვნური სტიმულირების თვალსაზრისით ნაკლებად პერსპექტიულადად ჩათვლილი შემდეგი რაიონები:

- იორის ზეგანი მდ იორის ქვემოწელის ზონაში (ნალექთა წლიური ჯამები 400-500 მმ);
 - ქვემო ქართლის ვაკე (ნალექთა წლიური ჯამები 400-500 მმ);
 - სამხრეთ საქართველოს მთიანეთის სამხრეთ-დასავლეთი ნაწილი (ნალექთა წლიური ჯამები 600 მმ-მდე);
 - შიდა ქართლის ვაკე (ნალექთა წლიური ჯამები 400-500 მმ);

აქვე აღსანიშნავია, რომ ნალექთა აღნიშნული ჯამები შეესაბამება მიმდინარე საუკუნის დასაწყისისათვის არსებულ მდგრმარეობას. კლიმატის გლობალური დათბობის ზეგავლენით XXI საუკუნის დასასრულისთვის აღმოსავლეთ საქართველოს ტერიტორიაზე მოსალოდნელია ნალექთა წლიური ჯამების საშუალოდ 15%-ით შემცირება [6]. ეს პროგნოზი გარკვეულ წილად შეამცირებს ნალექთა ხელოვნური რეგულირებისათვის შესაფერისი მოდრულულობის სარესურსო პოტენციალს, მაგრამ ამავე დროს გაზრდის ნებ სამუშაოთა ჩატარების საჭიროებასა და მნიშვნელობას.

აღმოსავლეთ საქართველოში ღრუბლიანობისა და ნალექთა განაწილების თავისებურებათა გათვალისწინებით ხელოვნური სტიმულირებისათვის პერსპექტიულ რაიონებში პირობითად შესაძლებელია 8 პოლიგონის გამოყოფა (ნახ., 7.1). თითოეული მათგანისთვის პიდრომებზე როლოგიის ინსტიტუტისა და სეტკვასთან ბრძოლის სამსახურის პოლიგონებზე მიღებული მონაცემების გამოყენებით შეფასებულ იქნა ნალექთა გაზრდის სამუშაოთა პოტენციალი წლის როგორც თბილ, ასევე ცივი სეზონისათვის.



**ნახ. 7.1. ნალექთა ხელოვნური გაზრდის პოლიგონების პირობითი განლაგების სქემა
აღმოსავლეთ საქართველოს ტერიტორიაზე**

წლიური ჯამების ძირითადი კომპონენტისთვის – თბილი სეზონის ნალექებისთვის გაანგარიშების შედეგები მოყვანილია ცხრილში 7.1.

ცხრილი 7.1. დამატებით ნალექთა შესაძლო რაოდენობა წლის თბილ პერიოდში აღმოსავლეთ საქართველოს სხვადასხვა პოლიგონისთვის

Nº	პოლიგონის დასახელება	S, g^2	N, უჯრედი	ΔP , მმ	P _{საჟ} , მმ	$\frac{\Delta P}{P}$, %	ΔM , 10^6 მ^3
1	იორი	1000	400	120	600	20	120
2	თელავი	1500	500	100	500	20	150
3	გურჯაანი	1200	400	100	600	17	120
4	საგარეჯო	2000	400	60	400	15	120
5	შიდა ქართლი	2000	500	75	500	15	150
6	ქვემო ქართლი	1500	300	60	500	12	90
7	ხრამი-ფარავანი	1500	150	30	500	6	45
8	ბაგრიანი	1000	300	90	700	13	90
	სულ	11700	2950				885

ამ ცხრილში S აღნიშნავს პოლიგონის ფართობს, N – სეზონის განმავლობაში დასამუშავებელი კონვექციური უჯრედების რაოდენობას, ΔP – პოლიგონის ფართობზე გაანგარიშებულ შესაძლო დამატებით ნალექთა რაოდენობას, P_{საჟ} – თბილი პერიოდის ნალექთა კლიმატურ ჯამს განსახილველ რეგიონში, ΔM - პოტენციურ დამატებითი ნალექების მასას. ცხრილის შედეგებისას დაშვებული იყო, რომ აღმოსავლეთ საქართველოს პირობებში თითოეული სეზონი (აპრილიდან ოქტომბრის ჩათვლით) შეიცავს დაახლოებით 100 დღეს კონვექციის განვითარებით, საიდანაც, მინიმალური შეფასებით, ნახევარი შეიძლება ხასიათდებოდეს ნალექთა ხელოვნური რეგულირებისათვის შესაფერისი ღრუბლიანობით. ეს დაშვება ახლოსაა ცხრილში 6.1 იორის პოლიგონისათვის მოყვანილ რეალურ მონაცემებთან, რომლის თანახმადაც სამუშაო სეზონში დღეთა საშუალო რიცხვი რესურსული ღრუბლებით იცვლება შუალედში 50-80 (პ. 7), ხოლო სამუშაო დღეში საცდელ ტერიტორიაზე კონვექციური უჯრედების საშუალო რაოდენობა შეიძლება შეადგენდეს 10-ს (პ 10), რაც ჯამში იძლევა N=500 უჯრედს. ანალოგიური მინიმალური შეფასება მიიღება ხრამი-ფარავნის პოლიგონისთვისაც (40 დღე x 5 უჯრედზე = 200 უჯრედს).

მიღებული შედეგებიდან გამომდინარეობს, რომ შერჩეულ 8 პოლიგონზე წლის თბილ პერიოდში ნალექთა ხელოვნური გაზრდის სამუშაოთა საჭარმოო მასშტაბით ჩატარებისას შესაძლებელია მიღებული იქნას დამატებითი ნალექის რაოდენობა სეზონში ჯამის 6-დან 20%-მდე (საშუალოდ 15%) ოდენობით. აბსოლუტური გამოსახულებით ამას შეესაბამება წვიმის სახით მიღებული წყლის რაოდენობა 45-დან 150 მლნ მ³-მდე, რაც ჯამში იძლევა 885 მლნ მ³-ს. ეს ციფრი ემთხვევა ჯამში მიღებული 2950 კონვექციური უჯრედიდან მიღებული დამატებითი წყლის რაოდენობას იმ დაშვებით, რომ თითოეული უჯრედიდან ზემოქმედების შედეგად შესაძლებელია საშუალოდ 300 კილოტონა ($3 \cdot 10^5 \text{ მ}^3$) დამატებითი ნალექის მიღება (ცხრ. 6.1, პ.2.2). ის ფაქტი, რომ გასაშუალოებისას მიღებული იქნა ამ ცხრილში 1 უჯრედიდან მოსული დამატებითი ნალექის მაქსიმალური რაოდენობა შეიძლება აიხსნას იმით, რომ სხვა პოლიგონებზე, (მაგ. თელავის, გურჯაანის, შიდა ქართლის) გასაშუალოებაში მონაწილე უჯრედები ხშირ შემთხვევაში ზემოქმედების შედეგად შეიძლება იძლეოდეს იორის პოლიგონისთვის მიღებულ საშუალოზე არსებითად მეტ ნალექს. რაც შეეხება ცივ პერიოდში ნალექთა ხელოვნური გაზრდის პოტენციალს, თოვლიან დღეთა რაოდენობისა და თოვლის საფარის ხანგრძლივობის შესახებ კლიმატური მონაცემების გათვალისწინებით საღრუბლო სისტემებზე ზემოქმედებისათვის პერსპექტიულად იქნა ჩათვლილი პოლიგონების №№ 1, 5 და ნაწილობრივ №7 და №8 ტერიტორია. ზამთარში თოვლის მდგრადი საფარი, 1980-იან წლებში გლობალური დათბობის დაწყებამდე, აქ წარმოიქმნებოდა 800-1200 მ სიმაღლეზე და ზემოთ, ხოლო მისი ხანგრძლივობა იცვლებოდა 80-დან 150-200 დღემდე. ამჟამად ეს მონაცემები, შესაძლოა, კორექტირებას მოითხოვს. განხილული ტერიტორია მოიცავს მდ. ლიახვის, ქსნის, არაგვის, იორისა და ალაზნის

ზემოწელს, აგრეთვე მდ. ფარავნისა და ხრამის სათავეებს და ბორჯომის ხეობის ზედა ნაწილს. ცივი სეზონის დამატებითი ნალექების შესაფასებლად საორიენტაციოდ აღებული იქნა სევანის ტბის აუზში მიწისზედა სააეროზოლო გენერატორების გამოყენებით 10 წლის მანძილზე ჩატარებული ექსპერიმეტების შედეგი, რომლის თანახმად ზამთრის პერიოდში ზემოქმედებისას შესაძლებელია ნალექთა (თოვლის) დღედამური ჯამების გაზრდა საკონტროლო ტერიტორიასთან შედარებით 40%-ით [7] და სეზონური ჯამების 30%-მდე მომატება. იორისა და შიდა ქართლის პოლიგონებზე, სადაც ზამთრის ნალექთა საშუალო ჯამები 150-300 მმ შეადგენს, ცივ პერიოდში სისტემატური ზემოქმედების შედეგად შესაძლებელია 150-180 მლნ მ³ დამატებითი ნალექის მიღება. სამხრეთ საქართველოს პოლიგონების მაღალმთიანი ნაწილისთვის საერთო ფართობი 1000 კმ² ნალექთა პოტენციურმა დანამატება შესაძლოა 45 მლნ მ³-ს მიაღწიოს. მიღებული სიდიდეები, მართალია, 4-5-ჯერ ნაკლებია თბილი პერიოდის ნალექთა შესაძლო დანამატებზე, მაგრამ მაინც მიუთითებს ზამთრის ნალექებზე ზემოქმედების ჩატარების პერსპექტიულობაზე მათი რაციონალურად გამოყენების შემთხვევაში (მაგ. სათხილამურო სპორტის განვითარების მიზნით).

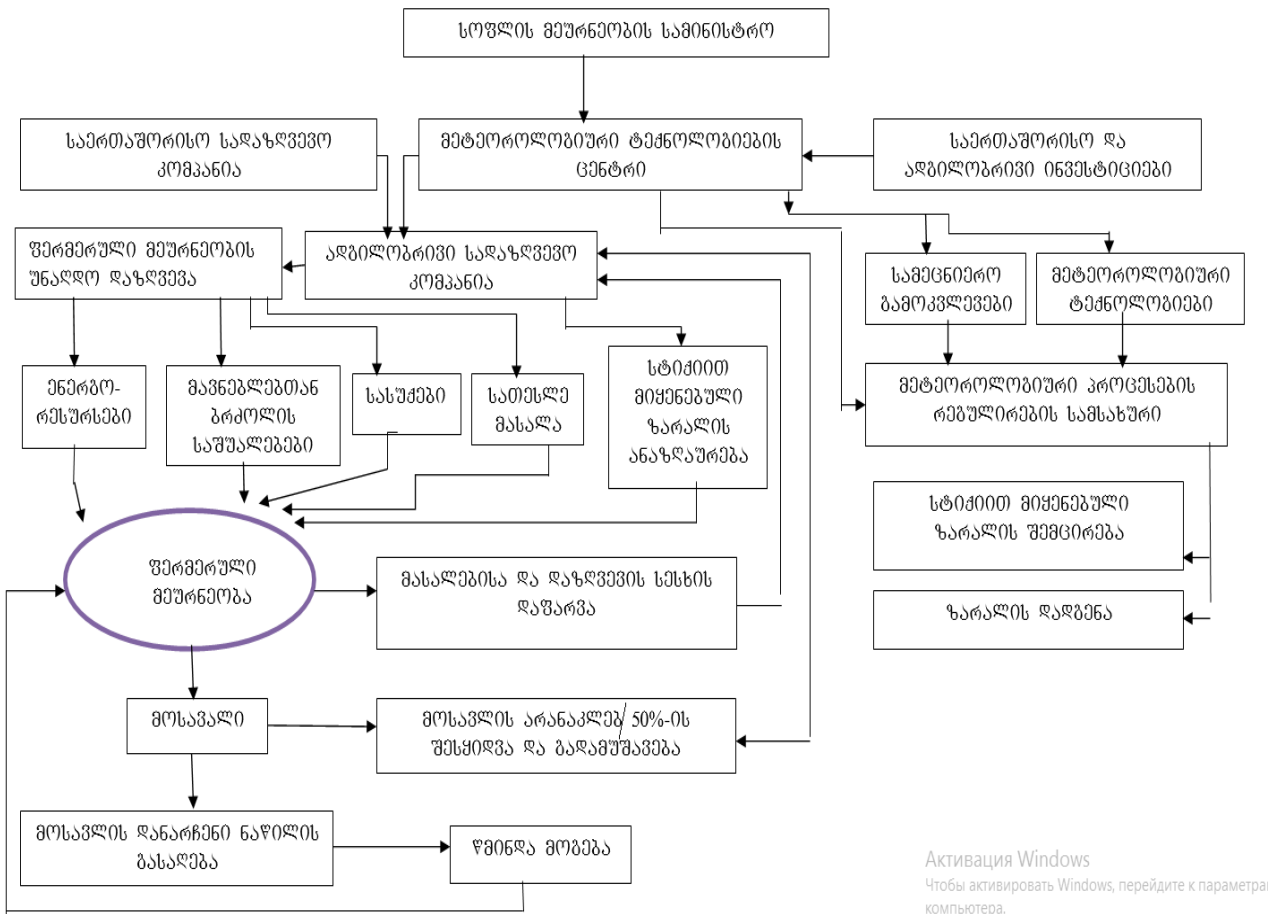
7.3. ნებ სამუშაოთა ორგანიზაციისა და წარმოების საკითხები საბაზრო ეკონომიკის პირობებში

როგორც ნაშრომის წინა თავში იყო აღნიშნული, 1950-იანი წლების დასაწყისში, ვერცხლის იოდიდისა და მშრალი ყინულის მაკრისტალებელი თვისებების აღმოჩენის შემდეგ აშშ-ში ინტენსიურად დაიწყო ნებ სამუშაოების განვითარება წყალსატევებში წყლის რესურსების გასაზრდელად ენერგეტიკისა და რწყვის ეფექტურობის ამაღლების მიზნით. სამუშაოთა საწარმოებლად შეიქმნა კერძო კომპანიები, რომლებიც ფინანსდებოდა ენერგეტიკული კომპანიებისა და ფერმერების ხარჯებით. საწყის ეტაპზე სამუშაოები ტარდებოდა შედარებით მარტივი ტექნოლოგიების გამოყენებით, რომლებიც ემყარებოდა რეაგენტის შეტანას ღრუბელში ჰაერის აღმავალი ნაკადების დახმარებით. შემდგომში ღრუბლის დასამუშავებლად დაიწყო მსუბუქი ავიაციის გამოყენება, რაც გულისხმობდა თვითმფრინავის ბორტიდან ღრუბლის დამუშავებას პიროტექნიკური ვაზნებით ან გამაცივებელი რეაგენტებით. 1970-იან წლებში გეოფიზიკისა და პიდრომეტინსტიტუტის თანამშრომლებს აშშ-ში ვიზიტის დროს საშუალება მიეცათ გასცნობოდნენ კალიფორნიაში ბაზირებული ერთ-ერთი ასეთი კომპანიის „Atmospherics Inc.“ მუშაობას, რომელიც მის განკარგულებაში მყოფი 10-მდე მსუბუქმოტორიანი Cessna ტიპის თვითმფრინავის გამოყენებით აწარმოებდა ნებ სამუშაოებს ინდოეთში, არგენტინაში, სამხრეთ აფრიკისა და აფრიკის კონტინენტის სხვა რამდენიმე ქვეყანაში.

სოციალისტური ეკონომიკის პირობებში ატმოსფერულ პროცესებზე ხელოვნური ზემოქმედების სამუშაოები დირექტიული ორგანოების გადაწყვეტილების თანახმად სრულდებოდა, რომელსაც თან ახლდა შესაბამისი საბიუჯეტო დაფინანსებაც. ამის მაგალითად შეიძლება გამოდგეს წინამდებარე ნაშრომის №1 დანართში მოყვანილი საქართველოს ხელმძღვანელი ორგანოების ერთობლივი დადგენილება ნებ სამუშაოების ორგანიზების შესახებ, რამაც შესაძლებელი გახადა სახელმწიფოს მხრიდან სუბსიდირებული აღნიშნული საქმიანობის 1977 წლიდან 1990 წლამდე წარმოება.

აღმოსავლეთ საქართველოს კლიმატურ პირობებში ნებ სამუშაოთა ჩატარების აქტუალობამ 2000-იანი წლების დასაწყისში განაპირობა ახალ რეალობაში ამ სამუშაოთა სხვა ფორმით განხორციელების ძიება, რომლის ერთეული მცდელობა ასახულია ნაშრომში [8]. ამ ნაშრომის თანახმად, ამინდის საშიში მოვლენებისგან სასოფლო-სამეურნეო პროდუქციის მწარმოებლის დაცვის მიზნით ახალი სამსახური უნდა იყოს მოწეული მოსავლის ნებაყოფლობითი უნაღდო დაკრედიტების შემადგენელი ნაწილი, რომელიც დამყარებული იქნება ფერმერული მეურნეობის წინასწარ უზრუნველყოფაზე მოსავლის მოსაყვანად საჭირო ყველა კომპონენტებით, ამინდის მავნე მოვლენებისაგან მის დაზღვევაზე და მოსავლის

წინასწარ განსაზღვრული ნაწილის გარანტირებულ რეალიზებაზე ზემოთ ჩამოთვლილი ხარჯების დაფარვით. ამ სისტემის ორგანიზების ნაწილობრივ მოდიფიცირებული საგარაუდო ბლოკ-სქემა წარმოდგენილია ნახაზზე 7.2.

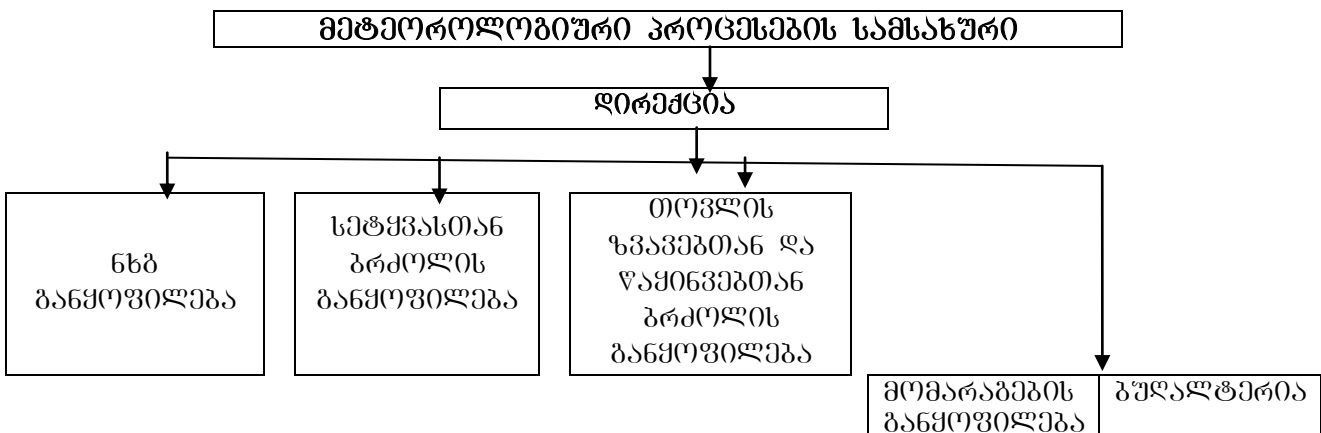


ნახ. 7.2. აღმოსავლეთ საქართველოში ფერმერული მეურნეობებისა და გადამამუშავებელი მრეწველობის სტიმულირების ორგანიზების საგარაუდო ბლოკ-სქემა

ამ სქემაში აღილობრივი სადაზღვევო კომპანია, რომელი ყოველი სეზონის დაწყების წინ აწარმოებს ფერმერული მეურნეობის უნაღდო დაკრედიტებას ენერგორესურსების (საწვავ-საცხები მასალები სასოფლო-სამეურნეო ტექნიკის ფუნქციონირებისათვის), მავნებლებთან ბრძოლის საშუალებების, სასუქებისა და სათესლე მასალების შესაძენად, აგრეთვე სტიქიისაგან (გვალვა, სეტყვა, თოვლის ზეავები, წაყინვები) მიყენებული შესაძლო ზარალის გარანტირებულ დაზღვევას, წარმოადგენს რომელიმე მსხვილი საერთაშორისო სადაზღვევო კომპანიის, მაგ. „Vienna Insurance Group“ შვილობილ კომპანიას. ვადაში ბაზირებული მსოფლიო ბრენდის მფლობელი ეს კომპანია აერთიანებს 25 ქვეყანაში მოქმედ 50 სადაზღვევო კომპანიას ცენტრალურ და აღმოსავლეთ ევროპის ქვეყნებში. საქართველოში მისი შვილობილი კომპანიებია IRAO da GPIH. მათგან უკანასკნელი აწარმოებს აგრო-დაზღვევის მიმართულებით ანაზღაურებას შემდეგი რისკებისაგან: სეტყვა, ქარიშხალი, ჭარბი ნალექი და საშემოდგომო წაყინვები. 2015 წელს საქართველოში აგროდაზღვევის სფეროში ამ კომპანიის მიერ ანაზღაურებულმა ზარალმა 400 ათასი ლარი შეადგინა [9].

სეზონის დასასრულს, აღებული მოსავლის ხარჯით მასალებზე გაწეული დანახარჯებისა და უნაღდო დაზღვევის ანაზღაურების შემდეგ, აღილობრივი სადაზღვევო კომპანია უზრუნველყოფს მეურნეობაში მოწეული მოსავლის არანაკლებ 50%-ის საბაზრო ფასებში შესყიდვას და მის გადამუშავებას შესაბამისი პროფილის ადგილობრივ საწარმოებში. ამ შესყიდვიდან მიღებულ თანხას, ფერმერის წმინდა მოგების სახით, ემატება შემოსავალი, რომელსაც იგი მიიღებს მოსავლის დანარჩენი ნაწილის თავისი ნება-სურვილით გასაღების შედეგად.

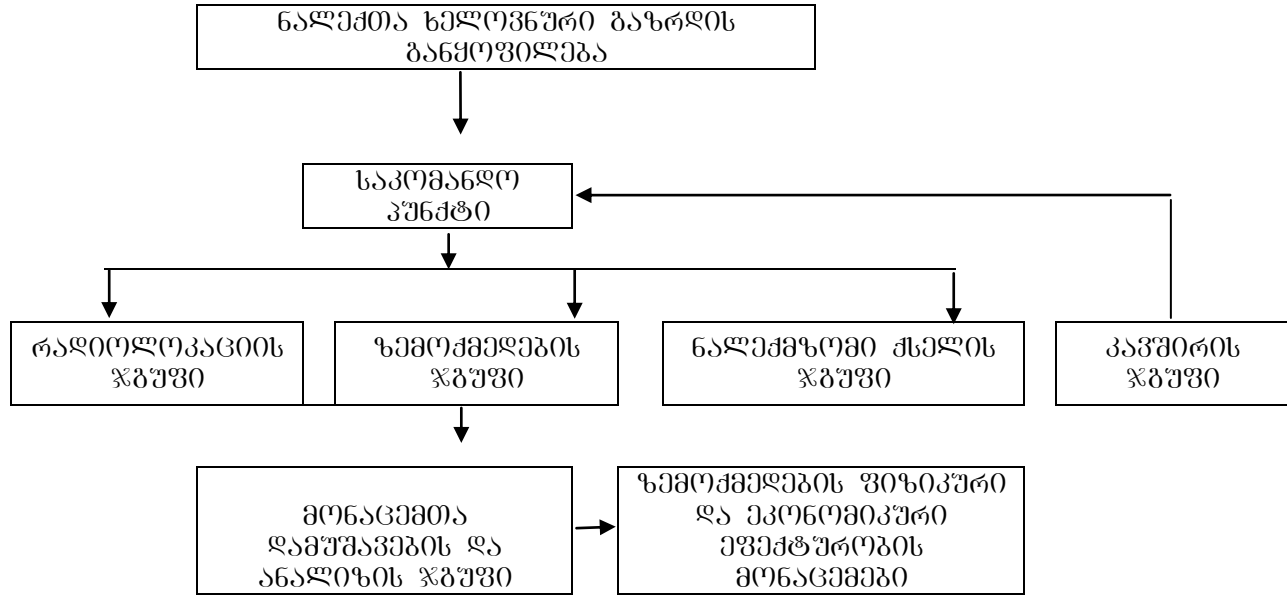
რაც შეეხება დაგეგმილი სამუშაოების სამეცნიერო-ტექნიკურ ნაწილს, თავმოყრილი იქნება სოფლის მეურნეობის სამინისტროსთან არსებულ მეტეოროლოგიური ტექნოლოგიების ცენტრში, რომელიც ამავდროულად იქნება ადგილობრივი სადაზღვევო კომპანიის ერთ-ერთი დამფუძნებელი. ეს ცენტრი, საერთაშორისო ინვესტიციების მოზიდვასთან ერთად, აწარმოებს სამეცნიერო გამოკვლევებს ქვეყანაში სტიქური მოვლენების გენეზისისა და კლიმატის მიმდინარე ცვლილებასთან მათი კავშირის დარგში, აგრეთვე მათთან ადაპტირებისა და ბრძოლის ტექნოლოგიების შემუშავების მიმართულებით. აღნიშნული ცენტრი გარემოს ეროვნულ საგენტოსთან ერთად აყალიბებს მეტეოროლოგიური პროცესების რეგულირების (მპრს) სამსახურს, რომელიც პიდრომეტეოროლოგიისა და გეოფიზიკის ინსტიტუტების სამეცნიერო-მეთოდური ხელმძღვანელობის ქვეშ აწარმოებს ოპერატიულ სამუშაოებს ნალექთა ხელოვნური გაზრდის, წაყინვებთან ბრძოლისა და სეისმისაგან მიუენებული ზარალის შემცირების დარგში. მიზანშეწონილი იქნება მომავალში ამ სამსახურში შევიდეს აგრეთვე წყლის რესურსების ინტეგრირებული მართვისა და რწყვის თანამედროვე ტექნოლოგიების დანერგვის მიმართულებაც. ცენტრი უზრუნველყოფს საერთაშორისო და ადგილობრივი ინვესტიციების შემოდინებას მიმდინარე სამუშაოების გასაფართოვებლად და მიღებული გამოცდილების გადასაცემად სხვა ქვეყნებში, აგრეთვე სათანადო პოტენციალისა და პრაქტიკული გამოცდილების მქონე ქვეყნებიდან უახლესი მეტეოროლოგიური ტექნოლოგიების შესყიდვასა და დანერგვას. მეტეოპროცესების რეგულირების სამსახურის მუშაობის საორიენტაციო ბლოკ-სქემა მისი განვითარების პირველი ეტაპისთვის მოცემულია ნახ. 7.3-ზე.



ნახ. 7.3. მეტეოპროცესების რეგულირების სამსახურის ორგანიზების საგარაუდო ბლოკ-სქემა

მკრ სამსახურის ორგანიზაციის ელემენტების უმეტესობა ნიმუშად გამოდგება 1980-იან წლებში აღმოსავლეთ საქართველოში მოქმედი სეტყვასთან ბრძოლის გასამხედროებული სამსახურის მაგალითი, რომელიც ორგანიზების მაღალი დონითა და ანგარიშგების სანიმუშო პუნქტუალობით ხასიათდებოდა. მისი პრაქტიკული გამოცდილების გათვალისწინებით ნახ. 7.4-ზე მოყვანილია პიდრომეტპროცესების რეგულირების პიპოთეტური სამსახურის ერთ-ერთი ქვედანაყოფის – ნალექთა ხელოვნური რეგულირების განყოფილების ორგანიზების სავარაუდო ბლოკ-სქემა

სამეცნიერო ტექნიკური ცენტრის „დელტას“ გამოცდილების მხედველობაში მიღებით, რომელმაც 2014 წლიდან განახლა კახეთის რეგიონში სეტყვასთან ბრძოლის საწარმოო სამუშაოები [10], რ/ლ დაკვირვებები და მიღებული ინფორმაციის დამუშავება, აგრეთვე დრუბლებზე ზემოქმედების ტექნოლოგია მკრ სამსახურში თანამედროვე მოთხოვნების შესაბამისად უნდა იყოს ორგანიზებით ყურადღება უნდა დაეთმოს ზემოქმედებისა და მისი ეფექტის რეგისტრირების მონაცემთა ელექტრონული არქივის სათანადო დონეზე შექმნას, რაც შესაძლებელს გახდის ზემოქმედების შედეგების ობიექტურ წარმოჩენას, გაანალიზებას, აგრეთვე შესაფერისი რიცხვითი მოდელების აგებას და მათ ოპერატიულ სამუშაოებში დანერგვას ზემოქმედების ეფექტურობის შესაფასებლად.



ნახ. 7.4. მეტეოროლოგიური პროცესების რეგულირების სამსახურის ნებ განყოფილების ორგანიზების სავაროდო ბლოკ-სქემა

7.4. ნებ სამუშაოთა ჩატარების სამართლებრივი ასპექტები

ნალექთა ხელოვნური გაზრდა არის გარკვეულ ტერიტორიაზე ადამიანის ხელოვნური ჩარევა ბუნებრივ პროცესებში, რომელიც უნდა იმართებოდეს „საქართველოს კანონის გარემოს დაცვის შესახებ“ შესაბამისად ამ კანონის ბოლო რედაქციის (01.01.2017 წ.) მე-5 თავის „გარემოს დაცვის ძირითადი პრინციპები“ (ბ) მუხლის (მდგრადობის პრინციპის) თანახმად ამ საქმიანობის განხორციელებისას საშიშროება არ უნდა ექმნებოდეს საზოგადოების განვითარებას და უზრუნველყოფილი უნდა იყოს გარემოსა და ბუნებრივი რესურსების დაცვა შეუძლებელი რაოდენობრივი და ხარისხობრივი ცვლილებებისაგან.

აღმოსავლეთ საქართველოში 1980-იან წლებში წარმოებული ნებ სამუშაოები გარემოზე ზემოქმედების მასშტაბებით ბევრად ჩამოუვარდებოდა მსხვილი დასახლების (თბილისი, რუსთავი) გარემოზე ზემოქმედებას ტრანსპორტისა და სამრეწველო გამონაბოლქვის მოცულობის თვალსაზრისით, მაგრამ ხანგრძლივი და უწყვეტი ზემოქმედების შედეგად მას შეუძლია გარავეული ცვლილებების შეტანა ისეთი მგრძნობიარე ელემენტის მსვლელობაში, როგორიცაა ატმოსფერული ნალექები, ჰაერის სინოტივე და ტემპერატურა, ზედაპირული ჩამონადენი, მიწისქეშა წყლების დონე და სხვ.

წინა თავებში მოყვანილი კლიმატური მონაცემების თანახმად, ჰიდრომეტინსტიტუტის ნებ პოლიგონების და მათ მიმდებარე ტერიტორიებზე ნალექთა სეზონური ჯამების ბუნებრივი ვარიაციები საშუალოდ 20-25% ფარგლებში იცვლება, ამავე დროს დაკვირვების 10-წლიანი პერიოდის განმავლობაში ჩატარებულმა გამოკვლევებმა აჩვენა, რომ წლის თბილ პერიოდში ზემოქმედების შედეგად ნალექთა სეზონური ჯამების გაზრდა საკვლევ ტერიტორიაზე შესაძლებელია მაქსიმუმ 10-15%-ით, რაც თითქმის ორჯერ ნაკლებია მათი ბუნებრივი ვარიაციის ფარგლებზე. ამის გათვალისწინებით, ნაშრომში [8] მიღებული დასკვნის თანახმად, შედარებით ხანმოკლე დროის მონაკვეთში (5-10 წელი) ნებ სამუშაოებს არ შეუძლია მნიშვნელოვანი გავლენის მოხდენა ბუნებრივი გარემოს დატენიანების რეჟიმზე. მიუხედავად ამისა, ახალი ტექნოლოგიების გამოყენებით ნალექთა (წვიმისა და სეტყვის) რეჟიმის შესაცვლელად გამიზული ფართომასშტაბური და ხანგრძლივი პროექტების განხორციელების შემთხვევაში შესაძლებელია მოხდეს ამ რეჟიმის მდგრადი ცვლილება, რასაც შეიძლება მოჰყვეს საცდელ რეგიონში რადიაციული და სითბური ბალანსის გარკვეული ტრანსფორმირება. ეს, თავის მხრივ, გამოიწვევს რეგიონში კლიმატის შესაბამის ცვლილებას, მასთან დაკავშირებული გაოლოგიური შედეგებით [11], რაც შეიძლება უარყოფითად აისახოს საზოგადოების განვითარებაზე და გამოიწვიოს მოსახლეობის უკმაყოფილება. აღნიშნული საკითხი დეტალური სა-

მეცნიერო განხილვის საგნად უნდა იქცეს მანამ, სანამ გადაწყდება შერჩეულ რეგიონში მაკრისტალებელი რეაგენტის გამოყენებით ფართომასშტაბური ზემოქმედების სამუშაოთა ჩატარება ნალექთა ხელოვნური გამოწვევის მიზნით. ამ გამოკვლევაში გათვალისწინებული უნდა იყოს როგორც გარემოს დაჭუჭყიანება გამოყენებული რეაგენტებით, ასევე ეკოსისტემების ადაპტირება ზემოქმედების შედეგად შეცვლილ კლიმატურ პირობებთან.

ამჟამად ღრუბლებზე ზემოქმედებისთვის გამოყენებული ძირითადი მაკრისტალებული რეაგენტის – ვერცხლის იოდიდის ბუნებრივ გარემოზე ზემოქმედების საკითხი განხილულია წინამდებარე მონოგრაფიის მე-5 თავში (პ. 5.8). მასში ნაჩვენებია, რომ ნებ სამუშაოებში ზაფხულის პერიოდში ნალექთა სტიმულირებისთვის უფერის მისაღწევად AgI-ის გამოყენებული კონცენტრაციები მცირეა და მათი გავლენა გარემოს დაბინძურებაზე შესამჩნევი შეიძლება გახდეს ათასობითი წლის შემდგვ [8], რა დროშიც კაცობრიობა ღრუბლებზე ზემოქმედებისათვის, შესაძლებელია, სულ სხვა ტექნოლოგიებზე გადავიდეს. რაც შეეხება ზამთრის პერიოდში მთიან რეგიონებში ნებ სამუშაოთა სისტემატურ და ხშირ გამოყენებას, ამან შეიძლება მოსახლეობის მხრიდან უარყოფითი რეაქცია გამოიწვიოს გზგზე დიდთოვლობის შედეგად სატრანსპორტო მიმოსვლის გართულების გამო.

ატმოსფერულ პროცესებზე ზემოქმედების კიდევ ერთ სამართლებრივ ასპექტს წარმოადგენს მეზობელ ქვეყნებს შორის ნალექთა ტერიტორიული გადახაწილების საკითხი. როგორც ზემოთ უკვე იყო აღნიშნული (თავი 1), აღმოსავლეთ საქართველოს ტერიტორიაზე წლის თბილ პერიოდში ნალექწარმომქმნელი პროცესების შემოჭრას უმეტესწილად ადგილი აქვს დასავლეთიდან. ამ პერიოდში ნალექის მომცემი საღრუბლო სისტემები გადაადგილდება საქართველოდან აზერბაიჯანის მიმართულებით. ნალექთა ხელოვნურმა გაზრდამ ზაფხულის კონვექციური ღრუბლებიდან შესაძლოა საზოგადოების ნაწილში გამოიწვიოს პროტესტი იმის გამო, რომ საქართველო ნებ სამუშაოებით თითქოს „ითვისებს“ წვიმის იმ რაოდენობას, რომელიც ბუნებრივად უნდა მოსულიყო მის აღმოსავლეთით მდებარე ტერიტორიებზე, სპუტინისტების შორის ამ საკითხზე დავა თითქმის დასრულებულია, რადგანაც როგორც თეორიულად [12], ისე საგელე დაკვირვებებითაც [13] დადგენილია, რომ ფრონტლური პროცესების დროს პაერის მოძრავ მასაში ხდება ნალექწარმომქმნელი პროცესების სწრაფი რეგენერაცია სხვადასხვა ფიზიკური თვისებების მქონე პაერის მასების ინტენსიური შერევის შედეგად. ამ მასტრაბური პროცესების ფონზე ცალკეული რაიონის ფარგლებში ღრუბლის ნალექწარმომქმნელ მექანიზმზე ლოკალური ზემოქმედება ვერ ახდენს შესამჩნევ გავლენას ნალექთა გენერირებასა და გამოყოფაზე მთლიანი რეგიონის მასშტაბით. რაც შეეხება პაერის ცალკეულ მასაში წარმოქმნილი შიდამასიური კონვექციური ღრუბლებიდან ნალექების გამოწვევას, რომელთა წილი აღმოსავლეთ საქართველოს პირობებში 30-40%-ს შეადგენს [14], ზემოქმედებამ შესაძლებელია მართლაც გამოიწვიოს გარკვეული ცვლილება ნალექთა ტერიტორიულ განაწილებაში კავკასიონის სამხრეთ ფერდობებით დაკავებულ ამ რეგიონში, თუმცა საერთაშორისო თანამშრომლობის ფარგლებში ანალოგიური სამუშაოების გაგრძელება ისტორიული საინგილოს ტერიტორიაზე აზერბაიჯანშიც სასიკეთოდ წაბადგებოდა მინგეჩაურის წყალსაცავის შევსებას წყლის დამატებითი რესურსებით. აქვე ისიც უნდა აღინიშნოს, რომ შრომაში [13] მიღებული შედეგი კახეთის რაიონებში სეტყვასთან ბრძოლის სამუშაოთა სეზონურ ნალექებზე უმნიშვნელო გავლენის შესახებ მიუთითებს იმაზე, რომ ნებ სამუშაოებში ერთი რიგით ნაკლები კონცენტრაციით რეაგენტის დოზირება ოპტიმალურია ღრუბლის გარკვეულ სტადიაზე ნალექთა სტიმულირებისათვის, 1 რიგით გაზრდილი დოზირებისას კი იწვევს ნალექწარმომქმნელი პროცესების ჩამობას. რაც შეეხება ცივ პერიოდში სამხრეთ კავკასიის ქვეყნებს შორის ნალექთა გადახაწილების პრობლემას ნებ სამუშაოთა ჩატარების შემთხვევაში, აზერბაიჯანისთვის ნაკლებად აქტუალურია საქართველოს მიმდებარე რაიონებში თოვლის სიმცირის გამო, ხოლო სომხეთისათვის საკითხი მოითხოვს დამატებით გამოკლევას.

7.5. ახალი ტექნოლოგიების დანერგვა ნებ სამუშაოებში

წინამდებარე მონოგრაფიის ზემოთ განხილულ თავებში წარმოდგენილია პიდრომეტეოროლოგიის ინსტიტუტის მიერ 1980-იან წლებში ნებ დარგში ჩატარებულ სამუშაოთა შედეგები, რომლებშიც გამოყენებული იყო იმ დროისათვის საბჭოთა კავშირში მიღებული მეთოდები და ტექნოლოგიები (დანართი 3). 1990-იან წლებში ჩვენს ქვეყანაში მომხდარი პოლიტიკურ-ეკონომიკური ცვლილებების შემდეგ ბევრი რამ არსებითად შეიცვალა, რამაც 2010-იანი წლების შუა პერიოდისთვის კახეთის რეგიონში განახლებულ სეტყვასთან ბრძოლის სამუშაოებში მოითხოვა ახალი თაობის ტექნოლოგიების დანერგვა [10]. ამის აუცილებლობაზე საუბარი იყო ჯერ კიდევ 2002 წელს სტატიაში [8] და შემდგომ 2013 წელს ნაშრომში [15]. კერძოდ, განვლილ პერიოდში სოციალისტური ბლოკის ქვეყნებში კარდინალურად შეიცვალა სეტყვასთან ბრძოლის სამუშაოებში წარმოებული რ/ლ დაკვირვებებისა და ღრუბლებში რეაგენტის შეტანის ტექნოლოგია, დაკვირვების მონაცემთა მიღების, დამუშავებისა და არქივირების წესები, კავშირგაბმულობის ტექნიკა და სხვ. ყოველივე ამან მოითხოვა სამუცნიერო-ტექნიკურ ცენტრში „დელტა“ სეტყვასთან ბრძოლის სამუშაოების ახალ საფეხურზე აყვანა, რაც გათვალისწინებული უნდა იქნეს ნებ სამუშაოების ახალ პირობებში საწარმოებლად. აღნიშნულ ცენტრში სეტყვასთან ბრძოლის სამუშაოების პრაქტიკაში გამოყენებული ძირითადი ტექნიკური საშუალებების ჩამონათვალი მოყვანილია დანართში 6.

ამასთან ერთად გათვალისწინებულია ისიც, რომ 1990-იანი წლების შემდეგ ნალექთა ხელოვნური რეგულირების სამუშაოები არ შეწყვეტილა რუსეთის ფედერაციაში, სადაც არსებული ინფორმაციის თანახმად [16] მის სამხრეთ რეგიონებში 2015 წლისთვის დაინერგა სეტყვის პროცესებზე ზემოქმედების მართვის ავტომატიზებული სისტემა (მას) „ანტიგრადი“. ეს სისტემა უზრუნველყოფს სეტყვის პროცესების აღმოჩენის, გარჩევისა და აქტიური ზემოქმედების ოპერაციების ავტომატიზაციას, ზემოქმედების კონტროლს, ინფორმაციის დოკუმენტირებასა და არქივირებას. „ანტიგრადის ძირითადი შემადგენელი ქვესისტემებია:

- ღრუბლისა და ღრუბლელთა სისტემების შესახებ რ/ლ ინფორმაციის მისაღები რ/ლ კომპლექსი;
- პირველადი რ/ლ ინფორმაციის კომპიუტერზე დამუშავებისათვის საჭირო ფორმაში გარდამქმნელი პროგრამულ-ტექნიკური კომპლექსი;
- რ/ლ ინფორმაციის მეორადი დამუშავებისა და ღრუბლებზე ზემოქმედების ბრძანებათა გამოყენების პროგრამულ-ტექნიკური კომპლექსი;
- სეტყვასაწინააღმდეგო რაკეტების ავტომატიზებული გამშვები დანადგარის მართვის ტელემექანიკური სისტემის პროგრამულ-ტექნიკური კომპლექსი.

სეტყვასაწინააღმდეგო დაცვის სისტემაში გამოიყენება რაკეტა „ალანი“, რომელიც რაკეტა „ალაზანთან“ შედარებით იოდოვანი ვერცხლის ნაწილაკების გენერაციისა და გაბნევის უფრო მაღალი ეფექტურობით ხასიათდება.

სააქციო საზოგადოება „ინტერმეტეორ“ ახალი თაობის ავტომატიზებული სარაკეტო კომპლექსის საფუძველზე სეტყვისაგან დიდი ტერიტორიების (200 ათასიდან 1 მლნ ჰა-მდე) მაღალი ეფექტურობით (90%) დაცვის მიზნით შექმნა ახალი ტექნოლოგია, რომელიც შემდეგი ძირითადი ელემენტებისაგან შედგება:

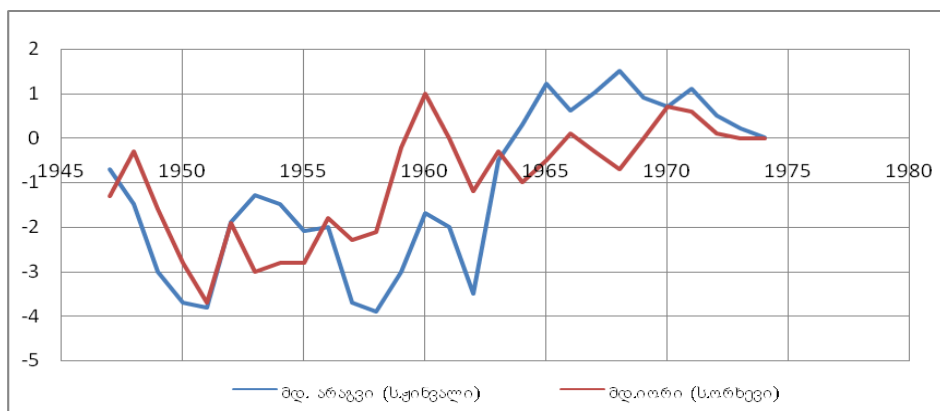
- სეტყვის დეტალიზებული პროგნოზი;
- სეტყვიანი, სეტყვასაშიში და პოტენციურად სეტყვასაშიში ღრუბლების აღმოჩენა და გარჩევა;
- სეტყვის წარმოქმნის პროცესების სტრუქტურის, განვითარების დინამიკისა და მასშტაბების გათვალისწინებით ღრუბლებზე ზემოქმედების შესაფერისი სტრატეგიის შერჩევა და განხორციელება;
- ზემოქმედების ფიზიკური და ეკონომიკური ეფექტურობის შეფასების მეთოდების გამოყენება.

სეტყვასთან ბრძოლისა და ნეგ სამუშაოების ტექნოლოგიებს შორის დიდი მსგავსების გათვალისწინებით ბუნებრივია, რომ საქართველოს ტერიტორიაზე ნალექთა სტიმულირების ჩვენს მიერ განხილულ პერსპექტიულ სამუშაოებში ახალი ტექნოლოგიების დანერგვის ერთ-ერთი ვარიანტად შეიძლება განხილული იქნას ზემოთ მოყვანილი ცნობებიც.

7.6 ნეგ სამუშაოთა ჩართვა აღმოსავლეთ საქართველოში წყლის ინტეგრირებული მართვის სამომავლო სისტემაში

აღმოსავლეთ საქართველოს ტერიტორიაზე ნეგ სამუშაოთა საწარმოებლად შერჩეულ პოლიგონებზე მიღებული წყლის პოტენციური დამატებითი რესურსების ეფექტურად გამოყენების ერთ-ერთ რეალურ გზად შეიძლება დასახელდეს თბილისი-რუსთავის ურბანული აგლომერაციის გარშემო არსებული 3 წყალსაცავის ერთობლივ გამოყენებაზე აგებული ინტეგრირებული მენეჯმენტის სისტემის ამოქმედება. ბოლო პერიოდში ამ სისტემის ფუნქციონირების ზოგადი სქემა განხილული იქნა ნარომში [17]. მასში აღნიშნულია, რომ იორიარაგვის კომპლექსური პიდროსისტემა, რომელშიც შედის სიონისა და ჟინვალის წყალსაცავები და მათი შემაერთებელი თბილისის წყალსაცავი, მიზნად ისახავს წყლის რესურსების ინტეგრირებულ გამოყენებას ეკონომიკის სხვადასხვა დარგში. კერძოდ, მდ.იორის ჩამონადენი გროვდება სიონის წყალსაცავში და მირითადად გამოიყენება სამგორის სარწყავი სისტემით გარდაბნისა და საგარეჯოს რაიონების სასოფლო-სამეურნეო სავარგულების სარწყავად და ზემო სამგორის ენერგეტიკულ კასკადში შემავალ 4 პიდროელექტროსადგურზე ელექტროენერგიის გამოსამუშავებლად. ამასთან ერთად, სიონის წყალსაცავის დარეგულირებული წყალი ზემო მაგისტრალური არხით ამარაგებს თბილისის წყალსაცავს, რომელიც უზრუნველყოფს თბილისისა და რუსთავის წყალმომარაგებას და მათი შემოგარენის ირიგაციას. თავის მხრივ, ჟინვალის წყალსაცავი ემსახურება მდ. არაგვის წყლით თბილისის წყალმომარაგებას, მცხეთის რაიონის სავარგულების მორწყასა და ჟინვალზე ელექტროენერგიის გენერირებას. ამ წყალსატევებისა და თბილისის წყალსაცავის შეთანხმებულ რეჟიმში მუშაობას დიდი მნიშვნელობა აქვს, რადგან ცვალებადია თითოეული მათგანის როგორც შემოსავლითი ნაწილის მოცულობა, ასევე გამოყენებითი ხარჯი. მიუხედავად იმისა, რომ განხილული ორი მდინარის ხეობა მეზობლადაა განთავსებული, მათი ჩამონადენის პარამეტრები საგრძნობლად განსხვავდება ერთმანეთისგან (ნახ. 7.5 და 7.6), რაც გამოწვეულია მდ. არაგვის კვებაში მყინვარების ნარჩენების მონაწილეობით, მაშინ, როცა მდ.იორი იკვებება მხოლოდ ატმოსფერული ნალექებითა და მიწისქვეშა წყლებით.

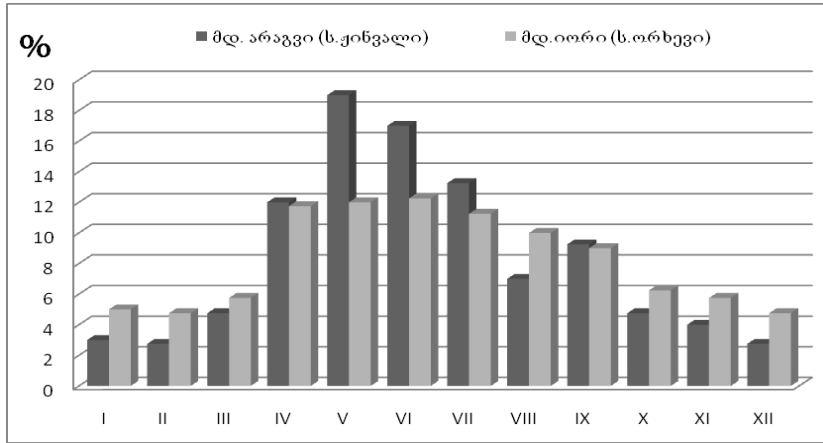
$$\sum_{i=1}^m \frac{(k_i - 1)}{c_v}$$



ნახ. 7.5. მდ არაგვისა და იორის წლიური ჩამონადენის ინტეგრალური მრუდები

სიონისა და ჟინვალის წყალსაცავების რესურსების შეთანხმებული გამოყენებისათვის საჭიროა წყალმოხმარების დროს გარკვეული პერიოდისათვის ჩამონადენის ხარჯის, ანდა მისი უზრუნველყოფის ცოდნა, რათა შემდგომ მასზე დაყრდნობით განისაზღვროს წყალაღების მოცულობის უზრუნველყოფა გვალვის პერიოდში მოსალოდნელი დეფიციტის

გათვალისწინებით. აღნიშნული წყალსაცავების პარალელურ რეჟიმში მუშაობისათვის აუცილებელია მათი მკვებავი მდინარეების ჩამონადენის მრავალწლიური რეევადობის ერთობლივი ანალიზი.



ნახ. 7.6. მდ არაგვისა და იორის ჩამონადენის შიგაწლიური განაწილება პროცენტებში

გაანგარიშებათა მნიშვნელოვან ამოცანას წარმოადგენს ამ მდინარეთა ჩამონადენისა და მათი განმაპირობებელი ფაქტორების ჯგუფური მოდელირებით გათამაშებული სხვადასხვა სცენარების მიღება, რომელთა საფუძვლზეც უნდა შეიქმნას წყალსაცავების ოპტიმალური მართვის სადისახეერო გრაფიკები წყალმოთხოვნილების პრიორიტეტების გათვალისწინებით. ჯგუფური მოდელირების ძირითად სიძნელეს წარმოადგენს ყველა ცვლადისათვის ერთიანი განაწილების კანონის შერჩევა, რომელსაც მარტივი კავშირი ექნება ნორმალურ განაწილებასთან. არანაკლებ მნიშვნელოვანია აგრეთვე წყალსაცავებით მოსარგებლე ხარჯვითი ობიექტების ინვენტარიზაცია და მათი წყალმოთხმარების ნორმების დადგენა, წყლის გამანაწილებელი სისტემის აღჭურვა წყლის ხარჯის გამზომი ხელსაწყოებით და მათი ცენტრალიზებული ქსელის შექმნა, წყლის გამანაწილებელი სისტემის ტექნიკური მომსახურება.

განხილული 3 წყალსაცავის საერთო აუზში ნხევ სამუშაოთა პირველ და მე-5 პოლიგონებზე (ნახ. 7.1) ჩატარების შედეგად მიღებული დამატებითი წყლის რესურსების წილის გამოყოფა წყლის საერთო ხარჯებში ცალკე ამოცანას წარმოადგენს. თუმცა ზამთარში, თოვლის საფარის ფიქსირებულ ტერიტორიაზე ზემოქმედების შედეგად მისი გაზრდის შემთხვევაში ეს ამოცანა შედარებით მარტივად შეიძლება გადაიჭრას.

კონკენტრირ დრუბლებზე ზემოქმედების სამუშაოთა საკმაო პერიოდის (5-10 წლის) განმავლობაში ჩატარების დროს შესაძლებელი გახდება ამ დანამატის იდენტიფიცირება სხვადასხვა ფიზიკური და სტატისტიკური მეთოდების გამოყენებით, თუმცა სამუშაოთა წარმოების პირველ ეტაპზე, სათანადო მეთოდიკის საიმედო ფორმით დამუშავებამდე, აღნიშნული დანამატის სანდო მაღალ დონეზე გამოყოფა, როგორც ჩანს, ჯერ ძნელი იქნება.

წყლის რესურსების ინტეგრირებული მართვის პრინციპები შეიძლება გამოყენებული იქნას აგრეთვე საქართველოს სამხრეთ მთიანეთში შერჩეული პოლიგონებისთვისაც. კერძოდ, მე-6, მე-7 და მე-8 პოლიგონებზე ორივე სეზონში ჩატარებული ზემოქმედების შედეგად ფარავნის ტბაში, წალკისა და ალგეთის წყალსაცავებში დაგროვილი წყლის დამატებითი რესურსები შეიძლება მოხმარდეს ნინოწმინდის, წალკისა და თეთრიწყაროს რაიონების რწყას, ხრამის კასკადისა და ფარავნის ტბის ელექტროსადგურებზე დამატებითი ენერგიის გამომუშავებას, ტურისტულ-რეკრეაციული პოტენციალის გაზრდას ბაკურიანისა და თეთრიწყაროს ბაზებზე, მეთევზეობის განვითარებას პოლიგონებში შემავალი დიდ და საშუალო ზომის წყალსაცავებზე. წყლის ინტეგრირებული მართვის ამოცანა სამხრეთ საქართველოს რეგიონში მოცემულ ეტაპზე შედარებით გაადვილებული იქნება მოცემულ ეტაპზე მსხვილი ქალაქებისა და სამრეწველო საწარმოების არ არსებობით.

დასკვნები

1. აღმოსავლეთ საქართველოს ტერიტორიაზე ნალექთა ხელოვნური გაზრდისთვის პერსპექტიულ რაიონებში პირობითად გამოყოფილია 8 პოლიგონი, რომელთათვისაც შეფასებულია წლის თბილ პერიოდში ზემოქმედებისთვის შესაფერისი კონვექციური უჯრედებისა და მათგან პოტენციურად შესაძლებელი დამატებითი ნალექების რაოდენობა. ეს რიცხვი სხვადასხვა პოლიგონზე შეიძლება იცვლებოდეს კლიმატური ნორმის 6-დან 20%-მდე და საშუალოდ შეადგენს 15%-ს, რაც ჯამში შესაძლებელია აღწევდეს 885 მლნ მ³-ს, წლის ციკ პერიოდში მიწისპირა აეროზოლური გენერატორების გამოყენებით შესაძლებელი იქნება ამავე პოლიგონების მთიან რაიონებში თოვლის სახით კიდევ დაახლოებით 200 მლნ მ³ დამატებითი ნალექის მიღება.
2. საბაზრო ეკონომიკის პირობებში ნებ სამუშაოთა ახალი ფორმით განხორციელების ძიების გზაზე შემოთავაზებულია მათი ჩატარების სავარაუდო ბლოკ-სქემა, რომლის თანახმადაც ფერმერული მეურნეობის უნადდო დაზღვევა წარმოებს საერთაშორისო სადაზღვევო კომპანიის შეილობილი ადგილობრივი სადაზღვევო კომპანიის მიერ. მის შექმნაში მონაწილეობს სოფლის მეურნეობის სამინისტროსთან არსებული მეტეოროლოგიური ტექნოლოგიების ცენტრი, რომელიც მოიზიდავს საერთაშორისო და ადგილობრივ ინვესტიციებს და აყალიბებს მეტეოროლოგიური პროცესების რეგულირების სამსახურს, რომლის მთავარ მიზანს შეადგენს სტიქიისაგან მიყენებული ზარალის შემცირება. ეს სამსახური, სავარაუდოდ, აერთიანებს რამდენიმე სამეცნიერო-საწარმოო განყოფილებას, მათ შორის ნალექთა ხელოვნური გაზრდის, სეტიკასთან ბრძოლის, თოვლის ზვავებისა და წაყინვებთან ბრძოლის განყოფილებებს. ადგილობრივი სადაზღვევო კომპანია უზრუნველყოფს ფერმერულ მეურნეობას მოსავლის მისაღებად საჭირო ყველა კომპონენტების უნადდო დაფინანსებით, რომელიც მოსავლის აღების შემდეგ იფარება მიღებული მოსავლის ნაწილით, ხოლო დანარჩენი ნაწილი გამოიყენება ფერმერული მეურნეობის მიერ თავისუფალ ბაზარზე გასაყიდად.
3. ნალექთა ხელოვნური გაზრდის სამუშაოები შეიძლება შეიცავდეს რიგ სამართლებრივ ასპექტებსაც. ნალექთა სეზონური ჯამების ბუნებრივი ვარიაციების გათვალისწინებით, რომელიც საშუალოდ 20-25% ფარგლებში იცვლება. 5-10 წლის განმავლობაში ნებ სამუშაოებს არ შეუძლია მნიშვნელოვანი გავლენის მოხდენა ბუნებრივი გარემოს დატენიანების რეჟიმზე, თუმცა ფართომასშტაბური და ხანგრძლივი პროექტების განხორციელების შემთხვევაში შესაძლებელია მოხდეს ამ რეჟიმის მდგრადი ცვლილება თანამდევი ეკოლოგიური შედეგებით. ეს შეიძლება უარყოფითად აისახოს საზოგადოების განვითარებაზე, რის გამოც საკითხი დეტალური სამეცნიერო განხილვის საგნად უნდა იქცეს. ნებ სამუშაოებში ზაფხულის პერიოდში ნალექთა სტიმულირებისთვის ეფექტის მისაღწევად ვერცხლის იოდიდის გამოყენებული კონცენტრაციები მცირება და მათი გავლენა გარემოს დაბინძურებაზე უმნიშვნელოა. თუმცა ზამთრის პერიოდში მთიან რაიონებში ნებ სამუშაოების სისტემატიურმა ჩატარებამ შესაძლებელია მოსახლეობის მხრიდან პროექტი გამოიწვიოს გზაზე დიდოთვლობის გამო სატრანსპორტო მოძრაობის შეფერხების შედეგად. ატმოსფერულ პროცესებზე ზემოქმედების კიდევ ერთ სამართლებრივ ასპექტს წარმოადგენს მეზობელ ქვეყნებს შორის ნალექთა ტერიტორიული განაწილების საკითხი. ეს პრობლება ძირითადად შეეხება კახეთის რაიონებში შიდამასიური კონვექციური ღრუბლებიდან ნალექთა მასიურ ხელოვნურ გაზრდას, რაც აზერბაიჯანთან საერთაშორისო თანამშრომლების ფარგლებში შეიძლება იქნას დაძლეული ორივე მხარესთვის სარგებელის მოტანით.
4. ნებ სამუშაოების ახალ პირობებში საწარმოებლად საჭირო იქნება რ/დ დაკვირვებებისა და ღრუბლებში რეაგენტის შეტანის ტექნოლოგიების თანამედროვე ღონებზე აყვანა, დაკვირვების მონაცემთა მიღების, დამუშავებისა და არქივირების წესების შეცვლა, ახ-

ალი სატელეკომუნიკაციო ტექნიკის დანერგვა, რაც შეიძლება ჩატარდეს სამეცნიერო-ტექნიკური ცენტრის „დელტას“ მიერ სეტყვასთან ბრძოლის სამუშაოების წარმოების უახლესი გამოცდილების გამოყენებით.

5. აღმოსავლეთ საქართველოში ნებ სამუშაოთა შედეგად პოტენციურად შესაძლებელი დამატებითი წყლის რესურსები ეფექტურად შეიძლება იქნას გამოყენებული იორი-არაგვის პიდროსისტემაში შემავალი სიონის, ჟინვალისა და თბილისის წყალსაცავების წყლის რესურსების ინტეგრირებული მართვის სტრუქტურაში, რომელიც საშუალებას მოგვცემს წინასწარ დამუშავებული მოდელის მიხედვით ოპტიმალურად გამოვიყენოთ არაგვისა და იორის აუზებში მოსული ნალექები ირიგაციის, პიდროენერგეტიკის, ურბანული წყალმოხმარებისა და სხვა სამეურნეო მიზნებისათვის. წყლის რესურსების ინტეგრირებული მართვის პრინციპები შეიძლება გამოყენებული იქნას აგრეთვე საქართველოს სამხრეთ მთიანეთში არსებული წყალსაცავების (ფარავნის ტბა, წალკისა და ალგეთის წყალსაცავები) აუზებში დრუბლებზე ზემოქმედების შედეგად მიღებული წყლის დამატებითი რესურსების ეკონომიკაში ეფექტური გამოყენებისთვის.

დანართები

დანართი 1.

საქართველოს კპ ცენტრალური კომიტეტი და საქართველოს სსრ
მინისტრთა საბჭო

დადგენილება

ქ. თბილისი

№ 478

1977 წ. 21 ივნისი

ნალექთა ხელოვნური გაზრდის საცდელ-საწარმოო სამუშაოთა ჩატარების შესახებ

საქართველოს კპ ცენტრალური კომიტეტი და საქართველოს სსრ მინისტრთა საბჭო აღნიშნავენ, რომ სარწყავი მიწათმოქმედების შემდგომი განვითარებისთვის მეტად მნიშვნელოვანია დამატებითი წყლის რესურსების ახალი გზების მოძიება, განსაკუთრებით აღმოსავლეთ საქართველოს რაიონებში. ატმოსფეროს ფიზიკის დარგში მოპოვებული თანამედროვე სამეცნიერო მიღწევები აჩვენებს, რომ ერთ-ერთი ასეთ გზას წარმოადგენს ნალექთა გაზრდის მიზნით დღუბლებზე აქტიური ზემოქმედება. სსრკ მინისტრთა საბჭოსთან არსებული ჰიდრომეტეოროლოგიური სამსახურის მთავარი სამმართველოს ამიერკავკასიის სამეცნიერო-კვლევით ჰიდრომეტეოროლოგიის ინსტიტუტში ჩატარებულმა გამოკვლეულმა გამოავლინა ამ დონისძიების განხორციელების პერსპექტიულობა.

რესპუბლიკაში ნალექთა ხელოვნური გაზრდის სამუშაოთა ორგანიზების მიზანშეწონილობის გათვალისწინებით და ამ სამუშაოთა დიდი მნიშვნელობის მედველობაში მიღებით, საქართველოს კპ ცენტრალური კომიტეტი და საქართველოს სსრ მინისტრთა საბჭო ადგენენ:

1. დაევალოს ამიერკავკასიის სამეცნიერო-კვლევით ჰიდრომეტეოროლოგიურ ინსტიტუტს:
 - 1977-1980 წლებში ნალექთა გაზრდის საცდელ-საწარმოო სამუშაოთა ჩატარება, აგრეთვე მდიორის აუზში თიანეთის რაიონის ტერიტორიაზე სეტყვასთან ბრძოლის მიზანშეწონილობის დასადგენად საკონტროლო დაკვირვებათა თრგანიზება როგორც მდინარეების – არაგვის, ქსნის, ლიახვისა და ილტოს აუზებში, ისე ხრამი-ფარავანის წყალშემკრებების ტერიტორიაზე, შემდგომში ნალექთა გაზრდის სამუშაოთა გაფართოების გათვალისწინებით;
 - საცდელ და საკონტროლო ტერიტორიებზე ნალექმზომი და მდინარის ჩამონადენის გასაზომი ქსელით აღჭურვილი ექსპრიმენტული ჰიდრომეტეოროლოგიური პოლიგონის ორგანიზება, ჩატარებულ სამუშაოთა ეფექტურობის შესაფასებელი მეთოდის შესამუშავებლად და ინსტიტუტში სპეციალიზებული ლაბორატორიის შექმნა, ამ სამუშაოთა სამეცნიერო-მეთოდური ხელმძღვანელობის უზრუნველსაყოფად;
 - ჩატარებული გამოკვლეულების ყოველწლიური შეჯამება და 1980 წლისთვის მიღებული შედეგების განზოგადება შეთავაზებული მეთოდის ეფექტურობის შესახებ, და რესპუბლიკის სხვა რაიონებში აღნიშნული მიმართულებით სამუშაოთა შემდგომი გაფართოების შესაძლებლობის რეკომენდაციით;
 - დრუბლებზე ზემოქმედების ოპერაციების ჩატარების შედეგად გარემოს დაბინძურების დონის კონტროლის დაწესება.
2. საქართველოს სსრ სოფლის მეურნეობის სამინისტროს დაევალოს:
- საქართველოს სსრ სოფლის მეურნეობის სამინისტროს სეტყვასთან ბრძოლის გა-სამხედროებული სამსახურის სისტემაში თიანეთის რაიონში ექსპრიმენტულ ჰიდრომეტეოროლოგიურ პოლიგონზე ცალკე სპეციალიზებული რაზმის „იორის“ ორგანიზება 1977-1980 წლებში მდიორის აუზში ნალექთა გაზრდის სამუშაოთა ჩასატარებლად;
- 1977 წელს სეტყვასთან ბრძოლის გასამხედროებულ სამსახურს სპეციალიზებული რაზმის „იორის“ შესაქმნელად გაეზარდოს ხელფასის ფონდი 48.1 ათასი მანეთით საქართველოს სოფლის მეურნეობის სამინისტროსთვის დამტკიცებული ფონდების ხარჯზე;
- 1977 წლის III კვარტალში სეტყვასთან ბრძოლის გასამხედროებულ სამსახურს „იორის“ რაზმისთვის გამოვყოს ერთი სატვირთო ავტომანქანა გაზ-66;
- განახორციელოს 1978 წელს მშენებლობა თიანეთის რაიონში „იორის“ რაზმის ბაზის სეტყვასთან ბრძოლის გასამხედროებული სამსახურის, გურჯაანის გასამხედროებული

ნაწილის ბაზის არსებული პროექტის გამოყენებით, აგრეთვე ოთხი სარეკეტო საგუშაგოს აგება.

3. ეთხოვოს სსრკ მინისტრთა საბჭოსთან არსებულ ჰიდრომეტეოროლოგიური სამსახურის მთავარ სამმართველოს:
- ა) გამოუყოს ამიერკავკასიის სამეცნიერო-კვლევით ჰიდრომეტეოროლოგიურ ინსტიტუტს დამატებითი საშტატო ერთეულები, ხელფასის ფონდი და აღჭურვილობა ექსპერიმენტული ჰიდრომეტეოროლოგიური პოლიგონის ქსელის მოსაწყობად და მომსახურების უზრუნველსაყოფად;
 - ბ) დაავალოს სსრკ მინისტრთა საბჭოსთან არსებული ჰიდრომეტეოროლოგიური სამსახურის მთავარი სამმართველოს საქართველოს სსრ სეტყვასთან ბრძოლის ცალკე გასამხედროებულ ნაწილს:
 - ამიერკავკასიის სამეცნიერო-კვლევით ჰიდრომეტეოროლოგიურ ინსტიტუტთან ერთად 1977 წელს ჩაატაროს მდ.იორის აუზში ნალექთა გაზრდის სამუშაოთა საწარმოებლად საჭირო რ/ლ დაკვირვებები, რისთვისაც გამოუყოს ხსენებულ ინსტიტუტს ერთი რ/ლ სადგური მრღლ-1;
 - აღიჭურვოს საქართველოს სსრ სოფლის მეურნეობის სამინისტროს სეტყვასთან ბრძოლის სამსახურის სისტემაში შექმნილი „იორის“ რაზმის საცეცხლე წერტილები საზენიტო ქვემეხებით KC-19, რისთვისაც გამოუყოს 1977 წელს „იორის“ რაზმს 4 საზენიტო ქვემეხები KC -19 და პიგროსკოპული რეაგენტით შევსებული 300 ჭურვი „ტებრიც-4“;
 - გაუწიოს დახმარება „იორის“ სპეციალიზებულ რაზმს კადრების მომზადებაში და რ/ლ სადგურისა და საზენიტო ქვემეხების ტექნიკურ მომსახურებაში.
4. საქართველოს სსრ სოფლის მეურნეობის სამინისტრომ დააფინანსოს სოფლის მეურნეობის სამინისტროს სეტყვასთან ბრძოლის გასამხედროებული სამსახურისა და ცალკე გასამხედროებული სამსახურისთვის 1977 წელს გათვალისწინებული სამუშაოები სამინისტროსთვის გამოყოფილი თანხების ხარჯზე.
5. დაევალოს საქართველოს სსრ ფინანსთა სამინისტროს და საქართველოს სსრ სოფლის მეურნეობის სამინისტროს ყოველწლიურად, დაწეებული 1978 წლიდან, რესპუბლიკის ბიუჯეტის პროექტებში გათვალისწინებულ იქნას ნალექთა გაზრდის საცდელ-საწარმო სამუშაოთა დაფინანსება ამირკავკასიის სამეცნიერო-კვლევითი ჰიდრომეტეოროლოგიური ინსტიტუტის წარდგინების შესაბამისად.
6. დაევალოს საქართველოს სსრ კავშირგაბმულობის სამინისტროს:
- 1977 წლის IV კვარტლიდან გადაეცეს იჯარით ამირკავკასიის სამეცნიერო-კვლევით ჰიდრომეტეოროლოგიის ინსტიტუტს თიანეთი-თბილისის სატელეფონო კავშირის მაღალი სიხშირის არხი სამოქალაქო ავიაციისა და სამხედრო-საპარტო ძალების ორგანოებთან მუდმივი კავშირის უზრუნველსაყოფად;
 - გამოეყოს ქ. თბილისში ამიერკავკასიის სამეცნიერო-კვლევით ჰიდრომეტეოროლოგიურ ინსტიტუტს სატელეფონო ხაზის ერთი ნომერი „იორის“ რაზმსა და სამოქალაქო ავიაციისა და სამხედრო-საპარტო ძალების ორგანოებს შორის სამუშაოთა კოორდინაციისთვის.
7. დაევალოს თიანეთის რაიონის მშრომელთა დეპუტატების საბჭოს აღმასრულებელ კომიტეტს:
- ამიერკავკასიის სამეცნიერო-კვლევით ჰიდრომეტეოროლოგიურ ინსტიტუტთან და საქართველოს სსრ სოფლის მეურნეობის სამინისტროს სეტყვასთან ბრძოლის გასამხედროებულ სამსახურთან ერთად, განიხილოს საკითხი შესაბამისი პროექტებით გათვალისწინებული ბაზისა და ოთხი საცეცხლე წერტილის ასაშენებლად „იორის“ რაზმის მიწის ნაკვეთების გამოყოფისა და დაგენერილ ვადაში საქართველოს სსრ მინისტრთა საბჭოში წინადაღებების წარდგენის შესახებ;
 - მიიღოს ზომები საჭირო პირობების შესაქმნელად „იორის“ რაზმის ნორმალური მუშაობის საწარმოებლად და საცეცხლე წერტილების ელექტროგანათებითა და მისახვლელი გზებით უზრუნველსაყოფად;
 - გაეწიოს დახმარება „იორის“ რაზმს ტექნიკური პერსონალის საჭირო კადრებით

დაკომპლექტების საქმეში.

8. დაევალოს მშრომელთა დეპუტატების თბილისის საქალაქო საბჭოს აღმასრულებელ კომიტეტს ამიერკავკასიის სამეცნიერო-კვლევით პიდრომეტეოროლოგიურ ინსტიტუტთან ერთად შეარჩიოს და გამოყოს მიწის ნაკვეთი, ხსენებული ინსტიტუტის სავალე ექსპერიმენტული ბაზის ცენტრის ასაშენებლად ქ. თბილისის საქართველო.

საქართველოს კპ ცენტრალური
კომიტეტის მდივანი
ე. შევარდნაძე

საქართველოს სსრ მინისტრთა საბჭოს
თავმჯდომარე
ზ.პატარიძე

დანართი 2.

მსოფლიო მეტეოროლოგიური ორგანიზაციის ნალექთა გაზრდის პროექტის მოკლე
მიმოხილვა – 1985წ. (ნებ მოხსენება №34). უენევა, 1987წ.

Краткий обзор проекта ВМО по увеличению осадков – 1985г. (Доклад ПУО №34). Женева,

1987г.

რეზიუმე

ნალექთა ხელოვნური გაზრდის (ნებ) პროექტის საწყის ამოცანას წარმოადგენდა ნალექთა შესამჩნევი გაზრდის მიზნით ამინდზე ზემოქმედების მეცნიერულად დასაბუთებული სამუშაოების დემონსტრირება. თავიდანვე იგულისხმებოდა, რომ არსებული ცოდნა საგმარისი იყო, რათა პროექტის ფარგლებში უარი თქმულიყო უშუალოდ პკლევით კომპონენტები პროექტი წარმოადგენდა ერთობლივ დონისძიებას, რომელშიც მონაწილეობდნენ ცალკეული მეცნიერები, ინსტიტუტები, დამოუკიდებელი სახელმწიფოები და საერთაშორისო ორგანიზაციები; ამავე დროს მისი დაგეგმარება და განხორციელება დაევალა მსოფლიო მეტეოროლოგიურ ორგანიზაციას (მმო).

თავდაპირველად პროექტის დაწყება დაგეგმილი იყო 1974 წელს, აფრიკაში საჰელის ზონაში წყლის უკმარისობასთან დაკავშირებული სიტუაციის გაუმჯობესებაში შესაძლო წვლილის სადემონსტრაციოდ. ღრუბლებზე ზემოქმედების ჩასატარებლად მიღებულ იქნა სამეტაპიანი შერჩევის პროცესი პოლიგონისა, სადაც არსებობდა საჩვენებელი პროექტის განხორციელებისათვის დამაკმაყოფილებელი პირობები. პროექტის წინაშე დასმული ამოცანები საცმაოდ ვიწრო და შეზღუდული იყო. კერძოდ, ზემოქმედების საღემონსტრაციო ეტაპზე ხუთწლიანი პერიოდის განმავლობაში უნდა მიღწეულიყო მეცნიერულად დასაბუთებული შედეგების მიღება.

დასმული ამოცანის გადასაჭრელად მმო-ს წევრების მიერ შეთავაზებულ იქნა 16 პოლიგონი. მატერიალურ-ტექნიკური მომარაგების, პოტენციური საწევრო გადასახადებისა და კლიმატოლოგიისა და ღრუბლელთა ფიზიკის რეპერული სისტემების არსებობის პირობების გათვალისწინებით შერჩეულ იქნა მდ. ღუეროს აუზი ესპანეთში, რომელიც უნდა გამხდარიყო საველე გაზომვების პოლიგონი ნებ წინაშე დასმული ამოცანების გადასაჭრელად.

საველე გაზომვები ტარდებოდა ორიდან ოთხ თვემდე ხანგრძლივობის პერიოდების განმავლობაში 1979, 1980 და 1981 წლებში. ღრუბლებზე ზემოქმედების სამუშაოები ამ პერიოდებში არ ჩატარებულა. მიმდინარეობდა მხოლოდ სინოპტიკურიდან დაწყებული ღრუბლელთა მიკრომასშტაბით დასრულებული მონაცემების შეგროვება და ანალიზი. ამ სამუშაოს შედეგად შემუშავებულ იქნა რიგი ახალი მეთოდებისა ყინულწარმომქმნელი ნივთიერებებით ნალექთა გაზრდის პოტენციალის შესაფასებლად, თუმცა ანალიზის სხვადასხვა მეთოდება გამოიწვია ურთიერთსაწინააღმდეგო შედეგების მიღება. თვით ანალიზის მეთოდებიც აღმოჩნდა შეუმოწმებელი და ერთმანეთთან შეუთავსებელი. ამიტომ პოლიგონის შესაფერისობის შესახებ დასკვის გამოგანამდე საჭირო გახდა სამეცნიერო და არა საღემონსტრაციო ხასიათის დამატებითი გამოკვლევების ჩატარება. მაგრამ საფინანსო სიმძლეებთან დაკავშირებით საველე სამუშაოებზე ორიენტირებული საჭირო კვლევების განხორციელება შეუძლებელი აღმოჩნდა 1983 წლამდე.

ამინდზე ხელოვნური ზემოქმედების სამეცნიერო და ტექნიკური ასპექტები ჩატარებული სამუშაოების შედეგად გამდიდრდა შემდეგი მონაპოვრებით:

– ტექნოლოგიის გადაცვა:

- ა) გაჩნდა დეტალური მონაცემები სამეცნიერო საზოგადოების თანამედროვე შეხედულებებზე ნალექთა ხელოვნური გაზრდის პროექტის დაგეგმარებისა და სამეცნიერო გამოკვლევების შესახებ და დაიწყო ამ იდეების რეალურ გარემოში გამოყენების დემონსტრირება. აღნიშნულ საკითხებს ეძღვნება ნებ სერიაში მმო-ს მიერ გამოქვენებული 33 მოხსენება;
- ბ) შეიქმნა საექსპერტო სისტემა ჩვეულებრივ მეტეოროლოგიურ მონაცემთა გამოყენებით ნალექთა გაზრდის პოტენციალის შესაფასებლად.

- მეთოდური სამუშაოები:

ა) შეიქმნა მათემატიკური სქემები (მოდელები), რომლებშიც განსაკუთრებული ადგილი უჭირავს მეტეოროლოგიური რადიოლოგიატორების ან მფრინავი ლაბორატორიების მონაცემებს (ორივე შემთხვევაში საქმე გვაქვს საველე მონაცემებითან), რომელთა დახმარებით შესაძლებელია რაოდენობრივი გამოთვლების ჩატარება ნალექთა იმ მოცულობის შესახებ, რომელიც შეიძლება მიღებული იქნას ლრუბელზე ზემოქმედების შედეგად;

ბ) შემუშავდა მეთოდი, რომლის დახმარებითაც თვითმფრინავი ლრუბლობს მონაცემებს ლრუბელთა მიკროფიზიკური თვისებების შესახებ; ეს მეთოდი შესაძლებელია ექსტრაპოლირებული იქნას მთელ საკვლევ რაიონზე იმისთვის, რომ შეფასდეს ზემოქმედების შედეგად ნალექთა პოტენციური გაზრდის ფარგლები;

გ) გამოვლინდა ორი პიპოთეზა მეთოდების შესახებ, რომელთა დახმარებით შესაძლებელია მეტეოროლოგიური რადიოლოგიატორებით მიღებული ინფორმაციის გამოყენება კრცელი საღრუბლო სისტემებიდან ზემოქმედების შედეგად ნალექთა გაზრდის შესახებ;

(გ) დამუშავდა მეთოდი, რომელიც საშუალებას იძლევა მეტეოროლოგიური რადიოლოგიატორის საპროგნოზო მონაცემებით დადგენილ იქნას ნალექებზე ზემოქმედების მოსალოდნელი შედეგები.

- სამეცნიერო გამოკვლევები:

ა) მიმდინარეობს ბუნებრივი და ზემოქმედებაქმნილი ლრუბლების ევოლუციის რიცხვითი გამოკვლევები, რის შედეგადაც მიიღება ახალი პიპოთეზები, რომლებიც უკავშირდება დიდი და სტრატიფიცირებული საღრუბლო სისტემების „დინამიკური“ დამუშავების პოტენციალს;

ბ) მიღებულ იქნა უნიკალური ინფორმაცია ფართომასშტაბური ლრუბლიანობის მიკროფიზიკური აგებულებისა და დინამიკური თვისებების შესახებ. ეს მონაცემები, რომლებიც ასახავს ყინულის ნაწილაკების ჩვეულებრივზე მაღალ და მოულოდნელ კონცენტრაციას, მოითხოვს მიზეზების ახსნა-განმარტებას;

გ) არსებობს სარწმუნო მოწმობა იმისა, რომ სამრეწველო გამონაბოლქვის კვამლის ნაკადს შეუძლია ნალექთა გამოწვევა, რაც ამინდზე გაუთვალისწინებელი ზემოქმედების დიდ მნიშვნელობასთან ერთად გულისხმობს ნალექთა გაზრდის წინასწარ გამიზნულ შესაძლებლობას.

ნებ პროექტის ფარგლებში წარმატებით გამოიყენებოდა მის წინაშე დასახული ამოცანების შესასრულებლად გამოყოფილი რესურსები. პროექტის შეჩერება მანამდე, სანამ შესაძლებელი გახდა მისი მიზნების მიღწევა, დამახასიათებელია ამინდზე ზემოქმედების ექსპერიმენტების უმეტესი ნაწილისთვის. სამწუხაროდ, პროექტის ნაადრევი შეჩერების ან შეწყვეტის შესახებ გადაწყვეტილების მიღება, რომელიც გამოწვეულია ეკონომიკური თუ სხვა არაფიზიკური მიზეზებით, ხშირ შემთხვევაში უმართებულოდ აღიმება როგორც ნებ პროექტის მიერ მის წინაშე დასმული ფიზიკური ამოცანების დაძლევის შეუძლებლობა. ამ ფაქტის მართებული ახსნა მდგომარეობს იმაში, რომ ძალიან ძნელია ინტერესის შენარჩუნება პროექტისადმი, რომლის დასრულება მოითხოვს მრავალ წელს და რომლის შედეგი წინასწარ არ არის განსაზღვრული. ასეთ დროს ძნელია ეოველწლიური შედეგების დემონსტრირება, რაც იწვევს სპონსორების მხრიდან ინტერესის ნაადრევ კარგვას ექსპერიმენტისადმი მანამადე, სანამ მიღებული იქნება მეცნიერულად დასაბუთებული შედეგები. ამიტომ ამინდის მოვლენებზე ხელოვნური ზემოქმედების პროექტები როგორც ეროვნულ, ისე საერთაშორისო დონეზე, უნდა იგაგმებოდეს ისეთნაირად, რომ მნიშვნელოვანი ქვეამოცანების შესრულება ესწრებოდეს დროის ისეთ მონაკვეთებში, რომ იძლეოდეს პროექტის გაგრძელების სტიმულს.

პროექტმა ცხადყო, რომ სხვადასხვა სოციალურ-პოლიტიკური წყობის ქვეყნების მეცნიერებს შეუძლიათ აღნიშნულ დარგში ენთუზიაზმით ერთად მუშაობა დროის

ხანგრძლივი პერიოდის განმავლობაში (რამდენიმე თვე წელიწადში, სულ მცირე სამი წლის განმავლობაში). პროექტში მონაწილე ყველა ცნობილმა მეცნიერმა მასში მონაწილეობის გაგრძელების სურვილი გამოიქვა.

ამინდის მოვლენებზე ხელოვნური ზემოქმედების დარგში მეცნიერებამ და ტექნიკამ ჯერ ვერ მიაღწია ისეთ მდგომარეობას, რომ პროექტის, და კერძოდ ნებ მიმართულების სადემონსტრაციო ნაწილის ჩატარება პრაქტიკულად გამართლებული იყოს. სადემონსტრაციო სტადიის ჩატარებამდე საჭიროა სამეცნიერო გამოკვლევების შესრულება.

სამწლიანი ექსპერიმენტირების მონაცემთა ანალიზში აჩვენა, რომ მდ. დუეროს აუზი არ აკმაყოფილებს ნებ პროექტის წინაშე დასმული ამოცანების შესრულების მოთხოვნებს. ამ დასკვნის შესამოწმებლად საჭიროა ნებ ახალი პროექტის რეალური ჩატარება პოლიგონზე, რომელიც შესაძლებელს გახდის პროექტის ეკონომიკურ მხარდაჭერას. მიუხედავად ამ წინააღმდეგობრივი შენიშვნებისა, ესპანეთში განხორციელებულმა ნებ პროექტმა გზა გაუკვალა მეცნიერულად დაგეგმილ და მომავალში ჩასატარებელი ამინდის მოვლენებზე ზემოქმედების შემდგომ პროექტებს, რომლებიც მოწოდებული იქნება თეორიულად მიღებული რეკომენდაციების შესამოწმებლად ამინდის მოვლენებზე ზემოქმედების სფეროში.

1979-1981 წლების განმავლობაში ნებ პროექტის შესრულებაში დაკავებული იყო 10 ქვეყნის 231 სპეციალისტი, მათ შორის დაგეგმარებასა და ხელმძღვანელობაში 29 მეცნიერი, 100 – სავალე სამუშაოების განხორციელებაში (ტექნიკური პერსონალის გარდა) და 102 – სხვადსხვა დროს მოწვევული სამეცნიერო კონსულტანტი.

პროექტის შესრულების ეტაპები

1. მოსამზადებელი ეტაპი

* ამინდზე ხელოვნური ზემოქმედების პროგრამის დამტკიცება მმო მეშვიდე კონგრესზე (1975წ.), რომელშიც შედიოდა ნებ პროექტის გეგმის განხილვაც.

* ნებ პროექტის მიზნების ჩამოყალიბება მმო აღმასრულებელი საბჭოს 28-ე სესიაზე (1976). ეს მიზნები მოიცავდა შემდეგ ამოცანებს:

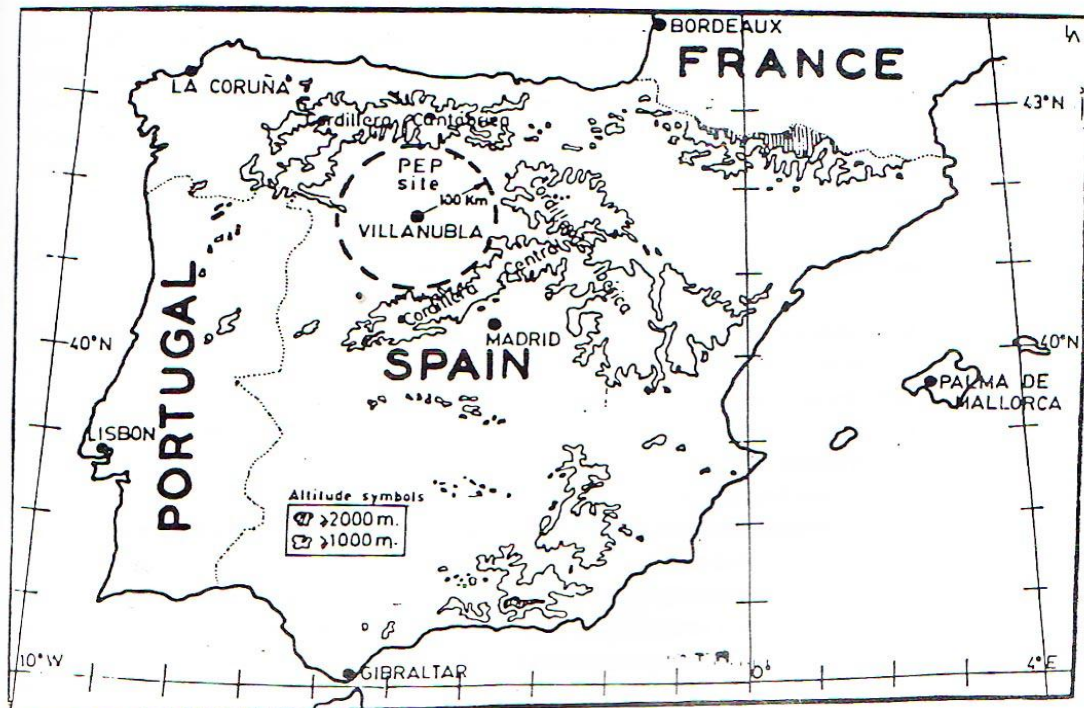
- ა) ნებ ექსპერიმენტული სამუშაოების ჩატარება 10 000 კმ² საცდელ ტერიტორიაზე, რომელიც უნდა შედიოდეს პროექტის მთლიან ტერიტორიაში, საკონტროლოს ჩათვლით, ფართობით 50 000 კმ²;
 - ბ) სტატისტიკური უზრუნველყოფის დამაკმაყოფილებელ დონეზე ნალექთა გაზრდის დემონსტრირება შედარებით ხანმოკლე პერიოდში (დაახლოებით 5 წელიწადში);
 - გ) საცდელ ტერიტორიაზე მეტეოროლოგიური მოვლენებისა და ღრუბელთა ფიზიკის პროცესების საკმარისი სიდროით გარკვევა, რათა უზრუნველყოფილი იქნას სტატისტიკური კავშირი ღრუბლებზე ზემოქმედებასა და ნალექთა ნებისმიერ ცვლილებას შორის.
 - დ) გამოკვლევების წარმოება ექსპერიმენტის ჩატარების მოსაზღვრე ტერიტორიებზე ნალექთა რეჟიმის ცვლილების დასადგენად საცდელ ტერიტორიაზე ზემოქმედების შედეგად;
 - ე) ზემოქმედების გავლენის შეფასება ღრუბლებში მიმდინარე მეზო – და მიკრომასშტაბურ პროცესებზე;
 - ვ) ღრუბლებზე ზემოქმედების ეფექტის ოპტიმიზაცია ღრუბლებში მიმდინარე პროცესების უფრო დეტალური შესწავლის გზით;
 - ზ) ნებ პროცედურების გამოყენების რეკომენდაციები დედამიწის სხვა რაიონებში;
 - თ) ბუნებრივ გარემოზე ნებ პროექტის ზემოქმედების შეფასება.
- ამავე წელს შეიქმნა ნებ პროექტის საბჭო, რომელშიც შედიოდნენ აღმასრულებელი საბჭოს ექსპერტთა ჯგუფი და სამეცნიერო დაგეგმარების ჯგუფი. საბჭომ შეიმუშავა ექსპერიმენტის ჩატარების გეგმა, რომელიც დაყოფილ იქნა 3 ფაზად:
- ა) მომზადება, პოლიგონის შერჩევის ჩათვლით (2-3 წელი);

- ბ) საველე ექსპერიმენტის ჩატარება, რომელიც მოიცავდა ღრუბლებზე ზემოქმედების წარმოებასა და დადგენილი გაზომვების შესრულებას (სავარაუდოდ 5 წელი);
 გ) შეფასება, მათ შორის მონაცემთა შეგროვება და მათი ნაწილობრივი ანალიზი (სავარაუდოდ 1 წელი).

მოსამზადებელი ეტაპის მთავარ კომპონენტად ჩათვლილი იქნა პოლიგონის შერჩევის ფაზა. ექსპერტთა ჯგუფის მიერ წინასწარ შემუშავდა კრიტერიუმების სია, რომელსაც უნდა აკმაყოფილებდეს შესარჩევი პოლიგონი: იგი უნდა მდებარეობდეს მსოფლიოს ნახევრად არიდულ რეგიონში, ხასიათდებოდეს ბუნებრივი ღრუბლიანობისა და ნალექების (არა უმცირეს 250 მმ) საქმარისი რეგულარული რაოდენობით, მისი ფართობი უნდა შეადგენდეს რიგით 50 000კმ², საიდანაც ექსპერიმენტები უნდა ტარდებოდეს დაახლოებით 10 000კმ² ფართობზე, შერჩეული ტერიტორიისთვის უნდა არსებობდეს ნალექებზე რეგულარული დაკვირვების ისტორიული რიგები ხანგრძლივობით სულ მცირე 10 წელი, საცდელ და საკონტროლო ტერიტორიებზე მოსულ ნალექთა შორის უნდა არსებობდეს მაღალი კორელაცია და ნალექთა ბუნებრივი რყევადობა არ უნდა იყოს დიდი, რათა შესაძლებელი იყოს 5-წლიან პერიოდში ნალექთა 10-15%-იანი ნაზრდის დადგენა სტატისტიკურად მისაღებ ნიშანდ დონეზე, პოლიგონზე უნდა არსებობდეს შესავერისი ინფრასტრუქტურა და შესაძლებელი უნდა იყოს მასზე მიღებული შედეგების გათვალისწინებით ანალოგიური პროექტების განხორციელება დედამიწის სხვა რეგიონებიც.

ამ მოთხოვნების გათვალისწინებით პოლიგონის შესარჩევად განხილულ იქნა შემდეგი ქვეყნები: ალეკირი, ავსტრალია, ინდოეთი, ესპანეთი, ტუნისი და თურქეთი, სარეზერვოდ ჩაითვალა არგენტინა და მექსიკა.

1978 წლის აპრილში პროექტის აღმასრულებელმა საბჭომ წევრთა გამოკითხვის შედეგად გადაწყვიტა პოლიგონის შერჩევა ესპანეთში. საველე ოპერაციების დაწყება დაინიშნა მდ. დუეროს აუზში 1979 წლის იანვრიდან. ნებ პროექტის ჩატარების ადგილი (PEP site), რომლის ცენტრია ქ. ვილანუბა, ნაჩვენებია ნახ. დ1-ზე.



ნახ. დ1-1 – ესპანეთში 1979-1981 წლებში ნებ ექსპერიმენტის ჩასატარებლად შერჩეული ტერიტორია.

2. საველე ექსპერიმენტების ჩატარების ეტაპი

საველე ექსპერიმენტების ჩატარების ეტაპი მოიცავდა 3 საველე სეზონის განმავლობაში (1979-1981წწ.) ჩატარებულ სამუშაოებს.

პირველი საველე სეზონი (14.III – 8.V. 1979) შესრულდა შემდეგი ქვეყნების მონაწილეობით და მათ მიერ მოწოდებული ხელსაწყო-დანადგარების გამოყენებით:

- ა) ღრუბელთა ფიზიკა (თვითმფრინავები)
 - DC -7 (საფრანგეთი)
 - კუინ-ეირი (აშშ)
 - საპარავო სივრცის კონტროლი (ესპანეთი)
- ბ) სინოპტიკური დაბორატორია
 - სინოპტიკური სადგურების ქსელი (ესპანეთი)
 - ამინდის პროგნოზი (მმო, ესპანეთი, აშშ)
 - ისტორიული სინოპტიკური მონაცემები (მმო, ესპანეთი, აშშ, საფრანგეთი)
 - დედამიწის ხელოვნური თანამგზავრი (დხო) (საფრანგეთი)
 - კავშირგაბმულობა (ესპანეთი)
 - რადიოზონდირება (საფრანგეთი, ესპანეთი)
- გ) მიწისპირა გაზომვები (ადგილობრივ დონეზე)
 - ნალექმზომი ქსელი (ესპანეთი)
 - წვიმის წვეთების გაზომვა (შვეიცარია)
 - ღრუბელთა მიკროფიზიკა (საფრანგეთი, ესპანეთი)

მთაგარი კომპონენტი, რომელიც აკლდა გაზომვების ჩატარებას, იყო მეტეოროლოგიური რადიოლოგიატორი, რომელიც გეგმის თანახმად, უნდა მოეწოდებინა საბჭოთა კავშირს.

მეორე საველე სეზონში (13.II – 9.V. 1980) მონაწილეობდნენ შემდეგი ქვეყნები მათ მიერ შემოთავაზებული ტექნოლოგიებით:

- ა) ღრუბელთა ფიზიკის შემსწავლელი თვითმფრინავები
 - კუინ-ეირი (აშშ)
 - ჰაიპერ აცტეკი (საფრანგეთი)
 - სესნა 206 (საფრანგეთი)
 - საპარავო სივრცის კონტროლი (ესპანეთი)
 - კავშირი (ესპანეთი, აშშ, საფრანგეთი)
- ბ) მეტეოროლოგიური რადიოლოგიატორები
 - მრლ-5 (სსრკ)
 - მონაცემთა ციფრული რეგისტრატორი მრლ-5-თვის (კანადა)
 - BCP-74 (ესპანეთი)
- გ) სინოპტიკური დაბორატორია
 - სინოპტიკური სადგურების ქსელი (ესპანეთი)
 - ამინდის პროგნოზი (ესპანეთი)
 - დხო (საფრანგეთი, ესპანეთი)
 - კავშირი (ესპანეთი)
 - რადიოზონდირება (ესპანეთი, საფრანგეთი)
- დ) მიწისპირა გაზომვები (ადგილობრივ დონეზე)
 - ნალექმზომი ქსელი (ესპანეთი)
 - წვიმის წვეთების სპექტრის გაზომვა (შვეიცარია)
 - კრისტალიზაციისა და კონდენსაციის გულების გაზომვა (საფრანგეთი, ესპანეთი, ბულგარეთი, ავსტრალია)
 - ღრუბელთა ფოტოგრაფირება (საფრანგეთი, აშშ)
- ე) საველე მონაცემთა ანალიზი
 - თვითმფრინავის მონაცემები (აშშ, საფრანგეთი)
 - რ/ლ მონაცემები (სსრკ)

- სინთეზი (მმო, ბულგარეთი, კანადა)
- მესამე საველე სეზონში (I.II–26.V.1981) ათმა ქვეყანამ მიაწოდა ნებ პროექტს მატერიალური მომარაგება და/ან პერსონალი. მათ შორის:

 - ა)ღრუბელთა ფიზიკა (თვითმფრინავიდან წარმოებული დაკვირვებები)
 - კუინ-ეირი (აშშ)
 - პაიპერ აცტეკი (საფრანგეთი)
 - სესნა 206 (საფრანგეთი)
 - ბ)ღრუბელთა ფიზიკა (მიწისპირა დაკვირვებები)
 - წვიმის წვეთების გაზომვა (საფრანგეთი)
 - ღრუბელთა სიმაღლის გაზომვა (ესპანეთი)
 - ნალექმზომი ქსელი (ესპანეთი)
 - კონდენსაციის გულების გაზომვა (საფრანგეთი)
 - გ) დისტანციური რ/ლ გაზომვები
 - მრლ-5 (სსრკ)
 - სიგნალების ციფრული რეგისტრატორი მრლ-5-თვის (კანადა)
 - რ/ლ სისტემა „დოპლერი-8 მმ“ (საფრანგეთი)
 - რ/ლ სისტემა „დოპლერი-3 სმ“ (საფრანგეთი)
 - რადიოლოკატორი BCP – 74 (ესპანეთი)
 - ტექნიკური მომსახურება (მექანიკა, შეკიცვია)
 - დ) სინოპტიკური ლაბორატორია
 - სინოპტიკური სადგურების ქსელი (ესპანეთი)
 - ამინდის პროგნოზი (ესპანეთი, აშშ, მმო)
 - დხო (საფრანგეთი)
 - კავშირი (ესპანეთი)
 - რადიოზონდირება (ესპანეთი)
 - მონაცემთა ანალიზი (ბულგარეთი, პოლონეთი, ესპანეთი, იუგოსლავია და მმო).

ნებ ექსპერიმენტის გეგმის თანახმად საველე სეზონებში სამეცნიერო დაკვირვებების გარდა სხვა პერიოდებში საცდელ ტერიტორიაზე კიზიზოდურად წარმოებდა ზემოქმედება ღრუბლებზე, რომლებიც აქმაყოფილებდა „ზემოქმედებისთვის ვარგისიანობის“ კრიტერიუმებს (გეომეტრიული ზომები, დინამიკური მახასიათებლები, მიკროფიზიკური სტრუქტურა და სხვ.). ზემოქმედება ტარექტოდა თვითმფრინავის ბორტიდან შესაფერის ღრუბლებზე იმ ვარაუდით, რომ სამუშაო პერიოდის ბოლოსთვის შესაძლებელი გახდებოდა მიღებული შედეგებით ზემოქმედების ეფექტის დადგენა ნალექთა სეზონურ ჯამებზე და საკონტროლო ტერიტორიასთან შედარებით ამ სხვაობის შეფასება. ამავე დროს წარმოებდა ცალკეულ ღრუბლებზე ზემოქმედების ეფექტის ფოტორეგისტრირება. პროექტის საბოლოო ანგარიშში შეფასებათა გაურკვევლობის გამო ზემოქმედების შედეგები არ არის განხილული. ღრუბლებზე რანდომიზებული ზემოქმედების ჩატარების საკითხი დაისვა მხოლოდ 1981 წლის საველე სეზონის დასრულების შემდეგ.

3. მონაცემთა ანალიზი და მიღებული შედეგების შეფასება

ნებ პროექტის განხორციელებისას, განსაკუთრებით მისი საველე სეზონის მესამე ფაზის შესრულების დროს, განსაკუთრებული ფურადება დაეთმო პროექტის ფარგლებში მიღებული მონაცემებისა და შედეგების ანალიზს. განხილული საკითხებიდან ერთ-ერთი მთავარი იყო პოლიგონის ვარგისიანობის (switability) შეფასება ნებ ექსპერიმენტის ჩასატარებლად. მონაცემთა ანალიზის შედეგად მიღებულ იქნა შემდეგი შედეგები.

3.1. პროექტის წინაშე დასმულ ამოცანაზე პასუხის გასაცემად პოლიგონის შეფასების მთავარ კრიტერიუმს წარმოადგენდა ჩვენება იმისა, რომ საცდელ ტერიტორიაზე შედარებით მოკლე დროის განმავლობაში (5 წელი) ნიშნადობის საკმარის დონეზე დედამიწის

ზედაპირზე მიღებული ნალექთა ნებისმიერი გაზრდა დაკავშირებულია ზემოქმედებასთან და არ არის შემთხვევით.

მონაცემთა მრავალმხრივი ანალიზის შედეგად დადგენილ იქნა, რომ ოროგრაფია შერჩეული რაიონისა, რომელიც მოიცავს მდ. დუეროს აუზს, აღნიშნული თვალსაზრისით არადამაკმაყოფილებელია. საცდელი ტერიტორია მდებარეობს დაახლოებით 800 მ სიმაღლეზე და ხასიათდება ვაკე რელიეფით, მაგრამ უმცირესწილად გარშემორტყმულია მაღლობებით, რის გამოც მეტეოსისტემები იძლევა ნალექებს ამ მაღლობების ქარპირა მხარეებზე, საცდელ ტერიტორიაზე ფიონური ეფექტის გამო აღწევს გამომშრალი სახით და მათი ნალექწარმომქმნელი ეფექტურობა დაბალია. მომავალში სხვა პოლიგონის შერჩევისას უპირატესობა უნდა მიეცეს უფრო მთიანი რელიეფის მქონე ტერიტორიას, რომელიც ხელს შეუწყობს ოროგრაფიულ ბარიერზე შექმნილი, განვითარების უფრო ხანძოკლე პერიოდის მქონე დრუბლების წარმოქმნას. ამასთან დაკავშირებით, მომავალში საცდელ და საკონტროლო პოლიგონებზე უნდა შეიქმნას ნალექმზომთა ოპტიმალური ქსელი, რომელიც უნდა ეყრდნობოდეს ნალექთა გელების რიცხვით მოდელირების შედეგებს.

3.2. სამივე საველე სეზონში თვითმფრინავების გამოყენებით ჩატარებულმა გაზომვებმა აჩვენა, რომ საკვლევ რეგიონში დრუბლელთა მიკროფიზიკური აგებულება/სტრუქტურა მოსალოდნელზე გაცილებით უფრო რთულია. განსაკუთრებით ბევრი საკითხი წამოიჭრა ყინულწარმომქმნელი და კონდენსაციის გულების წარმოშობისა და მათი ურთიერთქმედების პროცესებთან დაკავშირებით. მან გამოიწვია ზემოქმედების შედეგად ნალექთა პოტენციურად შესაძლებელი ნაზრდის შეფასების გაუმჯობელობა, რამაც კიდევ ერთხელ გაუსვა ხაზი საცდელ ტერიტორიაზე კვლევითი ფაზის გაგრძელების აუცილებლობას. დრუბლელთა მიკროფიზიკური სტრუქტურა უშუალოდ კავშირში აღმოჩნდა სინოპტიკურ პროცესებთან, რომელთა ზეგავლენით ყალიბდება საკვლევ რეგიონში შემოჭრილი ჰაერის მასები და მათში წარმოქმნილი საღრუბლო სისტემები:

3.3. ნებ ჯგუფის ექსპერტთა სამუშაო ჯგუფის XIII სესიაზე (1982 წლის მარტი)

პოლიგონის შერჩევის ანალიზის შედეგად მიღებულ იქნა შემდეგი დასკვნები:

- ა) მდ. დუეროს აუზში არსებობს დრუბლები და საღრუბლო სისტემები, რომლებიც შესაფერისია ყინულწარმომქმნელი რეაგენტებით ზემოქმედებისთვის;
- ბ) ფართობზე გასაშუალოებული სეზონური ნალექებისთვის შესაძლებელია ზემოქმედების შედეგად 5-დან 30%-მდე ნაზრდის მიღება;
- გ) სეზონურ ნალექთა 30%-იანი ნაზრდის აღმოსაჩენად საჭიროა რანდომიზებული ზემოქმედების პროგრამის შემუშავება დაახლოებით 5 წლის ხანგრძლივობით, რაც დუეროს აუზის პირობებში უზრუნველყოფს 5%-იანი ნიშნადობის დონეზე ზემოქმედების ეფექტის დადგენას 80%-იანი ალბათობით. მავე დროს ნალექთა 5%-იანი ნაზრდის დასადგენად საჭირო იქნებოდა ექსპერიმენტირების ხანგრძლივობის გაგრძელება 10 წლამდგ;
- დ) ზემოქმედებისთვის შესაფერისი დრუბლების შესარჩევად საუკეთესო გზად უნდა ჩაითვალოს რ/ლ მეთოდების გამოყენება, რაც არსებითად ამცირებს ზემოქმედების ეფექტურობის შეფასების განუსაზღვრელობას/ცდომილებას.

3.4. ექსპერტთა ჯგუფის ამავე სესიაზე ნებ პროექტის ესპანეთის ტერიტორიაზე 1984 წლის ბოლომდე გაგრძელების შემთხვევაში მიღებულ იქნა შემდეგი რეკომენდაციები:

- ა) მიღებულ იქნა ზემოქმედებისთვის შესაფერისი არეების აღმოჩნდის რ/ლ მეთოდების გამოყენება;
- ბ) საველე ექსპერიმენტების ჩატარების გზით შემოწმდეს დრუბლებზე ზემოქმედების შედეგის კვალის გაჩენა და შესწავლილ იქნას რ/ლ სიგნალების ევოლუცია ზემოქმედებაქმნილ და დაუმუშავებელ დრუბლებში;
- გ) ჩატარდეს დრუბლებზე ზემოქმედების ეფექტების მოდელირება და მისი შედეგების საველე მონაცემებთან შედარება;
- დ) რ/ლ და ნალექმზომი მონაცემების გამოყენებით ჩატარდეს საცდელ და საკონტროლო

- ღ) ტერიტორიებს შორის კორელაციის კოეფიციენტის დასადგენად საჭირო გამოკვლევები;
- ჟ) ჩატარდეს ნალექთა გაზომვები რ/ლ მეთოდების გამოყენებით (დეპოლარიზაციის მეთოდის ჩათვლით);
- ვ) დაიწყოს ზემოქმედების ექსპერიმენტული დაგეგმვის გამოკვლევები;
- ზ) ჩატარდეს სასოფლო-სამეურნეო კულტურების განვითარების მოდელირება და ეკონომიკური გამოკვლევები გაეროს გარემოს დაცვით პროგრამასთან (UNEP) და სურსათისა და სოფლის მეურნეობის ორგანიზაციასთან (FAO) თანამშრომლობით.

იმ შემთხვევაში, თუ ხსენებული სამუშაოების შედეგად დამტკიცდება ზემოქმედების ექსპერიმენტის ჩატარების მიზანშეწონილობა, დრუბლებზე ზემოქმედების საცდელი რანდომიზებული სტატისტიკური ექსპერიმენტი ჩატარდეს მომავალ ოთხწლიან პერიოდში (1986-1989წწ.).

1982 წლის ივნისში ნებ პროექტის აღმასრულებელმა საბჭომ მიიღო გადაწყვეტილება, რომლის თანახმად მსოფლიო მეტეოროლოგოურ ორგანიზაციას მიეცა რეკომენდაცია ამჟამად არ ჩატაროს ესპანეთში დრუბლებზე რანდომიზებული ზემოქმედების ექსპერიმენტი. საბჭომ დაბეჭითებით მოუწოდა ნებ პროექტის მონაწილეებს დაასრულონ შეგროვილი მონაცემების ანალიზი და შეასრულონ მონაცემთა არქივირება. ამავე დროს მმო-მ უნდა უზრუნველყოს სათანადო ფონდების გამოყოფა აღნიშნული მიმართულებით კვლევების გასაგრძელებლად.

3.5. მიუხედავად იმისა, რომ ნებ პროექტის ორგანიზაციული სტრუქტურა

გარკვეულწილად მოუხერხებელი აღმოჩნდა, მისმა ყველა მონაწილემ გამოავლინა კეთილი ნება და პროექტის წარმატებით დასრულების დიდი სურვილი. ნებ პროექტის ძირითადი მხარდამჭერი წევრები იყვნენ აშშ, სსრკ, კანადა, საფრანგეთი და ესპანეთი. საველე სამუშაოებში მონაწილე რამდენიმე მეცნიერი დებულობდა საერთაშორისო დახმარებას მმო ფონდების გამოყენებით.

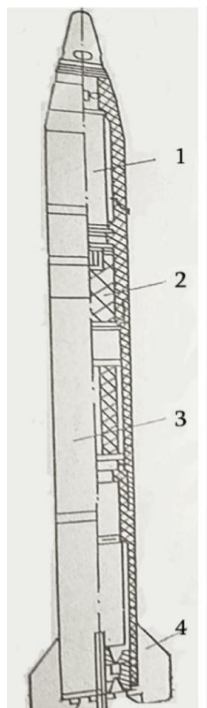
3.6. მსოფლიო მეტეოროლოგიური ორგანიზაციის IX კონგრესზე, რომელიც ჩატარდა 1983 წლის მაისში, განხილულ იქნა ნებ პოლიგონის შეფასების შედეგები. აღნიშნულ იქნა პოლიგონზე საპალევი სამუშაოების ჩატარების აუცილებლობა ნებ ამოცანების გადასაჭრელად და უფრო ზუსტი შეფასებების მისაღებად. კონგრესი მივიღა იმ დასკვნამდე, რომ არსებული საფინანსო სიძნელეები არ აძლევს საშუალებას მმო-ს ნებ საველე გამოკვლევების გასაგრძელებლად, მაგრამ მისასალმებელია მიღებულ საველე მონაცემთა მუდმივი ანალიზის გაგრძელება.

პროექტის ძირითადი შედეგები ზოგადი სახით მოყვანილია რეზიუმეში.

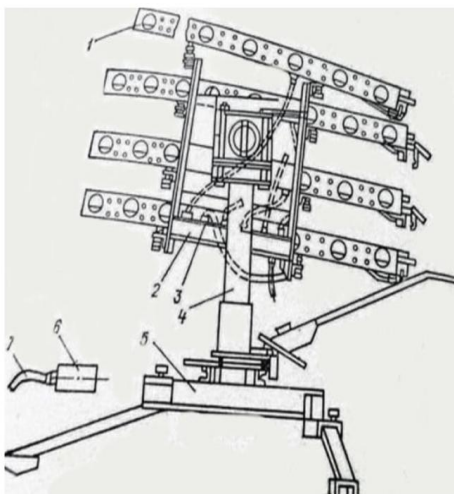
დანართი 3.

„იორის“ პროექტში გამოყენებული ტექნიკური საშუალებები

	
სურათი დ3-1. რადიოლოგიატორი „МРЛ-2“	სურათი დ3-2. რადიოლოგიატორი „МРЛ-5“

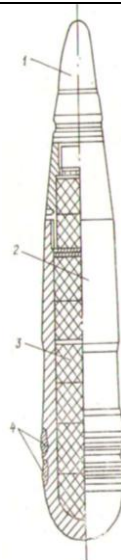


ნახ. დ3-1. სერყვასაწინააღმდეგო რაკეტა „ალაზანი-2М“. 1-სათავე ნაწილი აქტიური პგამლის კოჭათი, 2-ლიკვიდატორის კოჭა, 3-ძრავა, 4-სტაბილიზატორის ფრთა.



ნახ. დ3-2. გამშვები დანაღგარი ТКБ-040 1-მიმმართველი, 2-თაროედი, 3 გამანაწილებელი ფარი, 4-მთავარი ღერძი, 5-ფუძე, 6-სამართავი პულტი, 7-შემაერთებელი ქაბელი

სურათი დ3-3. პირველი თაობის სეტყვასაწინააღმდეგო რაკეტა „ალაზანი - 2М“-ისა და გამშვები დანაღგარი ТКБ-040-ის საერთო ხედი



ნახ. დ3-3. სეტყვასაწინააღმდეგო ჭურვი „Эльбрус-4“. ა).საერთო ხედი, 1-ამფეოქებელი, 2-ჭურვი რეაგენტით, 3-მასრა მუხტით, 4-კაფსული; ბ).მუშა ნაწილი, 1-ამფეოქებელი, 2-ჭურვის კორპუსი, კოჭა რეაგენტის ნაერთით, 4-მიმმართველები.



სურათი დ3-4. 100 მმ-იანი საზენიტო ქვემეხის KC -19 საერთო ხედი

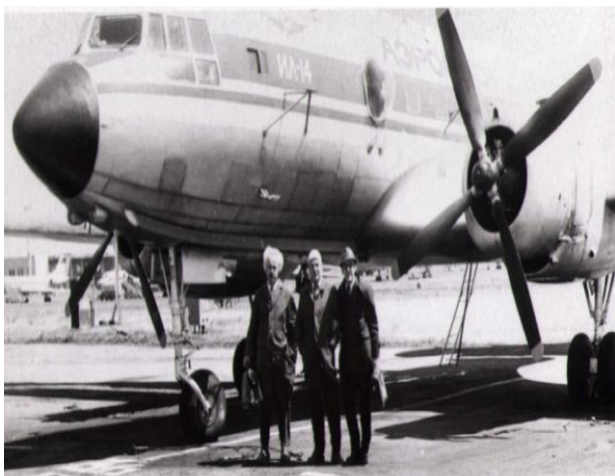
მეტეოროლოგიური საბურაბო



სურათი A3-5. ტრეტიაკოვის ნალექმზომი

მდინარის დინების სიჩქარის აღმრიცხველი	მდინარის დონის თვითმწერი „ვალდაი“:	

სურათი დ3-6. პიდროლოგიური საგუშაგო



სურათი დ3-7,8. საცდელ ფრენებში გამოყენებული მფრინავი ლაბორატორიები ИЛ-14 და ЯК-40.



სურათი დ3-9. ზემოქმედებისთვის მზადება

დანართი 4.

პროექტის შემსრულებელთა მონაცილეობა კონფერენციებში, სამეცნიერო სესიებსა და სხვა შეხვედრებში

1. XXIV научная сессия ЗакНИГМИ. Тбилиси, 1977 г. О планировании работ по искусственному увеличению осадков в бассейне р. Иори (проект „Иори“).
2. Всесоюзная конференция по физике облаков и активным воздействиям на них. Нальчик, 17-21 апреля, 1979г.
 - 2.1. Сванидзе Г.Г. Программа эксперимента по увеличению осадков в бассейне р. Иори (Программа „Иори“).
 - 2.2. Сванидзе Г.Г. Бериташвили Б.Ш. Оценка длительности периода экспериментирования для установления эффекта воздействия на конвективные облака с целью увеличения осадков по проекту „Иори“.
3. Всесоюзный симпозиум по микрофизике облаков и осадков. Тбилиси, 9-14 октября 1979г. Сванидзе Г.Г., Бегалишвили Н.А., Джапаридзе Н.Д., Прейс И.Ф., Робиташвили Г.А., Степанов В.Н., Хачатуян Э.Г. Теоретические и экспериментальные исследования воздействия искусственного стимулирования осадков.
4. XXVII научная сессия ЗакНИГМИ. Тбилиси, 14-15 мая 1980г. Сванидзе Г.Г., Бегалишвили Н.А., Робиташвили Г.А., Ватьян М.Р. Предварительные результаты опытно-производственных работ по увеличению осадков.
5. Республикаанская научная сессия по гидрометеорологии. Тбилиси, 12-14 мая 1981г. Сванидзе Г.Г., Бибилашвили Н.Ш., Бегалишвили Н.А., Ватьян М.Р. Основные результаты выполнения программы проекта „Иори“ в 1977-1980 гг. и планирование работ по увеличению осадков по проекту „Иори“ на 1982-1985 гг.
6. XXXI научная сессия ЗакНИГМИ, Тбилиси, 14-15 мая 1984 г. Сванидзе Г.Г., Бегалишвили Н.А., Ватьян М.Р. О результатах оценки эффективности работ по искусственному увеличению осадков исследовательской фазе проектов „Иори“ и „Паравани“.
7. Всесоюзный семинар по планированию и оценке эффективности работ по искусственному увеличению осадков. Москва, 25-29 июня 1984г.
 - 7.1. Сванидзе Г.Г., Бегалишвили Н.А., Шакарашвили В.Ш. К вопросу планирования проекта увеличения осадков (ПУО) на основе статистического моделирования экспериментов.
 - 7.2. Сванидзе Г.Г., Бегалишвили Н.А., Цинцадзе Т.Н. О гидрологическом методе оценки эффективности воздействия в рандомизированных опытах по увеличению конвективных осадков.
 - 7.3. Бартишвили И.Т., Ватьян М.Р., Менабде Ш.Ш., Одикаძе М.Я. Оценка влияния некоторых метеорологических факторов и норма расхода реагента на результаты работ по увеличению осадков в бассейне р. Иори.
 - 7.4. Бегалишвили Н.А., Менабде Ш.Ш., Церетели З.З. Шакарашвили В.Ш. К вопросу физической оценки эффекта воздействия на конвективные облака с целью увеличения осадков.
 - 7.5. Ватьян М.Р., Капанадзе Н.И., Менабде Ш.Ш., Метревели А. З., Одикаძе М.Я., Серафимов В.К. Радиолокационный способ индикации мощно-кучевых и кучево-дождевых облаков и расчет количества выпавших из них осадков.
 - 7.6. Сванидзе Г.Г., Бегалишвили Н.А., Ватьян М.Р. О результатах оценки эффективности работ по искусственному увеличению осадков в исследовательской фазе проектов „Иори“ и „Паравани“.
8. XXXII научная сессия ЗакНИИ. Тбилиси, 21-22 мая 1985 г.
 - 8.1. Бегалишвили Н.А., Сванидзе Г.Г. Результаты экспериментальных работ по искусственному увеличению осадков в горных районах в Грузии.
 - 8.2. Сванидзе Г.Г., Бегалишвили Н.А. Экономическая оценка эффективности исследований, выполняемых по проблеме искусственного увеличения осадков.
9. IV WMO Scientific Conference on Modification. A. Joint WMO/JAMAP Symposium. Honolulu, Hawaii,

- USA. 1985, WMO/TD-N 53, PP/ 525-528. Svanidze G.G., Vatian M.R., Begalishvi N. A., Kuznetsov A.A. Karbatkin-zade G.Z., Ushintsev V.F. Results of experiments on precipitation artificial enhancement in mountain regions.
10. XXXIII научная сессия ЗакНИИ. Тбилиси , 21-22 мая 1985 г. Сванидзе Г.Г., Бегалишвили Н.А., Робиташвили Г.А., Ватьян М.Р. О результатах экспериментальных и опытно-производственных работ по увеличению осадков в Грузинской ССР.
11. V Всесоюзный гидрологический съезд. Ленинград, 1986. Сванидзе Г.Г. Водные ресурсы и водный баланс.
12. III Всесоюзный семинар-совещание по Планирование и оценке эффективности работ по искусственноому увеличению осадков. Тбилиси, 11-16 ноября 1986г.
- 12.1. Сванидзе Г.Г., Бегалишвили Н.А. О методике оценки эффективности воздействия в работах по увеличению осадков, приводимых на горных полигонах в Закавказье в XII пятилетке.
 - 12.2. Сванидзе Г.Г., Ватьян М.Р., Капанадзе Н.И. К оценке рандомизированных экспериментов в проекте увеличения осадков "Иори".
 - 12.3. Ватьян М.Р., Капанадзе Н.И., Одикадзе М.Я., Цинцадзе Т.Н. Об учете естественной изменчивости полусуточных сумм осадков в оценках работ по воздействию на конвективные облака в бассейне реки Иори.
 - 12.4. Сванидзе Г.Г., Бегалишвили Н.А., Никогосян Г.Т., Смирнов Д.Е. О результатах работ по искусственноому увеличению осадков в Закавказье.
13. Научная конференция по проблеме развития производительных сил горных областей. Тбилиси, 24 декабря 1986 г. Сванидзе Г.Г., Ватьян М.Р., Капанадзе Н.И. О статистической оценке результатов увеличения осадков в рандомизированных экспериментах проекта "Иори".
14. Всесоюзная конференция по активным воздействиям на гидрометеорологические процессы. Киев, 17-21 ноября 1987 г.
- 14.1. Сванидзе Г.Г., Бегалишвили Н.А., Робиташвили Г.А., Рухадзе И.И., Джапаридзе Н.Д., Шакарашивили В.Ш. Планирование работ по искусственноому увеличению осадков в Закавказье.
 - 14.2. Ватьян М.Р., Робиташвили Г.А., Сванидзе Г.Г. К оценке климатических ресурсов конвективной облачности, пригодных для воздействия в районах Восточной Грузии.
- 14.3. Сванидзе Г.Г., Бегалишвили Н.А., Ватьян М.Р., Зорян З.А., Никогосян Г.Т., Цинцадзе Т.Н., Шакарашивили В.Ш., Менабде Ш.Ш., Смирнов Д.Е. О методах и результатах оценки работ по искусственноому увеличению осадков в Закавказье.
15. XXXVI майская научная сессия ЗакНИГМИ, Тбилиси, 18-19 мая 1989 г. Сванидзе Г.Г., Бегалишвили Н.А., Бериташвили Б.Ш., Ватиашвили М.Р., Мецхваришивили Т. Хачатурян Э.Г., Бахсолиани М. Г. Основные перспективы развития работ по активным воздействия на гидрометеорологические процессы.
16. V WMO Scientific Conference on Wea. Modification on Appl. Couch Physics. Beijing, China, 8-12 Mai 1989. WMO/TD-N 269, vol. I, Geneva, 1989. Svanidze G.G., Begalishvi N. A., Beritashvili B.SH., Vatiashvili M.R., Robitashvili G.A., Ruchadze I.I. On planning methods and results of efficiency evolution of precipitation enhancement projects in Transcaucasia.
17. XXVII майская научная конференция ЗакНИГМИ, Тбилиси, 16-18 мая 1990 г.
- 17.1. Бегалишвили Н.А., Бериташвили Б.Ш., Шакарашивили В.Ш. Результаты физико- статистической оценки рандомизированных экспериментов по искусственноому увеличению осадков из конвективных облаков.
 - 17.2. Бегалишвили Н.А., Шакарашивили В.Ш. Статистические моделирование рандомизированного эксперимента по воздействию на конвективные облака с целью искусственного увеличения осадков.
18. XXVIII майская научная конференция ЗакНИГМИ, Тбилиси, 15-17 мая 1991 г. Ватиашвили М.Р., Капанадзе Н.И., Мирианашвили Н.Н. К оценке эффективности рандомизированных экспериментов по ИУО на основе данных полусуточных осадков Иорского полигона по схеме „плавающей мишени“.
19. Всесоюзная конференция по активным воздействиям на гидрометеорологические процессы. Нальчик, 22-25 октября 1991г. Сванидзе Г.Г., Бегалишвили Н.А., Бериташвили Б.Ш., Шакарашивили В.Ш. Сравнение результатов статистического моделирования экспериментов по искусственноому увеличению осадков с эмпирической оценкой их физической эффективности.

20. Всесоюзная конференция по активным воздействиям на гидрометеорологические процессы. Нальчик, 17-21 ноября 1991г. Азнаурян М.Г., Бегалишвили Н.А. Измерение осадков посредством метеорологического радиолокационного вычислennого комплекса (МРВК) в бассейне оз. Севан и возможности МРВК при проведении активных воздействий в бассейне.
21. Georgian symposium for project development and conversion . May 15-18, Tbilisi, 1995. Svanidze G., Beritashvili B., Begalishvi N. Methods and Technology of the artificial regulation of precipitation for its enhancement and reduction of hail damage.
22. ობილისის გეოფიზიკური ობსერვატორის 150 წლისთავისადმი მიძღვნილი სამეცნიერო კონფერენცია. ობილისი, 11-13 ოქტომბერი, 1995 წ. სვანიძე გ., ბეგალიშვილი ნ., ბერიტაშვილი ბ. აღმოსავლეთ საქართველოში ნალექთა ხელოვნური გაზრდის პროექტის შესრულების შედეგები.

სულ 1977-1995 წლებში ჩატარებულ 22 კონფერენციაზე, სამეცნიერო სესიასა და სხვადასხვა შეხვედრაზე მოსმენილ იქნა პროექტის 11 მონაწილის 35 მოხსენება.

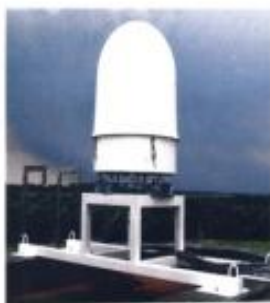
დანართი 5.

პროექტის შემსრულებელთა სია.

1	სვანიძე გივი	24	ასიტაშვილი ქეთევანი
2	ქარცივაძე ამირანი	25	ქვაჩაკიძე ავთანდილი
3	ბეგალიშვილი ნოდარი	26	ხომასურიძე მარიამი
4	ბერიტაშვილი ბაკური	27	რობიტაშვილი მიხეილი
5	ბართიშვილი იასე	28	პატაშური ჯუმბერი
6	ღუდუშაური შოთა	29	სეთურიძე პავლე
7	ბახსოლიანი მურაზი	30	დორეული ნელი
8	ცინცაძე თენგიზი	31	მეტრეველი აზა
9	ხურციძე ალექსანდრე	32	ტომასიანი ელენე
10	გიორგობიანი თემური	33	სვანიძე თამაზი
11	ვათიაშვილი მიხეილი	34	გაზაშვილი ავთანდილი
12	რობიტაშვილი გივი	35	მაღლაფერიძე თენგიზი
13	კაპანაძე ნაილი	36	ბურდული ფიქრია
14	შაქარაშვილი ვასილი	37	ბურდული მარიკა
15	ბალარჯიშვილი გიორგი	38	ჭელიძე გულექანი (მზია)
16	მენაბდე შოთა	39	ზურაბიშვილი ციური
17	ბერიძე ტურფა	40	კვესელაგა ნუგზარი
18	წერეთელი ზაზა	41	ხვინგია შოთა
19	შავერდაშვილი პეტრე	42	ცისკარიშვილი შამილი
20	მეცხვარიშვილი თამაზი	43	წიკლაური ვარლამი
21	ჩხაპელია მიმოზა	44	ქაჯაია ელგუჯა
22	ბერუბაშვილი ავთანდილი	45	ივანიშვილი უსმა
23	წიკლაური ვიქტორი	46	ბიჩინაშვილი ქეთევანი
		47	ხაჩიძე ეთერი

დანართი 6.

ნებ სამუშაოთა განახლების შემთხვევაში გამოსაყენებელი
ტექნიკური საშუალებები

	 Пример установки.
სურათი დ6-1 რ/ლ სადგური „მეტეორ 735CDP10“	სურათი დ6-2 ჩეხეთი წარმოების ამინდის რადარი skySCANner



სურათი დ6-3. სამეცნიერო-ტექნიკური ცენტრის „დელტას“ წარმოების სეტყვის საწინააღმდეგო რაკეტების SK-6 –ის თანამედროვე დისტანციური მართვის სტაციონარული ავტომატური გამშვები დანადგარი CD-26.



სურათი დ6-4. სეტყვასაწინააღმდეგო სამუშაოებში ამჟამად გამოყენებული რაკეტა SK-6. (მარცხნივ კონტეინერში, მარჯვნივ – კონტეინერის გარეშე).



ПУ "МС-280Н" и ПГИ "Алан-2"



ПУ "Элия" и "Элия-МР" и ПГИ "Алазань-5" и "Алазань-6"



ПУ "Элия-2" для пуска ПГИ семейства "Алазань"



ПГИ "Ас", "Алан-3" и "Алазань9"



ПУ "Элия-2" для пуска ПГИ "Ас" и "Алан-3" с минометным стартом

სურათი დგ-5. მესამე თაობის ავტომატიზებული სარაკეტო კომპლექსი

დანართი 7.

სპეციალური ტერმინების განმარტებითი ლექსიკონი

აეროლოგიური ზონდირება – ატმოსფეროში 40 კმ სიმაღლემდე მეტეოროლოგიური ელემენტების (ჰაერის ტემპერატურა და სინოტივე, ჟარი, ატმოსფერული წნევა) გერტიკალური განაწილების გაზომვა რადიოზონდის საშუალებით.

აეროსინოპტიკური მონაცემები – ატმოსფეროში დიდი ტერიტორიის (რეგიონი, კონტინენტი, ნახევარსფერო) თავზე მეტეოროლოგიური ელემენტების სივრცული განაწილება, რომელიც საშუალებს იძლევა 40 კმ სიმაღლემდე დადგენილ იქნას ძირითადი ბარიული წარმონაქმნების (ციკლონი, ანტიციკლონი, ატმოსფერული ფრონტები, ტროპიკული ქარიშხლები და სხვ.) კონფიგურაცია და მოძრაობის სიჩქარე, აგრეთვე მოცემულ ტერიტორიაზე ცალკეული ღრუბლებისა და საღრუბლო სისტემების განვითარების შესაძლებლობა. აღნიშნული მონაცემების მისაღებად საჭიროა სხვადასხვა. პუნქტებიდან ჩატარებული აეროლოგიური ზონდირების მასალების ერთობლივი ანალიზი.

არამდგრადობა – ატმოსფეროში ტემპერატურის გერტიკალური განაწილების ისეთი შემთხვევა, როდესაც ამომგდები ძალის ზეგავლენით წარმოიქმნება ჰაერის აღმავალი ნაკადი.

გადამეტივებული (წყალი, წვეთი) – უარყოფით ტემპერატურაზე თხევად ფაზაში მყოფი წყალი. მინარევების გარეშე წყლის მცირე წვეთები ატმოსფეროში ხშირად არსებობენ -20°C ტემპერატურამდე. მინარევების შეტანისას წვეთები იწყებენ გაფინვას -5°C და უფრო დაბალ ტემპერატურაზე.

გაზრდილი ამრეკლადობის ზონა – ღრუბელში რ/ლ ამრეკლადობის არე, რომელიც შემოსაზღვრულია ამავე ღრუბელში მაქსიმალურ ამრეკლადობაზე ერთი რიგით ნაკლები ამრეკლადობის იზოკონტურით.

გრდემლი – სეტყვასაში სტადიაში გადასული მძლავრი კონვექციური ღრუბლის გრდემლის ფორმის მქონე ზედა ნაწილი, რომელიც ყინულის კრისტალებისგან შედგება.

თერმიკი – ატმოსფეროში კონვექციური მოძრაობის შემქმნელი ძირითადი ელემენტი, რომელიც წარმოადგენს გარემოსთან შედარებით უფრო თბილი ჰაერით დაკავებულ სფერული ფორმის მოცულობას. კონდენსაციის დონის მიღწევის შემდეგ თერმიკი, რომლის დიამეტრი ჩვეულებრივ რამდენიმე კმ-ს შეადგენს, იქცევა კონვექციური ღრუბლის შემქმნელ ელემენტიდ. ატმოსფეროში ღრუბელთა განვითარებისთვის ხელშემწყობი პირობების არსებობისას თერმიკების ერთობლიობა ქმნის ჰაერის აღმავალ ნაკადებს, რის შედეგადაც წარმოიქმნება კონვექციური ღრუბლები.

იზოკონტური – ღრუბლის რადიოლოგიკურ ჭრილში თანაბარი ამრეკლადობის მნიშვნელობათა შემაერთებელი ხაზი,

კოაგულაცია – ღრუბელში წყლის წვეთების ან ყინულის კრისტალების ურთიერთშერწყმის პროცესი, რომელსაც თან სდევს საღრუბლო ნაწილაკების ზომების ზრდა და, საბოლოო ჯამში მათი გამოყოფა ნალექების სახით.

კონდენსაცია – ატმოსფეროში არსებულ აეროზოლურ მინარევებზე წყლის წვეთების წარმოქმნის მქანიზმი. ამ აეროზოლურ ნაწილაკებს ჩვეულებრივ კონდენსაციის გულებს ან კონდენსაციის ბირთვებს უწოდებენ.

კონვექციური უჯრედი – აღმავალ თერმიკებში წყლის ორთქლის კონდენსაციის შედეგად წარმოქმნილი კონვექციური ღრუბლის ძირითადი სტრუქტურული ელემენტი, რომელიც სათანადო პირობებში შეიძლება გარდაიქმნას წვიმის ან სეტყვის მომცემ მძლავრ კონვექციურ ღრუბლად.

მრავალუჯრედიანი კონვექციური ღრუბელი – რამდენიმე უჯრედისგან შემდგარი კომპლექსური კონვექციური ღრუბელი, რომელშიც უჯრედები, შესაძლებელია გან-

ვითარების სხვადასხვა სტადიაში იმყოფებოდეს. ასეთი ტიპის კონვექციური ღრუბელი შეიძლება დამოუკიდებლადაც ვითარდებოდეს და შეიძლება სუპერუჯრედიანი ღრუბლის ფრონტალურ ნაწილსაც წარმოადგენდეს.

რანდომიზაცია – შემთხვევითი არჩევანის პრინციპზე აგებული გადაწყვეტილების მიღების წესი

რეაგენტი – ქიმიური ნივთიერება, რომლის შეტანა ღრუბელში იწვევს მისი ფაზური ან კოლოიდური მდგომარეობის დარღვევას. პირველ შემთხვევაში ეს არის მაკრისტალებელი რეაგენტი (უმეტეს შემთხვევაში იოდოვანი ვერცხლის AgI შემცველი ნივთიერება), რომლის ნაწილაკები უარყოფით ტემპერატურაზე იწვევს ყინულის კრისტალების გაჩენას საღრუბლო წყეთების გაყინვის ან წყლის ორთქლის მათზე სუბლიმაციის გზით. მეორე შემთხვევაში ეს არის ჰიგროსკოპული რეაგენტი (უმეტესწილად სუფრის მარილი NaCl), რომლის ნაწილაკები იწვევს მათზე კონდენსაციის გზით წყლის წვეთების წარმოქმნას და ამ წვეთების შემდგომ კოაგულაციურ ზრდას.

საკომანდო პუნქტი – ღრუბლებზე ზემოქმედების ჩატარების საკვანძო ცენტრი, რომელშიც თავს იყრის ზემოქმედებისათვის საჭირო ინფორმაცია, გაიცემა ბრძანებები მის ჩასატარებლად, მიიღება გადაწყვეტილებამის შესასრულებლად ან დასასრულებლად, საინსპექციო ჯგუფების ადგილებზე გასაგზავნად და სხვა ოპერატორული საქმიანობის საწარმოებლად.

ბაზობებაზე ლიტერატურა

I თავი

1. Физика облаков (под ред. А.Х. Хргиана). Гидрометеоиздат, Ленинград, 1961.
2. Сванидзе Г.Г., Бериташвили Б.Ш. О современном состоянии проблемы искусственного увеличения осадков. ВНИИГМИ-МЦД, Обнинск, 1978.
3. Обоснование работ по исследованию возможностей искусственного регулирования атмосферных осадков в бассейне р. Иори с целью увеличения располагаемых водных ресурсов Сионского и Тбилисского водохранилищ – Проект Иори, (Рук. акад. Г.Г. Сванидзе, авт.исп. Б.Ш. Бериташвили, ЗакНИГМИ, Тбилиси, 1978.
4. Краткий обзор проекта ВМО по увеличению осадков – 1985 г. Доклад ПУО № 34. ВМО, Женева, 1987.
5. საქართველოს სსრ კურორტები და საგურორტო რესურსები. კლიმატური დროება. მოსკოვი, 1989, გვ. 25.
6. კლიმატის ცვლილების შესახებ საქართველოს მესამე ეროვნული ჟეტელინგის. საქ გარემოსა და ბუნ. რეს. დაცვის სამინისტრო. თბილისი 2015.
7. Справочник по климату СССР, вып. 14, часть I. Солнечная радиация. Гидрометеоиздат, Ленинград, 1968.
8. Справочник по климату СССР, вып. 14, часть II. Температура воздуха и почвы. Гидрометеоиздат, Ленинград, 1967.
9. Справочник по климату СССР, вып. 14, часть IV. Влажность воздуха, атмосферные осадки, снежный покров. Гидрометеоиздат, Ленинград, 1970.
10. Справочник по климату СССР, вып. 14, часть V. Облачность и атмосферные явления. Гидрометеоиздат, Ленинград, 1970.
11. Справочник по климату СССР, вып. 14, часть III. Ветер. Гидрометеоиздат, Ленинград, 1968.
12. საქართველოს ნადაგების რეკა (რედ. ურუმაძე). „პარტოგრაფია“, თბილისი, 1999.
13. Беручашвили Н. Л. Кавказ: ландшафты, модели, эксперименты. ТГУ, Тбилиси, 1995.
14. უკლება ბ. საქართველოს წყლის რესურსების კომპლექსური გამოყენება სახალხო მეურნეობაში. თხუ გამომცემლობა, თბილისი 1977.
15. საქართველოს გეოგრაფიული ატლასი. ქარჩხაძის გამომცემლობა, 2012.
16. Ресурсы поверхностных вод СССР, том 9, вып. 1. Западное Закавказье. Гидрометеоиздат, Ленинград, 1974, с. 547.
17. Владимиров Л.А., Шакарашвили Д. И., Габричидзе Т.И. Водный баланс Грузии. Мецниереба, Тбилиси, 1974, с. 51.
18. Google. თიანეთის მუნიციპალიტეტი
19. Google. წალკის მუნიციპალიტეტი
20. Google. ნინოვის მუნიციპალიტეტი
21. სალუქაძე თ., ხელაია ე. ატმოსფერულ ნალექთა ხელოვნური რეგულირების თანამედროვე მდგომრეობა. საქ. მეცნ. აკად. პიდრომეტეოროლოგიის ინსტიტუტის შრომები, 2002, ტომი № 107, გვ. 194-199.

II თავი

1. Сванидзе Г.Г., Бериташвили Б.Ш. О современном состоянии проблемы искусственного увеличения осадков. ВНИИГМИ-МЦД, Обнинск, 1978.
2. Осипова Г.И., Фридман Ю.С. К вопросу об оценке эффективности воздействия на облака с целью увеличения осадков. Тр. ГГО, 1964, вып. 156, с. 31-45.
3. Обоснование организации работ по исследованию возможностей искусственного стимулирования атмосферных осадков в бассейне р. Иори с целью увеличения располагаемых водных ресурсов Сионского и Тбилисского водохранилищ (Проект Иори), ЗакНИГМИ, Тбилиси, 1978.
4. Сванидзе Г.Г., Бериташвили Б.Ш., Мирианашвили Н.Н. К оценке обнаружения по осадкомерным данным эффекта воздействия на облака с целью искусственного увеличения осадков в теплый период года. Тр. Зак. регионального научно-исслед. института (ЗакНИИ), 1981, вып. 73(79), с. 3-18.
5. List R. Objectives and status of the WMO precipitation enhancement project (PEP). Trans. II WMO Sci. Conf. on Wea. Mod. Boulder, Colo., 2-6 Aug. 1976. WMO N443, p. 445-453.
6. Краткий обзор проекта ВМО по увеличению осадков – 1985 г. Доклад ПУО № 34. ВМО, Женева, 1987, с. 64.

III თავი

1. Мейсон Б. Дж. Физика облаков. Гидрометеоиздат, Ленинград, 1961.
2. Физика облаков (под ред. А.Х. Хриана). Гидрометеоиздат, Ленинград, 1961.
3. Шишkin H. C. Облака, осадки и грозовое электричество. Гидрометеоиздат, Ленинград, 1964.
4. Fletcher N.N. The physics of rainclouds. Cambridge Univ. Press, 1962.
5. საქართველოს სსრ გურუმტეხი და საკურორტო რესურსები. კლიმატური დროება. მოსკოვი, 1989, გვ. 25.
6. ხვედელიძე ზ. (რედ.). პავის თანამედროვე ცვლილება საქართველოში. პავის განმსაზღვრელი ზოგიერთი პარამეტრის რეჟიმი და მათი ცვალებადობა. პიდრომეტეოროლოგიის ინსტიტუტი, თბილისი, 2006, გვ. 22.
7. Лесков Б.Н., Половина И.П. Воздействия на облака холодного периода года с целью увеличения осадков. Труды VIII Всесоюзной конференции по физике облаков и активным воздействиям. Гидрометеоиздат, Ленинград, 1970, с. 457-463.

IV თავი

1. Сванидзе Г.Г., Бегалишвили Н.А., Ватьян М.Р., Карциладзе А. И., Гудушаури Ш.Л. Методические указания по организации и проведению работ по искусственному увеличению осадков из конвективных облаков с помощью противоградовой техники. МО Гидрометеоиздата, Москва, 1986.
2. Обоснование организации работ по исследованию возможностей искусственного стимулирования атмосферных осадков в бассейне р. Иори с целью увеличения располагаемых водных ресурсов Сионского и Тбилисского водохранилищ (Проект Иори), ЗакНИГМИ, Тбилиси, 1978.
3. Сталевич Д.Д., Учеваткина Т.С. К вопросу об оптимальных расходах льдообразующих реагентов при воздействии на облака с целью вызывания осадков. Труды ГГО, 1968, вып.224.
4. Довгалюк Ю.А., Сталевич Д.Д., Учеваткина Т.С., Шишkin H. C. Об искусственном регулировании процесса образования осадков при воздействиях на облака. Труды VIII Всесоюзной конференции по физике облаков и активным воздействиям. Гидрометеоиздат, Ленинград, 1970, с. 221-228.
5. Громова Е.Н., Лекшин В.Т., Сталевич Д.Д. О принципе выбора реагентов для воздействия на конвективные облака с целью вызывания осадков. Труды VIII Всесоюзной конференции по физике облаков и активным воздействиям. Гидрометеоиздат, Ленинград, 1970, с. 286-293.
6. Бибилашвили Н.Ш., Бурцев И.И., Серегин Ю.А. Руководство по организации и проведению противоградовых работ. Гидрометеоиздат, Ленинград, 1981.

V თავი

1. Сванидзе Г.Г., Бериташвили Б.Ш. Мирианашвили Н.Н. К оценке обнаружения по осадкомерным данным эффекта воздействия на облака с целью искусственного увеличения осадков в теплый период года. Тр. ЗакНИИ, 1981, вып. 73(79), с. 3-18.
2. Бегалишвили Н.А., Сванидзе Г.Г., Шакарашвили В.Ш. К вопросу планирования проекта увеличения осадков (ПУО) на основе статистического моделирования экспериментов. Планирование и оценка эффективности работ по искусственному увеличению осадков. М. Гидрометеоиздат, 1988, с. 216-220.
3. Ватиашвили М.Р., Бахсолиани М.Г., Газашвили А. Г., Капанадзе Н.И., Шавердашвили П.П. К радиолокационной оценке физической эффективности единичного воздействия в работах по увеличению осадков. Сб. работ гидрометеорологического центра им. В.П. Ломинадзе , вып.1. Гидрометеоиздат Ленинград, 1988, с. 124-128.
4. Сванидзе Г.Г., Бегалишвили Н.А., Бериташвили Б.Ш. О физической и экономической эффективности работ по искусственноому увеличению осадков Закавказье. Тр. ВГИ, 1992, вып. 85, с. 80-90.
5. Сванидзе Г.Г., Бегалишвили Н.А., Бериташвили Б.Ш., Шакарашвили В.Ш. Сравнение результатов статистического моделирования экспериментов по искусственноому увеличению осадков с эмпирической оценкой их физической эффективности. Тр. Всесоюзной конференции, Нальчик, 22-25 октября 1991 г. Гидрометеоиздат, СПБ, 1995, с. 19-24.
6. Сванидзе Г.Г., Бегалишвили Н.А., Бериташвили Б.Ш. Планирование на основе метода Монте-Карло рандомизированного засева облаков в экспериментах по искусственноому увеличению

- осадков в горном регионе. Обозрение прикл. промышл. матем., сер. вероятн. и статист., „ТВП“, Москва, 1996, том 3, вып. 2, с. 193-203.
7. სვანიძე გ., ბეგალიშვილი ბ., ბერიტაშვილი ბ. აღმოსავლეთ საქართველოში ნალექთა ხელოვნური გაზრდის პროექტის შესრულების შედეგები. თბილისის გეოფიზიკური ობსერვატორიის 150 წლისთავისადმი მიღებილი შრომათა კრებული. „მეცნიერება“, თბილისი, 1997, გვ. 51-58.
 8. Радиолокационные характеристики облаков. В кн. „Облака и облачная атмосфера“ под ред. И.П. Мазина и А.Х. Хргиана. Гидрометеоиздат, Ленинград, 1989, с. 460-524.
 9. Бегалишвили Н.А., Менабде Ш.Ш., Церетели З.З., Шакарашвили В.Ш. К вопросу физической оценки эффекта воздействия на конвективные облака с целью увеличения осадков. Планирование и оценка эффективности работ по искусственному увеличению осадков. Гидрометеоиздат, Москва, 1988, с. 197-203.
 10. Бартишвили И.Т., Ватьян М.Р., Капанадзе Н.И., Одикадзе М.Я. Оценка влияния некоторых метеорологических факторов и нормы расхода кристаллизующего реагента на результаты работ по искусенному увеличению осадков в бассейне р. Иори. Планирование и оценка эффективности работ по искусенному увеличению осадков. Гидрометеоиздат, Москва, 1988, с. 188-196.
 11. Сванидзе Г.Г., Бегалишвили Н.А., Менабде Ш.Ш., Шакарашвили В.Ш. Применение радиолокационных данных для оценки результатов воздействия на отдельные ячейки в экспериментах по увеличению осадков. Радиометеорология. Труды VII Всесоюзного совещания. Гидрометеоиздат, Ленинград, 1989, с. 221-223.
 12. Ватиашвили М.Р., Бахсолиани М.Г., Газашвили А.Г., Капанадзе Н.И. К вопросу радиолокационной оценки единичного воздействия в работах по искусенному увеличению осадков. Труды ВГИ, вып. 85.с. 103-110.
 13. Сванидзе Г.Г., Бегалишвили Н.А., Цинцадзе Т.Н. О гидрологическом методе оценки эффекта воздействия в рандомизированных экспериментах по увеличению осадков из конвективных облаков. Сообщения АН Груз. ССР, 1985, том 117, № 1, с. 69-72.
 14. Tsintsadze T.N. A mathematical model of formation of the river run-off in the case of anthropogenic on cloud systems. Conference Hydrological Processes in the Catchment. Krakow, Poland, 1986, pp. 163-169.
 15. Бегалишвили Н.А., Сванидзе Г.Г., Цинцадзе Т.Н. О гидрологическом методе оценки эффекта воздействия в рандомизированных экспериментах по увеличению конвективных осадков. Планирование и оценка эффективности работ по искусенному увеличению осадков. Гидрометеоиздат, Москва, 1988, с.208-216.
 16. Сванидзе Г.Г., Бегалишвили Н.А., Бериташвили Б.Ш. Применение статистических методов в оценке эффективности работ по искусенному увеличению осадков. Обозрение прикл. промышл. матем., сер. вероятн. и статист. „ТПВ“ Москва, 1996, том 3, вып. 2, с. 215-224.
 17. სვანიძე გ., ბეგალიშვილი ბ., ბერიტაშვილი ბ. სიმბის წყალსაცავის წყლის რესურსების გამოყენების ეკონომიკური ეფექტურობა (1989 წლის მდგრადი). საქ სსრ მეცნიერებათა აკადემიის მოამბე, 1990, გომი 139, №3, გვ. 649-652.
 18. Енукашвили И.М., Бегалишвили Н.А., Джапаридзе Н.Д., Цицашвили Ш.И. О численном моделировании методом Монте-Карло активных воздействий на кинетику осадкообразования в конвективных облаках. Труды ЗакНИГМИ, 1974, вып.55(61), с. 12-29.
 19. Бегалишвили Н.А., Джапаридзе Н.Д., Робиташвили Г.А. Численные моделирование процесса осадкообразования в конвективном облаке. Труды ЗакНИГМИ, 1981, вып. 73(79), с. 19-29.
 20. ბეგალიშვილი ბ., რობიტაშვილი გ., შაქარაშვილი ვ. კონვექციური დრუბლის ოპერატორი რიცხვითი მოდელი. ჰიდრომეტ. ინსტიტუტის შრომები, 1996, გ. 100, გვ. 112-117.
 21. ბერიტაშვილი ბ. ნალექთა ხელოვნური რეგულირების სამუშაოთა წარმოების მეთოდოლოგიური საფუძვლები (აღმოსავლეთ საქართველოს მაგალითები). დისერტაცია გეოგრაფიულ მეცნიერებათა დოქტორის სამეცნიერო ხარისხის მოსაპოვებლად. თსუ, თბილისი, 1994.
 22. Амиранашвили А.Г., Бахсолиани М.Г., Бегалишвили Н.А., Беридзе Н. И., Бериташвили Б.Ш., Рехвиашвили Р.Г., Цинцадзе Т.Н., Рухадзе Н.П., Капанадзе Н.И. О возобновлении работ по регулированию осадков в Восточной Грузии. Труды Института гидрометеорологии АН Грузии, 2002, том 108, с. 249-260.

VI თავი

1. სვანიძე გ., ბეგალიშვილი ნ., ბერიტაშვილი ბ. აღმოსავლეთ საქართველოში ნალექთა ხელოვნური გაზრდის პროექტის შესრულების შედეგები. თბილისის გეოფიზიკური ობსერვატორის 150 წლისთავისადმი მიძღვნილი შრომათა კრებული. „მეცნიერება“, თბილისი, 1997, გვ. 51-58.
2. Амиранашвили А.Г., Бахсолиани М.Г., Бегалишвили Н.А., Берадзе Н. И., Бериташвили Б.Ш., Рехвиашвили Р.Г., Цинцадзе Т.Н., Рухадзе Н.П., Капанадзе Н.И. О возобновлении работ по регулированию осадков в Восточной Грузии. Труды Института гидрометеорологии АН Грузии, 2002, том 108, с. 249-260.
3. Амиранашвили А.Г., Бахсолиани М.Г., Бегалишвили Н.А., Бериташвили Б.Ш., Рехвиашвили Р.Г., Цинцадзе Т.Н., Читанава Р.Б. О необходимости возобновления работ по искусственному регулированию атмосферных процессов в Грузии. Труды Института гидрометеорологии ТГУ, 2013, том 119, с. 150-158.
4. Howell W.E. and Todd C.T. Strong responses of selected cloud classes across many seeding projects. WMP Rep. N2, WMO/TD N 53. Geneva, 1985, pp. 669-673.
5. Сваниძე Г.Г., Бегалишвили Н.А., Бериташвили Б.Ш. О физической и экономической эффективности работ по искусственному увеличению осадков Закавказье. Труды ВГИ, 1992, вып. 85, с. 80-90.
6. Бегалишвили Н.А., Менабде Ш.Ш., Церетели З.З., Шакарашвили В.Ш. . К вопросу физической оценки эффекта воздействия на конвективные облака с целью увеличения осадков. Планирования и оценка эффективности работ по искусственному увеличению осадков. Гидрометеоиздат, Москва, 1988, с. 197-203.

VII თავი

1. Климат и климатические ресурсы Грузии. Труды ЗакНИГМИ, 1971, вып. 44(50). Гидрометеоиздат, Ленинград, с. 245.
2. უკლება ბ. საქართველოს წყლის რესურსების კომპლექსური გამოყენება სახალხო მეურნეობაში. თსუ გამომცემლობა, თბილისი 1977.
3. ფრანგიშვილი ა., გასირაშვილი ზ., ცინცაძე თ., ბერიტაშვილი ბ. მდ.იორის აუზში წყლის ინტეგრირებული მენეჯმენტის სისტემის შექმნის დასაბუთება. ნაწილი I. პიდრომეტეოროლოგიური პარამეტრების მონიტორინგის სისტემა. ნალექთა ხელოვნური გაზრდა. სტუ პიდრომეტეოროლოგიის ინსტიტუტი, თბილისი, 2016, გვ. 51-52.
4. ბერიტაშვილი ბ. ნალექთა ხელოვნური რეგულირების სამუშაოთა წარმოების მეთოდოლოგიური საფუძვლები (აღმოსავლეთ საქართველოს მაგალითზე). დისერტაცია გეოგრაფიულ მეცნიერებათა დოქტორის სამეცნიერო სარისხის მოსაპოვებლად. თსუ, თბილისი, 1994.
5. Справочник по климату СССР, вып. 14, часть V. Облачность и атмосферные явления. Гидрометеоиздат, Ленинград, 1970.
6. კლიმატის ცვლილების შესახებ საქართველოს მესამე ეროვნული შეტყობინება. გარემოსა და ბუნებრივი რესურსების დაცვის სამინისტრო. თბილისი, 2015, გვ. 265-285.
7. Сваниძэ Г.Г., Бегалишвили Н.А., Ватьян М.Р., Зорян З.А., Никогосян Г.Т., Цинцадзе Т.Н., Шакарашвили В.Ш., Менабде Ш.Ш., Смирнов Д.Е. О методах и результатах оценки работ по искусственному увеличению осадков в Закавказье. Всесоюзная конференция по активным воздействиям на гидрометеорологические процессы. Тезисы докладов, г. Киев, 17-21 ноября 1987 г. Обнинск, 1987, с. 185-186.
8. Амиранашвили А.Г., Бахсолиани М.Г., Бегалишвили Н.А., Берадзе Н. И., Бериташвили Б.Ш., Рехвиашвили Р.Г., Цинцадзе Т.Н., Рухадзе Н.П., Капанадзе Н.И. О возобновлении работ по регулированию осадков в Восточной Грузии. Труды Института гидрометеорологии АН Грузии, 2002, том 108, с. 249-260.
9. Google, Vienna Insurance Group.
10. Амиранашвили А.Г. и др. Характеристики наземных средств воздействия на градовые процессы в Кахетии. Труды Института геофизики им М. Нодиа, 2016, Том LXVI, с. 39-52.

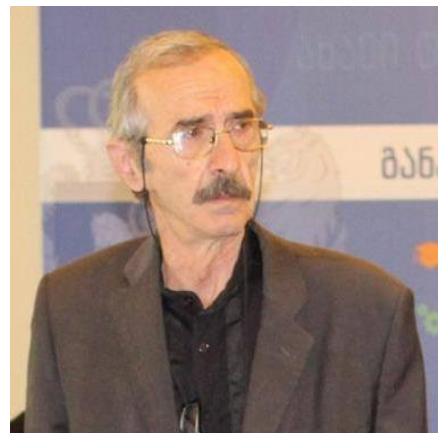
11. Денис А. Изучение погоды засевом облаков „Мир“, Москва, 1983.
12. Ломинадзе В.П., Робиташвили Г.А., Цицвашвили Ш.И. К вопросу теории фронтов и фронтальных облаков. Труды VIII Всесоюзной конференции по физике облаков и активным воздействиям. Гидрометеоиздат, Ленинград, 1970, с. 31-47.
13. Ватиашвили М.Р., Капанадзе Н.И., Одикадзе М.Я. Перераспределения осадков в районах Восточной Грузии при воздействии на градовые процессы. Труды Всесоюзного семинара „Активные воздействия на градовые процессы и перспективы усовершенствования льдообразующих реагентов для практики активных воздействий“. Гидрометеоиздат, Москва, 1991, с. 243-251.
14. ჯავახიშვილი შ. ატმოსფერული ნალექები საქართველოს ტერიტორიაზე. თსუ გამომცემლობა, თბილისი, 1981, გვ. 61-63.
15. ცინცაძე თ., ბერიბაშვილი ბ., კაპანაძე ნ., სალუქვაძე გ. საქართველოში სეტყვასთან და ზვავებთან ბრძოლის სამუშაოთა განახლების საკითხისთვის. სტუ პიდრომეტეოროლოგიის ინსტიტუტი. თბილისი, 2013.
16. Google, Агентство Атмосферных Технологий.
17. გრიგოლია გ., საბაძე ე., ხმალაძე გ. გვალვის შედეგების შერბილების შესაძლებლობა იორი-არაგვის წყალსამეურნეო კომპლექსური სისტემის გამოყენებით. საქ. მეცნ. აკადემიის პიდრომეტეოროლოგიის ინსტიტუტის შრომები, თბილისი, 2002, ტომი 107, გვ. 200-205.



ბაკურ ბერითაშვილი

პიდრომეტეოროლოგიის ინსტიტუტის მთავარი
მეცნიერი თანამშრომელი, გეოგრაფიის
მეცნიერებათა დოქტორი

BAKUR BERITASHVILI – Dr. Sci. in Geography
Б.Ш. БЕРИТАШВИЛИ – Доктор географических наук



თენჯიზ ცინცაძე

პიდრომეტეოროლოგიის ინსტიტუტის დირექტორი
ტექნიკურ მეცნიერებათა აკადემიური დოქტორი

TENGIZ TSINTSADZE – Director of the Institute of Hydrometeorology, Academic Dr. in Technical Science

**Т. Н. ЦИНЦАДЗЕ – Директор Института Гидрометеорологии,
Академический Доктор технических наук**



ნაილი კაპანაძე

პიდრომეტეოროლოგიის ინსტიტუტის უფროსი
მეცნიერი თანამშრომელი, გეოგრაფიის
მეცნიერებათა აკადემიური დოქტორი

NAILI KAPANADZE – Academic Dr. Sci. in Geography
Н.И. КАПАНАДЗЕ – Акад. Доктор геогр. наук